

RICARDO PEREIRA

INTRODUÇÃO AO ESTUDO DO COMPORTAMENTO NO  
MAR DE PLATAFORMAS SEMI-SUBMERSÍVEIS DE DUPLO CAS-  
CO. MÉTODO PARA DETERMINAÇÃO DOS COEFICIENTES DAS  
EQUAÇÕES DO MOVIMENTO.

Dissertação apresentada à  
Escola Politécnica da USP para  
a obtenção do Título de Mestre  
em Engenharia.

São Paulo, 1982

RICARDO PEREIRA

*Eng. Naval, Escola Politécnica da USP, 1979*

INTRODUÇÃO AO ESTUDO DO COMPORTAMENTO NO MAR DE PLATAFORMAS  
SEMI-SUBMERSÍVEIS DE DUPLO CASCO. MÉTODO PARA DETERMINAÇÃO  
DOS COEFICIENTES DAS EQUAÇÕES DO MOVIMENTO

Dissertação apresentada à Escola  
Politécnica da USP para a obtenção  
do Título de Mestre em Engenharia.

Orientador: Prof. Jorge Pinheiro da Costa Veiga  
Professor Visitante do Departamento  
de Engenharia Naval da EPUSP.

São Paulo, 1982

A  
meus pais.

## AGRADECIMENTOS

O autor deseja manifestar o seu reconhecimento a todos que contribuíram direta ou indiretamente na execução deste trabalho.

Justo seria, porêm, registrar seus sinceros agradecimentos às seguintes entidades e pessoas, pela inestimável e especial colaboração:

À *FAPESP* - Fundação de Amparo à Pesquisa do Estado de São Paulo, pelo suporte financeiro e contínuo apoio e compreensão;

À *DET NORSKE VERITAS*, pelo apoio material e científico, permitindo o autor fazer uso de seus recursos computacionais e técnicos no período compreendido entre janeiro e março de 1981, em Oslo, Noruega;

Aos pesquisadores *Jan Mathisen* e *Ragnvald Børresen*, da Research Division (Section for Hydrodynamics) da Det Norske Veritas, pelas proveitosas sugestões e dados técnicos, que contribuíram de forma decisiva na conclusão deste trabalho;

À *DINAV* - Divisão de Engenharia Naval do Instituto de Pesquisas Tecnológicas que, por intermédio do Professor Dr. *Toshi-Ichi Tachibana*, sempre atendeu de maneira solícita às proposições do autor;

Ao Prof. *Jorge Pinheiro da Costa Veiga*, pelo paciente encargo de orientação e estímulos;

Ao Prof. Titular *Alfredo Coaracy Brazil Gandolfo*, Chefe do Departamento de Engenharia Naval da Escola Politécnica, e aos demais Colegas do Departamento, pelos incentivos recebidos;

Ao Engº *Mardel Bongiovanni de Conti*, por suas observações e proveitosas discussões;

Ao Eng<sup>o</sup> *Flavius Portella Ribas Martins*, pelo auxílio na preparação do programa de computador;

À Srta. *Jane Rodrigues Vieira*, pelo exímio trabalho de datilografia e valiosas sugestões na composição desta dissertação;

À Sra. *Marlei Silveira de Araújo da Silva*, pelos excelentes trabalhos de ilustração;

À Srta. *Maria Euphrazia Martins*, pela atenciosa e paciente normalização bibliográfica;

e finalmente, a todos os Amigos que, de uma forma ou outra, concorreram para a elaboração desta dissertação.

O autor

R E S U M O

Este trabalho contém uma descrição de vários métodos disponíveis para o cálculo de forças excitantes induzidas por ondas, e forças internas entre os pontões de uma plataforma semi-submersível de duplo casco. Têm-se por hipóteses velocidade zero e águas profundas. Problemas relacionados com a avaliação da distribuição das forças de difração são discutidos.

A aplicação de métodos de equações integrais (ou métodos de "fontes/sorvedouros"), para a solução do problema estacionário do movimento forçado, apresenta falhas na solução na vizinhança de um número discreto, infinito, de frequências irregulares. Várias alternativas para superar este problema são apresentadas.

Esses métodos foram incorporados em um novo programa de computador (NVPONT), e os resultados obtidos por este programa foram comparados aos de um programa de teoria bidimensional (2D) de faixas (NV407), e a dados de um programa baseado na teoria tridimensional (3D), (NV459). Ambos os programas foram desenvolvidos pela Det Norske Veritas. Discrepâncias consideráveis foram encontradas entre as teorias 2D e 3D, para frequências próximas à ressonância e para pequenos comprimentos de onda. Em geral os resultados apresentaram boa concordância.

A B S T R A C T

This study contains a description of various strip theory methods available for calculation the wave exciting forces and wave - induced internal forces on twin pontoon semisubmersibles. Zero speed and deep water is assumed. Problems associated with evaluation of the distribution of the diffraction forces are discussed.

The application of integral equation (or "sink/source") techniques in solving the steady state forced motion problem leads to break - down of the solution in the vicinity of a discrete, infinite set of "irregular " frequencies. Various attempts to overcome this problem are presented.

These methods have been incorporated in a new computer program (NVPONT), and the results obtained by this program have been compared to an existing strip theory program (NV407), and data from a program based on 3D theory (NV459). Both programs have been developed by Det Norske Veritas. Substantial discrepancies were discovered between 2D and 3D theory near resonance and for the shortest waves, otherwise the results agreed well.

I N D I C E

- Agradecimentos. . . . . i
- Resumo . . . . . iii
- Abstract . . . . . iv
- Índice . . . . . v
- Lista de figuras . . . . . viii
- Lista de tabelas . . . . . ix

CAPÍTULO I - IDENTIFICAÇÃO DO COMPORTAMENTO NO MAR DE PLATAFORMAS  
SEMI-SUBMERSÍVEIS - INTRODUÇÃO

- I.1 Introdução . . . . . I.1
- I.2 Resumo bibliográfico . . . . . I.4
- I.3 Objetivo . . . . . I.8
- I.4 Delineamento do trabalho . . . . . I.9

CAPÍTULO II - EQUAÇÕES DO MOVIMENTO

- II.1 Equações do movimento para um corpo rígido . . . . . II.1
- II.2 Equações para dois pontões cilíndricos flutuando livremente . II.7
- II.3 Equações para dois pontões cilíndricos rigidamente conectados II.11
- II.4 Solução das equações do movimento . . . . . II.14

CAPÍTULO III - DETERMINAÇÃO DOS ESFORÇOS EXCITANTES E RESTAURADORES

- III.1 Introdução . . . . . III.1
- III.2 Formulação do problema potencial . . . . . III.2
  - III.2.1 Hipóteses físicas de base . . . . . III.2
  - III.2.2 A hipótese de ondas infinitesimais. . . . . III.4
  - III.2.3 Onda incidente periódica . . . . . III.7
  - III.2.4 Os problemas de movimento forçado e de difração . . III.7
  - III.2.5 Condição de radiação . . . . . III.8
  - III.2.6 O problema de equações diferenciais de derivadas parciais . . . . . III.9



III.3	Método de Jan Mathisen e C.A. Carlsen de explicitação de componentes dos esforços excitantes . . . . .	III.10
III.3.1	Forças de Froude-Kriloff . . . . .	III.11
III.3.2	Forças de difração . . . . .	III.13
III.4	Esforços restauradores . . . . .	III.18
III.4.1	Forças restauradoras hidrodinâmicas. . . . .	III.18
III.4.2	Coeficientes de interação hidrodinâmica para dois cascos flutuando livremente. . . . .	III.22

#### CAPÍTULO IV - DETERMINAÇÃO DAS FORÇAS INTERNAS DEVIDAS A ONDAS ENTRE DOIS PONTÕES

IV.1	Descrição geral do problema. Forças de difração de sentidos opostos. . . . .	IV.1
IV.2	Método de Jan Mathisen & C.A. Carlsen . . . . .	IV.3
IV.3	Método de T.F. Ogilvie . . . . .	IV.6
IV.4	Solução direta do problema de difração para mar de travês. . . . .	IV.7

#### CAPÍTULO V - MÉTODO DE POTASH PARA CÁLCULO DO POTENCIAL DE RADIAÇÃO

V.1	Introdução . . . . .	V.1
V.2	Problema potencial de primeira ordem . . . . .	V.3
V.3	Método de solução e procedimento numérico. . . . .	V.5
V.4	Comparação do método de Frank com o método de Potash . . . . .	V.12

#### CAPÍTULO VI - ANÁLISE DE FREQUÊNCIAS IRREGULARES

VI.1	Introdução. . . . .	VI.1
VI.2	O conceito de frequências irregulares . . . . .	VI.2
VI.3	Métodos para eliminação de frequências irregulares . . . . .	VI.6
VI.3.1	Método de Paulling e Wood . . . . .	VI.6
VI.3.2	Função de Green modificada de Ursell e Ogilvie. . . . .	VI.7

#### CAPÍTULO VII - DESCRIÇÃO DO PROGRAMA NVPONT

VII.1	Introdução . . . . .	VII.1
-------	----------------------	-------

VII.2	Subprogramas . . . . .	VII.4
VII.3	Blocos COMMON . . . . .	VII.13
VII.4	Descrição das entradas . . . . .	VII.18
VII.5	Descrição das saídas . . . . .	VII.21

CAPÍTULO VIII - TESTES DE APLICAÇÃO E ANÁLISE DE RESULTADOS

VIII.1	Resultados e comparações. . . . .	VIII.1
--------	-----------------------------------	--------

CAPÍTULO IX - CONSIDERAÇÕES FINAIS

IX.1	Conclusões . . . . .	IX.1
IX.2	Sugestões para trabalhos futuros. . . . .	

APÊNDICE A.I - FUNDAMENTOS TEÓRICOS DE UM ESCOAMENTO POTENCIAL -CORPO RÍGI  
DO SOB A AÇÃO DE ONDAS INFINITESIMAIS

A.I.1	Equações básicas do movimento do fluido. . . . .	A.I.1
A.I.2	Escoamento potencial. Equações de Bernoulli . . . . .	A.I.2
A.I.3	Teoria de ondas infinitesimais. . . . .	A.I.4
A.I.4	Condições de contorno para um corpo rígido imerso . . . . .	A.I.12
A.I.5	Condições de radiação para um fluido infinito. . . . .	A.I.15

APÊNDICE A.II - EQUAÇÕES INTEGRAIS PARA A DETERMINAÇÃO DO POTENCIAL DE RA-  
DIAÇÃO

A.II.1	Estabelecimento das equações . . . . .	A.II.1
--------	--	--------

APÊNDICE A.III - LISTAGEM DO PROGRAMA NVPONT . . . . . A.III.1

APÊNDICE A.IV - RESULTADOS COMPUTACIONAIS - COMPARAÇÃO GRÁFICA . A.IV.1

BIBLIOGRAFIA

## LISTA DE FIGURAS

	Página
Figura I.1 . . . . .	I.12
Figura I.2 . . . . .	I.12
Figura I.3 . . . . .	I.13
Figura I.4 . . . . .	I.14
Figura II.1 . . . . .	II.2
Figura II.2 . . . . .	II.5
Figura II.3 . . . . .	II.8
Figura II.4 . . . . .	II.12
Figura III.1 . . . . .	III.7
Figura III.2 . . . . .	III.13
Figura III.3 . . . . .	III.26
Figura IV.1 . . . . .	IV.10
Figura V.1 . . . . .	V.6
Figura V.2 . . . . .	V.8
Figura V.3 . . . . .	V.15
Figura V.4 . . . . .	V.16
Figura VI.1 . . . . .	VI.10
Figura VI.2 . . . . .	VI.10
Figura VI.3 . . . . .	VI.11
Figura VI.4 . . . . .	VI.11
Figura VII.1 . . . . .	VII.2
Figura VII.2 . . . . .	VII.24
Figura VIII.1 . . . . .	VIII.7
Figura VIII.2 . . . . .	VIII.8
Figura VIII.3 . . . . .	VIII.9
Figura VIII.4 . . . . .	VIII.10
Figura VIII.5 . . . . .	VIII.11
Figura A.I.1 . . . . .	A.I.15
Figura A.I.2 . . . . .	A.I.17

Observação: As figuras que constituem o Apêndice A.IV estão relacionadas e descritas brevemente no final do mesmo. (pág.A.IV.35).

LISTA DE TABELAS

	Página
Tabela III.1 - Coeficientes de massa adicionada e de amortecimento . . . . .	III.22
Tabela VII.1 Fatores de adimensionalização para os coeficientes de massa adicionada e de amortecimento. . . . .	VII.22

## CAPÍTULO I

IDENTIFICAÇÃO DO COMPORTAMENTO NO MAR DE  
PLATAFORMAS SEMI-SUBMERSÍVEIS - INTRODUÇÃO

## I.1 INTRODUÇÃO

As primeiras operações marítimas de produção e prospecção consistiam basicamente de uma extensão das atividades com base em terra, adentrando-se em águas adjacentes. O conceito de uma plataforma oceânica, como sendo uma unidade de flutuação estável, e tendo como característica movimentos de pequena amplitude, foi introduzido já em 1920 por St. Denis e Almendinger [14]. Hoje as plataformas oceânicas são projetadas para cumprir uma série de missões, entre as quais as mais importantes são coleta de minerais, perfuração de campos petrolíferos, lançamento de tubulações e trabalhos de suporte e pesquisa.

Em águas rasas, próximas à costa, plataformas de concreto e mesmo de madeira podem ser adequadas para o suporte de equipamentos de produção e perfuração. Nas décadas de 1950 e 1960, plataformas de aço foram fabricadas e instaladas em profundidades de 30 a 60 m. Na década de 1970, com o descobrimento de óleo no Mar do Norte, foi delineada a segunda geração de plataformas oceânicas. Profundidades altas e condições ambientais adver

sas resultaram no projeto de plataformas sofisticadas e de elevado custo, consistindo basicamente de estruturas de aço ou de concreto. Embora a maioria dos projetos tenham sido para profundidades entre 90 e 150m, hoje, no Golfo do México por exemplo, há um projeto em execução para 305m de profundidade. Dificuldades de engenharia relacionadas com o aumento da lâmina d'água podem ser resolvidas, mas a alto custo. Em geral, 150 a 220m pode ser considerado um limite prático para estruturas fixas sob severas condições ambientais. Para condições médias este limite pode ser ampliado para 220 a 275m [8].

Devido a esses problemas e, tendo em vista a mobilidade requerida na fase de pesquisa, tornou-se de grande interesse o desenvolvimento de estruturas móveis.

As plataformas semi-submersíveis foram originariamente introduzidas partindo da idéia que os movimentos induzidos na estrutura por ondas seriam minimizados se uma grande parte da plataforma estivesse totalmente submersa, a uma profundidade onde os efeitos de onda seriam menores. De uma maneira ampla pode-se identificar um semi-submersível quando o volume de deslocamento é maior do que o produto do calado pela área do plano de flutuação.

Essas plataformas podem ser conectadas ao fundo do mar por cabos pretensionados ou por um sistema de amarras convencional ou ainda serem livres e estacionárias através de um sistema propulsivo próprio.

São feitas a seguir algumas considerações sobre o projeto de plataformas semi-submersíveis, tendo como objetivo salientar-se as implicações do cálculo dos movimentos.

Do ponto de vista técnico a escolha de uma configuração de uma plataforma semi-submersível próxima do ótimo envolve vários aspectos que podem ser resumidos em alguns requisitos básicos:

- A plataforma deve manter-se estável sob todas as condições am

bientais.

- Variações nas tensões nos cabos ou nas amarras devem ser evitadas.
- Os movimentos devem ser minimizados.
- As frequências naturais de oscilação não devem estar próximas da gama de frequências de excitação.
- A geometria da plataforma deve ser tal a minimizar o aço estrutural.
- Deve ser escolhida uma geometria de modo a se evitarem problemas no local e no método de fabricação.

Desde que as principais dimensões da embarcação tenham sido determinadas, baseadas em requisitos de estabilidade e capacidade, estudos preliminares dos movimentos devem ser realizados. Isso é feito de maneira a garantir-se amplitudes satisfatórias, tanto do ponto de vista operacional quanto econômico.

O desempenho econômico é em si mesmo difícil de definir-se, visto que a construção e a operação de uma plataforma envolvem um amálgama de fatores, muitos dos quais não estão relacionados diretamente com os movimentos ou com o comportamento estrutural e hidrodinâmico. Entretanto, o custo inicial e o número de dias parados por ano devidos a movimentos excessivos ou falhas estruturais devem ser considerações primárias para uma tomada de decisão.

É com essa motivação que se vêm realizando estudos sobre a aplicação de métodos de previsão do comportamento do navio no mar, agora estendidos e adaptados a plataformas oceânicas.

Há uma série de métodos desenvolvidos para a solução deste problema. Alguns se adaptam melhor a determinados tipos de plataformas. Um re

sumo bibliográfico elucidativo dos métodos teóricos disponíveis para cálculo de movimentos e avaliação de esforços hidrodinâmicos induzidos por ondas é apresentado a seguir.

## I.2 RESUMO BIBLIOGRÁFICO

A teoria original de faixas ("strip theory") apresentada por Korvin-Kroukovsky e Jacobs em 1957 [52], para os movimentos verticais de arfagem e caturro, foi a primeira teoria de cálculo de movimentos de navios suficientemente apurada para aplicações numéricas em engenharia. No ano posterior Jacobs [40] estendeu esta teoria para a previsão dos esforços verticais de cisalhamento e momentos fletores induzidos em navios por ondas regulares de proa. Desde então a teoria de faixas tem sido usada extensivamente no cálculo de movimentos e de cargas hidrodinâmicas.

A hipótese básica da teoria de faixas é que, para um casco fino, onde uma das dimensões é pequena comparada ao comprimento, o escoamento em qualquer secção transversal é independente de outras secções. Assim, o complicado problema do escoamento tridimensional é reduzido a um problema bidimensional no plano transversal.

Extensões da teoria original de Korvin-Kroukovsky foram independentemente desenvolvidos por: Söding [96]; Salvesen et alii [91]; Tasai, F. e Takaki, M.; Borodai e Netsvetayev [5]. As novas teorias de faixas podem ser aplicadas para previsão dos movimentos de guinada, deriva e balanço.

Quando utilizada juntamente com o princípio da superposição, aplicado pioneiramente ao problema do movimento do navio por St. Denis e Pierson, a teoria linear de faixas revela-se particularmente útil. De acordo com o princípio da superposição, a previsão do comportamento em mar realístico a



teatório pode ser obtida pela composição de respostas a ondas regulares.

Alguns procedimentos computacionais pioneiros para a previsão dos esforços induzidos por ondas e para o cálculo das amplitudes de movimentos específicos para plataformas semi-submersíveis foram desenvolvidos por exemplo por Burke | 7 |, Paulling | 86 | e Hooft | 36 |.

Todos esses métodos admitem algumas hipóteses básicas no que concerne à avaliação das forças hidrodinâmicas exercidas pelo fluido na estrutura, a saber:

- (1) A estrutura pode ser subdividida em diversos subelementos de forma geométrica simples, principalmente cilindros esbeltos e corpos de pequeno volume, como esferas e elipsóides.
- (2) As distâncias entre os elementos são grandes comparadas com as dimensões das suas áreas seccionais. Isso implica que a interferência hidrodinâmica ou interação entre os elementos é desprezada, e as forças em um elemento podem ser avaliadas supondo-se que as outras partes da estrutura não estão presentes.
- (3) As dimensões características das secções transversais típicas são pequenas quando comparadas com o comprimento da onda incidente. As pressões, velocidades e acelerações na superfície do elemento podem ser aproximadas pelos valores nominais computados na linha de centro do elemento.
- (4) As partes principais dos elementos estão submersas e portanto e feitos de superfície não são considerados e valores de massa adicionada e amortecimento são calculados considerando-se fluido in finito.

A formulação de Morison | 68 | é frequentemente utilizada para o cálculo das forças em um membro cilíndrico. Desde que o arrasto viscoso é

apresentado como proporcional ao quadrado da velocidade, é necessário inroduzir-se um coeficiente de arrasto linear para a utilização do sistema de equações lineares do movimento da estrutura. Esse coeficiente linear é função da amplitude do movimento, resultando na necessidade de um processo iterativo para a solução das equações.

Nas figuras I.1 e I.2 são apresentados dois exemplos de semi-submersíveis para os quais as considerações acima se mostraram razoáveis.

Uma extensão desta teoria básica é apresentada por Kim [49]. Em seu método a estrutura é ainda dividida em diversos elementos, todos com geometrias bastante simples e suficientemente distantes, de modo a desprezar-se os efeitos de interação. As forças hidrodinâmicas são calculadas pela teoria de faixas, amplamente utilizada para os cálculos dos movimentos de navios. Os resultados apresentados por Kim são para uma plataforma semi-submersível consistindo de dois cascos principais tipo submarino (Fig.I.3) com colunas verticais espaçadas e alguns membros diagonais. A aplicação da teoria de faixas juntamente com o método para a determinação das forças em uma secção mostrou-se apropriada. Cada um dos cascos, neste caso, foi considerado como corpo fino. Os efeitos de superfície livre são considerados mas não há interação entre os corpos. O seu método de cálculo das forças em membros diagonais e nas colunas verticais é questionável desde que as hipóteses da teoria de faixas são consistentes apenas para corpos finos no sentido longitudinal.

Recentemente foram propostas e construídas novas plataformas semi-submersíveis que podem ainda ser consideradas como constituídas de diversos elementos, mas para as quais nenhuma das quatro condições (esbeltez, elementos esparsos, secções transversais de dimensões reduzidas, principais elementos submersos) são satisfeitas. Um exemplo de tais plataformas é o semi-submersível descrito por Goren [28] e apresentado na Fig.I.4.

A plataforma consiste essencialmente em um catamarã semi-submersível com dois cascos paralelos de secção transversal retangular e um convés de trabalho suportado por três colunas verticais de cada lado. A boca de cada casco é da mesma ordem de grandeza do espaçamento entre eles, e a altura entre a superfície livre e o convés é similar ao seu pontal. Efeitos de interação entre os convés e efeitos de superfície livre serão, sem dúvida alguma, importantes quando uma embarcação deste tipo for submetida a excitações de ondas. É de se esperar, portanto, que os procedimentos computacionais existentes que foram desenvolvidos para semi-submersíveis "convencionais" se mostrem inadequados.

O tipo de análise que oferece a possibilidade de um modelo teórico mais apurado para avaliação das forças hidrodinâmicas nesses submersíveis é similar ao desenvolvido para navios tipo catamarã, utilizando-se a teoria de faixas. Por este procedimento o escoamento em cada secção é aproximado por uma representação bidimensional. Tanto o efeito de superfície livre quanto a interação entre os dois cascos podem ser considerados. Os métodos de Frank e Potash podem ser facilmente modificados para representar um par simétrico de corpos submersos de modo a obter os coeficientes bidimensionais das forças do fluido. As bases teóricas para esta modificação foram publicadas por Lee [55]. Para uma descrição original dos métodos mencionados, aplicados a cascos simplés, devem ser consultadas as referências [25] e [89].

A utilização da teoria de faixas para previsão de movimento de embarcações tipo catamarã foi empregada por Lee e Pien [88] e Nordestrøm, Faltinsen e Pedersen [70]. Um procedimento diferente para duplo casco foi apresentado por Ohkusu, M. Em geral, a teoria de faixas parece fornecer uma boa aproximação para os movimentos induzidos por ondas em navios, como pode ser verificado pelos resultados experimentais de Ohkusu [79], Nordes

trøm et alii e Jones [43]. No caso de semi-submersíveis entretanto as conclusões são menos claras.

A representação apropriada das colunas verticais apresenta outro problema. Se as colunas se estenderem por uma porção significativa do casco, elas podem ser consideradas como extensões destes e incluídas nas faixas bidimensionais do modelo. Esse procedimento foi, de fato, seguido por Lee no estudo do comportamento de um navio "SWATH" (embarcação de duplo casco, com pequena área do plano de flutuação). Para o tipo de plataforma citado anteriormente, entretanto, as dimensões das colunas são tais que interferências entre colunas adjacentes e, talvez com menor intensidade, entre as colunas e os cascos existirão. Paulling e Hong [87] abordaram em um estudo comparativo o problema de interação entre as colunas.

Os trabalhos realizados especificamente com o emprego da teoria de faixas constituíram uma primeira abordagem do problema. As hipóteses admitidas reduziram as dificuldades. Em consequência os resultados obtidos, embora promissores, devem ser encarados dentro de certas limitações.

### I.3 OBJETIVO

O objetivo básico deste trabalho é realizar uma investigação sobre a determinação dos coeficientes hidrodinâmicos das equações do movimento de plataformas semi-submersíveis de duplo casco sob a ação de ondas senoidais, utilizando-se a teoria de faixas. Pretende-se apresentar um procedimento de cálculo, consubstanciado em um programa de computador, implementado a partir de segmentos do programa NV407 da Det Norske Veritas.

#### I.4 DELINEAMENTO DO TRABALHO

Procura-se colocar em uma seqüência lógica os conhecimentos analíticos necessários à resolução do problema proposto e à interpretação dos resultados.

Inicialmente, no capítulo II, são desenvolvidas as equações do movimento em um sistema de referências fixo. Para tanto, são feitas as aproximações necessárias de modo a exprimir as forças e quantidades envolvidas neste sistema. A formulação das equações é limitada a respostas lineares do semi-submersível, como corpo rígido, a forças e momentos excitantes harmônicos, assumidos como contribuição apenas de ondas de superfície. O sistema algébrico resultante (II.23), de seis equações lineares complexas, introduz o problema de determinação dos esforços excitantes e restauradores, objeto de estudo dos capítulos subsequentes.

Ainda no capítulo II, as equações do movimento são formuladas para dois pontões flutuando livremente, tendo em vista o interesse prático de determinar-se os coeficientes de interação hidrodinâmica para duas estruturas flutuantes próximas. Na verdade, as equações para um corpo rígido são apresentadas como um caso particular das equações para dois corpos livres flutuando. No final do capítulo, desenvolve-se uma solução analítica, na forma matricial, para o sistema de equações obtido.

No capítulo III é estabelecido o problema potencial de equações diferenciais, com apropriadas condições de contorno, para a determinação dos esforços excitantes e restauradores. Os fundamentos teóricos de um escoamento potencial, para um corpo rígido, sob a ação de ondas infinitesimais, são apresentados no Apêndice A.I. Em seguida desenvolve-se o método de Jan Mathisen e C.A. Carlsen de explicitação das componentes dos esforços excitantes. Estes são subdivididos em forças de difração, consequência da

perturbação das ondas incidentes pela estrutura e forças de Froude-Kriloff, calculadas integrando-se as pressões dinâmicas devidas a ondas, sem perturbação, sobre o corpo flutuante. Os esforços restauradores hidrodinâmicos são expressos em termos dos coeficientes de massa adicionada e de amortecimento. Desenvolve-se adicionalmente expressões para os coeficientes de interação hidrodinâmica para dois cascos flutuando livremente.

O problema da determinação das forças de difração, atuantes em um único pontão, é analisado no capítulo IV. São examinados o método de Mathisen & Carlsen, o método análogo de Ogilvie e adicionalmente é estudada uma solução direta do problema de difração, somente válida para mar de travês.

O cálculo efetivo dos coeficientes das equações do movimento pelas expressões, formuladas no capítulo III, depende da obtenção dos potenciais de radiação para o movimento forçado do corpo em águas calmas. O método utilizado, discutido no capítulo V, é o de distribuição de singularidades de Potash. A partir da função de Green de uma fonte puntiforme pulsante obtêm-se os potenciais de radiação. As equações integrais necessárias ao desenvolvimento do método, para a determinação dos potenciais, encontram-se no Apêndice A.II. É efetuada uma comparação teórica com o método original de Frank, comprovada com resultados computacionais publicados.

Os métodos de equações integrais de Frank e Potash introduzem o fenômeno da ocorrência de frequências irregulares, inerentes ao processo de cálculo. No capítulo VI é feita uma análise deste problema, introduzindo-se inicialmente o conceito de frequências irregulares. São discutidos métodos para a eliminação dessas frequências de ressonância, baseados na escolha de funções modificadas de Green.

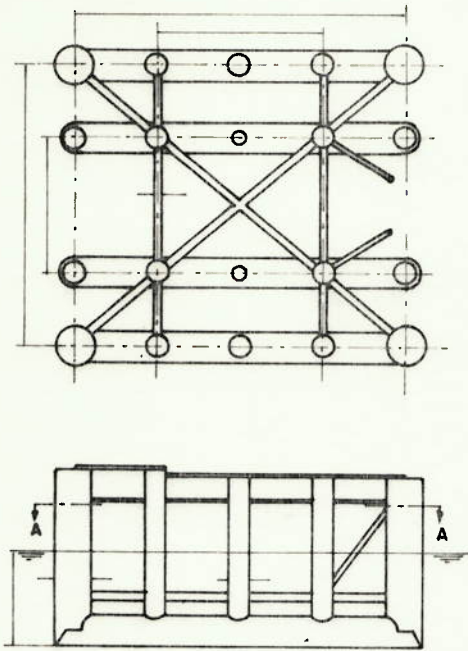
O capítulo VII procura descrever o programa de computador NVPONT, que calcula as forças hidrodinâmicas para cada secção de dois pontões cilíndricos.

dricos paralelos, com velocidade zero, em ondas senoidais, utilizando as expressões e relações apresentadas nos capítulos precedentes. O programa, em linguagem Fortran, constitui o Apêndice A.III.

Os testes efetuados com o programa NVPONT foram sintetizados e analisados no capítulo VIII. A comparação gráfica dos resultados computacionais estão no Apêndice A.IV.

O capítulo IX contém um resumo das conclusões deste trabalho . São ainda apresentadas algumas recomendações sobre testes adicionais a serem realizados com o programa NVPONT, e também sugestões para o prosseguimento da pesquisa.

CORTE A-A



STAFLO

ALTURA METACÊNTRICA LONGITUDINAL	$\overline{GM}_L$	10,58 m
" " TRANSVERSAL	$\overline{GM}_T$	6,58 m
RAIO DE GIRAÇÃO - BALANÇO		24,77 m
" " " - CATURRO		23,86 m
" " " - GUINADA		28,52 m
VOLUME DESLOCADO	$\nabla$	12.700 m <sup>3</sup>

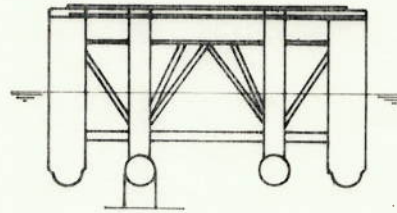


FIG. I.1

SEDCO 135

ALTURA METACÊNTRICA LONGITUDINAL	$\overline{GM}_L$	8,20 m
" " TRANSVERSAL	$\overline{GM}_T$	8,53 m
RAIO DE GIRAÇÃO - BALANÇO		36,58 m
" " " - CATURRO		36,58 m
" " " - GUINADA	$\nabla$	16.960 m <sup>3</sup>

CORTE B-B

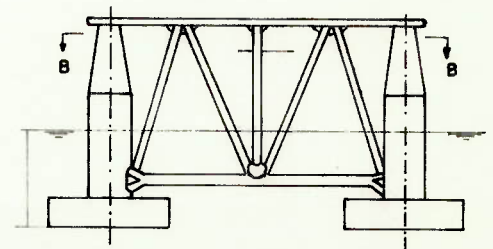
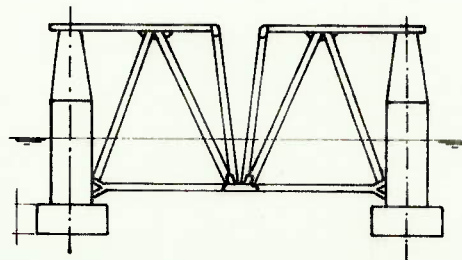
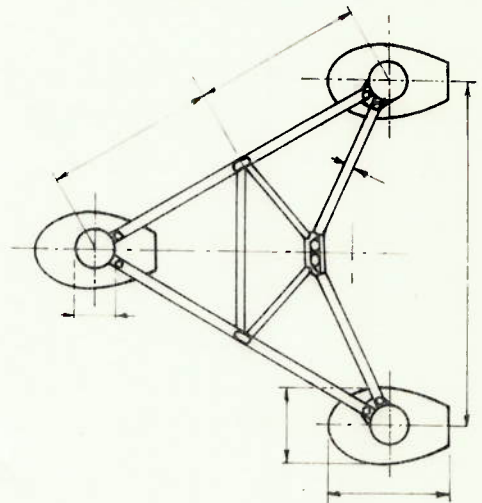
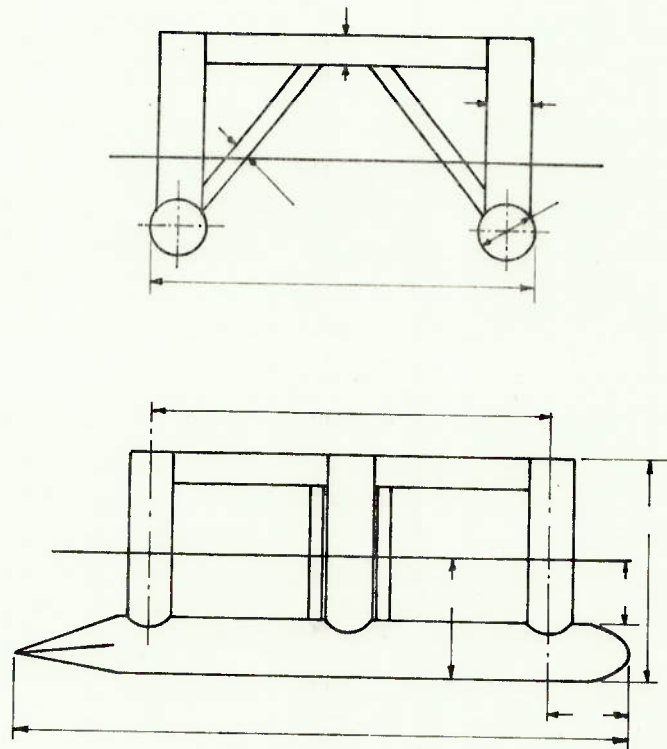


FIG. I.2



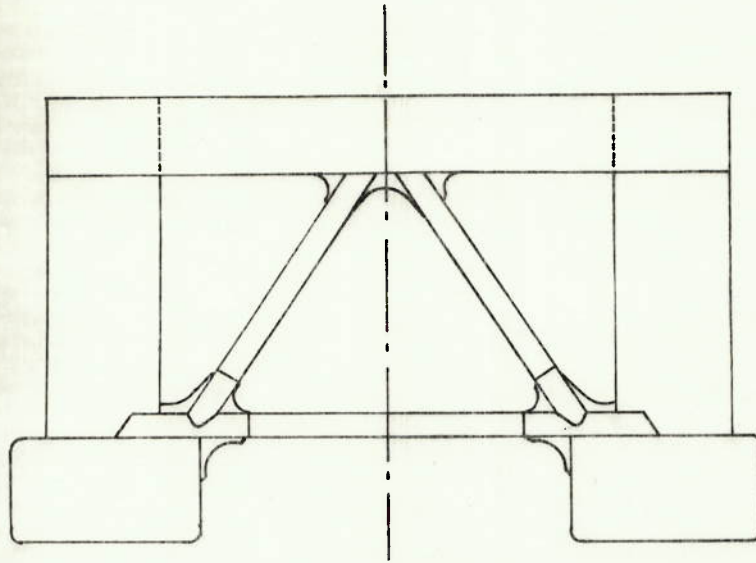


**CARACTERÍSTICAS PRINCIPAIS DA PLATAFORMA SCP-III MK 2**

2 CASCOS SUBMARINOS	D x L	11,00 m x 119 m
6 COLUNAS	Ø	8,00 m
8 BRAÇOS	Ø	3,00 m
CALADO		21,00 m
DESLOCAMENTO		23.144 ton
SISTEMA DE AMARRAÇÃO		8 linhas com constante elástica de 4092 kgf/m
KG		19,00 m
RAIO DE GIRAÇÃO DE CATURRO		32,00 m
PERÍODO NATURAL DE CATURRO		38,5 seg.
PERÍODO NATURAL DE ARFAGEM		20,3 seg.

**FIG.I. 3**

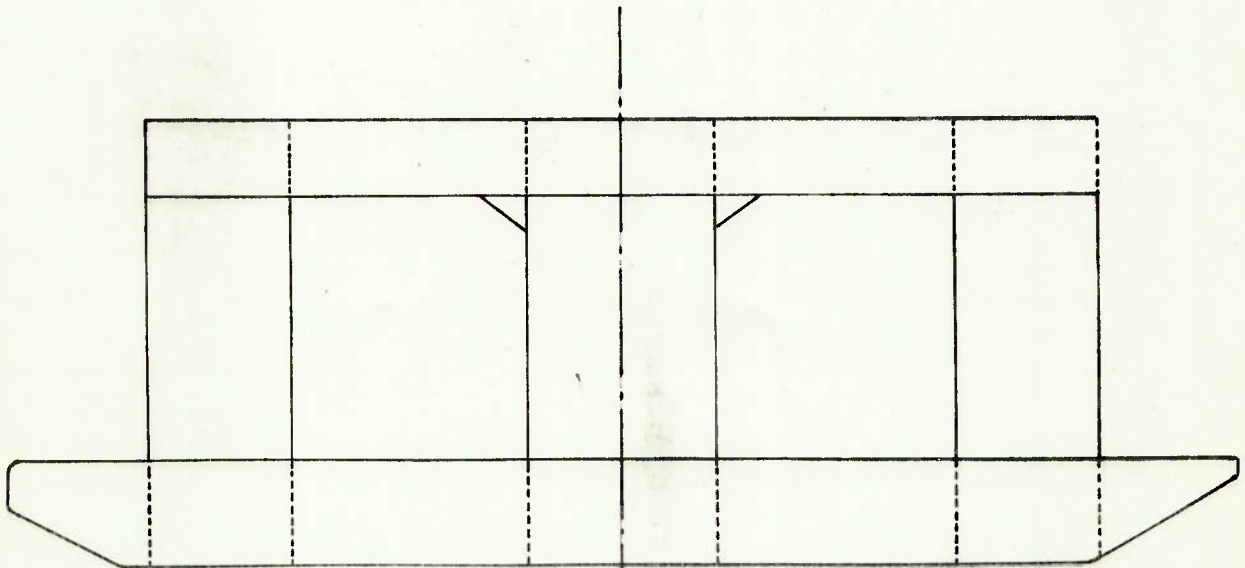
SOUTHERN CROSS



ELEVAÇÃO

CARACTERÍSTICAS:

COMPRIMENTO	79,00 m
BOCA	43,00 m
PONTAL	30,00 m
DESLOCAMENTO EM OPERAÇÃO	16.120 ton
DESLOCAMENTO EM REBOQUE	10.150 ton
CARGA NO CONVÉS	2.000 ton



PERFIL

FIG.I.4

## CAPÍTULO II

## EQUAÇÕES DO MOVIMENTO

## II.1 EQUAÇÕES DO MOVIMENTO PARA UM CORPO RÍGIDO

Os movimentos da plataforma serão expressos como desvios de pequena amplitude em relação a uma posição média. Para tanto é conveniente definir-se dois sistemas de referência.

Seja  $O'X_1X_2X_3$  um sistema de eixos ortogonal direto.  $O'$  é fixo no centro de gravidade da estrutura,  $X_3$  é perpendicular ao plano  $O'X_1X_2$ , paralelo à linha d'água média do casco. Em muitos casos é possível fazer uso da simetria, dispondo os eixos de maneira a que um ou mais coincidam com os eixos principais de inércia. É também comum o sistema de referência paralelo a  $O'X_1X_2X_3$ , com a origem localizada em algum outro ponto. Quantidades definidas neste último sistema podem ser transferidas ao sistema  $O'X_1X_2X_3$  por simples transformação de coordenadas.

O segundo sistema de coordenadas,  $Ox_1x_2x_3$ , é fixo no espaço e ocupa a posição média de  $O'X_1X_2X_3$ , no deslocamento deste com os movimentos da plataforma. Em geral, é mais conveniente expressar-se as propriedades inerciais e as forças agentes na estrutura no sistema  $O'X_1X_2X_3$ , pois a geometria da estrutura é fixa neste sistema. Por outro lado, torna-se mais vantajoso expressar-se as equações lineares do movimento no sistema  $Ox_1x_2x_3$ .

visto que este é um sistema inercial e, em última análise, é interesse obter-se os movimentos da plataforma como pequenos desvios dependentes do tempo em relação a uma posição média. Os deslocamentos lineares do centro de gravidade da posição média podem ser então expressos pelas quantidades  $x_{1c}(t)$ ,  $x_{2c}(t)$ ,  $x_{3c}(t)$ , medidas no sistema  $Ox_1x_2x_3$ .

O movimento angular da plataforma será definido em função dos ângulos  $\beta_1(t)$ ,  $\beta_2(t)$ ,  $\beta_3(t)$ . Esses ângulos são definidos de tal modo que um deslocamento angular entre os dois sistemas de coordenadas,  $Ox_1x_2x_3$  e  $O'X_1X_2X_3$ , pode ser criado imaginando-se a plataforma primeiramente orientada com os dois sistemas coincidindo. Efetua-se uma rotação  $\beta_1$  em relação a  $O'X_1$  e a seguir uma rotação  $\beta_2$  através de  $O'X_2$ . Finalmente, em relação a nova posição de  $O'X_3$ , uma rotação  $\beta_3$ . Na referência [63] encontra-se a dedução da matriz de transformação entre os dois sistemas de coordenadas. Na Fig. II.1 o eixo  $x_3$  está voltado ao observador apenas por conveniência de visualização.

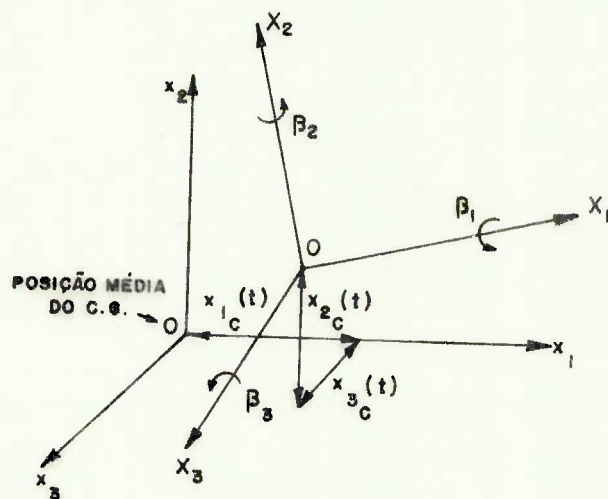


Fig. II.1 - Relação entre os sistemas de coordenadas  $Ox_1x_2x_3$  e  $O'X_1X_2X_3$ .

Para pequenos valores de  $\beta_1$ ,  $\beta_2$ ,  $\beta_3$  pode ser verificado que os dois sistemas relacionam-se da seguinte maneira:

$$\begin{Bmatrix} x_1 - x_{1c}(t) \\ x_2 - x_{2c}(t) \\ x_3 - x_{3c}(t) \end{Bmatrix} = \begin{bmatrix} 1 & -\beta_3 & \beta_2 \\ \beta_3 & 1 & -\beta_1 \\ -\beta_2 & \beta_1 & 1 \end{bmatrix} \cdot \begin{Bmatrix} X_1 \\ X_2 \\ X_3 \end{Bmatrix} \quad (\text{II.1})$$

Note-se que a transformação expressa pelas equações (II.1) pode ser aplicada para forças, velocidades assim como para coordenadas.

As equações do movimento podem então ser escritas. É conveniente escrever-se de início as equações para os movimentos de translação em  $Ox_1x_2x_3$ . Supõe-se portanto que todas as forças agentes no corpo tenham sido expressas nesse sistema. As equações do movimento de translação para a plataforma, como um corpo rígido de massa constante, decorrem da segunda Lei de Newton:

$$F_i = m \ddot{x}_{ic} \quad , \quad i = 1,2,3 \quad (\text{II.2})$$

onde

$$x_{ic} = x_i(t)$$

As equações do movimento angular podem ser facilmente escritas no sistema de coordenadas do corpo,  $O'X_1X_2X_3$ , visto que os momentos e produtos de inércia são constantes neste sistema. Se os momentos externos  $M'_i$  são também expressos em  $O'X_1X_2X_3$  e, supondo-se que os eixos desse sistema coincidam com os eixos principais de inércia, pode-se escrever as equações de Euler para os movimentos rotacionais. Em notação indicial:

$$(I_i - I_j)\Omega_i\Omega_j - \sum_k (I_k \dot{\Omega}_k - M'_k) \epsilon_{ijk} = 0 \quad (\text{II.3})$$

onde:

$\Omega_i$  = componentes do vetor velocidade angular em  $O'X_1X_2X_3$ .

$I_i$  = momento de inércia em relação ao eixo  $X_i$

Em uma forma mais geral, em que os eixos do sistema  $O'X_1X_2X_3$  não sejam os eixos principais de inércia, as equações de Euler são:

$$M_i' = \sum_{j=1}^3 I_{ij} \dot{\Omega}_j + \theta(\Omega_i, \Omega_j) \quad , \quad i = 1, 2, 3 \quad (II.4)$$

onde

$I_{ij}$  = produto de inércia se  $i \neq j$  (com sinal negativo)

$\theta$  = função do produto  $\Omega_i \Omega_j$

Essas equações bem como as afirmações consideradas a seguir encontram-se deduzidas nas referências [63] e [66].

Deve-se agora obter os momentos  $M_i'$  através da matriz de transformação (II.1) em componentes no sistema de coordenadas  $Ox_1x_2x_3$ . A transformação de pequenos momentos, entretanto, após eliminarmos produtos envolvendo quantidades pequenas resulta em:

$$M_i = M_i' \quad (II.5)$$

De maneira análoga, as componentes da velocidade angular  $\Omega_i$  em  $O'X_1X_2X_3$  podem ser transformadas em componentes no sistema de coordenadas fixo no espaço. Para pequenas velocidades angulares conclui-se aproximadamente que:

$$\ddot{\beta}_i = \dot{\Omega}_i \quad (II.6)$$

Aqui  $\beta_i$  são as componentes em  $Ox_1x_2x_3$  de uma pequena rotação da estrutura em relação a um eixo fixo instantaneamente no espaço. Em outras palavras, para pequenos movimentos angulares, aos quais nossa análise se limita, os ângulos de Euler são aproximadamente iguais às componentes da rotação do corpo em um pequeno intervalo de tempo em relação a eixos fixos

no espaço. Respectivamente, as velocidades e acelerações angulares são dadas por  $\dot{\beta}_i$  e  $\ddot{\beta}_i$ .

As equações do movimento (II.2) e (II.4) podem ser agora combinadas e escritas no sistema  $Ox_1x_2x_3$  na forma:

$$\sum_{k=1}^6 M_{ik} \ddot{\eta}_k = F_i, \quad i = 1, \dots, 6 \quad (\text{II.7})$$

O índice  $k$  está associado aos deslocamentos mostrados na figura abaixo, relacionados ao sistema de eixos cartesianos  $Ox_1x_2x_3$ .

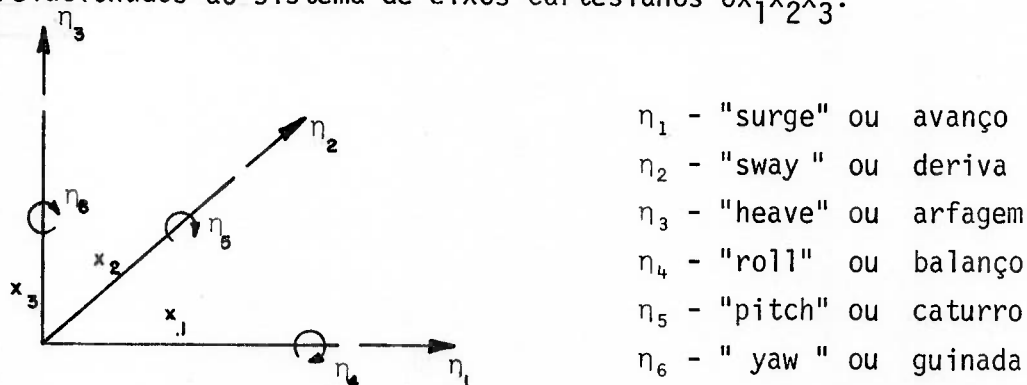


Fig. II.2 - Deslocamentos associados ao sistema  $Ox_1x_2x_3$ .

A matriz de massa generalizada, com o centro de gravidade do corpo na origem, é dada por [91] :

$$M_{ik} = \begin{bmatrix} M & 0 & 0 & 0 & 0 & 0 \\ 0 & M & 0 & 0 & 0 & 0 \\ 0 & 0 & M & 0 & 0 & 0 \\ 0 & 0 & 0 & I_{44} & -I_{45} & -I_{46} \\ 0 & 0 & 0 & -I_{54} & I_{55} & -I_{56} \\ 0 & 0 & 0 & -I_{64} & -I_{65} & I_{66} \end{bmatrix} \quad (\text{II.8})$$

onde:

$M$  = massa da plataforma

$I_{ik}$ , se  $i=k$  momentos de inércia em relação aos eixos  $O'x_1x_2x_3$

$I_{ik}$ , se  $i \neq k$  produtos de inércia em relação aos eixos  $O'x_1x_2x_3$

A formulação das equações será limitada agora a respostas lineares do semi-submersível, como corpo rígido, a forças e momentos excitantes harmônicos, supostos como contribuição apenas das ondas de superfície. De modo a justificar a resposta linear do corpo as amplitudes de onda são assumidas pequenas. A profundidade é infinita e não há ventos e correntes apreciáveis que invalidem a hipótese de resposta linear.

Os movimentos da plataforma podem ser descritos, então, pelo sistema de equações (II.9)

$$\sum_{k=1}^6 M_{ik} \ddot{\eta}_k = F_i e^{-j\omega t} \quad (\text{II.9})$$

$\omega$  = frequência da onda

$j$  = unidade imaginária

$i$  = direção da força ou momento

$k$  = direção do movimento

$M_{ik}$  = matriz de massa generalizada do corpo

$F_i$  = amplitude complexa das forças ou momentos externos agentes no corpo

$\eta_k$  = função complexa dos deslocamentos do corpo dada por:

$$\eta_k(t) = \eta_k e^{-j\omega t} = (\eta_{k_{re}} + j\eta_{k_{im}}) e^{-j\omega t} \quad (\text{II.10})$$

onde  $\eta_{k_{re}}$  e  $\eta_{k_{im}}$  são funções reais e deve ser entendido que sempre que a parecer um produto envolvendo  $e^{-j\omega t}$ , somente a parte real é para ser considerada.

$$\text{Assim, } \eta_k(t) = \eta_{k_{re}} \cos \omega t + \eta_{k_{im}} \sin \omega t \quad (\text{II.11})$$



## II.2 EQUAÇÕES PARA DOIS PONTÕES CILINDRICOS FLUTUANDO LIVREMENTE

Muitas operações marítimas envolvem o uso de duas ou mais estruturas flutuando nas suas vizinhanças. Algumas situações práticas podem ser citadas:

- navio tanque amarrado a um reservatório flutuante ou a uma instalação de produção.
- navio de suprimento amarrado ao longo de uma barcaça lançadora de tubulações ou a um sistema de perfuração.
- barcaça com módulos de construção flutuando próxima a uma embarcação com dispositivos de elevação de carga, etc.

O comportamento de cada uma dessas estruturas será influenciado, além das possíveis restrições advindas do sistema de amarras ou das conexões, pelos efeitos de interação hidrodinâmicos e aerodinâmicos devidos à estrutura vizinha. Este tópico aborda os efeitos de interação hidrodinâmicos que ocorrem entre duas estruturas flutuando sob a ação de ondas.

As forças do fluido nas estruturas são resultantes dos efeitos de inércia, de gravidade e viscosos. A formulação teórica, apresentada no A pêndice A.I, está baseada na teoria potencial linear, que resulta de não se considerar os efeitos viscosos.

A adoção da teoria potencial linear implica ainda na validade do princípio de superposição. Este assume que a força total do fluido, em uma estrutura flutuando sob a ação de ondas, é igual à soma da força da onda na estrutura estacionária e da força de reação da estrutura oscilando em águas calmas, com a mesma frequência da onda. Esta última consiste em uma componente hidrostática e uma hidrodinâmica. Uma das três componentes, a força de reação hidrostática, não é afetada pela presença de uma estrutura próxima. As outras duas, a força devida à onda e a força de reação hidrodin

nâmica, se alteram. O carregamento devido à onda incidente será diferente daquele em um corpo isolado pelo fato de uma estrutura estar situada no campo de difração da outra. Também as forças hidrodinâmicas, que são as forças de reação do fluido induzidas pelo movimento do corpo, são afetadas, desde que as ondas geradas por um corpo em movimento são difratadas e refletidas pela estrutura nas proximidades. Além disso, uma força adicional é exercida devida ao movimento do fluido induzido pelos movimentos do corpo próximo.

No presente estudo serão analisados os efeitos da interação nas forças hidrodinâmicas de reação agentes nos corpos oscilantes.

Seja  $Ox_1x_2x_3$  um sistema de eixos ortogonal direto, agora com a origem na superfície livre. Considere-se também os sistemas  $G_1y_1y_2y_3$  e  $G_2z_1z_2z_3$  definidos na Fig.II.3, fixos nos centros de gravidades dos dois corpos.

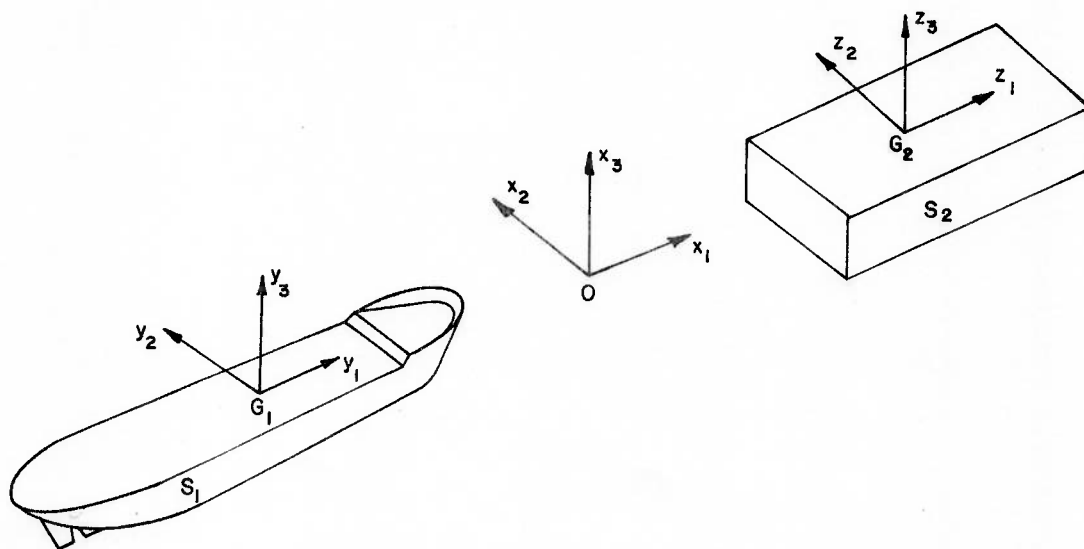


Fig. II.3 - Eixos coordenados para duas estruturas flutuantes.

Os movimentos oscilatórios dos corpos no  $K$ -ésimo modo podem ser descritos por:

$$y_k = \bar{y}_k e^{-j\omega t} \quad k = 1, \dots, 6 \quad (\text{II.12})$$

$$z_k = \bar{z}_k e^{-j\omega t}$$

onde  $\bar{y}_k$  e  $\bar{z}_k$  são amplitudes complexas.

A segunda Lei de Newton, como deduzido anteriormente, conduzem a seguinte expressão:

$$\sum_{k=1}^6 M_{ik}^{(1)} \ddot{y}_k = F_i^{(1)} e^{-j\omega t} \quad i = 1, \dots, 6 \quad (\text{II.13})$$

$$\sum_{k=1}^6 M_{ik}^{(2)} \ddot{z}_k = F_i^{(2)} e^{-j\omega t}$$

Para movimentos harmônicos em ondas, as forças excitantes devidas ao potencial de onda incidente e de difração podem ser formuladas separadamente, o que está feito no Capítulo III.

As equações do movimento resultam portanto na seguinte forma:

$$\sum_{k=1}^6 (M_{ik}^{(1)} + A_{ik}^{(1)} + D_{ik}^{(1)}) \ddot{y}_k + (B_{ik}^{(1)} + E_{ik}^{(1)}) \dot{y}_k + C_{ik}^{(1)} y_k = F_i^{(1)} e^{-j\omega t}$$

$$\sum_{k=1}^6 (M_{ik}^{(2)} + A_{ik}^{(2)} + D_{ik}^{(2)}) \ddot{z}_k + (B_{ik}^{(2)} + E_{ik}^{(2)}) \dot{z}_k + C_{ik}^{(2)} z_k = F_i^{(2)} e^{-j\omega t}$$

$$i = 1, \dots, 6 \quad (\text{II.14})$$

Nessas equações, A e B são as matrizes dos coeficientes de massa adicionada e de amortecimento, C é a matriz dos coeficientes de restauração hidrostática, e finalmente D e E são as matrizes dos coeficientes de interação hidrodinâmica.  $F_i$  agora são as forças excitantes devidas aos potenciais de onda incidente e de difração, provocados pela onda regular incidindo sobre o navio fino em sua posição média.

Os coeficientes de A e B definem as forças hidrodinâmicas restauradoras em um corpo devidas aos movimentos desse mesmo corpo, enquanto os coeficientes de D e E definem forças similares que são oriundas dos movimentos do corpo das proximidades.

Como mostrado no Capítulo III, os coeficientes de massa adicionada e de amortecimento satisfazem as relações de simetria como no caso de um corpo isolado:

$$\begin{aligned} A_{ik}^{(1)} &= A_{ki}^{(1)} & A_{ik}^{(2)} &= A_{ki}^{(2)} \\ B_{ik}^{(1)} &= B_{ki}^{(1)} & B_{ik}^{(2)} &= B_{ki}^{(2)} \end{aligned} \quad (II.15)$$

Existem também certas relações de simetria para os coeficientes de interação hidrodinâmica:

$$D_{ik}^{(1)} = D_{ki}^{(2)} \quad (II.16)$$

$$E_{ik}^{(1)} = E_{ki}^{(2)}$$

De uma maneira compacta, as equações do movimento para dois cilindros flutuando livremente podem ser expressas na forma matricial:

$$\sum_{m=1}^2 \sum_{k=1}^2 \left[ (\delta_{\ell,m} M_{i,k}^{(\ell,m)} + A_{ik}^{(\ell,m)}) \ddot{\eta}_k^{(m)} + B_{ik}^{(\ell,m)} \dot{\eta}_k^{(m)} + \delta_{\ell,m} C_{ik}^{(\ell,m)} \eta_k^{(m)} \right] = F_i^{(\ell)} e^{-j\omega t} \quad (II.17)$$

$$\ell, m = 1, 2$$

$$i, k = 1, 2, \dots, 6$$

$$\delta_{\ell,m} = \begin{cases} 0, & \ell \neq m \\ 1, & \ell = m \end{cases}$$

$i$  = direção da força ou momento

$k$  = direção do movimento

$\ell$  = corpo no qual a força ou momento é exercido

$m$  = corpo em movimento

$M_{ik}^{(m,m)}$  = matriz de massa generalizada do corpo  $m$

$$\ell = m \begin{cases} A_{ik}^{(m,m)} & = \text{matriz dos coeficientes de massa adicionada do} \\ & \text{corpo } m \\ B_{ik}^{(m,m)} & = \text{matriz dos coeficientes de amortecimento do cor} \\ & \text{po } m \end{cases}$$

$$\ell = m \begin{cases} A_{ik}^{(\ell,m)} = D_{ik}^{(\ell,m)} \\ B_{ik}^{(\ell,m)} = E_{ik}^{(\ell,m)} \end{cases}$$

$C_{ik}^{(m,m)}$  = matriz dos coeficientes de restauração hidrostáticos

$F_j^{(\ell)}$  = amplitude complexa das forças ou momentos excitantes a  
gentes no corpo  $m$

$\eta_k^{(m)}$  = função complexa dos deslocamentos do corpo  $m$

As 12 equações complexas dos movimentos podem ser utilizadas pa  
ra descrever o movimento em regime permanente de dois corpos flutuando em  
ondas. A existência de amarras ou outras restrições devidas a conexões po  
dem ser consideradas, se estas tiverem características lineares, pela in  
trodução de constantes elásticas.

### II.3 EQUAÇÕES PARA DOIS PONTÕES CILÍNDRICOS RIGIDAMENTE CONECTADOS

No caso de dois cilindros moverem-se conectados rigidamente, as  
equações do movimento (II.17) são reduzidas a uma forma mais simples, bas-

tando para isso suprimir os índices  $\ell$  e  $m$ .

O sistema de coordenadas  $\bar{e}$  é o indicado na figura a seguir:

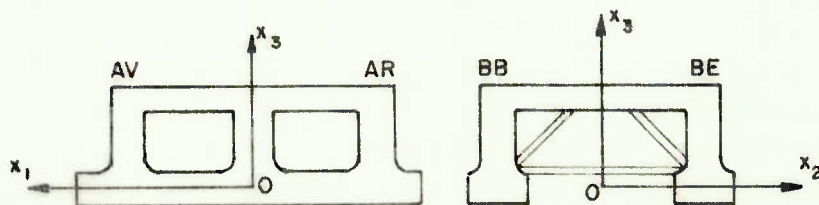


Fig. II.4 - Definição do sistema de coordenadas

O plano  $Ox_1x_2$  é localizado na superfície do mar sem perturbação. Quando o corpo está na posição média o plano  $Ox_1x_3$  coincide com o plano longitudinal de simetria.

Pede-se então escrever:

$$\sum_{k=1}^6 \left[ (M_{ik} + A_{ik}) \ddot{\eta}_k + B_{ik} \dot{\eta}_k + C_{ik} \eta_k \right] = F_i e^{-j\omega t} \quad (\text{II.18})$$

$$i = 1, \dots, 6$$

Assume-se que a plataforma possua simetria lateral das obras vivas (simetria em relação ao plano  $Ox_1x_2$ ) e que o centro de gravidade está localizado em  $(0, 0, x_{3c})$ . A matriz de massa generalizada é dada então por:

$$M_{ik} = \begin{bmatrix} M & 0 & 0 & | & 0 & M_{x_{3c}} & 0 \\ 0 & M & 0 & | & -M_{x_{3c}} & 0 & 0 \\ 0 & 0 & M & | & 0 & 0 & 0 \\ \hline 0 & -M_{x_{3c}} & 0 & | & I_{44} & 0 & -I_{46} \\ M_{x_{3c}} & 0 & 0 & | & 0 & I_{55} & 0 \\ 0 & 0 & 0 & | & -I_{46} & 0 & I_{66} \end{bmatrix} \quad (\text{II.19})$$

A simetria lateral implica também em alguns coeficientes de massa adicionada e de amortecimento nulos. No Capítulo III é apresentada a formulação desses coeficientes hidrodinâmicos.

$$A_{ik} \text{ (ou } B_{ik}) = \begin{pmatrix} A_{11} & 0 & A_{13} & 0 & A_{15} & 0 \\ 0 & A_{22} & 0 & A_{24} & 0 & A_{26} \\ A_{31} & 0 & A_{33} & 0 & A_{35} & 0 \\ 0 & A_{42} & 0 & A_{44} & 0 & A_{46} \\ A_{51} & 0 & A_{53} & 0 & A_{55} & 0 \\ 0 & A_{62} & 0 & A_{64} & 0 & A_{66} \end{pmatrix} \quad (\text{II.20})$$

Os únicos coeficientes hidrostáticos de restauração remanescentes |55| são:

$$\begin{aligned} C_{33} &= \rho g A_W \\ C_{44} &= \rho g I_{W_4} - Mg \overline{BG} \\ C_{55} &= \rho g I_{W_5} - Mg \overline{BG} \\ C_{35} &= C_{53} = -\rho g M_W \end{aligned} \quad (\text{II.21})$$

onde:  $A_W$  = área de plano de flutuação  
 $M_W$  = momento da área do plano de flutuação em relação ao eixo  $x_2$   
 $I_{W_4}, I_{W_5}$  = momento de inércia da área do plano de flutuação em relação aos eixos  $x_1$  e  $x_2$  respectivamente.  
 $\overline{BG}$  = distância vertical entre o centro de flutuação e o centro de gravidade do navio na posição média.

Introduzindo-se a matriz de massa generalizada (II.19), os coeficientes de massa adicionada e de amortecimento (II.20) e os coeficientes hidrostáticos de restauração (II.21) nas equações do movimento (II.18) verifica-se que, para uma plataforma simétrica, as equações do movimento se reduzem a dois conjuntos de equações: um conjunto com equações dos movimentos acoplados de avanço, arfagem e caturro e outro para movimentos acoplados de deriva, balanço e guinada.

#### II.4 SOLUÇÃO DAS EQUAÇÕES DO MOVIMENTO

As equações do movimento (II.18) não são equações diferenciais ordinárias de segunda ordem, pois a amplitude das forças excitantes é função da frequência e os coeficientes podem também variar com a frequência. Entretanto, desde que as forças e momentos excitantes sejam funções senoidais, os movimentos, devido à linearidade do modelo adotado, serão também senoidais, com a mesma frequência.

Fazendo-se:

$$\eta_k(t) = \eta_k e^{-j\omega t} = (\eta_{k_{re}} + j\eta_{k_{im}}) e^{-j\omega t} \quad (II.22)$$

e introduzindo-se em (II.18), o resultado é um sistema algébrico de seis equações lineares complexas.

$$\sum_{k=1}^6 [-(M_{ik} + A_{ik})\omega^2 - j\omega B_{ik} + C_{ik}] \eta_k = F_i \quad i=1, \dots, 6 \quad (II.23)$$

Explicitando-se (II.23) nas partes real e imaginária obtém-se na forma matricial:



$$([C] - ([M] + [A])\omega^2)\{\eta\}_{re} + [B]\omega\{\eta\}_{im} = \{F\}_{re} \quad (II.24)$$

$$([C] - ([M] + [A])\omega^2)\{\eta\}_{im} - [B]\omega\{\eta\}_{re} = \{F\}_{im}$$

Resolvendo-se o sistema de equações algébrico (II.24) as amplitudes real e imaginária dos movimentos são obtidas:

$$\{\eta\}_{re} = [[J]_{im}^{-1} [J]_{re} + [J]_{re}^{-1} [J]_{im}]^{-1} \{ [J]_{im}^{-1} \{F\}_{re} + [J]_{re}^{-1} \{F\}_{im} \} \quad (II.25)$$

$$\{\eta\}_{im} = [[J]_{im}^{-1} [J]_{re} + [J]_{re}^{-1} [J]_{im}]^{-1} \{ [J]_{im}^{-1} \{F\}_{im} - [J]_{re}^{-1} \{F\}_{re} \}$$

onde,

$$[J]_{re} = [C] - ([M] + [A])\omega^2$$

e

$$[J]_{im} = -[B]\omega$$

Os movimentos da plataforma em ondas senoidais lineares podem então ser expressos por:

$$\eta_k(t) = \eta_k \cos(\omega t + \delta_k) \quad (II.26)$$

onde

$$\eta_k = (\eta_{k_{re}}^2 + \eta_{k_{im}}^2)^{1/2}$$

$$\delta_k = \tan^{-1} (-\eta_{k_{im}} / \eta_{k_{re}})$$

As velocidades e acelerações do movimento são obtidas simplesmente multiplicando-se as amplitudes complexas dos deslocamentos por  $-j\omega$  e

$-\omega^2$ , respectivamente.

As amplitudes complexas de movimento vertical absoluto,  $\eta_V^{(A)}$ , e relativo,  $\eta_V^{(R)}$  de um ponto  $(x_1, x_2, x_3)$  da plataforma são dadas por:

$$\eta_V^{(A)} = \eta_3 + x_2 \eta_4 - x_1 \eta_5 \quad (\text{II.27.a})$$

$$\eta_V^{(R)} = \eta_V^{(A)} - \zeta \quad (\text{II.27.b})$$

onde  $\zeta$  é a amplitude complexa da onda incidente,

$$\zeta = A e^{jK} (x_1 \cos \beta - x_2 \sin \beta) \quad (\text{II.28})$$

$A$  = amplitude da onda

$K$  = número de onda

$\beta$  = ângulo de incidência, em relação ao eixo  $x_1$  no sentido horário (Fig.III.1).

A equação (II.27.b) resulta de uma aproximação, pois foram desprezadas as deformações da elevação da onda ao longo do corpo devidas à difração da onda pelo corpo e às ondas geradas pelo próprio movimento.

Para o movimento transversal é possível escrever-se de maneira análoga:

$$\eta_H^{(A)} = \eta_2 + x_1 \eta_6 - x_3 \eta_4 \quad (\text{II.29})$$

Conhecidos os movimentos, pode-se definir as funções de resposta em frequência ou funções de transferência do sistema.

$$|H_{\eta_k}(\omega, \beta)| = \frac{|\eta_k|}{A} \quad k = 1, 2, \dots, 6 \quad (\text{II.30})$$

É comum definir-se ORA, operador de resposta em amplitude, como a própria função de transferência do sistema:

$$\text{ORA} = \left[ \frac{|\eta_k|}{A} \right] \quad k = 1, 2, \dots, 6 \quad (\text{II.31})$$

Determinados os ORA para os movimentos, todos os valores deles dependentes podem ser calculados, como por exemplo alargamento do convés, o corrência de culapada e emersões do propulsor.

## CAPÍTULO III

## DETERMINAÇÃO DOS ESFORÇOS EXCITANTES E RESTAURADORES

## III.1 INTRODUÇÃO

As forças de um fluido em uma estrutura são determinadas por efeitos de inércia, de gravidade e viscosos. A formulação teórica aqui apresentada baseia-se na teoria potencial linear, o que implica que os efeitos viscosos não são considerados. Esta simplificação é em geral aceitável para estruturas que possuam elementos de seções transversais de dimensões reduzidas em relação ao comprimento.

A aplicação da teoria potencial linear implica na validade do princípio de superposição. Pode-se considerar então os esforços globais sobre o corpo como o somatório de duas parcelas. Será analisado neste capítulo o problema das *forças excitantes* geradas pelas ondas incidentes e refletidas com o corpo fixo na posição média e, posteriormente, as *forças restauradoras* gerada pelo movimento oscilatório forçado do corpo em águas calmas, com a mesma frequência da onda. As forças restauradoras possuem uma componente hidrostática e outra hidrodinâmica.

Inicialmente será estabelecido o problema potencial de equações diferenciais de derivadas parciais, com apropriadas condições de contorno. A seguir será apresentado o método de Jan Mathisen e C.A. Carlsen para o cálculo das componentes dos esforços excitantes (forças de Froude-Kriloff e de difração).

Os esforços restauradores hidrodinâmicos são calculados e apresentadas as suas relações de simetria. Desenvolve-se adicionalmente expressões para os coeficientes de interação hidrodinâmica para dois cascos flutuando livremente. Completa-se assim a determinação das expressões para os coeficientes das equações do movimento para os casos apresentados no Capítulo II. O cálculo efetivo dependerá apenas da obtenção do potencial de radiação pelo método de Potash de distribuição de singularidades a ser desenvolvido para cascos tipo catamarã no Capítulo V.

## III.2 FORMULAÇÃO DO PROBLEMA POTENCIAL

### III.2.1 Hipóteses físicas de base

Considere-se um corpo rígido, sem velocidade de avanço, imerso parcial ou totalmente em um fluido de profundidade infinita, inicialmente sem perturbações. O corpo é submetido a ondas de pequena amplitude.

O sistema de eixos adotado é o sistema  $Ox_1x_2x_3$ , definido anteriormente:

- $Ox_3$  é o eixo vertical dirigido para cima;
- $Ox_1x_2$  é o plano horizontal da superfície livre em repouso;
- $Ox_1x_3$  é o plano longitudinal de simetria;
- o centro de gravidade do corpo está alocado sobre o eixo  $Ox_3$ .

Serão feitas as seguintes hipóteses:

- (i) O fluido é perfeito (invíscido e incompressível) e o escoamento é irrotacional. Existe então um potencial de velocidades  $\Phi(x_1, x_2, x_3; t)$  e em todo o domínio fluido é verificada a equação de Bernoulli:

$$p + \rho g x_3 + \frac{\rho}{2} |\text{grad } \Phi|^2 + \rho \frac{\partial \Phi}{\partial t} = C(t) \quad (\text{III.1})$$

onde  $C(t)$  é uma função arbitrária de  $t$  e constante em todo o domínio fluido em cada instante  $\bar{t}$ .

- (ii) A atmosfera será suposta em repouso ( $P_0$  representa a pressão atmosférica constante) e os efeitos de tensão superficial são desprezíveis. Seja  $x_3 = \zeta(x_1, x_2; t)$  a equação da superfície livre e será imposto  $C(t) = 0$ .

A continuidade da pressão na superfície livre é expressa por:

$$P(x_1, x_2, x_3; t) = P_0 \quad \text{em} \quad x_3 = \zeta(x_1, x_2; t) \quad (\text{III.2})$$

$P$  = pressão absoluta

isto é,

$$g x_3 + \frac{1}{2} |\text{grad } \Phi|^2 + \frac{\partial \Phi}{\partial t} = 0 \quad \text{em} \quad x_3 = \zeta(x_1, x_2; t) \quad (\text{III.3})$$

Além disso, a superfície livre é uma superfície material e, portanto:

$$\frac{D}{Dt} (x_3 - \zeta(x_1, x_2; t)) = 0 \quad \text{em} \quad x_3 = \zeta(x_1, x_2; t) \quad (\text{III.4})$$

- (iii) Sobre a parte imersa da carena ( $S$ ), a condição cinemática de velocidade zero através da superfície estabelece que:

$$\text{grad } \Phi \cdot \vec{n}_t = \vec{U} \cdot \vec{n}_t \quad \text{em } S, \quad (\text{III.5})$$

onde  $\vec{U}$  é a velocidade de um ponto P da superfície S e  $\vec{n}_t$  é o vetor unitário normal interno em cada instante t.

(iv) À profundidade infinita nenhuma perturbação ocorre, de maneira que:

$$\frac{\partial \Phi}{\partial x_3} \rightarrow 0 \quad \text{quanto } x_3 \rightarrow -\infty \quad (\text{III.6})$$

Outras hipóteses fundamentais serão feitas no desenvolvimento deste capítulo de modo a equacionar-se o problema linearizado do movimento.

### III.2.2 A hipótese de ondas infinitesimais

Como já foi citado, a onda incidente é de pequena amplitude. Os movimentos e velocidades induzidas serão por hipótese também pequenos.

Em hidrodinâmica a família das teorias de ondas de pequena amplitude abrange a teoria de ondas infinitesimais (ondas de Airy) e as teorias que envolvem as primeiras potências da solução para o potencial de onda incidente em séries de potências em termos de um parâmetro pequeno  $\epsilon$ .

Mais precisamente seja  $\epsilon = \frac{\zeta^*}{L}$ , onde  $\zeta^*$  é uma amplitude de onda característica e L o comprimento do corpo, e dir-se-á que  $\epsilon$  é "pequeno em relação à unidade".  $\Phi$  pode então ser escrito como:

$$\Phi(x_1, x_2, x_3; t) = \epsilon \Phi^{(1)}(x_1, x_2, x_3; t) + O(\epsilon^2) \quad (\text{III.7})$$

e

$$\zeta(x_1, x_2; t) = \zeta^{(0)}(x_1, x_2; t) + \epsilon \zeta^{(1)}(x_1, x_2; t) + O(\epsilon^2)$$

É prática em engenharia considerar-se apenas a solução de primei-

ra ordem. Entretanto, para valores maiores de  $\zeta/L$ , ainda em águas profundas, as teorias de Stokes de ordens superiores devem ser utilizadas.

No Apêndice A.I é apresentada uma discussão detalhada das simplificações decorrentes desta hipótese. A seguir será formulada apenas um re condições ali obtidas.

(i) Condição linearizada para a superfície livre

A equação de Bernoulli (III.3) se reduz à seguinte expressão:

$$-\epsilon \frac{\partial \phi^{(1)}}{\partial t}(x_1, x_2, 0; t) = g \epsilon \zeta^{(1)}(x_1, x_2; t) + O(\epsilon^2) \quad (\text{III.8})$$

A condição cinemática (III.4) para a superfície livre se escreve como:

$$\frac{\partial \zeta}{\partial t} = \text{grad } \phi \cdot \text{grad } (x_3 - \zeta) \quad \text{em } x_3 = 0 \quad (\text{III.9})$$

ou,

$$\epsilon \frac{\partial \zeta^{(1)}}{\partial t}(x_1, x_2; t) = \epsilon \frac{\partial \phi^{(1)}}{\partial x_3}(x_1, x_2, 0; t) + O(\epsilon^2) \quad (\text{III.10})$$

Eliminando-se  $\zeta^{(1)}$  em (III.8) e (III.10) e fazendo-se  $\phi = \epsilon \phi^{(1)}$ , resulta:

$$\frac{\partial^2 \phi}{\partial t^2}(x_1, x_2, 0; t) + g \frac{\partial \phi}{\partial x_3}(x_1, x_2, 0; t) = 0 \quad (\text{III.11})$$

(ii) Condição cinemática sobre a carena S

Seja  $\vec{r}_0 = \vec{OP}$  o vetor representante da posição de um ponto P



pertencente à carena em repouso e seja  $\vec{r}$  o vetor da posição instantânea. Sob a hipótese de pequenos movimentos é possível escrever:

$$\vec{r} = \vec{r}_0 + \epsilon [\vec{r}_c(t) + \vec{\gamma}(t) \times \vec{r}_0] + O(\epsilon^2) \quad (\text{III.12})$$

$\epsilon \vec{r}_c = (\epsilon x_{1c}(t), \epsilon x_{2c}(t), \epsilon x_{3c}(t))$  onde  $\epsilon x_{ij}(t)$  são os deslocamentos lineares do centro de gravidade.

$\epsilon \vec{\gamma} = (\epsilon \beta_1(t), \epsilon \beta_2(t), \epsilon \beta_3(t))$  onde  $\epsilon \beta_i(t)$  são os deslocamentos angulares

Do mesmo modo têm-se:

$$\vec{n}_t = \vec{n} + \epsilon \vec{\gamma}(t) \times \vec{n} + O(\epsilon^2) \quad (\text{III.13})$$

$\vec{n}$  = vetor unitário normal interno, no repouso.

A condição cinemática (III.5) fica então:

$$\text{grad } \phi \cdot \vec{n} = \left[ \frac{d\vec{r}_c}{dt} + \frac{d\vec{\gamma}}{dt} \times \vec{r}_0 \right] \cdot \vec{n} \quad \text{em } S \quad (\text{III.14})$$

Definindo-se  $n_i$  o vetor normal generalizado como:

$$\begin{aligned} (n_1, n_2, n_3) &= \vec{n} \\ (n_4, n_5, n_6) &= \vec{r}_0 \times \vec{n}, \end{aligned}$$

demonstrou-se, no Apêndice A.I, que para movimentos pequenos esta condição se reduz a:

$$\frac{\partial \phi}{\partial n} = n_i \frac{\partial \eta_i}{\partial t} \quad (\text{III.15})$$

### III.2.3 Onda incidente periódica

A onda incidente por hipótese é periódica e senoidal. O potencial da onda incidente progressiva pode ser escrito como:

$$\phi_I = - \frac{jg\alpha}{\omega} \exp\{K(jx_1 \cos\beta + jx_2 \sin\beta + x_3)\} \quad (\text{III.16})$$

onde  $\alpha$  é amplitude de onda e  $\beta$  é o ângulo de incidência medido em relação ao eixo  $x_1$  positivo (Fig.III.1),  $\omega$  a frequência da onda,  $t$  o parâmetro tempo e  $j$  é a unidade imaginária.

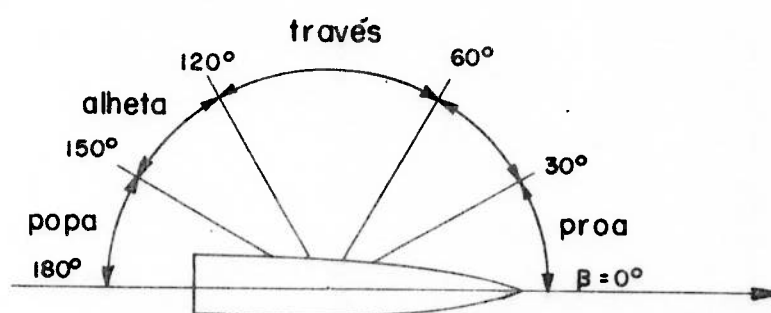


FIG. III.1 - Definição das direções de onda incidente

Por conveniência todos os potenciais nessa análise são escritos na forma complexa e deve ser entendido que a parte real é o potencial a ser obtido.

### III.2.4 Os problemas de movimento forçado e de difração

Pode-se decompor o potencial total de velocidade  $\phi(x_1, x_2, x_3; t)$

nas seguintes parcelas:

$$\Phi = (\phi_I + \phi_D + \sum_{i=1}^6 \eta_i \phi_{Ri}) e^{-j\omega t}, \quad (\text{III.17})$$

onde  $\phi_I$  é o potencial devido à onda incidente,  $\phi_D$  é o potencial de difração e  $\phi_{Ri}$  é o potencial de radiação devido ao movimento forçado de amplitude unitária (modo  $i$ ), em águas calmas (sem ondas incidentes).

Os potenciais de radiação são geralmente determinados por métodos de distribuição de singularidades ao longo da carena do corpo, descritos por exemplo nas referências [25] e [89]. No capítulo V será apresentado o método de Potash, que determina potenciais de radiação bidimensionais.

O potencial de difração não será determinado diretamente. Através da relação de Haskind-Newman  $\phi_D$  é eliminado das expressões para forças de difração. Será apresentada uma solução direta, apenas para mar de águas calmas.

### III.2.5 Condição de radiação

Para formular-se o problema do movimento em condições estacionárias, partindo-se de condições iniciais dadas, é necessário especificar-se o comportamento no infinito. Será imposta uma condição de radiação que corresponde ao fenômeno físico de ondas geradas ou refletidas pela superfície de um obstáculo e se dirigindo ao infinito. É de se esperar que a grandes distâncias do corpo essas ondas tenham o caráter de ondas progressivas na direção radial com velocidade constante.

Como é hábito em hidrodinâmica naval optou-se pela condição de radiação de Sommerfeld. No trabalho de John [42] há um estudo detalhado sobre este ponto.

A grandes distâncias ( $R = \sqrt{x_1^2 + x_2^2}$ ) do corpo, os potenciais devido ao movimento forçado e o potencial de difração devem satisfazer a seguinte condição:

$$\lim_{R \rightarrow \infty} R^{1/2} \left( \frac{\partial \phi}{\partial R} - jK\phi \right) = 0, \quad (\text{III.18})$$

onde  $\frac{\partial \phi}{\partial R}$  é a velocidade normal à superfície de controle no sentido para fora da superfície e  $K$  é o número de onda  $\left(\frac{\omega^2}{g}\right)$ .

Verifica-se no Apêndice A.I que, se uma função potencial satisfaz a condição de radiação, então o fluxo de energia para o infinito é positivo.

### III.2.6 O problema de equações diferenciais de derivadas parciais

O que se apresenta é um problema de condições de contorno em um domínio fluido  $D$  de solução da equação de Laplace para os potenciais de radiação  $\phi_R$  e de difração  $\phi_D$ .

Seja  $P_i$  o problema de equações diferenciais de derivadas parciais. A equação diferencial do problema é a equação de Laplace:

$$\nabla^2 \phi(x_1, x_2, x_3) = 0 \quad \text{no domínio fluido } D \quad (\text{III.19})$$

É ainda necessário estabelecerem-se as condições de contorno. Assim, resumindo, as condições de contorno serão:

C1) condição linearizada na superfície livre

$$\frac{\partial \phi}{\partial x_3}(x_1, x_2, 0) = -\frac{\omega^2}{g} \phi(x_1, x_2, 0) \quad (\text{III.20})$$

C2) condição de fundo

$$\frac{\partial \phi}{\partial x_3} (x_1, x_2, x_3) \rightarrow 0 \quad \text{quando } x_3 \rightarrow -\infty \quad (\text{III.21})$$

C3) condição de radiação

$$\lim_{R \rightarrow \infty} R^{1/2} \left( \frac{\partial \phi}{\partial R} - jk\phi \right) = 0 \quad (\text{III.22})$$

quando  $R \rightarrow \infty$

C4) condição cinemática sobre a carena S

$$\text{C4.a) } \frac{\partial \phi_{Ri}}{\partial n} (x_1, x_2, x_3) = -j\omega n_i, \text{ sobre a carena S} \quad (\text{III.23})$$

$i = 1, \dots, 6$

$$\text{C4.b) } \frac{\partial \phi_D}{\partial n} (x_1, x_2, x_3) = - \frac{\partial \phi_I}{\partial n} (x_1, x_2, x_3) \text{ em S} \quad (\text{III.24})$$

O estudo e a resolução do problema  $P_i$  serão objeto de estudo nos capítulos seguintes. Suponha-se o problema provisoriamente resolvido. Considerações a respeito de existência e unicidade de soluções serão feitas posteriormente.

É de interesse agora determinar-se expressões para os esforços excitantes. Isso será possível a partir de considerações hidrodinâmicas e com a utilização das condições de contorno do problema  $P_i$ .

### III.3 MÉTODO DE JAN MATHISEN E C.A.CARLSEN DE EXPLICITAÇÃO DE COMPONENTES DOS ESFORÇOS EXCITANTES

As pressões dinâmicas são determinadas pelas componentes de po -

tencial usando-se a equação de Bernoulli linearizada:

$$p_t = -\rho \frac{\partial \phi}{\partial t} \quad (III.25)$$

$$p = j\omega \rho \phi$$

As forças correspondentes são calculadas por integração sobre a superfície do corpo(s) na posição média:

$$F_i = \int_S p n_i ds = j\omega \rho \int_S \phi n_i ds \quad (III.26)$$

### III.3.1 Forças de Froude-Kriloff

As forças de Froude-Kriloff, devidas ao potencial de onda incidente (III.16) são dadas então por:

$$F_{Ii} = \rho g \alpha \int_S \exp\{K(jx_1 \cos \beta + jx_2 \sin \beta + x_3)\} n_i ds \quad (III.27)$$

Considerando-se somente um dos cascos ( $S_k$ ) de uma embarcação com dois pontões simétricos ( $x_2$  é positivo), as forças de Froude-Kriloff neste caso podem ser explicitadas nas componentes emparelhadas e de sentidos opostos. Componentes emparelhadas têm o mesmo sinal para os cascos de boreste e bombordo. Quando do cálculo da força total na estrutura é suficiente tomar-se duas vezes as componentes emparelhadas já que as demais se cancelam. Entretanto, as componentes de sentidos opostos devem ser computadas quando a preocupação for com o carregamento em partes da estrutura. Essa explicitação é descrita a seguir.

Reescrevendo-se (III.27) de uma maneira conveniente e fazendo-se  $u = Kx_1 \cos \beta$  e  $v = Kx_2 \sin \beta$ , têm-se:

$$\begin{aligned}
 F_{Ii}^{(k)} &= \rho g \alpha \int_{S_k} \exp\{j(u+v)\} e^{Kx_3} n_i ds = \\
 &= \rho g \alpha \int_{S_k} \{\cos(u+v) + j \sin(u+v)\} e^{Kx_3} n_i ds = \\
 &= \rho g \alpha \int_{S_k} \{\cos u \cos v - \sin u \sin v\} e^{Kx_3} n_i ds + \\
 &+ j \rho g \alpha \int_{S_k} \{\sin u \cos v + \cos u \sin v\} e^{Kx_3} n_i ds \quad (III.28)
 \end{aligned}$$

Define-se então as componentes  $G_{Ii}$  e  $H_{Ii}$  das forças de Froude Kriloff como:

$$\begin{aligned}
 G_{Ii}^{(k)} &= \rho g \alpha \cos u \int_{S_k} \cos v e^{Kx_3} n_i ds + \\
 &+ j \rho g \alpha \sin u \int_{S_k} \cos v e^{Kx_3} n_i ds \quad (III.29)
 \end{aligned}$$

$$\begin{aligned}
 e \quad H_{Ii}^{(k)} &= -\rho g \alpha \sin u \int_{S_k} \sin v e^{Kx_3} n_i ds + \\
 &+ j \rho g \alpha \cos u \int_{S_k} \sin v e^{Kx_3} n_i ds \quad (III.30)
 \end{aligned}$$

$G_{Ii}$  é emparelhada para  $i = 1,3,5$  e de sentidos opostos para  $i = 2,4,6$ .

$H_{Ii}$  é emparelhada para  $i = 2,4,6$  e de sentidos opostos para  $i = 1,3,5$ .

## III.3.2 Forças de difração

A expressão para as forças de difração segue os mesmos princípios:

$$F_{Di} = j\omega \rho \int_S \phi_D n_i ds \quad (III.31)$$

Introduzindo-se a condição de contorno C4.a (III.23) resulta:

$$F_{Di} = -\rho \int_S \phi_D \frac{\partial \phi_{Ri}}{\partial n} ds \quad (III.32)$$

Faz-se necessário agora um resultado da segunda identidade de Green. Essa identidade relaciona integrais de volume e de superfície sobre uma região fechada para duas funções potenciais arbitrárias ( $\phi_A, \phi_B$ ):

$$\int_V (\phi_A \nabla^2 \phi_B - \phi_B \nabla^2 \phi_A) dv = \int_{SC} (\phi_A \frac{\partial \phi_B}{\partial n} - \phi_B \frac{\partial \phi_A}{\partial n}) ds \quad (III.33)$$

A região de integração é a da figura a seguir:

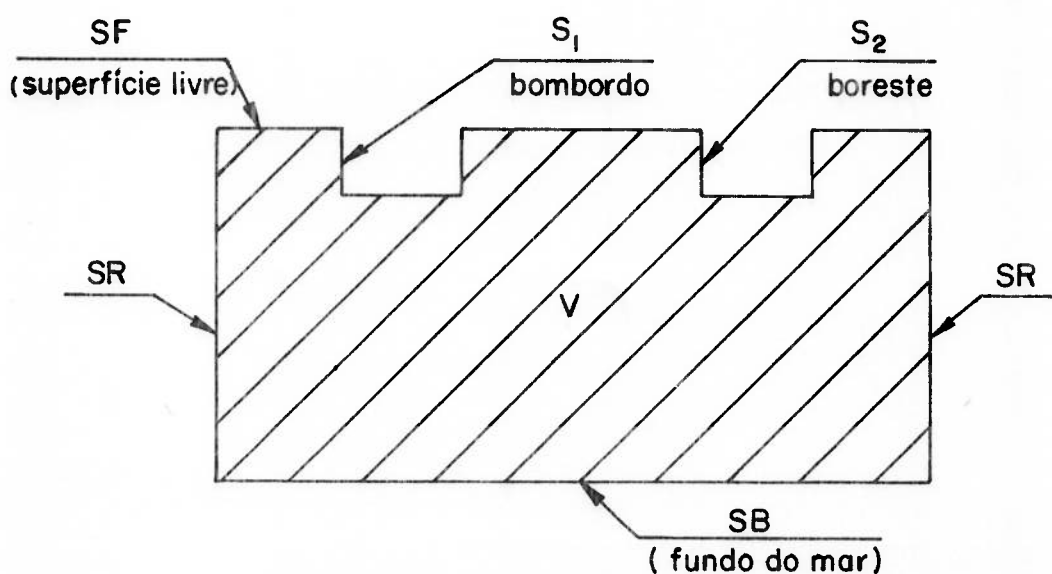


FIG. III.2



A superfície SC envolve o volume  $V$  e inclui a superfície da embarcação ( $S = S_1 + S_2$ ), a superfície livre (SF), a superfície de controle de distância (SR) e o fundo do mar (SB). A identidade é aplicada identificando-se os potenciais ( $\phi_A$  e  $\phi_B$ ) e impondo-se as condições de contorno do presente problema. Utilizando-se a equação de Laplace para o domínio fluido, o lado esquerdo da equação (III.33) é igual a zero. A condição de contorno C2 para o fundo do mar (III.21) mostra que a integral de superfície sobre o fundo se anula. Na superfície livre, a condição C1 (III.20) fornece:

$$\begin{aligned} \frac{\omega^2}{g} \phi &= \frac{\partial \phi}{\partial x_3} = \\ &= \frac{\partial \phi}{\partial n} \quad \text{em } x_3 = 0 \end{aligned} \quad (\text{III.34})$$

Empregando-se essa condição, conclui-se que a integral sobre a superfície livre (SF) também se anula. Analogamente, a condição de radiação C3 (III.22), com  $\frac{\partial \phi}{\partial R} = \frac{\partial \phi}{\partial n}$  distante da superfície de controle, mostra que a integral em SR se anula. A única parcela que resulta da equação (III.33) é a integral de superfície sobre o corpo:

$$\int_S \left( \phi_A \frac{\partial \phi_B}{\partial n} - \phi_B \frac{\partial \phi_A}{\partial n} \right) ds = 0 \quad (\text{III.35})$$

Fazendo-se  $\phi_A = \phi_D$  e  $\phi_B = \phi_{Ri}$  resulta:

$$\int_S \phi_D \frac{\partial \phi_{Ri}}{\partial n} ds = \int_S \phi_{Ri} \frac{\partial \phi_D}{\partial n} ds \quad (\text{III.36})$$

Substituindo-se na expressão da força de difração:

$$F_{Di} = -\rho \int_S \phi_{Ri} \frac{\partial \phi_D}{\partial n} ds \quad (\text{III.37})$$

A condição de contorno C4.b (III.24), na superfície do corpo, elimina o potencial de difração:

$$F_{Di} = \rho \int_S \phi_{Ri} \frac{\partial \phi_I}{\partial n} ds, \quad (III.38)$$

conhecida como relação de Haskind-Newman para a força de difração.

Fazendo-se uso nessa expressão de potenciais de radiação determinadas por teoria bidimensional (Capítulo V), é consistente aplicar-se a mesma justificação da teoria de faixas, utilizando-se a derivada do potencial de onda incidente bidimensional; isto é, para um corpo longo e delgado a derivada na direção longitudinal pode ser desprezada. A derivada de potencial de onda incidente pode ser aproximada, então, por:

$$\frac{\partial \phi_I}{\partial n} \approx (j N_2 \operatorname{sen} \beta + N_3) K \phi_I, \quad (III.39)$$

onde  $N_2$  e  $N_3$  são as componentes do vetor normal unitário no plano  $Ox_2x_3$ .

O potencial de onda incidente é dado por:

$$\phi_I = (\phi_I^{RC} + \phi_I^{RS}) + j(\phi_I^{IC} + \phi_I^{IS}), \quad (III.40)$$

onde

$$\phi_I^{RC} = \frac{g\alpha}{\omega} \underline{\cos v} \operatorname{sen} u. e^{Kx_3}$$

$$\phi_I^{RS} = \frac{g\alpha}{\omega} \underline{\operatorname{sen} v} \cos u. e^{Kx_3}$$

$$\phi_I^{IC} = -\frac{g\alpha}{\omega} \underline{\cos v} \cos u. e^{Kx_3}$$

$$\phi_I^{IS} = \frac{g\alpha}{\omega} \underline{\operatorname{sen} v} \operatorname{sen} u. e^{Kx_3}$$

$$u = K x_1 \cos \beta$$

$$v = K x_2 \sin \beta$$

Reescrevendo-se (III.39) têm-se:

$$\begin{aligned} \frac{\partial \phi_I}{\partial n} &\approx (jN_2 \sin \beta + N_3) K \{ (\phi_I^{RC} + \phi_I^{RS}) + j(\phi_I^{IC} + \phi_I^{IS}) \} = \\ &= K \{ N_3 (\phi_I^{RC} + \phi_I^{RS}) - N_2 \sin \beta (\phi_I^{IC} + \phi_I^{IS}) \} + \\ &+ jK \{ N_2 \sin \beta (\phi_I^{RC} + \phi_I^{RS}) + N_3 (\phi_I^{IC} + \phi_I^{IS}) \} \end{aligned} \quad (III.41)$$

Define-se então as seguintes parcelas:

$$\begin{aligned} g_{Di} &= K \{ (N_3 \phi_I^{RC} - N_2 \sin \beta \phi_I^{IS}) + j(N_2 \sin \beta \phi_I^{RS} + N_3 \phi_I^{IC}) \} \\ h_{Di} &= K \{ (N_3 \phi_I^{RS} - N_2 \sin \beta \phi_I^{IC}) + j(N_2 \sin \beta \phi_I^{RC} + N_3 \phi_I^{IS}) \} \end{aligned} \quad (III.42)$$

ou ainda,

$$\begin{aligned} g_{Di}^R &= K \{ N_3 \phi_I^{RC} - N_2 \sin \beta \phi_I^{IS} \} \\ g_{Di}^I &= K \{ N_3 \phi_I^{IC} + N_2 \sin \beta \phi_I^{RS} \} \\ h_{Di}^R &= K \{ N_3 \phi_I^{RS} - N_2 \sin \beta \phi_I^{IC} \} \\ h_{Di}^I &= K \{ N_3 \phi_I^{IS} + N_2 \sin \beta \phi_I^{RC} \} \end{aligned} \quad (III.43)$$

Para pontões simétricos, com movimentos de igual amplitude, em fase,

pode-se escrever:

$$\begin{aligned}
 \phi_{R2}^{(1)}(x_1, x_2, x_3) &= -\phi_{R2}^{(2)}(x_1, -x_2, x_3) && \text{DERIVA} \\
 \phi_{R3}^{(1)}(x_1, x_2, x_3) &= \phi_{R3}^{(2)}(x_1, -x_2, x_3) && \text{ARFAGEM} \\
 \phi_{R4}^{(1)}(x_1, x_2, x_3) &= -\phi_{R4}^{(2)}(x_1, -x_2, x_3) && \text{BALANÇO}
 \end{aligned}
 \tag{III.44}$$

Considerações quanto aos sinais dos potenciais de radiação, da componente  $N_2$  do vetor normal unitário e das parcelas do potencial de onda incidente proporcionais a  $\sin(Kx_2 \sin \beta)$  permitem a verificação das componentes emparelhadas e de sentidos opostos das forças de difração.

Seja,

$$\begin{aligned}
 G_{Di}^{(k)} &= \rho \int_{S_k} g_{Di} \phi_{Ri} ds \\
 H_{Di}^{(k)} &= \rho \int_{S_k} h_{Di} \phi_{Ri} ds
 \end{aligned}
 \tag{III.45}$$

$G_{Di}$  é emparelhada para  $i = 3,5$  e de sentidos opostos para  $i=2,4,6$ .

$H_{Di}$  é emparelhada para  $i = 2,4,6$  e de sentidos opostos para  $i=3,5$ .

$G_{Di}$  e  $H_{Di}$  não podem, no caso, ser avaliadas sem que a hipótese de bidimensionalidade seja empregada.

Assim,

$$\begin{aligned}
 F_{Di} &= 2 G_{Di} && i = 3,5 \\
 F_{Di} &= 2 H_{Di} && i = 2,4,6
 \end{aligned}
 \tag{III.46}$$

As componentes de sentidos opostos de  $G_{Di}$  e  $H_{Di}$  não necessitam ser avaliadas para o cálculo da força de difração total sobre o casco. O cálculo dessas forças em parte da estrutura não é justificado teoricamente, já que a relação (III.36) é empregada apenas para a integração sobre toda a superfície do casco.

Com as forças de difração e de Froude-Kriloff obtêm-se o total das forças de excitação para um corpo com dois pontões simétricos:

$$F_i = 2(G_{Ii} + G_{Di}) \quad i = 3,5 \quad (III.47)$$

$$F_i = 2(H_{Ii} + H_{Di}) \quad i = 2,4,6$$

Um sistema típico de forças induzidas por ondas é apresentado na Fig.III.3, no final deste capítulo. No capítulo IV serão apresentados métodos para a determinação das forças de difração em um pontão.

### III.4 ESFORÇOS RESTAURADORES

#### III.4.1 Forças restauradoras hidrodinâmicas

Os coeficientes hidrodinâmicos das equações do movimento são dados por:

$$T_{ik} = j\omega\rho \int_S \phi_{Rk} n_i ds \quad (III.48)$$

A aproximação que segue advém da teoria de faixas e será utilizada de modo a simplificar-se as expressões para os coeficientes hidrodinâmicos. Considerando-se a boca e o calado do semi-submersível muito menores que o seu comprimento (a estrutura é longa e esbelta), em (III.48) pode-se

fazer  $ds = d\xi dl$ , onde  $\xi$  representa a variável de integração na direção  $OX_1$  e  $dl$  é o comprimento de arco diferencial ao longo do contorno da seção  $C_\xi$ .

Assim:

$$T_{ik} = j\omega\rho \iint_{C_\xi} \phi_{Rk} n_i dl d\xi \quad (\text{III.49})$$

Define-se ainda

$$t_{ik} = j\omega\rho \int_{C_\xi} \phi_{Rk} n_i dl \quad (\text{III.50})$$

Como os cascos foram assumidos longos e esbeltos, pode-se substituir três das componentes do vetor normal generalizado tridimensional,  $n_i$  ( $i = 2,3,4$ ), pelas componentes do vetor normal generalizado bidimensional no plano  $OX_1X_3$ ,  $N_i$  ( $i = 2,3,4$ ).

$$\begin{aligned} n_2 &\approx N_2 & n_3 &\approx N_3 \\ n_4 &= (\vec{r} \times \vec{n})_1 = x_2 N_3 - x_3 N_2 = N_4 \end{aligned} \quad (\text{III.51})$$

$$n_5 = (\vec{r} \times \vec{n})_2 \approx -x_1 N_3$$

$$n_6 = (\vec{r} \times \vec{n})_3 \approx x_1 N_2$$

Sob essas hipóteses o problema tridimensional da equação de Laplace com as condições de contorno correspondentes para  $K=2,3$  e  $4$  se reduz a um problema bidimensional, com os cilindros de seção  $C_\xi$  oscilando na su

perfície livre.

Os potenciais  $\phi_{Rk}$  ( $i = 2,3,4$ ) são determinados pelo método de Potash (Capítulo V).

Da condição de contorno C4.a (III.23) e com as expressões aproximadas para  $n_5$  e  $n_6$  pode-se concluir que:

$$\begin{aligned} \frac{\partial(\phi_{R5})}{\partial n} &= -j\omega n_5 = j\omega x_1 N_3 \quad \therefore \phi_{R5} = -x_1 \phi_{R3} \\ \frac{\partial(\phi_{R6})}{\partial n} &= -j\omega n_6 = j\omega x_1 N_2 \quad \therefore \phi_{R6} = x_1 \phi_{R2} \end{aligned} \quad (III.52)$$

Retomando-se (III.50) tem-se:

$$t_{ik} = j\omega\rho \int_{C_\xi} N_i \phi_{Rk} d\xi \quad (III.53)$$

É usual separar-se  $t_{ik}$  em suas partes real e imaginária.

$$t_{ik} = -\omega^2 a_{ik} - j\omega b_{ik} \quad (III.54)$$

onde  $a$  e  $b$  são os coeficientes hidrodinâmicos bidimensionais de massa adicionada e de amortecimento. São assim chamados por serem respectivamente proporcionais à aceleração e à velocidade.

Assim,

$$a_{ik} = -\frac{1}{\omega^2} \operatorname{Re}\{t_{ik}\} \quad (III.55)$$

e

$$b_{ik} = -\frac{1}{\omega} \operatorname{Im}\{t_{ik}\}$$

Aplicando-se a segunda identidade de Green, certas relações de si

metria podem ser verificadas. De fato:

$$\int_{SC} (\phi_{Rk} \frac{\partial \phi_{Ri}}{\partial n} - \phi_{Ri} \frac{\partial \phi_{Rk}}{\partial n}) ds = 0 \quad (III.56)$$

Devido às condições de contorno C1, C2 e C3 a integral acima se anula na superfície livre, no fundo e nas superfícies laterais de controle.

Tem-se então sobre o casco:

$$\int_S (\phi_{Rk} \frac{\partial \phi_{Ri}}{\partial n} - \phi_{Ri} \frac{\partial \phi_{Rk}}{\partial n}) ds = 0 \quad (III.57)$$

Com a condição C4.a segue que:

$$\int_S (\phi_{Rk} n_i ds = \int_S \phi_{Ri} n_k ds \quad (III.58)$$

$$\therefore t_{ik} = t_{ki} \quad (III.59)$$

Os coeficientes a e b exibem as mesmas relações de simetria.

Sendo o semi-submersível simétrico os movimentos de deriva, balanço e quinada são anti-simétricos em relação ao plano de simetria do navio, e os movimentos de avanço, arfagem e caturro são simétricos.

Pode-se concluir portanto que os seguintes coeficientes são nulos:

$$A_{ik} = B_{ik} = 0 \quad \text{se } i + k \text{ é ímpar} \quad (III.60)$$

Os demais coeficientes de massa adicionada e de amortecimento são determinados na Tabela III.1 através dos coeficientes bidimensionais.



TABELA III.1 Coeficientes de massa adicionada e de amortecimento

$A_{22} = \int_L a_{22} d\xi$	$B_{22} = \int_L b_{22} d\xi$
$A_{24} = A_{42} = \int_L a_{24} d\xi$	$B_{24} = B_{42} = \int_L b_{24} d\xi$
$A_{26} = A_{62} = \int_L \xi a_{22} d\xi$	$B_{26} = B_{62} = \int_L \xi b_{22} d\xi$
$A_{44} = \int_L a_{44} d\xi$	$B_{44} = \int_L b_{44} d\xi$
$A_{46} = A_{64} = \int_L \xi a_{24} d\xi$	$B_{46} = B_{64} = \int_L \xi b_{24} d\xi$
$A_{66} = \int_L \xi^2 a_{22} d\xi$	$B_{66} = \int_L \xi^2 b_{22} d\xi$
$A_{33} = \int_L a_{33} d\xi$	$B_{33} = \int_L b_{33} d\xi$
$A_{35} = A_{53} = - \int_L \xi a_{33} d\xi$	$B_{35} = B_{53} = - \int_L \xi b_{33} d\xi$
$A_{55} = \int_L \xi^2 a_{33} d\xi$	$B_{55} = \int_L \xi^2 b_{33} d\xi$

#### III.4.2 Coeficientes de interação hidrodinâmica para dois cascos flutuando livremente

Para dois corpos flutuando livremente a função potencial  $\phi$  é composta das contribuições de todos os modos de movimento de ambos os corpos

e das componentes devidas aos potenciais de onda incidente e de difração.

$$\Phi = (\phi_I + \phi_D + \sum_{i=1}^6 \bar{y}_i \phi_{Ri}^{(1)} + \sum_{i=1}^6 \bar{z}_i \phi_{Ri}^{(2)}) e^{-j\omega t} \quad (\text{III.61})$$

onde  $\bar{y}_i$  e  $\bar{z}_i$  são as amplitudes complexas dos movimentos dos centros de gravidade dos corpos  $S_1$  e  $S_2$ , respectivamente.

As condições de contorno C1, C2 e C3 são equivalentes para o problema atual. As demais apresentam as seguintes modificações:

$$(C4.a)' \quad \frac{\partial \phi_D}{\partial n} + \frac{\partial \phi_I}{\partial n} = 0 \quad \text{em } S_1 \text{ e } S_2 \quad (\text{III.62})$$

$$(C4.b)' \quad \frac{\partial \phi_{Ri}^{(1)}}{\partial n} = -j\omega n_i \quad \text{em } S_1 \quad (\text{III.63})$$

$$\frac{\partial \phi_{Ri}^{(1)}}{\partial n} = 0 \quad \text{em } S_2 \quad (\text{III.64})$$

$$\frac{\partial \phi_{Ri}^{(2)}}{\partial n} = 0 \quad \text{em } S_1 \quad (\text{III.65})$$

$$\frac{\partial \phi_{Ri}^{(2)}}{\partial n} = -j\omega n_i \quad \text{em } S_2 \quad (\text{III.66})$$

Define-se agora as seguintes matrizes:

$$\begin{aligned} P_{ik}^{(1)} &= j\omega \rho \int_{S_1} \phi_{Rk}^{(1)} n_i \, d s \\ Q_{ik}^{(1)} &= j\omega \rho \int_{S_1} \phi_{Rk}^{(2)} n_i \, d s \\ P_{ik}^{(2)} &= j\omega \rho \int_{S_2} \phi_{Rk}^{(2)} n_i \, d s \\ Q_{ik}^{(2)} &= j\omega \rho \int_{S_2} \phi_{Rk}^{(1)} n_i \, d s \end{aligned} \quad (\text{III.67})$$

onde,

$P_{ik}^{(1)}$  - força no  $i$ -ésimo modo em  $S_1$  devida ao movimento no  $k$ -ésimo modo de  $S_1$

$Q_{ik}^{(1)}$  - força no  $i$ -ésimo modo em  $S_1$  devida ao movimento no  $i$ -ésimo modo de  $S_2$

$P_{ik}^{(2)}$  - força no  $i$ -ésimo modo em  $S_2$  devida ao movimento no  $k$ -ésimo modo de  $S_2$

$Q_{ik}^{(2)}$  - força no  $i$ -ésimo modo em  $S_2$  devida ao movimento no  $k$ -ésimo modo de  $S_1$

A aplicação simultânea da segunda identidade de Green aos potenciais  $\phi_{Ri}^{(1)}$  e  $\phi_{Ri}^{(2)}$ , de maneira análoga à apresentada no item anterior, fornece:

$$\int_{S_1+S_2} \left( \phi_{Rk}^{(1)} \frac{\partial \phi_{Ri}^{(2)}}{\partial n} - \phi_{Ri}^{(2)} \frac{\partial \phi_{Rk}^{(1)}}{\partial n} \right) ds = 0 \quad (\text{III.68})$$

Introduzindo-se as condições (III.64) e (III.65) verifica-se que:

$$\int_{S_2} \phi_{Rk}^{(1)} \frac{\partial \phi_{Ri}^{(2)}}{\partial n} ds = \int_{S_1} \phi_{Ri}^{(2)} \frac{\partial \phi_{Rk}^{(1)}}{\partial n} ds, \quad (\text{III.69})$$

e a identidade se reduz aplicando-se agora as condições (III.63) e (III.66):

$$Q_{ik}^{(2)} = Q_{ki}^{(1)} \quad (\text{III.70})$$

Outras relações de simetria também se verificam:

$$P_{ik}^{(1)} = P_{ki}^{(1)}$$

$$P_{ik}^{(2)} = P_{ki}^{(2)} \quad (\text{III.71})$$

É usual também separar-se  $P$  e  $Q$  nas suas componentes reais e imaginárias, tal como segue:

$$P_{ik}^{(1)} = -\omega^2 a_{ik}^{(1)} - j\omega b_{ik}^{(1)}$$

$$P_{ik}^{(2)} = -\omega^2 a_{ik}^{(2)} - j\omega b_{ik}^{(2)}$$

(III.72)

$$Q_{ik}^{(1)} = -\omega^2 d_{ik}^{(1)} - j\omega e_{ik}^{(1)}$$

$$Q_{ik}^{(2)} = -\omega^2 d_{ik}^{(2)} - j\omega e_{ik}^{(2)}$$

Aqui  $a$  e  $b$  são coeficientes de massa adicionada e de amortecimento usuais e exibem as mesmas relações de simetria dos coeficientes de um corpo rígido.

Os coeficientes  $d$  e  $e$  podem ser chamados coeficientes de interação hidrodinâmica em fase respectivamente com a aceleração e com a velocidade. Para esses coeficientes verificou-se, no capítulo III, que:

$$d_{ik}^{(1)} = d_{ki}^{(2)}$$

(III.73)

$$e_{ik}^{(1)} = e_{ki}^{(2)}$$

Isto significa que a força em  $S_1$  no  $k$ -ésimo modo devida ao movimento de  $S_2$  no  $i$ -ésimo modo é igual à força experimentada por  $S_2$  no  $i$ -ésimo modo se  $S_1$  movimentar-se no  $k$ -ésimo modo.

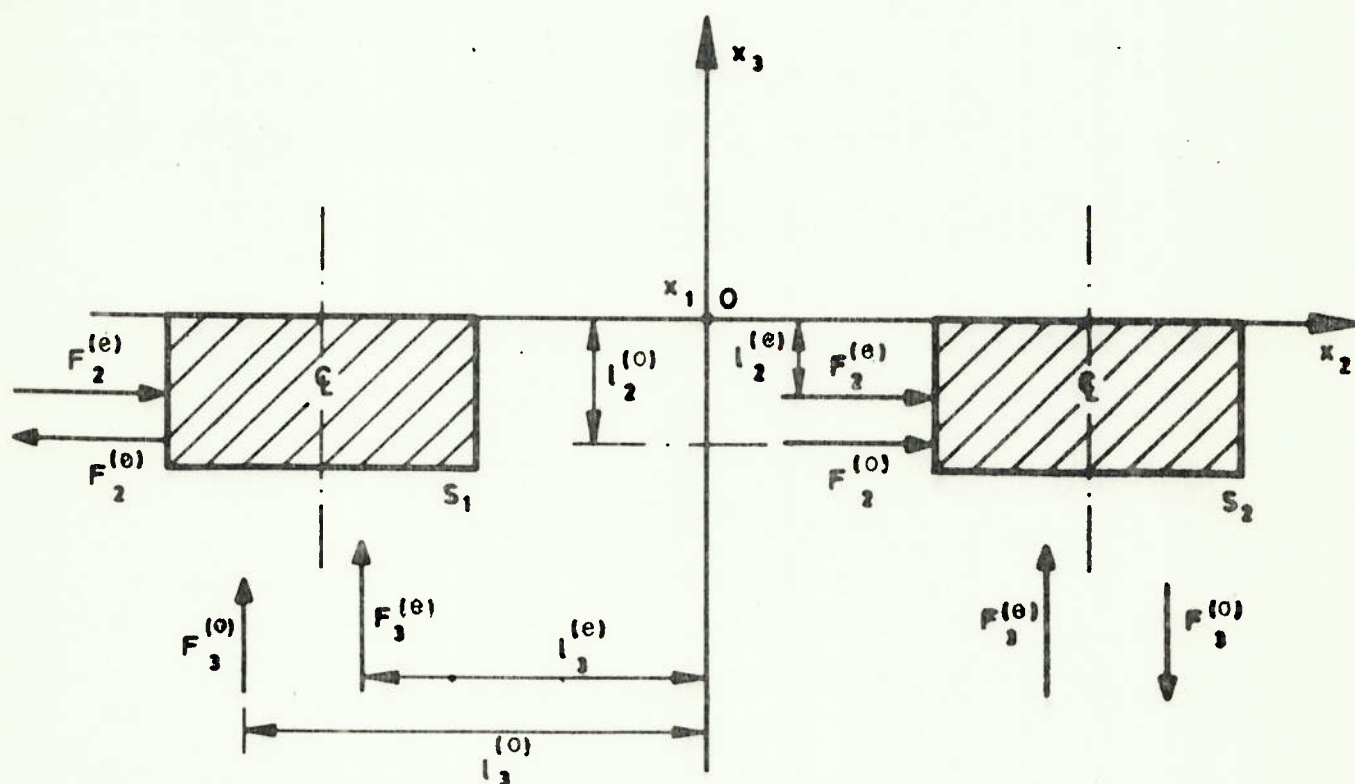


FIG. III.3 - SISTEMA TÍPICO DE FORÇAS INDUZIDAS POR ONDAS.

## CAPÍTULO IV

## DETERMINAÇÃO DAS FORÇAS INTERNAS DEVIDAS A ONDAS ENTRE DOIS PONTÕES

## IV.1 DESCRIÇÃO GERAL DO PROBLEMA. FORÇAS DE DIFRAÇÃO DE SENTIDOS OPOSTOS

A previsão das forças internas entre os pontões de uma plataforma semi-submersível constituída basicamente de dois pontões em ondas tem revelado discrepâncias consideráveis entre os diferentes métodos de cálculo assinalados na referência [64].

Para pontões suficientemente submersos as forças nos elementos estruturais são calculadas pela equação de Morison [68], não ocorrendo problemas neste caso. Entretanto, quando os efeitos da superfície do mar se tornam importantes, métodos baseados na teoria bidimensional de faixas (Nordström, Faltinsen e Pedersen [70]) ou técnicas tridimensionais de distribuição de fontes e sorvedouros (Faltinsen e Michelsen [23]) são então aplicados.

As discrepâncias nas forças seccionais internas entre os dois pontões se originam da previsão da força de difração atuante em um único pontão. A força de difração, como visto anteriormente, representa uma parte

da força de excitação devida a ondas e é uma consequência da perturbação das ondas incidentes pela estrutura, calculada supondo que a mesma está restrita a movimentar-se. A outra parte da força de excitação (a força de Froude-Kriloff) é calculada integrando-se as pressões devidas a ondas, sem perturbação, sobre a parte da estrutura que se deseja. Esta última componente da força de excitação não apresenta problema algum, visto que o potencial de onda incidente é conhecido e as pressões são facilmente determinadas pela equação de Bernoulli.

O procedimento correto para o cálculo da força de difração em parte da estrutura é resolver-se o problema de difração do potencial de velocidade e integrar-se então as pressões de difração. Isto é feito na teoria tridimensional de Faltinsen e Michelsen.

Na teoria de faixas a força de difração total em uma secção transversal é calculada normalmente pela relação de Haskind-Newman, pela qual esta força está relacionada com a integração de uma função combinando o potencial de radiação (obtido a partir de oscilações forçadas em águas calmas) e o potencial de onda incidente. Usando esta técnica não há a necessidade de resolver o problema de difração, reduzindo-se os custos computacionais. Por outro lado, a aplicação da relação de Haskind-Newman é justificável apenas para o cálculo da força de difração total em ambos os pontões, de modo que o problema de distribuição dessa força ainda permanece.

O objetivo do presente capítulo é estudar diferentes métodos para calcular corretamente as forças de difração em um pontão empregando-se a teoria bidimensional de faixas. Serão examinados três métodos alternativos

1. Método proposto por Mathisen & Carlsen
2. Método proposto por Ogilvie
3. Solução direta do problema de difração somente válida para mar de través.

As duas primeiras técnicas envolvem o cálculo de um potencial de radiação adicional. Esse potencial é similar ao potencial do movimento forçado calculado no Capítulo V e é obtido por método numérico análogo.

É importante ressaltar a importância dos métodos assinalados pois uma subdivisão adequada de forças e momentos entre os pontões deve prover informações suficientemente detalhadas para uma análise estrutural apurada. Muitas publicações que apresentam a teoria de faixas para cálculo de cargas hidrodinâmicas em catamarãs e semi-submersíveis referem-se brevemente e de maneira pouco clara a essa questão. Lee et alii [56] referem-se à sugestão de Ogilvie de subdivisão da força de difração entre os pontões, mas não mencionam a necessidade da determinação de um potencial de radiação adicional quando se usa este método. Paulling e Hong mencionam o trabalho de Lee [55], que apenas utiliza as relações de Haskind-Newman para o cálculo da força de difração total. Kim [48] faz referência a um trabalho seu anterior [46], no qual o problema do potencial de difração bidimensional é resolvido diretamente, mas apenas para mares de travês.

Os métodos aqui apresentados constituem uma contribuição à análise do problema de distribuição das forças de difração.

#### IV.2 MÉTODO DE JAN MATHISEN & C.A. CARLSEN

Uma pequena variação no procedimento apresentado no capítulo anterior tornará possível a determinação da força de difração em um pontão, sendo necessário entretanto o cálculo de uma função potencial adicional.

Na equação (III.35), que representa a segunda identidade de Green aplicada a duas funções potenciais arbitrárias,  $\phi_A$  e  $\phi_B$ , no domínio fluido  $D$ , faz-se como antes  $\phi_A = \phi_D$ , mas introduz-se um potencial alternati-



vo  $\phi'_{Ri}$  para  $\phi_B$ . Este novo potencial  $\bar{\epsilon}$  o potencial de radiação para o pontão de bombordo ( $S_1$ ) em movimento forçado, na presença do pontão de boreste ( $S_2$ ) que  $\bar{\epsilon}$  fixado.

A condição de contorno cinemática (C4.a) sobre a carena  $S$   $\bar{\epsilon}$  então alterada:

$$\frac{\partial \phi'_{Ri}}{\partial n} = \begin{cases} -j\omega n_i & \text{em } S_1 \\ 0 & \text{em } S_2 \end{cases} \quad (\text{IV.1})$$

A equação (III.36) pode então ser reformulada:

$$\int_S \phi_D \frac{\partial \phi'_{Ri}}{\partial n} ds = \int_S \phi'_{Ri} \frac{\partial \phi_D}{\partial n} ds \quad (\text{IV.2})$$

A força de difração no pontão de boreste ( $F_{D2i}$ )  $\bar{\epsilon}$  escrita como a diferença entre a força de difração total e a força de difração no pontão de bombordo.

$$F_{D2i} = F_{Di} - j\omega \rho \int_{S_1} \phi_D n_i ds \quad (\text{IV.3})$$

O potencial de difração  $\bar{\epsilon}$  eliminado dessa integral de uma maneira análoga  $\bar{\epsilon}$  empregada anteriormente. De início a condição de contorno (IV.1)  $\bar{\epsilon}$  aplicada para substituir-se  $n_i$  pela derivada do potencial de radiação, e a integral sobre o pontão de bombordo  $\bar{\epsilon}$  substituída pela integral sobre toda a embarcação menos a integral sobre o pontão de boreste.

$$F_{D2i} = F_{Di} + \rho \left( \int_S \phi_D \frac{\partial \phi'_{Ri}}{\partial n} ds - \int_{S_2} \phi_D \frac{\partial \phi'_{Ri}}{\partial n} ds \right) \quad (\text{IV.4})$$

A integral sobre o pontão de boreste se anula devido  $\bar{\epsilon}$  condição

de contorno (IV.1), e a equação (IV.2) é aplicada sobre toda a embarcação.

$$F_{D2i} = F_{Di} + \rho \int_S \phi'_{Ri} \frac{\partial \phi_D}{\partial n} ds \quad (IV.5)$$

Finalmente a condição de contorno cinemática C4.b, para os potenciais de onda incidente e de difração, é aplicada para eliminar o potencial de difração.

$$F_{D2i} = F_{Di} - \rho \int_S \phi'_{Ri} \frac{\partial \phi_I}{\partial n} ds \quad (IV.6)$$

Explicitando-se  $F_{D2i}$  e  $F_{Di}$  nas suas componentes emparelhadas (e) e de sentidos opostos (o) têm-se:

$$\begin{aligned} F_{D2i} &= F_{D2i}^{(o)} + F_{D2i}^{(e)} \\ F_{Di} &= F_{D1i}^{(e)} + F_{D2i}^{(e)} = 2 F_{D2i}^{(e)} \end{aligned} \quad (IV.7)$$

A componente de sentidos opostos pode então ser determinada:

$$F_{D2i}^{(o)} = F_{D2i}^{(e)} - F'_{D1i}, \quad i = 2,3,4 \quad (IV.8)$$

onde

$$F'_{D1i} = \rho \int_S \phi'_{Ri} \frac{\partial \phi_I}{\partial n} ds$$

Para o pontão  $S_1$ , basta inverter-se o sinal:

$$F_{D1i}^{(o)} = F'_{D1i} - F_{D1i}^{(e)}, \quad i = 2,3,4 \quad (IV.9)$$

É possível avaliar-se esta última expressão desde que se modifi -

que os procedimentos de cálculo existentes para o potencial de radiação bi-dimensional, de modo a determinar-se o potencial  $\phi_{Ri}$  [46].

### IV.3 MÉTODO DE T.F. OGILVIE

Ogilvie define o potencial de radiação adicional  $\phi_{Ri}''$  representando o movimento forçado de ambos os pontões, calculado supondo que se movem simetricamente em deriva e balanço e de maneira anti-simétrica em arfagem. Na figura IV.1 estão representados os movimentos em oposição definidos neste método.

As condições de contorno cinemáticas para  $\phi_{Ri}''$  são:

$$\frac{\partial \phi_{Ri}''}{\partial n} = -j\omega n_i \quad \text{em } S_1 \quad (IV.10)$$

$$\frac{\partial \phi_{Ri}''}{\partial n} = j\omega n_i \quad \text{em } S_2$$

Ogilvie define as forças internas como o valor médio da diferença entre as forças agentes em cada casco. As forças internas de difração na linha de centro podem ser expressas pela contribuição do pontão nº 2 ou pela do nº 1 com sinal oposto.

O resultado acima apresentado é explicado a seguir.

Inicialmente partiu-se do balanço de forças:

$$\begin{aligned} \left[ \begin{array}{l} \text{Força seccional de} \\ \text{difração boreste (o)} \end{array} \right] &= \left[ \begin{array}{l} \text{Força de difração} \\ \text{total-boreste(e) + (o)} \end{array} \right] - \frac{1}{2} \left[ \begin{array}{l} \text{Força de difração} \\ \text{total (e)} \end{array} \right] \\ &= - \left[ \begin{array}{l} \text{Força de difração} \\ \text{total-bombordo(e)+(o)} \end{array} \right] + \frac{1}{2} \left[ \begin{array}{l} \text{Força de difração} \\ \text{total (e)} \end{array} \right] \end{aligned}$$

Por conveniência toma-se a média:

$$F_{D2i}^{(o)} = \frac{1}{2} j \omega \rho \left( \int_{S_2} \phi_D n_i d s - \int_{S_1} \phi_D n_i d s \right) \quad (IV.11)$$

Aplica-se agora as condições de contorno (IV.10):

$$\begin{aligned} F_{D2i}^{(o)} &= \frac{\rho}{2} \int_{S_2} \phi_D \frac{\partial \phi_{Ri}''}{\partial n} d s + \frac{\rho}{2} \int_{S_1} \phi_D \frac{\partial \phi_{Ri}''}{\partial n} d s = \\ &= \frac{\rho}{2} \int_S \phi_D \frac{\partial \phi_{Ri}''}{\partial n} d s \end{aligned} \quad (IV.12)$$

Como no método de Jan Mathisen e C.A. Carlsen aplica-se a segunda identidade de Green para os potenciais  $\phi_D$  e  $\phi_{Ri}''$ :

$$\begin{aligned} \int_S \phi_D \frac{\partial \phi_{Ri}''}{\partial n} d s &= \int_S \phi_{Ri}'' \frac{\partial \phi_D}{\partial n} d s = \\ &= - \int_S \phi_{Ri}'' \frac{\partial \phi_I}{\partial n} d s \end{aligned} \quad (IV.13)$$

Finalmente,

$$F_{D2i}^{(o)} = - \frac{\rho}{2} \int_S \phi_{Ri}'' \frac{\partial \phi_I}{\partial n} d s$$

e

$$F_{D1i}^{(o)} = \frac{\rho}{2} \int_S \phi_{Ri}'' \frac{\partial \phi_I}{\partial n} d s \quad (IV.14)$$

#### IV.4 SOLUÇÃO DIRETA DO PROBLEMA DE DIFRAÇÃO PARA MAR DE TRAVÉS

A teoria do corpo esbelto ("slender body theory") determina dire

tamente as forças de difração do cálculo do potencial de difração. Essa teoria é similar à teoria bidimensional de faixas, embora a formulação do problema seja mais complexa.

A hipótese de esbeltez requer que o calado e a boca do corpo sejam pequenos quando comparados ao comprimento e que a forma e as dimensões das secções transversais variem de maneira suave ao longo do comprimento. Uma hipótese de frequências altas é também adotada, requerendo-se comprimento de onda comparável à boca.

De modo a satisfazer a condição de contorno cinemática C4.b o potencial de difração deve apresentar um comportamento longitudinal similar ao potencial de ondas incidente. Isso permite formular-se o potencial de difração como:

$$\phi_D = \exp \{j K x_1 \cos \beta\} \psi(x_1, x_2, x_3), \quad (\text{IV.15})$$

onde  $\psi$  é uma função potencial bidimensional de parâmetro  $x_1$ .

Esta expressão substituída na equação de Laplace tridimensional fornece a equação bidimensional de Helmholtz:

$$\frac{\partial^2 \psi}{\partial x_2^2} + \frac{\partial^2 \psi}{\partial x_3^2} - K^2 \cos^2 \beta = 0, \quad (\text{IV.16})$$

onde a derivada longitudinal de  $\psi$  foi desprezada. Essa é a equação governante que deve ser resolvida de modo a obter-se os potenciais bidimensionais de difração. Somente para mares de travês essa equação simplifica-se e resulta na equação de Laplace bidimensional.

Choo [11] aplicou a teoria do corpo esbelto para catamarãs, indicando que essa teoria é promissora para aplicação a plataformas semi-submersíveis de duplo casco. Liapis e Faltinsen desenvolveram recentemente

te uma solução válida para todos os ângulos de incidência empregando um método novo e eficiente de representação integral do problema da equação de Helmholtz.

O potencial de difração para mares de travês é relativamente simples de se obter. A abordagem apresentada neste tópico é superficial, visto que o problema análogo de determinação do potencial do movimento forçado será desenvolvido no próximo Capítulo.

Introduzindo-se a função potencial, de uma fonte puntiforme pulsante, na expressão do teorema de Green, obtêm-se a seguinte equação integral para o potencial de difração em pontos do contorno:

$$\begin{aligned} -\pi\phi_D(P) + \frac{1}{\pi} \int_{S_1+S_2} \frac{\partial G(P;q)}{\partial n(q)} \phi_D(q) ds(q) = \\ = - \int_{S_1+S_2} G(P;q) \frac{\partial \phi_I(q)}{\partial n(q)} ds(q) \end{aligned} \quad (IV.17)$$

Aqui  $p$  e  $q$  são pontos em  $S_1$  e  $S_2$ . Aproximando os contornos por segmentos de reta ( $s_j$ ) e sendo  $\phi_D$ , por hipótese, constante em um segmento, obtêm-se o seguinte sistema algébrico de equações lineares para  $\phi_D$ :

$$\begin{aligned} C_{ij} \phi_{Dj} = d_i, \quad i = 1, \dots, N \\ j = 1, \dots, N \end{aligned} \quad (IV.18)$$

onde  $N$  é o número total de segmentos em  $S_1$  e  $S_2$ ,  $C_{ij}$  é a matriz dos seguintes coeficientes:

$$C_{ij} = -\pi \delta_{ij} + \int_{s_j} \frac{\partial G_{ij}}{\partial n_j} ds_j \quad (IV.19)$$

$$e \quad d_i = - \int_{s_j} G_{ij} \frac{\partial \phi_{Ij}}{\partial n_j} ds_j \quad i \neq j, \quad (IV.20)$$

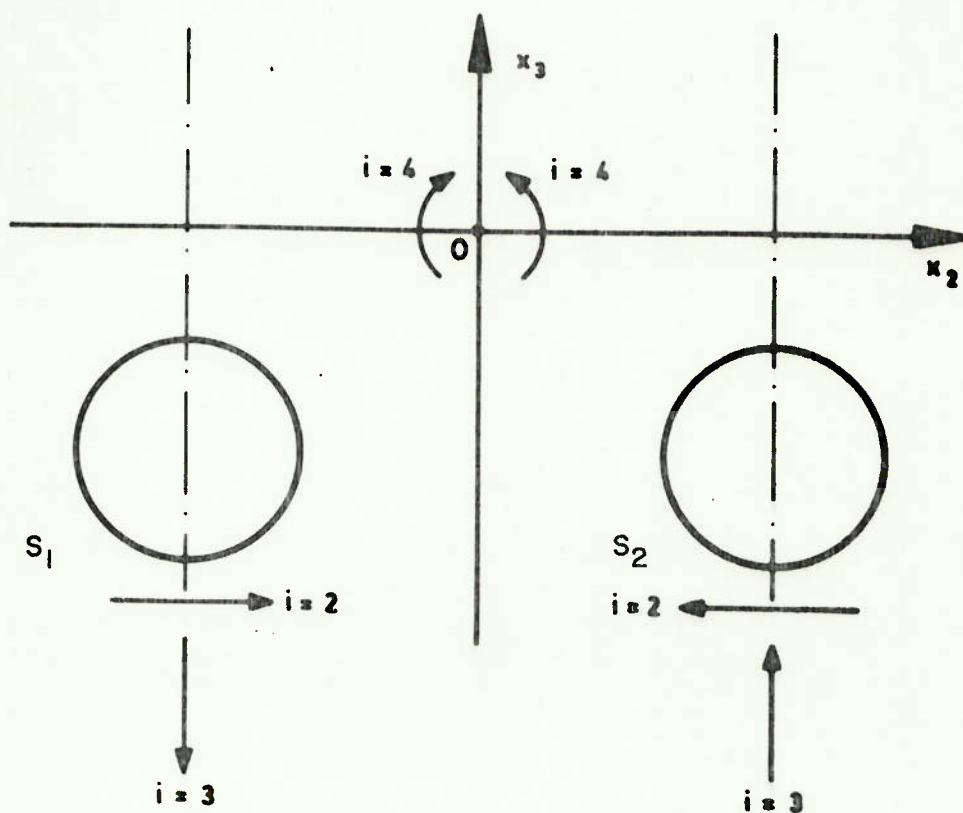


FIG. IV.1 MOVIMENTOS EM OPOSIÇÃO NO MÉTODO DE OGILVIE

## CAPÍTULO V

## MÉTODO DE POTASH PARA CÁLCULO DO POTENCIAL DE RADIAÇÃO

## V.1 INTRODUÇÃO

Nos capítulos III e IV os coeficientes de massa adicionada e de amortecimento, e as forças excitantes de difração foram expressos em função dos potenciais de radiação do movimento forçado em águas calmas.

Os métodos disponíveis para o cálculo desses coeficientes enquadram-se em um dos seguintes grupos básicos:

- (i) método de transformações conformes;
- (ii) método de equações integrais;
- (iii) método dos elementos finitos.

O passo inicial para o desenvolvimento do método das transformações conformes foi dado por Ursell [100], em sua resolução apresentada para o movimento de arfagem de um cilindro circular. Outros investigadores o seguiram, e uma generalização do procedimento de Ursell, para cilindros de formas arbitrárias com três graus de liberdade, é devida a De Jong [44].



Um procedimento numérico do qual as funções potenciais derivam diretamente de um sistema de equações integrais, sem o auxílio de transformações conformes, foi apresentado originariamente por Frank [25].

Por último, o método variacional dos elementos finitos, para a solução de problemas bidimensionais, tem merecido atenção especial nos últimos anos, com o desenvolvimento de novos processos numéricos adaptados ao avanço da tecnologia dos computadores.

Sem entrar no mérito do sucesso alcançado pelos métodos de transformações conformes e dos elementos finitos, o objetivo do presente capítulo é apresentar o método alternativo de Potash [89] para a determinação dos potenciais de radiação, através de um sistema de equações integrais.

O trabalho original de Potash desenvolve uma extensão da aplicação da teoria potencial para cilindros bidimensionais, em movimentos harmônicos forçados de pequena amplitude, na superfície livre ou próximos, em um fluido de profundidade infinita. As equações são formuladas para respostas de primeira ordem e as soluções são apresentadas em termos de equações integrais de Fredholm. As soluções são limitadas a cilindros simétricos em relação ao eixo vertical. Para cilindros assimétricos, as modificações são indicadas no processo de obtenção desses potenciais.

Esse método é baseado na teoria da distribuição de singularidades, mas difere do método tradicional de Frank por utilizar não apenas fontes, mas também dipolos. Apresenta sobre este a vantagem teórica de o potencial ser obtido diretamente de uma equação integral, e a vantagem prática de que a influência das frequências irregulares não é tão acentuada quanto no método de Frank.

Será feita uma comparação teórica entre os dois métodos, comprovada com resultados computacionais da referência [10].

## V.2 PROBLEMA POTENCIAL DE PRIMEIRA ORDEM

A notação particular, adotada neste capítulo, visa a uma identificação mais imediata com as variáveis do programa de computador NVPONT, apresentado no capítulo VII. Os eixos  $Ox_2$  e  $Ox_3$ , do sistema fixo de referência  $Ox_1x_2x_3$ , serão indicados aqui por  $Ox$  e  $Oy$ , respectivamente.

O problema  $P_i$ , formulado no capítulo III, será agora reescrito apenas para o potencial de radiação  $\phi_{Ri}$ .

Seja,

$$\phi_{Ri} = \phi_{R1i} + j \phi_{R2i} \quad (V.1)$$

No método de Potash, as componentes  $\phi_{R1i}$  e  $\phi_{R2i}$  são identificadas, respectivamente, por  $\omega\psi_i$  e  $-\omega\phi_i$

O problema pode então ser reformulado para as componentes  $\phi_i$ , por exemplo. A equação de Laplace é expressa por:

$$* \phi_{iXX} (x,y) + \phi_{iyy} (x,y) = 0 \quad , \quad i = 1 \text{ (deriva)} \quad (V.2)$$

2 (arfagem)

3 (balanço)

(x,y) no domínio fluido D

Seguem as seguintes condições de contorno:

(i) condição linearizada na superfície livre

$$\phi_{iy} (x,0) - \frac{\omega^2}{g} \phi_i (x,0) = 0 \quad , \quad i = 1,2,3 \quad (V.3)$$

\* Os índices xx e yy indicam  $\frac{\partial^2(\cdot)}{\partial x^2}$  e  $\frac{\partial^2(\cdot)}{\partial y^2}$  respectivamente, e os índices simples indicam as primeiras derivadas.

(ii) condição de fundo

$$\lim_{y \rightarrow -\infty} \phi_{iy} = 0 \quad (\text{V.4})$$

(iii) condição de radiação

$$\lim_{x \rightarrow \pm\infty} \left( \frac{\partial \phi_i}{\partial x} \mp j K \phi_i \right) = 0 \quad (\text{V.5})$$

(iv) condição cinemática sobre a carena S

$$\phi_{in}(x,y) \Big|_S = n_i, \quad i = 1,2,3, \quad (\text{V.6})$$

em adição às relações de simetria:

$$\phi_i(x,y) = -(-1)^i \phi_i(-x,y) \quad (\text{V.7})$$

O problema para os potenciais  $\psi_i$  é análogo, a menos da condição de contorno sobre a carena, que é homogênea.

Neste ponto, todas as variáveis são adimensionalizadas em relação a uma dimensão característica  $\underline{b}$ . Define-se também o número de onda adimensional como:

$$K = \frac{\omega^2}{g} b$$

Os fatores de adimensionalização para os potenciais  $\phi_i$  e  $\psi_i$  são  $1/b$ , para  $i=1,2$  e  $1/b^2$  para  $i=3$ .

### V.3 MÉTODO DE SOLUÇÃO E PROCEDIMENTO NUMÉRICO

As soluções serão apresentadas implicitamente por um sistema de equações integrais, obtido pela aplicação do teorema de Green a um ponto  $P$ , arbitrário, no domínio fluido.

A solução do sistema de equações será obtida numericamente em um número finito de pontos próximos à superfície do cilindro. O método adotado possui a vantagem de permitir a resolução do problema no plano físico, evitando-se transformações conformes do contorno das seções. Expressões analíticas para os contornos  $S$  não são necessárias, o que permite grande variedade de seções.

O método requer uma função  $G$  contendo uma singularidade logarítmica (fonte pulsante) no ponto  $Q(\xi, \eta)$ . Essa função deve satisfazer, para pontos  $P \neq Q$ , a equação de Laplace e as condições de contorno do problema proposto, eliminando-se porém a condição sobre a carena  $S$ . A função de Green  $G$  representa o potencial complexo em um ponto  $P(x, y)$  devido a uma fonte de intensidade  $2\pi$ , presente em um ponto  $Q(\xi, \eta)$  do contorno. A dedução desta função, feita por Thorne em 1953 [99], não será apresentada aqui, e uma forma equivalente pode ser encontrada na referência [105].

De acordo com Thorne, a função  $G$ , para uma fonte em  $\zeta$ , é expressa por:

$$G^*(z, \zeta; t) = \left\{ \text{Log} \left( \frac{z - \zeta}{z - \bar{\zeta}} \right) + 2 \text{P.V.} \int_0^\infty \frac{e^{-ik(z - \bar{\zeta})}}{K - k} \right\} \cos \omega t + \\ - 2\pi e^{-iK(z - \bar{\zeta})} \sin \omega t, \quad (\text{V.8})$$

onde

$$z = x + iy, \quad \zeta = \xi + i\eta, \quad \eta \leq 0$$

Na definição de seu valor real, apresentada a seguir, deve-se observar que não há interação da unidade imaginária  $j$  do plano complexo  $t$  com a unidade imaginária  $i$ .

$$\begin{aligned}
 G(x,y;\xi,\eta) &= \operatorname{Re}_i \left\{ \operatorname{Log} \left( \frac{z-\zeta}{z-\bar{\zeta}} \right) + 2 \operatorname{P.V.} \int_0^\infty \frac{e^{-ik(z-\bar{\zeta})}}{K-k} dk + \right. \\
 &\quad \left. - j 2\pi e^{-iK(z-\bar{\zeta})} \right\} = \\
 &= G_c(x,y;\xi,\eta) + j G_s(x,y;\xi,\eta)
 \end{aligned} \tag{V.9}$$

O teorema de Green é aplicado às funções  $\phi(P) = \psi_i - j\phi_j$  e  $G(P;Q)$ , onde  $Q$  pertence ao contorno do domínio fluido  $D$ , definido na figura V.1. O resultado é uma relação integral para o potencial  $\phi$  satisfazendo o problema bidimensional de condições de contorno:

$$\iiint_D (\phi \nabla^2 G - G \nabla^2 \phi) dx dy = \int_{S_F \cup S_U \cup \Sigma_R \cup \Sigma_\epsilon} \left( \phi \frac{\partial G}{\partial n} - G \frac{\partial \phi}{\partial n} \right) ds \tag{V.10}$$

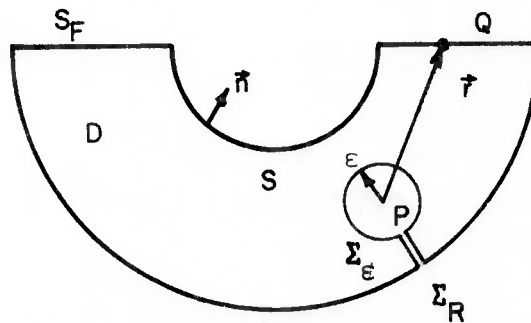


FIG. V.1 - Domínio  $D$  para a aplicação do teorema de Green.

Como  $\phi$  e  $G$  satisfazem a equação de Laplace em  $D$ , o lado direito da equação (V.10) é igual a zero.

Assim,

$$\int_{S_F} (\phi G_y - G \phi_y) dx + \int_S (\phi G_n - G \phi_n) ds + \int_{\Sigma_R} (\phi G_R - G \phi_R) ds + \int_{\Sigma_\epsilon} (\phi G_n - G \phi_n) ds = 0 \quad (V.11)$$

Em  $\Sigma_R$  demonstra-se que a integral se anula para  $R \rightarrow \infty$ .\*

Na superfície livre, a condição de contorno linearizada fornece:

$$G_y - \frac{\omega^2}{g} G = 0 \quad (V.12)$$

$$\phi_y - \frac{\omega^2}{g} \phi = 0,$$

ou simplesmente,

$$\phi_y G_y - G \phi_y = 0, \quad (V.13)$$

anulando-se assim a integral em  $S_F$ .

Para os pontos de singularidade ( $P=Q$ ), verifica-se que:

$$\int_{\Sigma_\epsilon} (\phi G_n - G \phi_n) ds = -2\pi\phi(P) \quad (V.14)$$

---

\*SOBOLEV, S.L. Partial Differential Equations of Mathematical Physics, Addison-Wesley, p.220, 1964.

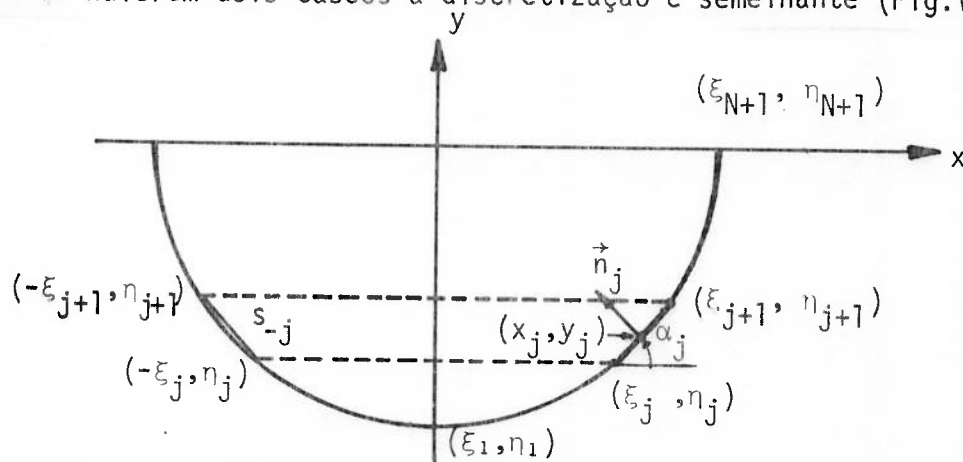
Com esses resultados na equação (V.11), para todo ponto  $P \in D$ , obtêm-se uma equação integral de Fredholm de segunda espécie, linear em  $\phi$ :

$$\phi(P) = \frac{1}{2\pi} \int_S \phi(q) \frac{\partial G(P;q)}{\partial n(q)} ds(q) - \frac{1}{2\pi} \int_S \frac{\partial \phi(q)}{\partial n(q)} G(P;q) ds(q) \quad (V.15)$$

A segunda integral da equação (V.11) pode ser interpretada como uma superposição dos efeitos, sobre o ponto  $P$ , de fontes distribuídas no contorno  $S$ . A primeira integral nada mais é do que a contribuição de dipolos, pois a derivada em relação à normal do potencial de uma fonte representa o potencial de um dipolo.

A seguir serão feitas considerações visando a definir um procedimento numérico para a resolução desta última equação.

O cilindro será aproximado por um número  $N$  de segmentos de reta, conectando  $N+1$  pontos em metade do perfil, no quarto quadrante (Fig.V.2). No caso de haverem dois cascos a discretização é semelhante (Fig.VII.2).



**FIG. V. 2 - Discretização do contorno S**

A integração será efetuada ao longo de cada segmento da reta  $s_j$ , com o auxílio de propriedades de simetria do contorno e dos potenciais de velocidade.

Como mostrado na Fig.V.2, para o segmento  $s_j$ , define-se os seguintes parâmetros:

- ângulo de inclinação

$$\alpha_j = \tan^{-1} \left( \frac{\eta_{j+1} - \eta_j}{\xi_{j+1} - \xi_j} \right), \quad (\text{V.16})$$

- comprimento

$$|s_j| = \{(\xi_{j+1} - \xi_j)^2 + (\eta_{j+1} - \eta_j)^2\}^{1/2}, \quad (\text{V.17})$$

- ponto médio

$$(x_j, y_j) = \frac{1}{2} (\xi_{j+1} + \xi_j, \eta_{j+1} + \eta_j), \quad (\text{V.18})$$

- vetor unitário normal para dentro do cilindro

$$\vec{n}_j = (-\text{sen } \alpha_j, \text{cos } \alpha_j) \quad (\text{V.19})$$

Deve-se observar que, nas integrais que seguem, as variáveis  $\xi$  e  $\eta$  são as variáveis de integração, e o operador  $\frac{\partial}{\partial n}$  é expresso em termos de  $\xi(s)$  e  $\eta(s)$ .

Separando-se agora a função  $G$  nas partes proporcionais a  $\text{sen } \omega t$  e  $\text{cos } \omega t$ , e tendo-se em conta as condições cinemáticas para  $\phi_m$  e  $\psi_m$ , para cada segmento  $s_j$  têm-se:

$$\begin{aligned} -\phi_m(x, y) + \frac{1}{2\pi} \int_{-L}^L \{ \phi_m(\xi, \eta) \frac{\partial G_C}{\partial n}(x, y; \xi, \eta) - \psi_m \frac{\partial G_S}{\partial n}(x, y; \xi, \eta) \} ds &= \\ = \frac{1}{2\pi} \int_{-L}^L \frac{\partial \phi_m}{\partial n}(\xi, \eta) G_C(x, y; \xi, \eta) ds, & \quad m = 1, 2, 3 \\ & \quad (x, y) \in S \end{aligned} \quad (\text{V.20})$$



$$\begin{aligned}
 & -\psi_m(x, y) + \frac{1}{2\pi} \int_{-L}^L \{ \phi_m(\xi, \eta) \frac{\partial G_S}{\partial n}(x, y; \xi, \eta) + \psi_m \frac{\partial G_C}{\partial n}(x, y; \xi, \eta) \} ds = \\
 & = \frac{1}{2\pi} \int_{-L}^L \frac{\partial \phi_m}{\partial n}(\xi, \eta) G_S(x, y; \xi, \eta) ds, \quad m = 1, 2, 3 \quad (V.21) \\
 & \quad \quad \quad (x, y) \in S
 \end{aligned}$$

Procura-se soluções para o potencial no ponto médio  $(x_i, y_i)$  de cada segmento. Tendo em vista simplificações nas equações apresentadas, será feita a seguir a hipótese de que o potencial em qualquer ponto do segmento é igual ao potencial no seu ponto médio. Decorre portanto:

$$\begin{aligned}
 & \int_{-L}^L \phi_m(\xi, \eta) (\vec{n} \cdot \nabla) G(x, y; \xi, \eta) ds = \\
 & = \int_0^L \phi_m(-\xi, \eta) (\vec{n} \cdot \nabla) G(x, y; -\xi, \eta) ds + \\
 & + \int_0^L \phi_m(\xi, \eta) (\vec{n} \cdot \nabla) G(x, y; \xi, \eta) ds = \\
 & \cong \sum_{j=1}^N \phi_m(x_j, y_j) \left\{ \int_{\xi_j + i\eta_j}^{\xi_{j+1} + i\eta_{j+1}} (\vec{n} \cdot \nabla) G(x_i, y_i; \xi, \eta) ds + \right. \\
 & \left. + (-1)^m \int_{\xi_j + i\eta_j}^{\xi_{j+1} + i\eta_{j+1}} (\vec{n} \cdot \nabla) G(x_i, y_i; -\xi, \eta) ds \right\} \quad (V.22)
 \end{aligned}$$

Na dedução acima foi utilizada a relação de simetria (V.7).

Para cilindros assimétricos a somatória da equação (V.22) deve ser substituída por:

$$\sum_{j=1}^N \phi_m(x_j, y_j) \int_{\xi_j + i\eta_j}^{\xi_{j+1} + i\eta_{j+1}} (\vec{n} \cdot \nabla) G(x_i, y_i; \xi, \eta) ds, \quad (V.23)$$

onde o ponto inicial,  $\xi_1 + in_1$ , no caso de um cilindro simétrico parcialmente submerso,  $\bar{e}$  a intersecção do cilindro com a linha  $y=0$  no terceiro quadrante. Para dois cilindros a integração deve processar-se do cilindro nº 1 ao cilindro nº 2.

O sistema de equações integrais lineares fica reduzido ao seguinte conjunto de  $2N$  equações algébricas lineares em  $\phi_m(x_i, y_i), \psi_m(x_i, y_i)$ ,  $i = 1, 2, \dots, N$ :

$$-2\pi\phi_m(x_i, y_i) + \sum_{j=1}^N \phi_m(x_j, y_j) I_{ij}^{(m)} - \sum_{j=1}^N \psi_m(x_j, y_j) J_{ij}^{(m)} = \sum_{j=1}^N K_{ij}^{(m)}$$

$$-2\pi\psi_m(x_i, y_i) + \sum_{j=1}^N \phi_m(x_j, y_j) J_{ij}^{(m)} + \sum_{j=1}^N \psi_m(x_j, y_j) I_{ij}^{(m)} = \sum_{j=1}^N L_{ij}^{(m)},$$

(V.24)

para  $m = 1, 2, 3$ ; onde  $I_{ij}^{(m)}, J_{ij}^{(m)}, K_{ij}^{(m)}$ , e  $L_{ij}^{(m)}$  são definidos como segue:

$$I_{ij}^{(m)} = \int_{S_j} (\vec{n} \cdot \nabla) \operatorname{Re} \{ \operatorname{Log}(z_i - \zeta) - \operatorname{Log}(z_i - \bar{\zeta}) + 2P.V. \int_0^\infty \frac{e^{-ik(z_i - \bar{\zeta})}}{K - k} dk \} ds$$

$$+ (-1)^m \int_{S_j} (\vec{n} \cdot \nabla) \operatorname{Re} \{ \operatorname{Log}(z_i + \bar{\zeta}) - \operatorname{Log}(z_i + \zeta) + 2P.V. \int_0^\infty \frac{e^{-ik(z_i + \zeta)}}{K - k} dk \} ds,$$

(V.25)

$$J_{ij}^{(m)} = -2\pi \left\{ \int_{S_j} (\vec{n} \cdot \nabla) \operatorname{Re} e^{-iK(z_i - \bar{\zeta})} ds + (-1)^m \int_{S_j} (\vec{n} \cdot \nabla) \operatorname{Re} e^{-iK(z_i + \zeta)} ds \right\},$$

(V.26)

$$\begin{aligned}
K_{ij}^{(m)} = \vec{n}_j(x_j, y_j) \left\{ \int_{S_j} \operatorname{Re} [\operatorname{Log}(z_i - \zeta) - \operatorname{Log}(z_i - \bar{\zeta}) + 2P.V. \int_0^\infty \frac{e^{-ik(z_i - \bar{\zeta})}}{K-k} dk] ds \right. \\
\left. + (-1)^m \int_{S_j} \operatorname{Re} [\operatorname{Log}(z_i + \bar{\zeta}) - \operatorname{Log}(z_i + \zeta) + 2P.V. \int_0^\infty \frac{e^{-ik(z_i + \zeta)}}{K-k} dk] ds \right\},
\end{aligned}
\tag{V.27}$$

$$L_{ij}^{(m)} = -2\pi \vec{n}_j(x_j, y_j) \left\{ \int_{S_j} \operatorname{Re} e^{-iK(z_i - \bar{\zeta})} + (-1)^m \int_{S_j} \operatorname{Re} e^{-iK(z_i + \zeta)} ds \right\}
\tag{V.28}$$

O desenvolvimento dessas fórmulas é apresentado no Apêndice A.II. Assim, para uma dada secção transversal de um cilindro e para uma dada frequência, o sistema (V.24) de  $2N$  equações, resolvido, fornece os potenciais  $\psi_m(x_i, y_i)$  e  $\phi_m(x_i, y_i)$  para cada modo de movimento.

#### V.4 COMPARAÇÃO DO MÉTODO DE FRANK COM O MÉTODO DE POTASH

Frank e Potash, aplicando o teorema de Green aos contornos do domínio fluido, obtiveram soluções análogas para os potenciais de radiação, dadas implicitamente por um sistema de equações integrais.

Ambos os métodos requerem uma função de Green, contendo uma singularidade logarítmica, que satisfaça o problema de condições de contorno, com a condição sobre a carena eliminada. Entretanto, os processos para obtenção dos potenciais não são similares, como será visto a seguir.

A equação (V.19) não foi resolvida diretamente por Frank. 0

potencial no ponto P é definido, em seu método, em função de uma distribuição contínua de fontes sobre o contorno S:

$$\phi_i(P) = \frac{1}{2\pi} \int_S \sigma_i(q) G(P;q) ds(q) \quad (V.29)$$

Aplicando-se a condição cinemática sobre a carena, a intensidade das fontes pode ser determinada através da seguinte equação:

$$-\sigma_i(P) + \frac{1}{2\pi} \int_S \sigma_i(q) \frac{\partial G(P;q)}{\partial n(q)} ds(q) = \frac{\partial \phi_i(P)}{\partial n(p)} \quad (V.30)$$

Resolvendo-se a equação (V.30) numericamente, os potenciais de radiação podem ser determinados por (V.29), para um ponto P do cilindro.

Essa solução é equivalente à obtida através da equação (V.19). De modo a verificar-se tal afirmativa é suficiente substituir-se  $\sigma_i(P)$ , dado implicitamente pela equação (V.30), em (V.29), como segue:

$$\begin{aligned} \phi_i(P) &= \frac{1}{2\pi} \int_S \left\{ -\frac{\partial \phi_i(q)}{\partial n(q)} + \frac{1}{2\pi} \int_S \sigma_i(q) \frac{\partial G(P;q)}{\partial n(q)} ds(q) \right\} G(P;q) ds(q) = \\ &= -\frac{1}{2\pi} \int_S \frac{\partial \phi_i(q)}{\partial n(q)} G(P;q) ds(q) + \\ &+ \frac{1}{2\pi} \int_S \frac{\partial G(P;q)}{\partial n(q)} \left\{ \frac{1}{2\pi} \int_S \sigma_i(q) G(P;q) ds(q) \right\} ds(q) = \\ &= -\frac{1}{2\pi} \int_S \frac{\partial \phi_i(q)}{\partial n(q)} G(P;q) ds(q) + \frac{1}{2\pi} \int_S \phi_i(q) \frac{\partial G}{\partial n}(P;q) ds(q) . \end{aligned} \quad (V.31)$$

Este último resultado, apresentado por Potash, possui a vantagem de o potencial para cada modo de movimento ser obtido diretamente de uma equação integral, sem a necessidade de integrações adicionais.

Os dois processos são equivalentes e o problema de frequências irregulares, apresentado no capítulo VI, está presente em ambos. Pritz e Chataignier [10] em seu estudo comparativo, entretanto, apresentam resultados computacionais que atestam um desempenho mais satisfatório do método de Potash em frequências próximas às frequências irregulares. Esse estudo foi desenvolvido para diferentes seções transversais, e uma conclusão geral, que ali se apresenta, é que a importância dos picos de amplitude em frequências irregulares decresce com o aumento do número de pontos definidores da seção. Uma recomendação de caráter prático é fixar-se esse número em torno de 15. Nas figuras V.3 e V.4 ilustra-se o comportamento de ambos os métodos para duas seções distintas. Verifica-se a ocorrência de frequências irregulares nos dois métodos, embora com picos de menor intensidade no método de Potash.

No próximo capítulo será analisado o problema de frequências irregulares e serão discutidas alternativas visando a eliminar ou atenuar a ocorrência destas frequências.

Massa adicionada em balanço

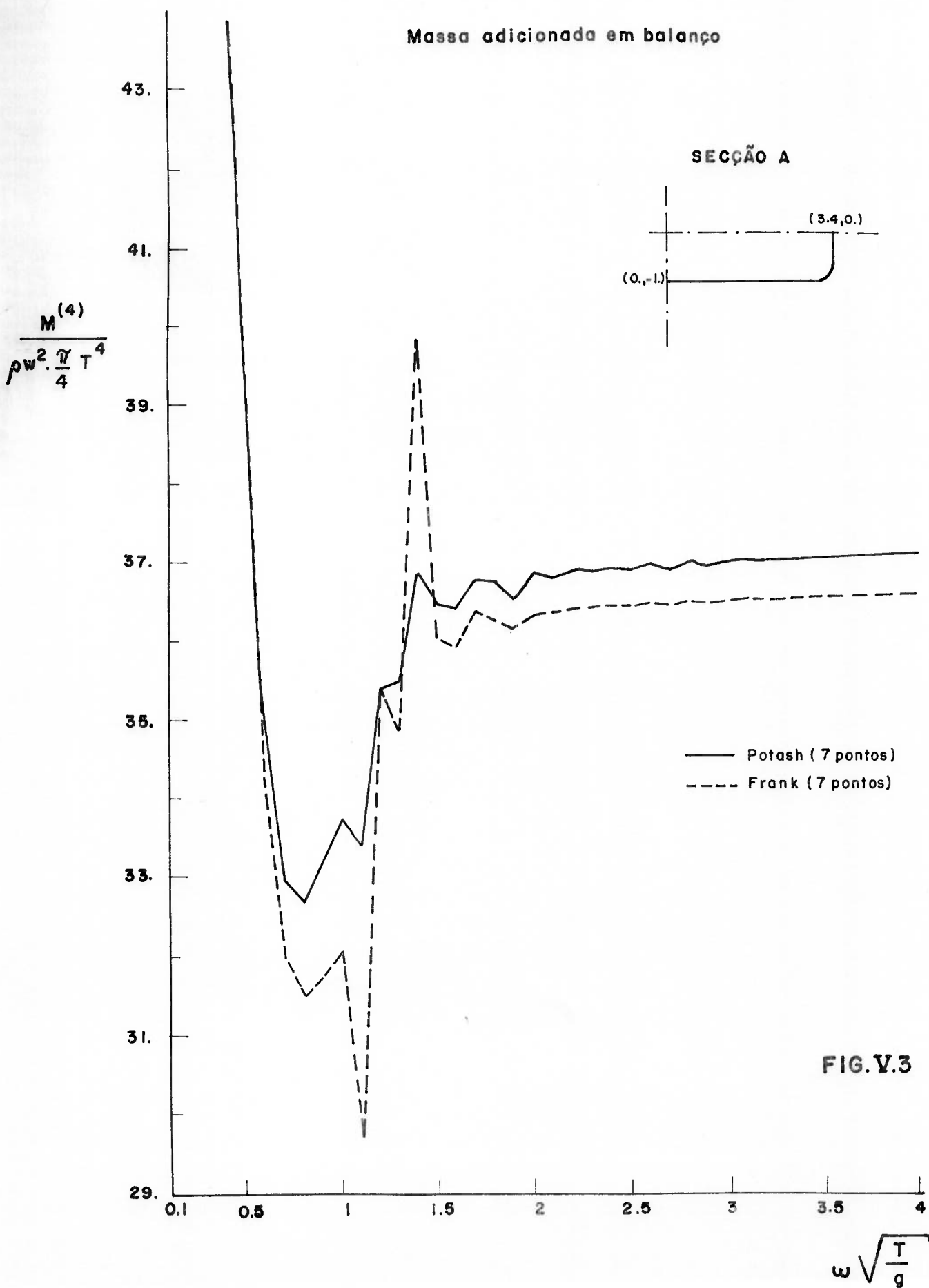


FIG.V.3

Coeficiente de amortecimento em arfagem

$$\frac{N^{(3)}}{\rho w^2 \frac{\pi}{2} T^2}$$

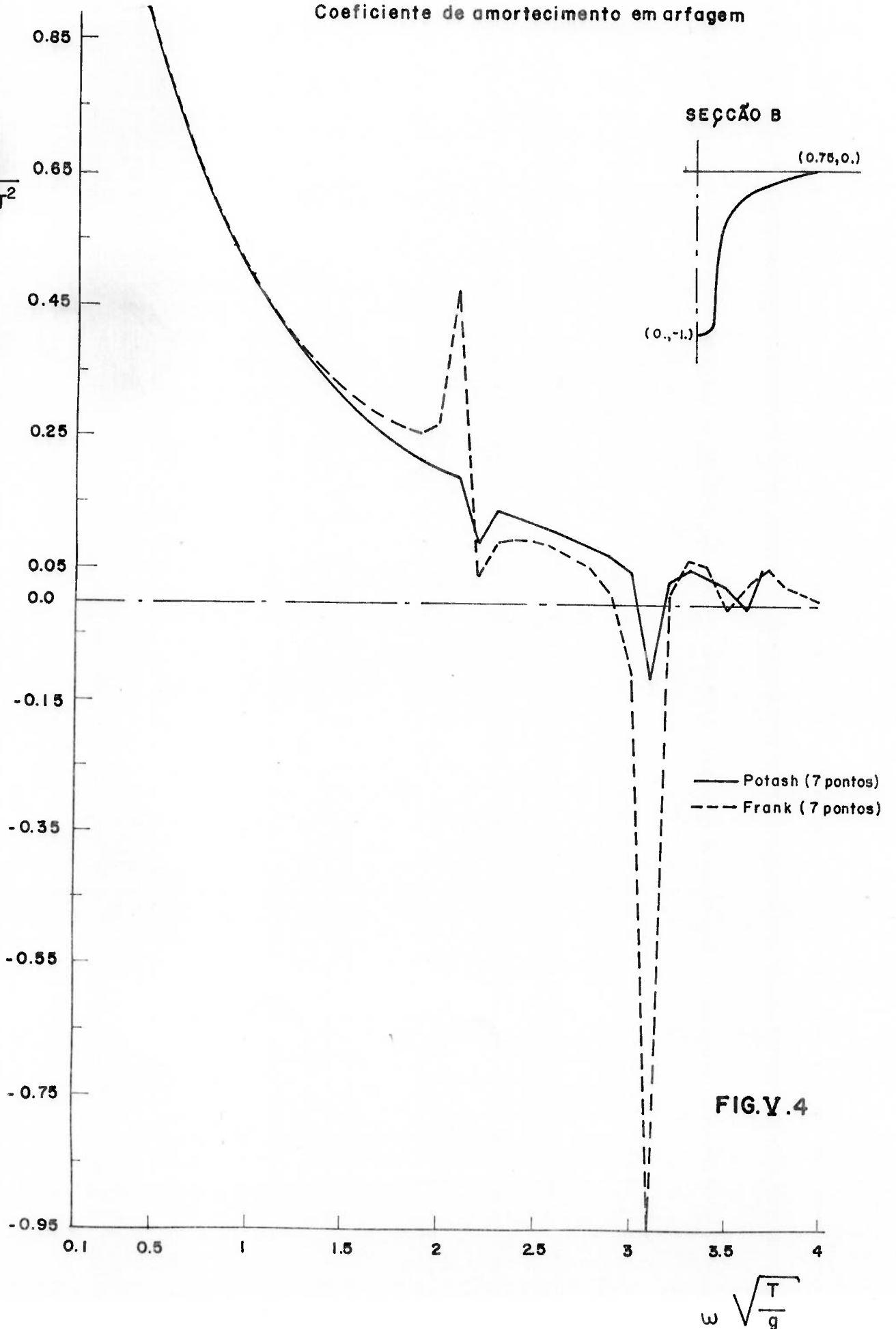


FIG.V.4

## CAPÍTULO VI

## ANÁLISE DE FREQUÊNCIAS IRREGULARES

## VI.1 INTRODUÇÃO

Os métodos de equações integrais apresentam problemas de ressonância em um conjunto discreto (infinito) de frequências irregulares. Deve-se ressaltar que este fato está relacionado ao processo de obtenção da solução matemática em si, não havendo correlação com fenômenos físicos de ressonância.

A consequência prática da ocorrência de frequências irregulares é que, dentro da aproximação numérica adotada, a solução torna-se inaceitável em certos intervalos de frequência, cada intervalo contendo uma determinada frequência irregular. A extensão deste intervalo depende da malha adotada no modelo numérico.

Na teoria bidimensional de faixas o problema poderia ser contornado, utilizando-se o método das transformações conformes. Neste caso, porém, o tempo de processamento em computador seria consideravelmente maior devido à necessidade adicional da obtenção dos coeficientes de transforma -



ção de Theodorsen, especialmente para determinadas formas de secções. Este método, entretanto, não é aplicável a problemas de distribuição das pressões de difração, onde a equação de Laplace é substituída pela equação de Helmholtz. Para tais problemas os métodos disponíveis são basicamente métodos de equações integrais e o problema de frequências irregulares persiste.

O objetivo deste capítulo é apresentar o conceito de frequências irregulares e discutir métodos que eliminem ou atenuem a ocorrência destas frequências. Serão discutidos os métodos de Paulling/Wood [106] e o de Ursell/Ogilvie [100] e [76].

## VI.2 O CONCEITO DE FREQUÊNCIAS IRREGULARES

John [42] foi aparentemente o primeiro a demonstrar a existência de frequências irregulares em problemas de superfície livre. Lamb [53] estudou um problema análogo em acústica.

Em problemas de acústica as frequências de ressonância podem ocorrer devido à compressibilidade do fluido. No caso de cilindros parcialmente submersos, embora o fluido seja considerado perfeito, a presença da superfície livre acarreta o aparecimento desse fenômeno no processo de cálculo.

John indicou que o problema de condições de contorno "externo" para o potencial  $\phi$ , discutido no capítulo V, não pode ser resolvido por métodos de equações integrais, nas frequências para as quais o escoamento hipotético no interior do corpo possuía soluções características (não homogêneas). Pode-se demonstrar que as frequências irregulares correspondem às soluções características do problema de condições de contorno para o potencial virtual ( $\bar{\phi}$ ), no interior ( $D_i$ ) do cilindro. Este problema apresenta ainda con

dições de Dirichlet sobre o contorno  $S$  (Fig.VI.1):

$$\nabla^2 \hat{\phi} = 0 \quad , \quad (x,y) \in D_i; \quad (\text{VI.1})$$

$$\frac{\partial \hat{\phi}}{\partial y} - K \hat{\phi} = 0 \quad , \quad (x,y) \in S_{Fi}. \quad (\text{VI.2})$$

Para um número discreto de valores de  $K_i$ ,  $i=1,2,3,\dots$ , o problema acima possui soluções características  $\hat{\phi}_i$  diferentes de zero, e esses números de onda irregulares correspondem às frequências irregulares do problema "externo" de condições de contorno para o potencial  $\phi$ .

A seguir será esboçado o procedimento de Ohmatsu [80] de modo a estabelecer-se de forma clara o relacionamento entre o problema hipotético "interno" e o problema físico "externo".

O teorema de Green, aplicado às funções  $G(\hat{P},Q)$  e  $\hat{\phi}(Q)$ , para pontos  $\hat{P}$  do interior de  $S$ , fornece:

$$\hat{\phi}(\hat{P}) = - \frac{1}{2\pi} \int_S \left\{ \hat{\phi}(q) \frac{\partial G(\hat{P};q)}{\partial n(q)} - \frac{\partial \hat{\phi}(q)}{\partial n(q)} G(\hat{P};q) \right\} ds(q) \quad (\text{VI.3})$$

O resultado acima é análogo à equação (V.19). A normal  $\vec{n}$  é mantida como a normal interna a  $S$ , o que explica a diferença de sinal entre (V.19) e (VI.3).

É conveniente aplicar-se também o teorema de Green às funções  $G(P;Q)$  e  $\hat{\phi}(Q)$ , para pontos  $P$  fora de  $S$ . Neste caso, ambas as funções são harmônicas no interior de  $S$ , obtendo-se então:

$$0 = - \frac{1}{2\pi} \int_S \left\{ \hat{\phi}(q) \frac{\partial G(P;q)}{\partial n(q)} - \frac{\partial \hat{\phi}(q)}{\partial n(q)} G(P;q) \right\} ds(q) \quad (\text{VI.4})$$

O problema "interno" ficará definido estabelecendo-se as condições de Dirichlet para pontos  $Q$  em  $S$ :

$$\widehat{\phi}(Q) = \phi(Q) \quad (\text{VI.5})$$

As equações (V.19) e (VI.4), adicionadas, fornecem:

$$\phi(P) = \frac{1}{2\pi} \int_S \sigma(q) G(P;q) ds(q), \quad (\text{VI.6})$$

onde

$$\sigma(q) = \frac{\partial \widehat{\phi}(q)}{\partial n(q)} - \frac{\partial \phi(q)}{\partial n(q)} \quad (\text{VI.7})$$

A equação (VI.6) representa o potencial em um ponto  $P$  devido a uma distribuição contínua de fontes de densidade  $\sigma(q)$ , sobre o contorno  $S$ . A utilidade desta equação depende da existência de uma solução  $\widehat{\phi}(P)$  do problema "interno", de tal modo que:

- (i) a condição (VI.5) é satisfeita;
- (ii)  $\frac{\partial \widehat{\phi}(q)}{\partial n(q)}$  é definida univocamente em  $S$ .

Essas condições, entretanto, não podem ser verificadas sempre. Em particular, existem algumas frequências  $\omega_j$  para as quais o problema "interno" possui soluções que verificam:

$$\widehat{\phi}(P) = \phi(P) = 0 \quad \text{para } P = Q, \text{ em } S \quad (\text{VI.8})$$

Pode-se determinar uma solução apropriada  $\widehat{\phi}_j(\bar{P})$  para o problema

"interno", correspondente à frequência  $\omega_j$ , que satisfaça (VI.5). É possível ainda adicionar-se à esta solução um múltiplo arbitrário da solução característica, por exemplo  $A\hat{\phi}_j(P)$ , e a condição (VI.5) permanece satisfeita.

A contribuição da solução característica para o valor da densidade de fonte (VI.7) não será nula, dependendo do valor arbitrário  $A$ . Assim,  $\sigma(q)$  não é única. Isso não implica em que a solução do problema "externo" não seja única. John demonstrou a existência e unicidade de tais soluções para a maioria dos casos práticos em engenharia naval.

Além disso, verifica-se diretamente que essa distribuição indeterminada de fontes não contribui em nada para o potencial  $\phi(P)$ , em pontos externos a  $S$ . De fato, sendo  $\hat{\phi}_j(Q) = 0$  para pontos  $Q$  em  $S$ , observa-se de (VI.4) que:

$$\frac{1}{2\pi} \int_S \frac{\partial \hat{\phi}_j(q)}{\partial n(q)} G(P;q) ds(q) = 0, \quad (\text{VI.9})$$

para todo ponto  $P$  no semi-plano inferior, no exterior de  $S$ . Se a equação acima for multiplicada pela constante arbitrária  $A$ , por intermédio de (VI.6) e (VI.7), obtém-se precisamente o potencial na região externa ao contorno  $S$ , correspondente à distribuição de fontes não única em  $S$ . A equação (VI.9) indica portanto que essa contribuição é nula no exterior de  $S$ .

O problema de frequências irregulares não se limita aos particulares valores de  $K_j$ . Ogilvie e Shin [76] indicaram que resolvendo-se o problema para uma frequência arbitrária, distinta das frequências características, e então aproximando-se esta a uma determinada frequência irregular  $K_j$ , as densidades das fontes assumem valores infinitos em quase todo o contorno  $S$ .

O método de equações integrais revela-se a princípio inadequado

para a solução de tais problemas. Como pode ser verificado, o método de Frank falha em determinadas frequências. Não parece tão óbvio o fato de o método de Potash também falhar nestas mesmas frequências, pois este não utiliza a função densidade da fontes. Neste caso parece natural suspeitar-se da escolha da função de Green como causadora desses problemas.

### VI.3 MÉTODOS PARA ELIMINAÇÃO DE FREQUÊNCIAS IRREGULARES

#### VI.3.1 Método de Paulling e Wood

Paulling e Wood relacionaram as frequências irregulares, do problema "interno", às frequências naturais de um "chapinhamento" artificial ("sloshing") no interior do corpo. Esta analogia física serviu de base à sugestão, por eles apresentada, de colocar-se um convés rígido na superfície interna  $S_{Fi}$  (Fig.VI.1). Assim, com o corpo fechado, e sendo o fluido incompressível, não haveria a possibilidade de ocorrência de "chapinhamento". Foi proposta ainda uma condição de contorno de Neumann em  $S_{Fi}$ :

$$\frac{\partial \phi}{\partial y} = 0 \quad , \quad (x,y) \in S_{Fi} \quad (VI.10)$$

Estendendo a integração sobre a superfície  $S_{Fi}$  e utilizando a condição (VI.10), Ohmatsu [80] modificou as equações integrais para o movimento forçado e demonstrou que as novas equações fornecem soluções únicas para todas as frequências.

Børresen [6] aplicou este método para diferentes secções e verificou que o efeito das frequências irregulares persiste, embora se manifeste para frequências mais altas.

O método de Paulling e Wood pode ser analisado, também, como uma analogia ao caso de um cilindro submerso, para o qual não há ocorrên-  
cia de frequências irregulares, pois a única solução possível para o pro  
blema homogêneo é a solução trivial. Impondo-se uma condição homogênea no  
"convês", espera-se eliminar as frequências irregulares do mesmo modo. Os  
resultados apresentados por Børresen parecem mostrar, entretanto, que es  
ta analogia não conduz a conclusões satisfatórias.

### VI.3.2 Função de Green modificada de Ursell e Ogilvie

Ursell [100] propôs em 1953 um método para eliminar a ocorrên-  
cia de frequências irregulares. Ele adicionou à função de Green, clássica  
para o problema, uma fonte na origem, com intensidade e fase seleciona-  
das de modo que a energia associada a um possível "chaphamento" fosse  
absorvida pela fonte.

É possível demonstrar que não existe nenhuma solução caracte-  
rística para uma gama ampla de intensidade dessas fontes centrais, no caso  
especial do movimento de arfagem. A idéia básica do método consiste em mo  
dificar-se a função  $G$  adicionando-se um potencial  $\phi_S$  de uma fonte na o  
rigem, para o movimento simétrico a arfagem:

$$\tilde{G}_S(P;Q) = G(P;Q) + A\phi_S(P;0)G(0;Q), \quad (\text{VI.11})$$

onde

$$\begin{aligned} \phi_S(P;0) = G(P;0) = & -2\{P.V. \int_0^\infty \frac{e^{ky} \cos kx}{K-k} dk + \\ & + j\pi e^{ky} \cos Kx\} \end{aligned} \quad (\text{VI.12})$$

O último termo em (VI.11) preserva a simetria em  $P$  e  $Q$  da fun

ção de Green.  $\underline{A}$  é a intensidade complexa da fonte, que deve em princípio ser função do número de onda.

Ursell provou que esta modificação da função de Green, para o potencial simétrico de arfagem, elimina a ocorrência de frequências irregulares para cilindros de forma arbitrária e para intensidades  $\underline{A}$  também arbitrárias.

A função  $\tilde{G}_S$  deve ser introduzida na equação integral (V.19) do método de Potash.

Apresenta-se no final deste capítulo resultados obtidos por Børresen para uma seção retangular (Fig.VI.2), pelo método de Potash com a função de Green modificada de Ursell e Ogilvie. A intensidade da fonte escolhida foi (0,1).  $A = (0,0)$  corresponde ao método original de Potash.

Nas Figs. (VI.3) e (VI.4) observa-se a ocorrência da 1ª frequência irregular em  $K_1 \cong 1.03$ . Este valor pode ser confirmado pela expressão obtida por Frank, através do método de separação de variáveis, para números de onda característicos de cilindros retangulares parcialmente submersos:

$$K_n = (n\pi/B) \coth(n\pi T/B), \quad n = 1, 2, 3, \dots \quad (\text{VI.13})$$

Para  $B/T = 10$  têm-se:

$$K_1 \cong 1.03 ; \quad K_3 \cong 1.12 ; \quad K_5 \cong 1.28 ; \dots \quad (\text{VI.14})$$

Valores ímpares de  $n$  referem-se aos valores característicos para o potencial simétrico de arfagem, enquanto que valores pares relacionam-se com o potencial anti-simétrico de deriva. O potencial de balanço possuirá as mesmas frequências irregulares do potencial de deriva. Observa-se que, pa

ra valores de razão boca/calado altos, ocorre uma concentração de números de ondas irregulares no eixo das abscissas.

A modificação de Ursell/Ogilvie não se aplica para o potencial anti-simétrico de deriva. Børresen [6] sugere, neste caso, a introdução de vórtices para modificar a função de Green clássica.

Assim,

$$\tilde{G}_a(P;Q) = G(P;Q) + \Gamma G(0;Q) \phi_a(P;0), \quad (\text{VI.15})$$

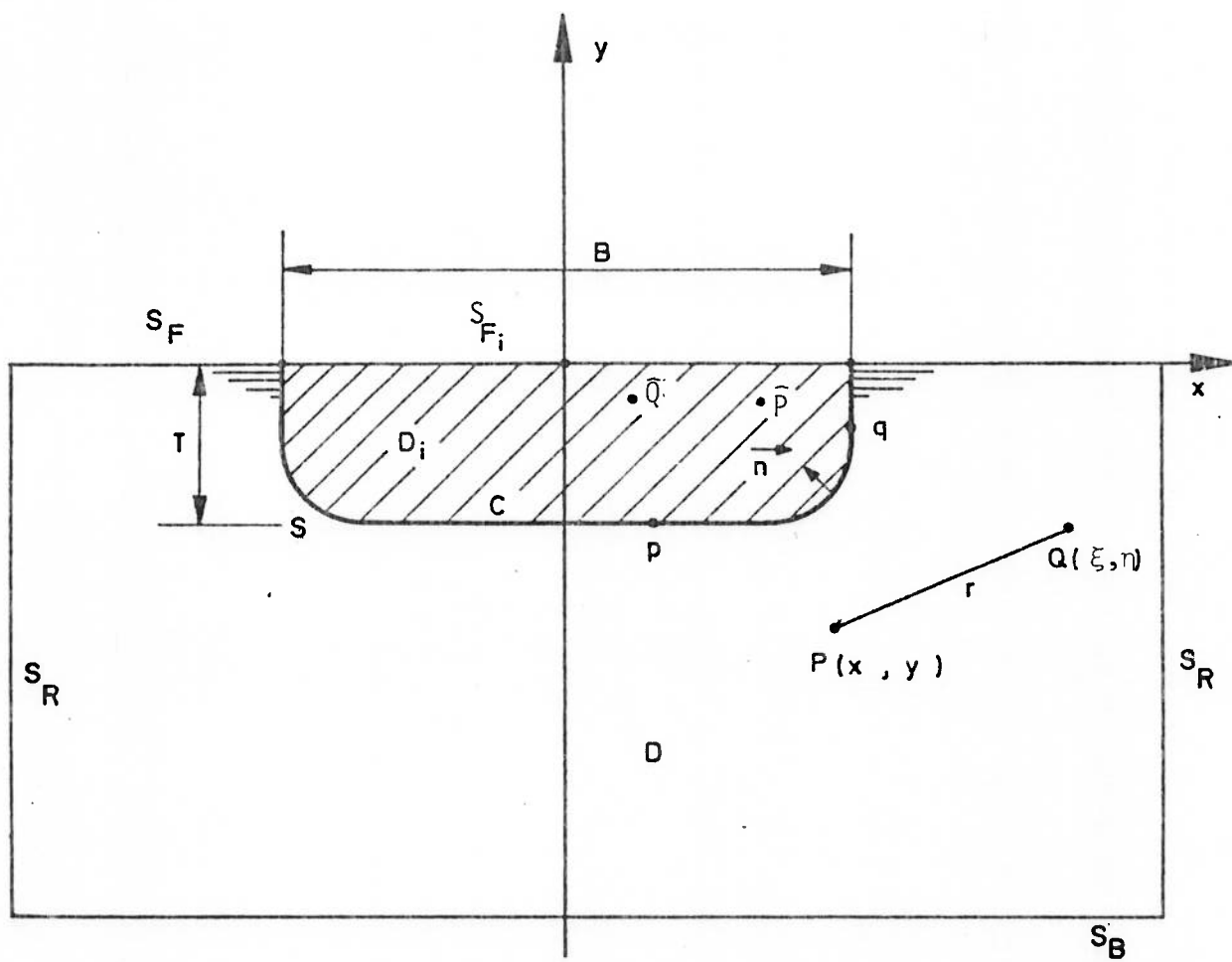
onde  $\Gamma$  é a intensidade complexa de um vórtice na origem, e  $\phi_a$  a parte imaginária da função de Green original, para um vórtice localizado na origem:

$$\phi_a(P;0) = -2 \left\{ \text{P.V.} \int_0^\infty \frac{e^{ky} \operatorname{sen} kx}{K-k} dk + j\pi e^{Ky} \operatorname{sen} Kx \right\} \quad (\text{VI.16})$$

Para frequências baixas ( $K < 1$ ), o novo método mostra-se inadequado. Isso porém não é importante, pois as frequências irregulares ocorrem, como demonstrado por John, para valores de  $K > 1$ . O método original de Potash pode ser aplicado no domínio de baixas frequências.

O programa NVPONT, descrito no próximo capítulo, incorpora as modificações introduzidas por Ursell e Ogilvie, para o potencial de arfagem, e também a sugestão de Børresen para o potencial de deriva. Os resultados obtidos através desse programa não apresentam portanto a ocorrência de frequências irregulares associadas ao processo de cálculo. Os fenômenos de ressonância que resultarem poderão ser interpretados somente sob o aspecto dos fenômenos físicos envolvidos.





Domínio  $D_i$  para o problema "interno"

FIG. VI.1

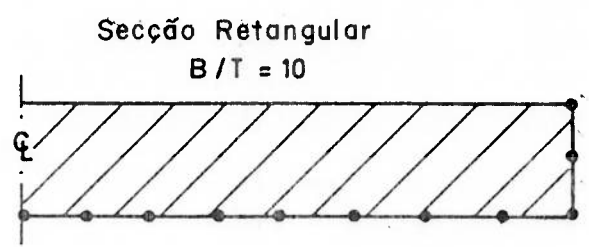


FIG. VI.2

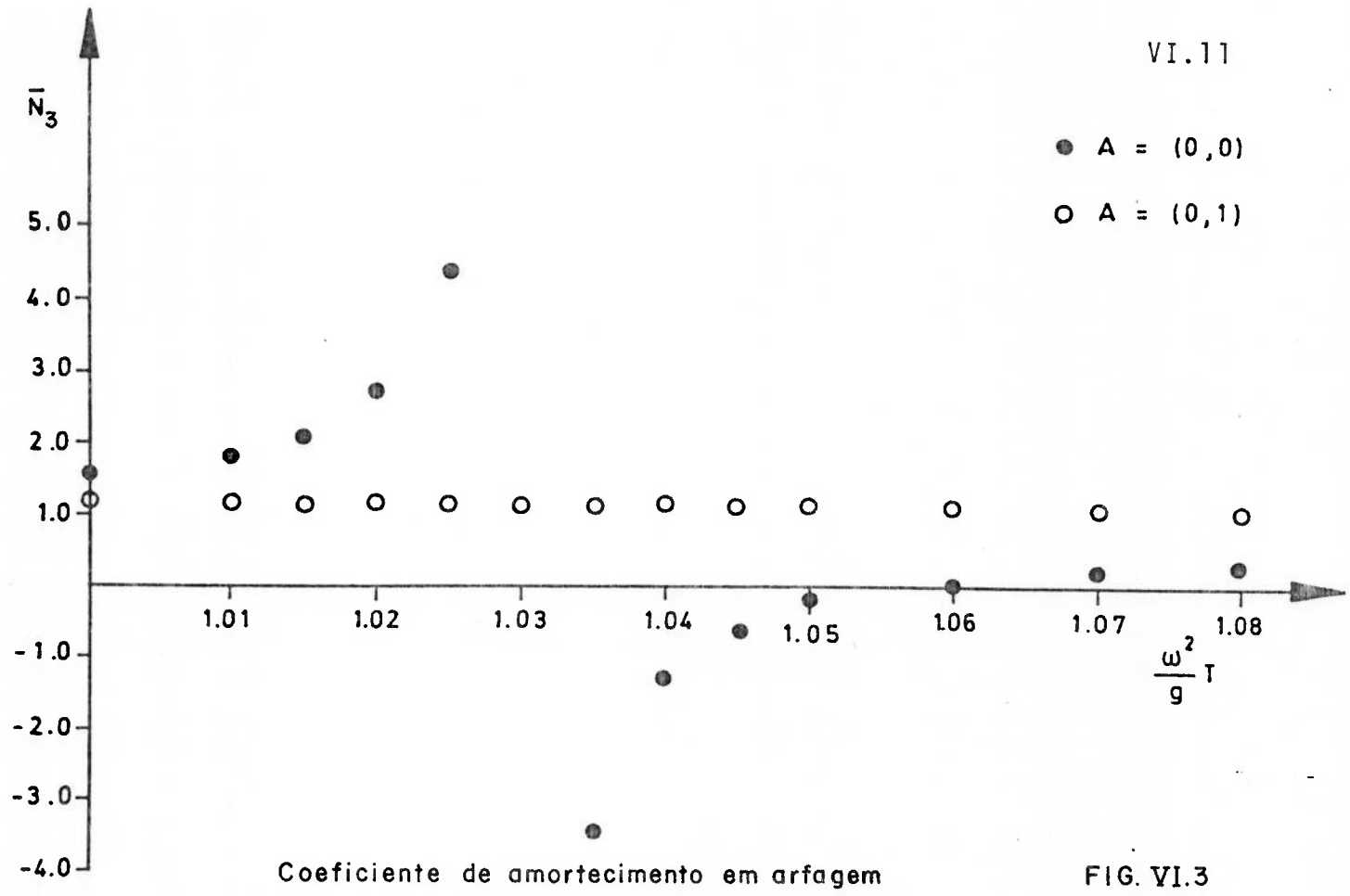


FIG. VI.3

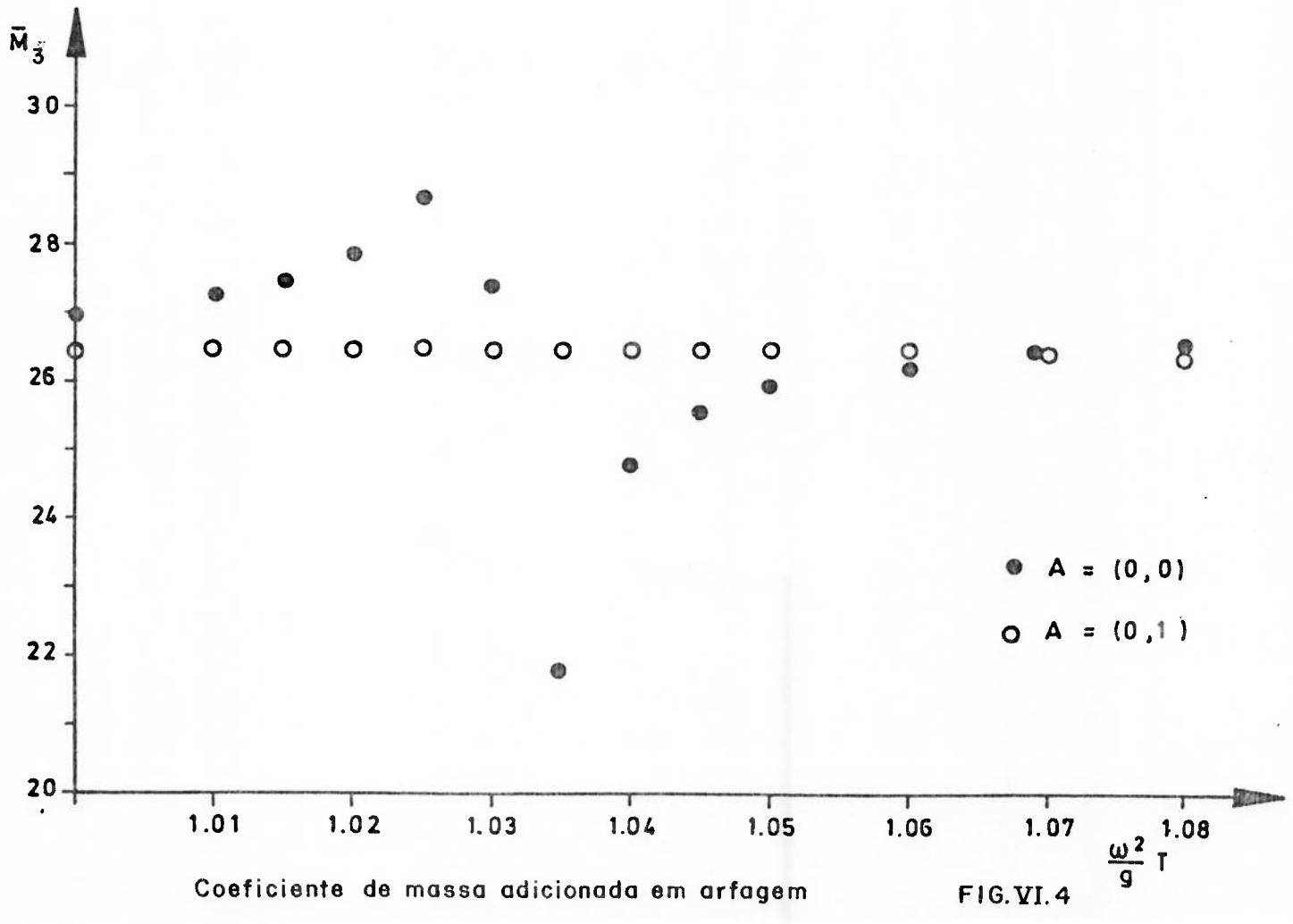


FIG. VI.4

## CAPÍTULO VII

## DESCRIÇÃO DO PROGRAMA NVPONT

## VII.1 INTRODUÇÃO

Este capítulo procura descrever o programa NVPONT, que calcula as forças hidrodinâmicas seccionais para dois cilindros horizontais, de eixos paralelos, com velocidade zero em ondas regulares, utilizando as expressões e relações apresentadas nos capítulos precedentes.

A versão aqui apresentada foi desenvolvida a partir de segmentos do programa NV407 da Det Norske Veritas, apresentado nas referências |16| e |54|.

Para a implementação do programa, na sua versão atual, foram necessários o desenvolvimento de um novo programa principal e a elaboração de novas sub-rotinas (SPT407, KAT407 e ANGVEC). A sub-rotina DAVID, adaptada do programa da referência |67|, acarretou ainda modificações nas sub-rotinas FINV4 e KERN3.

O programa está estruturado, a partir do programa principal, em basicamente dois segmentos, conforme pode ser verificado no diagrama da Fig

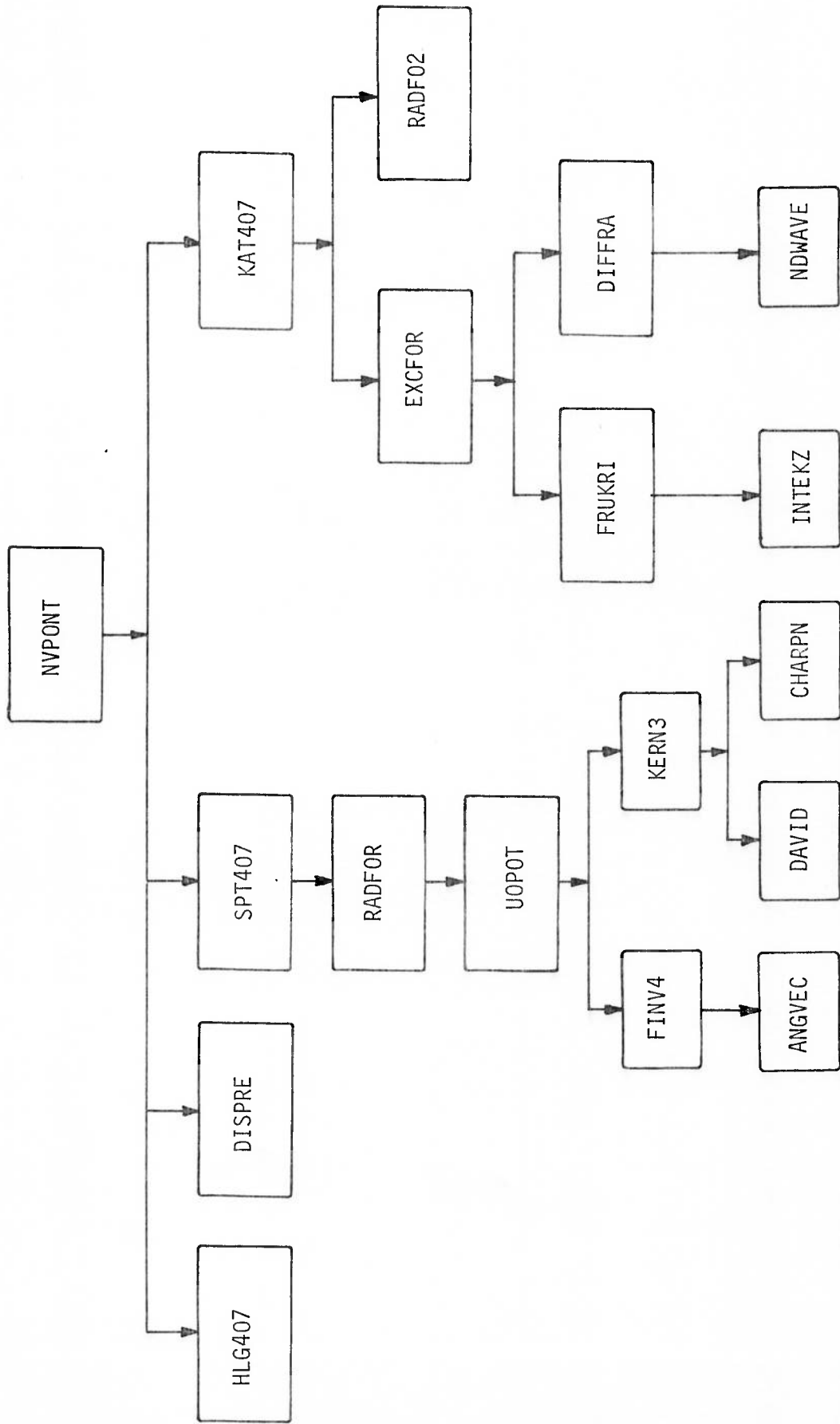


FIG. VII.1 - Estrutura do programa NVPONT

ra VII.1. O primeiro, administrado pela sub-rotina SPT407, efetua o cálculo dos coeficientes de massa adicionada e de amortecimento. As pressões de radiação são armazenadas em arquivos de trabalho, em disco. KAT407 é a sub-rotina de controle do segundo segmento, que tem por função o cálculo das forças excitantes emparelhadas e de sentidos opostos. Os parâmetros geométricos e as pressões, dados estes armazenados em disco, são lidos dos arquivos DATRAN8 e DATRAN12 respectivamente.

O programa pode ser processado em um dos seguintes casos:

- a) cilindros rigidamente conectados;
- b) cilindros com movimentos em oposição, definidos no método de Ogilvie (Fig.IV.1).

O potencial do movimento forçado é calculado pelo método de fontes e sorvedouros de Potash (1970) [89], com a função modificada de Green, de Ursell e Ogilvie (1978) [100] e [76], para o movimento de arfagem. É introduzida ainda a modificação de R. Børresen (1980) [6], para o movimento de deriva, com a determinação de vórtices necessários para eliminar a ocorrência de frequências irregulares. Os coeficientes de massa adicionada e de amortecimento são derivados desses potenciais.

As forças de excitação são apresentadas nas componentes complexas das forças de Froude-Kriloff e de difração, separadas ainda nas componentes emparelhadas e de sentidos opostos para cada cilindro.

No caso de dois cilindros movendo-se como um corpo rígido, para obter-se corretamente as forças internas de difração (de sentidos opostos), o programa deve ser adicionalmente processado para o caso b, como está explicado no capítulo IV, no método de Ogilvie. Todos os valores são obtidos para diversos números de onda e ângulos de incidência.

No tópico seguinte são apresentadas, resumidamente, as diversas rotinas do programa, seguidas de uma breve descrição de suas funções. A listagem do programa, amplamente comentada, encontra-se no Apêndice A.III.

## VII.2 SUBPROGRAMAS

## 1. Sub-rotina ANGVEC

Objetivo: Define o ângulo entre dois vetores, definidos através de dois números complexos  $z_1$  e  $z_2$ , fazendo uso das seguintes relações:

$$(i) \quad \arg(z) = \operatorname{tg}^{-1} \left( \frac{y}{x} \right) \quad , \quad \text{se } x > 0 ;$$

$$(ii) \quad \arg(z) = \operatorname{tg}^{-1} \left( \frac{y}{x} \right) + \pi \quad , \quad \text{se } x < 0, \quad y \geq 0 ;$$

$$(iii) \quad \arg(z) = \operatorname{tg}^{-1} \left( \frac{y}{x} \right) - \pi \quad , \quad \text{se } x < 0, \quad y < 0 ;$$

$$(iv) \quad \arg(z) = \frac{\pi}{2} \quad , \quad \text{se } x = 0, \quad y > 0 ;$$

$$\arg(z) = -\frac{\pi}{2} \quad , \quad \text{se } x = 0, \quad y < 0 .$$

## 2. Sub-rotina CHARPN

Objetivo: Resolver sistemas de equações lineares.

Argumentos:

\*(I) A : matriz dos coeficientes.

(I) B : vetor do 2º membro.

(0) N : vetor solução.

(I) M = 0: apaga matriz dos coeficientes;  
1: guarda matriz dos coeficientes.

---

\* A notação (I) indica argumentos de entrada e  
(0) argumentos de saída

- (0)  $N = 0$ : existe solução ;  
 1: sistema singular.

### 3. Sub-rotina DAVID

Objetivo: Cálculo dos termos integrais utilizados na sub-rotina KERN3 para cálculo da parte dependente da frequência dos potenciais bidimensionais de radiação.

Argumentos:

$$(I) X = K(x - \xi)$$

$$(I) Y = K(y + \eta)$$

onde  $(x, y)$  = ponto médio do segmento

$(\xi, \eta)$  = ponto coordenado

$$(0) E = \exp(-Y)$$

$$(0) C = \cos(X)$$

$$(0) S = \sin(X)$$

$$(0) RA = \log R - P.V. \int_0^{\infty} \frac{e^{k(y+\eta)}}{K-k} \cos k(x-\xi) dk,$$

$$\text{onde } R = \{(x-\xi)^2 + (y + \eta)^2\}^{1/2}$$

$$(0) RB = \text{tg}^{-1} \left( \frac{Y}{X} \right) + P.V. \int_0^{\infty} \frac{e^{k(y+\eta)}}{K-k} \sin k(x-\xi) dk$$

$$(0) CIN = P.V. \int_0^{\infty} \frac{e^{k(y+\eta)}}{K-k} \cos k(x-\xi) dk$$

$$(0) SIN = P.V. \int_0^{\infty} \frac{e^{k(y+\eta)}}{K-k} \sin k(x-\xi) dk$$

## 4. Sub-rotina DIFFRA

Objetivo: DIFFRA calcula os componentes emparelhadas e de senti - dos opostos das forças de difração na direção  $i$ ; basea das na relação de Haskind-Newman.

Argumentos:

- (I) DIP : distância do ponto médio da faixa ao LCB.
- (I) I : modo do movimento.
- (I) WNM : número de onda, adimensionalizado por  $\frac{1}{2}CL$ .
- (I) OM : frequência, adimensionalizada por  $\frac{1}{2}CL/G$ .
- (I) IDEPTH: parâmetro de profundidade.
- (I) H : altura da coluna d'água.
- (I) BETA : ângulo de incidência.
- (I) FN : número de Froude.
- (0) : forças de difração para o COMMON/EXFCOF/.

Sub-rotinas auxiliares: NDWAVE.

## 5. Sub-rotina DISPRE

Objetivo: Calcula a frequência de onda como função do número de onda.

Argumentos: (I) ICODE : 1 calcula o número de onda (WN) quando a frequência (OM) é dada;  
: 2 calcula a frequência de onda (OM) quando o número de onda (WN) é dado.



- (I) IDEPTH : 0 águas profundas;  
                   : 1 profundidade finita (não utilizada).
- (I) H : altura da coluna d'água.
- (O) OM : frequência de onda.  

$$OM = OMEGA \sqrt{\frac{CL}{G}}$$
 OMEGA = frequência dimensional  
 CL = comprimento característico
- (O) WN : número de onda.  

$$WN = K * CL$$
 K = número de onda dimensional

#### 6. Sub-rotina EXCFOR

Objetivo: Sub-rotina principal para o cálculo das forças de excitação (de Froude-Kriloff e de difração) devidas a ondas.

Sub-rotinas auxiliares: FRUKRI, DIFFRA, INTEKZ, NDWAVE.

#### 7. Sub-rotina FINV4

Objetivo: Calcula a parte independente da frequência do sistema de equações algébricas, que determina os potenciais bidimensionais de radiação.

Sub-rotinas auxiliares: ANGVEC.

#### 8. Sub-rotina FRUKRI

Objetivo: Cálculo das forças de Froude-Kriloff no casco K e no mo  
do i.

Argumentos:

- (I) K : cilindro considerado.
- (I) DIP : distância do ponto médio da faixa ao LCB.
- (I) WNM : número de onda adimensionalizado.
- (I) OM : frequência da onda.
- (I) IDEPTH: parâmetro de profundidade.
- (I) H : altura da coluna d'água.
- (I) BETA : ângulo de incidência.
- (I) FN : número de Froude.
- (0) FFKRKI: parte real da força de Froude-Kriloff.
- (0) FFKIKI: parte imaginária da força de Froude-Kriloff.

Sub-rotinas auxiliares: INTEKZ.

#### 9. Sub-rotina HLG407

Objetivo: Cálculo de parâmetros geométricos transferidos ao bloco  
COMMON/HULGEO/

HLG407 define as extremidades e os pontos médios dos  
segmentos em que as secções são discretizadas, calculan  
do ainda os comprimentos e o vetor normal unitário (5  
graus de liberdade).

#### 10. Sub-rotina INTEKZ

Objetivo: Cálculo das integrais de linha das funções:

$$\int \exp(Kz) \begin{Bmatrix} \cos(Ky \sin \beta) \\ \sin(Ky \sin \beta) \end{Bmatrix} n_i ds,$$

sobre o contorno do casco.

Argumentos:

- (I) K : número do casco.
- (I) I : modo da direção.
- (I) WNM : número de onda .
- (I) SBETA :  $\sin \beta$  ( $\beta$  = ângulo de incidência).
- (0) CINT : parte em cosseno da integral.
- (0) SINT : parte em seno da integral.

11. Sub-rotina KAT407

Objetivos: Administra o cálculo das forças excitantes em elementos da estrutura para uma frequência.

Argumentos:

- (I) NG : número da frequência imediatamente acima de GXI.
- (I) GXI : frequência para o cálculo das forças.  
( $\text{OMEGA} \cdot \text{SQRT}(\text{CL}/\text{G})$ ).
- (I) OMEN(I) : vetor de frequências para as quais as pressões são disponíveis.  
( $\text{OMEGA} \cdot \text{SQRT}(\text{CL}/2 \cdot \text{G})$ ).
- (I) NFR : número de frequências para as quais as pressões são disponíveis.

- (I) NOK : número total de comprimentos de onda considerados.
- (I) HDR : ângulo de inclinação presente (radianos).
- (I) BAM : comprimento de onda (LAMBDA/L) correspondente a GXI.
- (I) MM : número de seqüência dos ângulos de incidência.
- (I) LL : número de seqüência dos comprimentos de onda.
- (0)CEDE(I,K,J): componente emparelhada da força de difração na secção I, casco K, direção J.
- (0)CEDO(I,K,J): componente oposta da força de difração na secção I, casco K, direção J.
- (0)CEFE(I,K,J): componente emparelhada da força de Froude-Kriloff na secção I, casco K, direção J.
- (0)CEFO(I,K,J): componente oposta da força de Froude-Kriloff na secção I, casco K, direção J.

Periféricos: Arquivos em disco DATRAN8 e DATRAN12.

Sub-rotinas auxiliares: EXCFOR, RADF02, FRUKRI, DIFFRA, INTEKZ e NDWAVE.

## 12. Sub-rotina KERN3

Objetivo: Calcular as partes dependentes da frequência do sistema de equações algébricas, que determina os potenciais bidimensionais de radiação. Resolve o sistema e calcula as pressões de radiação dinâmicas. As pressões bidimen-

sionais são avaliadas pelo método de Potash e serão utilizadas posteriormente no cálculo dos coeficientes de massa adicionada e de amortecimento.

Sub-rotinas auxiliares : DAVID, CHARPN.

### 13. Sub-rotina NDWAVE

Objetivo: Cálculo da derivada normal do potencial de onda incidente em um ponto M do casco. Essa derivada é sub-dividida em duas partes,  $G_{Di}$  e  $H_{Di}$ . As expressões complexas para  $G_{Di}$  e  $H_{Di}$  são explicitadas ainda nas componentes reais (GDIR, HDIR) e imaginárias (GDII, HDII).

Argumentos:

- (I) DIP : distância do ponto médio da faixa ao LCB.
- (I) WNM : número de onda adimensionalizada por  $\frac{1}{2}CL$ .
- (I) OM : frequência adimensionalizada por  $\frac{1}{2}CL/G$ .
- (I) IDEPTH: parâmetro de profundidade
- (I) H : altura da coluna d'água.
- (I) BETA : ângulo de incidência.
- (I) M : ponto M do contorno da seção.
- (I) YM : abscissa do ponto M.
- (I) ZM : ordenada do ponto M.
- (O) GDIR : componentes definidas no desenvolvimento do método de Mathisen e Carlsen.
- (O) GDII

(0) HDIR

(0) HDII

14. Sub-rotina RADFOR

Objetivo: Cálculo das forças de radiação, coeficientes de massa adicionada e de amortecimento, para uma dada secção transversal.

Argumentos:

(I) OME : frequência de oscilação \* SQRT(CL/G).

(I) WNML : número de onda \* CL.

(I) NF : número da frequência.

(I) IPRES : 0 calcula pressões de radiação;

1 não calcula pressões.

Sub-rotinas auxiliares: UOPOT, FINV4, KERN3, ANGVEC, DAVID, CHARPN.

15. Sub-rotina RADF02

Objetivo: Cálculo das forças de radiação, coeficientes de massa adicionada e de amortecimento, para uma dada secção transversal. As pressões devem ter sido calculadas previamente. RADF02 somente efetua a integração das mesmas.

16. Sub-rotina SPT407

Objetivo: Administrar o cálculo das forças de radiação, coeficien-

tes de massa adicionada e amortecimento. O cálculo é efetuado pelo método de Potash, com a modificação de T. F. Ogilvie, necessária para prever as forças internas entre os pontões.

Sub-rotinas auxiliares: RADFOR, UOPOT, FINV4, KERN3, ANGVEC, DAVID, CHARPN.

#### 17. Sub-rotina UOPOT

Objetivo: UOPOT calcula as pressões hidrodinâmicas linearizadas em dois cilindros. As pressões são calculadas pelo método de fontes e sorvedouros de R.Potash (1970), com a função modificada de Green, de Ursell e Ogilvie (1978) para o movimento de arfagem. É introduzida ainda a modificação de R.Børresen (1980), com a determinação de vórtices necessários para eliminar a ocorrência de frequências irregulares.

Sub-rotinas auxiliares: FINV4, KERN3, ANGVEC, DAVID, CHARPN.

### VII.3 BLOCOS COMMON

O maior volume de informações entre as várias sub-rotinas é transferido através dos blocos COMMON. Serão descritos aqui os parâmetros de cada um deles.

#### 1. COMMON/DMP/

IDUMP: parâmetro somente para testes. Verificar definição no cartão B.

## 2. COMMON/CONST/

G : aceleração da gravidade.  
 PI : número  $\pi$ .  
 TOPI : número  $2\pi$ .  
 RHO : densidade da água.  
 CL : comprimento característico.  
 TVOL : volume deslocado.

## 3. COMMON/HULGEO/

NHULL(20): número de cascos de cada secção.  
 ISYM(20) : parâmetro de simetria (não utilizado na presente versão).  
 NP(20,2) : número de pontos em cada casco.  
 NS(20,2) : número de segmentos de reta em cada casco.  
 YC(20,2) : distância horizontal da origem do sistema global à origem do sistema local de coordenadas.  
 ZC(20,2) : distância vertical da origem do sistema global à origem do sistema local de coordenadas.  
 YP(20,2,40): abscissas dos pontos definidores de cada secção no sistema local.  
 ZP(20,2,40): ordenadas dos pontos definidores de cada secção no sistema local.  
 (\*) AKSI(40) : abscissas dos pontos definidores no sistema global.

---

(\*) Os pontos (AKSI(J), ETA(J)) são armazenados de modo que para  $J=1, \dots, NP(1)$  representam o casco de bombordo e para  $J=NP(1)+1, \dots, NP(1)+NP(2)$  representam o casco de boreste. O mesmo acontece para YI, ZI, DL e EN, só que agora J conta os segmentos. Os elementos dos vetores AKSI, ETA, YI, ZI e DL são adimensionalizados em relação à metade do comprimento característico na sub-rotina HLG-407.



ETA(40): ordenadas dos pontos definidores no sistema global.  
YI(40) : abscissas dos pontos médios dos segmentos.  
ZI(40) : ordenadas dos pontos médios dos segmentos.  
DL(40) : comprimento dos segmentos.  
EN(6,40): componentes do vetor normal unitário generalizado  
(sentido positivo para dentro) para todos segmentos.  
T(20,2): calado para cada casco em cada secção.

#### 4. COMMON/XHULL/

ST(20) : distância do ponto médio das faixas ao LCG.  
DS(20) : comprimento das faixas.  
NOSTR : número da faixa sendo processada.  
NOSS : número total de faixas.  
ISTREF(20): ISTREF(K) = K faixa K é única;  
ISTREF(K) = J faixa K é igual à faixa J.  
XCB : posição longitudinal do centro de flutuação no sistema global.

#### 5. COMMON/DYNPRE/

PDR(6,40) : PDR(I,N) representa a parte real das pressões de radiação dinâmicas no ponto N da secção em movimento no modo I.  
PDI(6,40) : parte imaginária das pressões de radiação.

#### 6. COMMON/HYDCOF/

\* A11(6,6) : AKL(I,J) representa a matriz dos coeficientes de massa adicionada  $a_{ij}^{(k,\ell)}$ .

A12(6,6)

A21(6,6)

A22(6,6)

B11(6,6) : BKL(I,J) representa a matriz dos coeficientes de amortecimento  $b_{ij}^{(k,\ell)}$ .

B12(6,6)

B21(6,6)

B22(6,6)

#### 7. COMMON/EXFCOF/

FFKRE(2,6) : parte real das forças de Froude-Kriloff emparelhadas  $F_{Ii}^{(e)}$ .

FFKIE(2,6) : parte imaginária das forças de Froude-Kriloff emparelhadas  $F_{Ii}^{(e)}$ .

FFKRO(2,6) : parte real das forças de Froude-Kriloff de sentidos opostos  $F_{Ii}^{(o)}$ .

FFKIO(2,6) : parte imaginária das forças de Froude-Kriloff de sentidos opostos  $F_{Ii}^{(o)}$ .

FDRE(2,6) : parte real das forças de difração emparelhadas  $F_{Di}^{(e)}$ .

FDIE(2,6) : parte imaginária das forças de difração emparelhadas  $F_{Di}^{(e)}$ .

FDR0(2,6) : parte real das forças de difração de sentidos opostos  $F_{Di}^{(o)}$ .

\* Para  $K \neq \ell$  esses coeficientes são conhecidos usualmente por coeficientes de interação hidrodinâmica.

FDIO(2,6) : parte imaginária das forças de difração de senti-  
dos opostos  $F_{Di}^{(0)}$ .

8. COMMON/WAVDAT/

NWN : número de comprimentos de onda a serem processados.

WN : números de ondas adimensionalizados.

\*DEPTH: 0 águas profundas;

1 profundidade finita.

H : altura da coluna d'água.

BETA : ângulo de incidência.

\*\*FN : número de Froude.

9. COMMON/CYLMOV/

CYLCOD : códigos para os movimentos dos cilindros 1 e 2:

CYLCOD(K) = 0 cilindro em movimento livre;

CYLCOD(1) = CYLCOD (2) = 2 cilindros rigidamente  
conectados.

ISUBM : 0 cilindros parcialmente submersos;

1 cilindros submersos.

METH : 0 cilindros com movimentos em oposição;

1 cilindros rigidamente conectados.

10. COMMON/FREQUIN/

BLOG(56,56) : matriz CTI da parte independente da frequên-  
cia dos coeficientes gerados pela sub-rotina  
FINV4.

---

\* Na presente versão somente é possível o cálculo para águas profundas.  
\*\* Os cálculos são efetuados na presente versão somente para número de Froude de zero.

- YLOG(56,56) : parte independente da frequência da matriz do lado direito do sistema de equações algébricas.
- CSE(40) : cossenos dos ângulos de inclinação de todos segmentos.
- SNE(40) : senos dos ângulos de inclinação de todos segmentos.

#### VII.4 DESCRIÇÃO DAS ENTRADAS

Cartão A : FORMAT(I2,3X,3F10.0).

- NOSS : número total de faixas.
- CL : comprimento característico.
- XCB : posição longitudinal do centro de flutuação no sistema global.
- TVOL : volume deslocado.

Cartão B : FORMAT(5(I2,3X),F10.0).

- LUCK : 0 se todos os comprimentos de onda são fornecidos;  
1 se os comprimentos de onda serão calculados com base nos extremos. Os valores intermediários são obtidos por interpolação logarítmica.
- MLOAD : 0 cilindros com movimentos em oposição;  
1 cilindros rigidamente conectados.
- IDUMP : 0 impressão apenas de entradas e resultados finais;  
1 imprime resultados intermediários;  
≥ 2 testes adicionais.

ISUBM : 0 cilindros parcialmente submersos;  
1 cilindros totalmente submersos.  
IDEPH : 0 águas profundas;  
1 profundidade finita (não é utilizada nesta versão).  
H : altura da coluna d'água.

Cartão C : FORMAT(3X,I2,3X,I2,5(F10.0)).

NLAM : número de comprimentos de ondas. Número máximo é 20.  
NBETA : número de ângulos de incidência. Número máximo é 5.  
HDG(I) : ângulos de incidência. Verificar definição na Figura III.1.

Cartão D : FORMAT(2F10.0, 3X,I2)

OMIN : menor valor de  $\omega \sqrt{CL/G}$ .  
OMAX : maior valor de  $\omega \sqrt{CL/G}$ .  
NFR : número de frequências necessárias para o cálculo de massa adicionada e de amortecimento. Número máximo é 20.

Cartão tipo E: FORMAT(8F10.0).

BAM(I) : valores de  $\lambda/CL$  onde  $\lambda$  é o comprimento da onda e  $CL$  é o comprimento característico. Se LUCK=1 os dois primeiros valores de BAM(I) correspondem à menor e maior frequência respectivamente.

Cartão tipo F : FORMAT(3X,I2, 2F10.0).

ISTREF(K) : se = K faixa K é única;

se = J faixa K é igual à faixa J.

DS(K) : comprimento da faixa.

ST(K) : posição longitudinal da faixa, relativamente ao cen  
tro de gravidade.

Cartão tipo G : FORMAT(3(3X,I2)).

NHULL(K) : número de cascos da secção K (1 ou 2).

NP(K,1) : NP1 - número de pontos definidores do cilindro nº 1  
(bombordo). Número máximo é 15.

NP(K,2) : NP2 - número de pontos definidores do cilindro nº 2  
(boreste).

Cartão tipo H : FORMAT(6F10.0).

YC(K,1),YC(K,2) : YC1, YC2 - distâncias horizontais, para cada  
cilindro, do sistema local de coordenadas à o-  
rigem.

ZC(K,1),ZC(K,2) : ZC1, ZC2 - distâncias verticais, para cada ci  
lindro, do sistema local de coordenadas à ori  
gem.

T(K,1), T(K,2) : T1, T2 - calados dos cilindros.

Cartão tipo Y : FORMAT(8F10.0).

YP(K,1,N) : meia boca dos pontos N, definidores da secção K  
do cilindro nº 1, no sistema local de coordenaa

das.

Cartão tipo Z: FORMAT (8F10.0).

$ZP(K,1,N)$  : cotas verticais dos pontos N, definidores da seção K do cilindro nº 1, no sistema local de coordenadas.

Os cartões tipo Y e Z devem ser repetidos no caso de  $NHULL = 2$ . A numeração dos pontos deve ser feita como está indicado na Fig.VII.1, no final deste capítulo. Se o cilindro está apenas parcialmente submerso, o primeiro e o último ponto para cada cilindro deve estar na linha d'água.

#### VII.5 DESCRIÇÃO DAS SAÍDAS

Excetuando-se resultados intermediários para testes, a saída do programa NVPONT consiste em:

##### 1. Dados de entrada e parâmetros geométricos.

N : número do segmento de reta.

(AKSI,ETA): coordenadas do ponto inicial do segmento.

(YI,ZI) : coordenadas do ponto médio do segmento.

DS : comprimento do segmento.

$EN(2,N)$  : componente horizontal do vetor unitário normal (positivo para dentro do casco).

$EN(3,N)$  : componente vertical do vetor unitário normal.

As coordenadas são definidas no sistema global de coordenadas.

Para cada comprimento de onda, os seguintes resultados são

fornecidos:

2. Pressões de radiação adimensionalizadas pelo fator  $\rho g \alpha$  ( $\alpha =$  amplitude de onda), apresentadas para o ponto médio de cada segmento para todos modos de movimento.

$$PDR(k, I) = \text{Re} \{ P_{Ri}^{(k)}(y_m, z_m) \}$$

$$PDI(k, I) = I_m \{ P_{Ri}^{(k)}(y_m, z_m) \}$$

$$m = 1, \dots, NS1 + NS2$$

$$i = 2, 3, 4$$

$$k = 1, 2$$

NS1 = número de segmentos no casco 1

NS2 = número de segmentos no casco 2

3. Coeficientes de massa adicionada e de amortecimento adimensionalizados pelos fatores  $L = CL$  e  $A$ , respectivamente comprimento característico e área seccional total. Os fatores de adimensionalização para cada coeficiente são apresentados na Tabela VII.1

Tabela VII.1 Fatores de adimensionalização para os coeficientes de massa adicionada e de amortecimento

		$a_{ij}$		$b_{ij}$	
		1,2,3	4,5,6	1,2,3	4,5,6
i	j				
1,2,3		$\rho g A$	$\rho g AL$	$\rho g A \sqrt{g/L}$	$\rho g AL \sqrt{g/L}$
4,5,6		$\rho g A$	$\rho g AL^2$	$\rho g AL \sqrt{g/L}$	$\rho g AL^2 \sqrt{g/L}$



Para  $i \neq 2, 3$  e 4 os resultados são nulos. Quando  $k \neq l$ ,  $a_{ij}$  e  $b_{ij}$  representam os coeficientes de interação.

4. Coeficientes das forças de excitação adimensionalizados pelos fatores  $\rho g A \alpha / L$  (forças) e  $\rho g A \alpha$  (momentos).

As forças são divididas em:

FFKRE : Froude-Kriloff, real, emparelhada.

FFKIE : Froude-Kriloff, imaginária, emparelhada.

FFKRO : Froude-Kriloff, real, oposta.

FFKIO : Froude-Kriloff, imaginária, oposta.

FFKR : Froude-Kriloff, real, total.

FFKI : Froude-Kriloff, imaginária, total.

FDRE : Difração, real, emparelhada.

FDIE : Difração, imaginária, emparelhada.

FDRO : Difração, real, oposta.

FDIO : Difração, imaginária, oposta.

FDR : Difração, real, total.

FDO : Difração, imaginária, total.

FRE : Total, real, emparelhada.

FIE : Total, imaginária, emparelhada.

FRO : Total, real, oposta.

FIO : Total, imaginária, oposta.

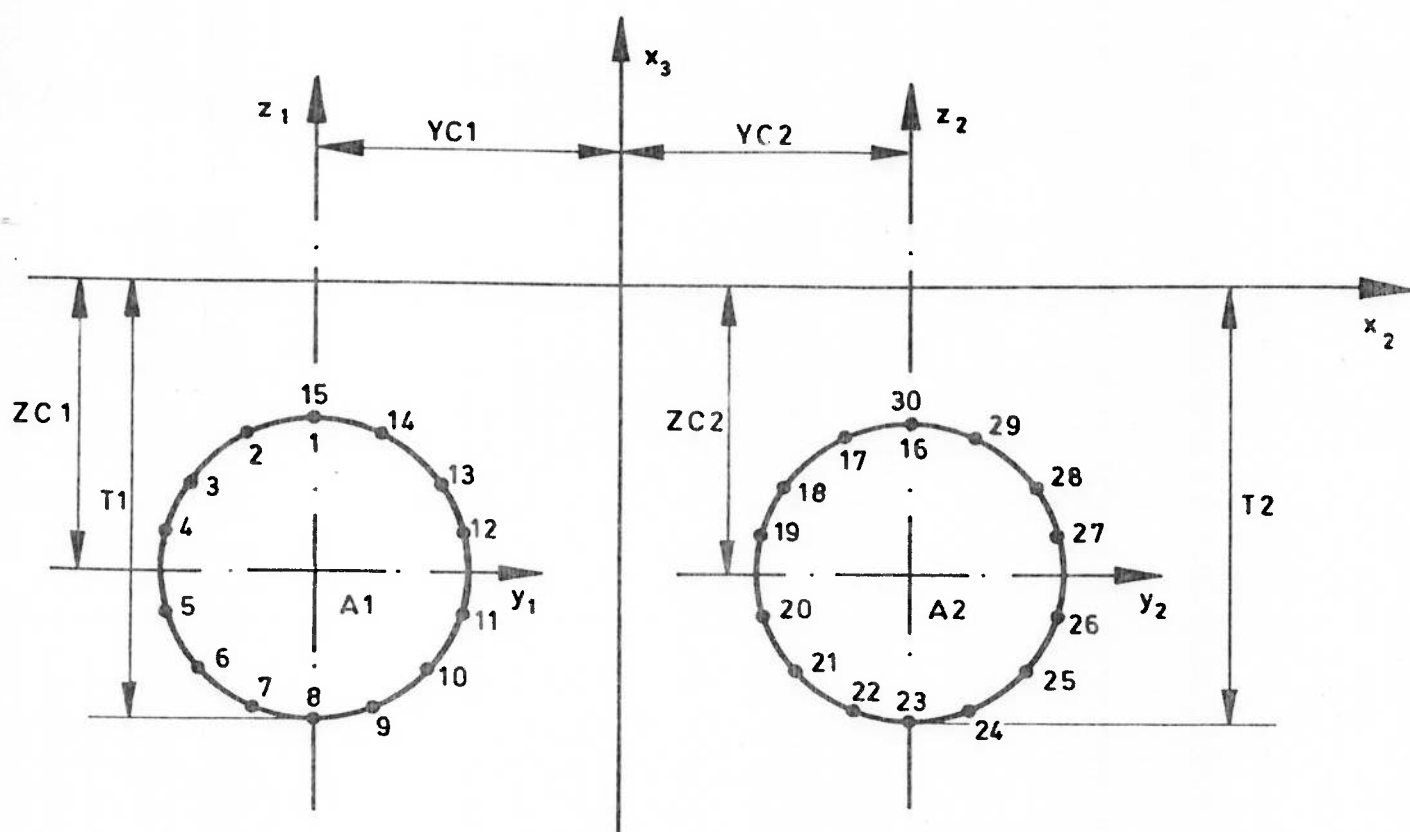


FIG. VII.2 - DESCRIÇÃO DA SEQUÊNCIA DOS PONTOS DE DEFINIÇÃO DOS CILINDROS

## CAPÍTULO VIII

## TESTES DE APLICAÇÃO E ANÁLISE DE RESULTADOS

## VIII.1 RESULTADOS E COMPARAÇÕES

Os resultados aqui apresentados foram comparados aos obtidos durante o projeto de pesquisa levado a efeito na Research Division da Det Norske Veritas, em Oslo, durante os meses de janeiro a março de 1981, sob a supervisão dos engenheiros Jan Mathisen e Ragnvald Børresen.

O objetivo deste capítulo é apresentar alguns testes do programa NVPONT, descrito no capítulo anterior, e compará-los aos resultados dos programas NV407 e NV459 da Det Norske Veritas. Os programas citados foram amplamente testados e a confiabilidade e precisão dos mesmos foram estabelecidas por exaustivas comparações com dados experimentais, que podem ser especialmente verificadas nas referências |19|, |23| e |64|.

O programa NV407, apresentado nas referências |16| e |54| emprega a teoria bidimensional de faixas de Nordestrøm, Faltinsen e Pedersen |70|. Já o programa NV459 é baseado na teoria tridimensional de fontes e sorvedouros da referência |23|. Deve-se ter em conta na análise de seus resultados as limitações da teoria potencial linear.

O programa NVPONT foi testado em quatro configurações diferentes e os resultados são apresentados no Apêndice AIII. As notações "NVPONT(HASKIND)" e "NVPONT (OGILVIE)" significam forças obtidas pela relação de Haskind-Newman e pelo método de Ogilvie respectivamente, enquanto "NV459" indica coeficientes totais obtidos a partir da teoria tridimensional do programa NV459.

Os testes efetuados são os seguintes:

A) dois cilindros submersos rigidamente conectados

A configuração está mostrada na Fig.VIII.1. As forças hidrodinâmicas nos cilindros foram calculadas para mares de travês ( $\beta = 90^\circ$ ), e os resultados comparados aqueles obtidos pelo programa NV407.

Este teste foi efetuado meramente com o intuito de verificar-se a existência de erros de programação nos processos numéricos envolvidos.

Os coeficientes de massa adicionada e de amortecimento são apresentados nas figuras A.1 a A.6, e os coeficientes das forças de excitação nas figuras A.7 a A.9.

Os resultados mostraram-se bastante próximos, o que já era esperado, pois os dois programas utilizam a mesma teoria bidimensional de faixas.

B) dois cilindros semicirculares, rigidamente unidos e parcialmente submersos

O arranjo é o da Fig.VIII.2. Os cálculos foram efetuados para mares de travês. Foram utilizados três processos de cálculos:

- I) Potenciais de corpos rígidos;
- II) Método de Mathisen e Carlsen;

## III) Método de Ogilvie.

Os resultados estão nas figuras B.1 a B.4. Observa-se da Fig.B.4 os resultados idênticos dos métodos de Mathisen & Carlsen e de Ogilvie, o que não representa nenhuma surpresa. A única diferença entre os potenciais  $\phi'_{Ri}$  e  $\phi''_{Ri}$  advém das condições de contorno nos cascos  $S_1$  e  $S_2$ . Devido à linearidade do problema pode-se separar o movimento em oposição de Ogilvie em dois problemas, onde um dos cilindros é fixado, e recair-se assim no método de Mathisen & Carlsen. Qual método escolher é uma questão de preferência, mas no método de Ogilvie, entretanto, obtêm-se as forças de sentidos opostos diretamente, sem a necessidade de combinação de forças conforme foi visto no Capítulo IV.

C) dois cilindros retangulares, rigidamente unidos e parcialmente submersos ( $L/B = 4.0$ ,  $B/T = 4.1$ ,  $S/B = 1.2$ )

Os modelos bidimensional e tridimensional estão apresentados respectivamente nas figuras VIII.3 e VIII.4

Os cálculos foram efetuados para mar de travês e para um ângulo de incidência  $\beta = 60^\circ$ , e os resultados foram comparados aos do programa NV459.

Nas figuras de nºs C.1 a C.4 os coeficientes de massa adicionada e de amortecimento mostraram-se próximos para movimentos de deriva e balanço em toda a faixa de comprimento de onda considerada ( $0.5 \leq \lambda/L \leq 8.0$ ).

Os coeficientes para o movimento de arfagem exibem um comportamento típico de ressonância no intervalo  $0.9 \leq \lambda/L \leq 1.6$ . Este movimento mostrou-se levemente amortecido (Fig.C.4) e, neste caso, a frequência adimensional de ressonância pode ser calculada por [71] :

$$\omega_0 \sqrt{L/g} = \left[ \frac{L}{T(1 + a_{33}/M)} \right]^{1/2} \approx 2.34 , \quad (\text{VIII.1})$$

com  $a_{33}/M = 2$ . Isso corresponde a um número de onda  $\frac{\omega_0^2}{g} L \cong 5.48$  e a um comprimento de onda  $\lambda/L = 1.15$ .

As figuras C.5 a C.7 contem os coeficientes das forças de excitação generalizadas (amplitudes) para movimentos de deriva, arfagem e balanço em ondas de travês. Em C.8 e C.9 apresenta-se os coeficientes das forças de excitação de sentidos opostos, nas direções horizontal e vertical e também para mar de travês. Os resultados correspondentes para o ângulo de incidência de  $60^\circ$  estão nas figuras C.10 a C.13.

As discrepâncias entre os resultados dos programas NVPONT e NV459 podem, em geral, ser explicadas como provenientes de duas fontes:

- (i) Efeitos tridimensionais devidos às ondas (geradas ou espalhadas) propagando-se na direção  $x_1$ . Estes efeitos reduzirão os picos de ressonância provenientes de ondas geradas entre os dois pontões. Essa redução é devida ao "espalhamento" da energia no caso tridimensional. Na teoria bidimensional a fluido é "aprisionado" entre os pontões.
- (ii) Imprecisões nos modelos para cálculo. O número de segmentos (ou elementos) não é suficiente tanto na análise bidimensional (NVPONT) quanto no modelo tridimensional (NV459). Os efeitos serão mais pronunciados em alta frequências, onde as pressões dinâmicas oscilam mais rapidamente ao longo dos segmentos (elementos).

Na Figura C.12, para forças de sentidos opostos de deriva, verifica-se um pico de ressonância próximo à frequência de ressonância para o movimento de arfagem ( $\frac{\omega_0^2}{g} L \cong 5.0$ ), em ambas as teorias. Os picos não coincidem na mesma frequência devido às razões mencionadas na discussão precedente, e uma investigação mais detalhada seria necessária para detectar o com

portamento em frequências próximas à de ressonância.

De início pode parecer uma coincidência o fato de que as forças de deriva de sentidos opostos apresentam uma frequência de ressonância próxima às forças de arfagem emparelhadas. O exemplo seguinte, entretanto, confirma este comportamento.

D) dois cilindros retangulares, rigidamente unidos e parcialmente submersos ( $\underline{L/B} = \underline{6.7}$ ;  $\underline{B/T} = \underline{1.65}$ ,  $\underline{S/B} = \underline{2.0}$ )

A configuração está apresentada na Fig.VIII.5, os resultados para massa adicionada e amortecimento nas figuras D.1 a D.6, e as forças de excitação emparelhadas e de sentidos opostos encontram-se nas figuras D.7 a D.11.

A partir desses resultados observa-se o comportamento de ressonância nas forças emparelhadas de arfagem (Fig. D.8), na frequência do movimento de arfagem. Essa frequência é calculada aqui por:

$$\omega_0 \sqrt{L/g} = \left[ \frac{L}{T(1+a_{33}/M)} \right]^{1/2} \cong 2.35, \quad (\text{VIII.2})$$

com  $a_{33}/M = 1.0$ , correspondendo a um número de onda  $\omega_0^2 \frac{L}{g} \cong 5.5$  e um comprimento de onda  $\lambda/L \cong 1.14$ . A precisão dos resultados próximos a esta frequência dependerá da extensão da malha utilizada nos métodos numéricos. Ambos os modelos, 2D e 3D, são muito simples para uma análise segura nesta região.

As forças de excitação de deriva (Fig.D.10) atingem o máximo na frequência de ressonância de arfagem, o que confirma os resultados do exemplo anterior.

Outro fenômeno de ressonância ocorre neste caso devido à onda estabelecida entre os pontões. Para essa tem-se o seguinte comprimento de on

da:

$$\lambda/L = 2 * S_p/L, \quad (\text{VIII.3})$$

onde  $S_p$  é a distância entre as faces internas dos dois pontões. Reescrevendo-se  $\lambda/L$  em função dos parâmetros adimensionais dados, tem-se:

$$\lambda/L = 2(2S - B)/L = 2B/L(2S/B - 1) \cong 0.9, \quad (\text{VIII.4})$$

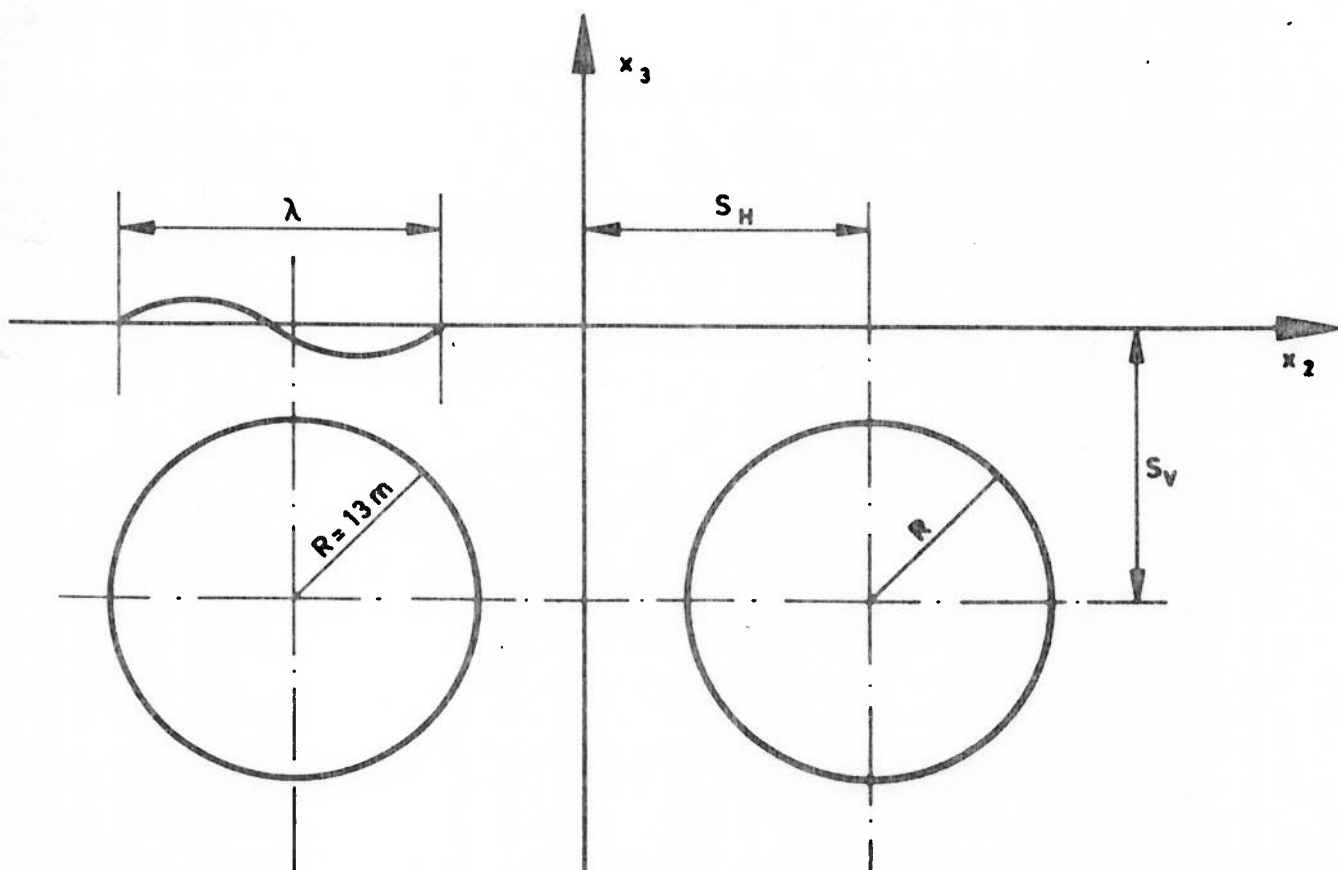
correspondendo ao número de onda  $\frac{\omega^2}{g} L \cong 7.0$

Para o movimento do corpo rígido isso traz consequências para os coeficientes de massa adicionada e de amortecimento em deriva e balanço, assim como para as forças excitantes emparelhadas de deriva e para o momento de balanço.

É notável ainda o fato de que as forças de sentidos opostos de arfagem exibam um comportamento de ressonância próximo à frequência correspondente do movimento de deriva, o que é uma indicação forte da reciprocidade de efeitos entre as frequências de ressonância das forças emparelhadas e de sentidos opostos. Em resumo:

- Forças de sentidos opostos de *deriva* possuem frequência de ressonância igual à do movimento de *arfagem* de um corpo rígido.
- Forças de sentidos opostos de *arfagem* possuem frequência de ressonância igual a do movimento de *deriva*.





$$\frac{S_H}{R} = 1.5$$

$$\frac{S_V}{R} = 1.5$$

$$L = 150\text{ m}$$

FIG. VIII.1 CONFIGURAÇÃO A

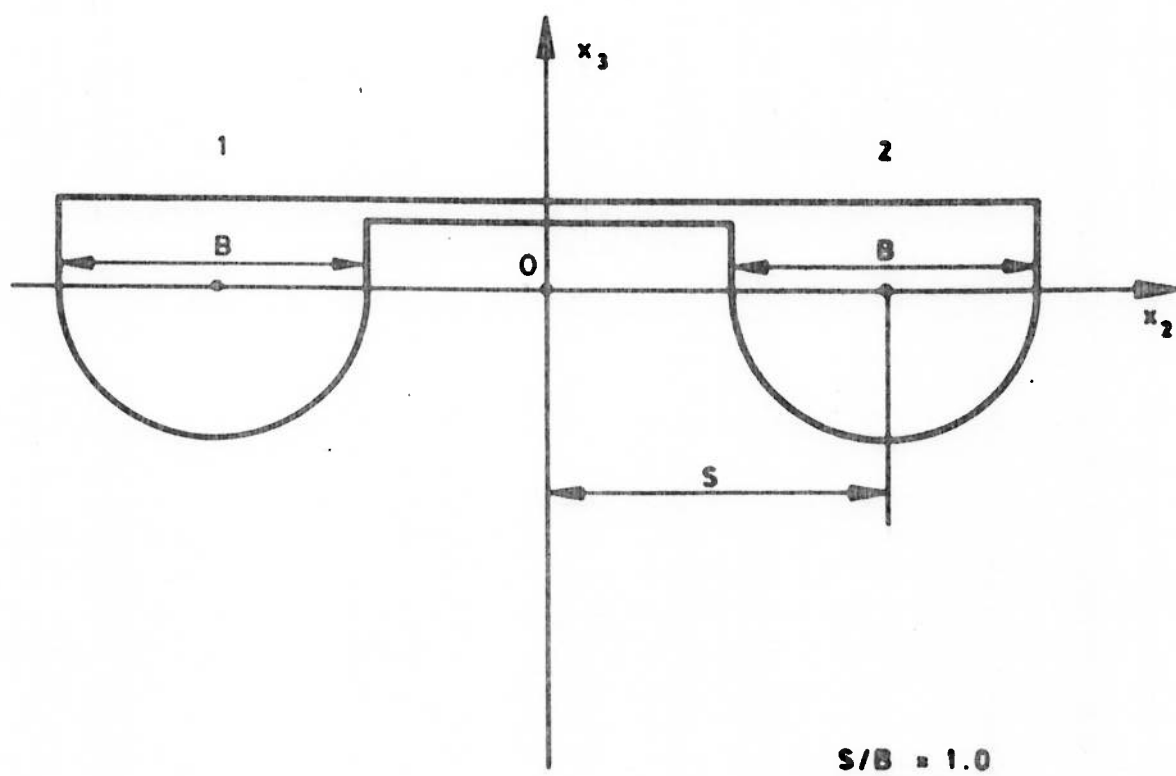
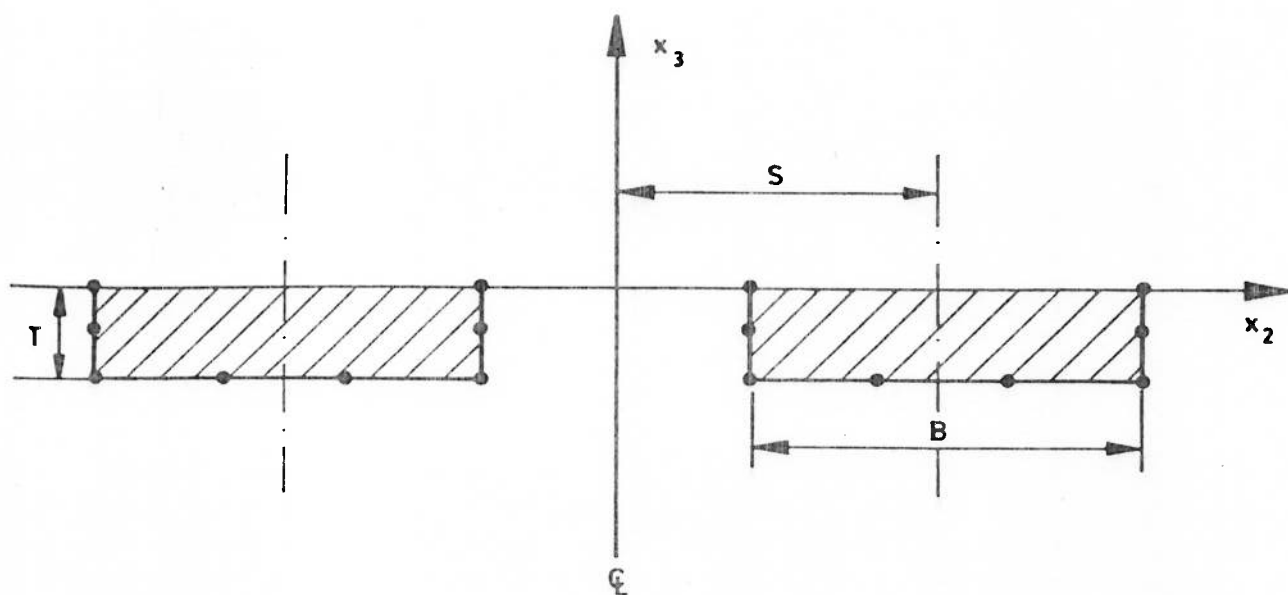


FIG. VIII. 2 CONFIGURAÇÃO B

## NV459 MODELO I (CAMEL)



$$\begin{aligned} S/B &= 1.2 \\ B/T &= 4.1 \\ L/B &= 4.0 \\ L &= 100.0 \text{ m} \end{aligned}$$

FIG. VIII.3 CONFIGURAÇÃO C

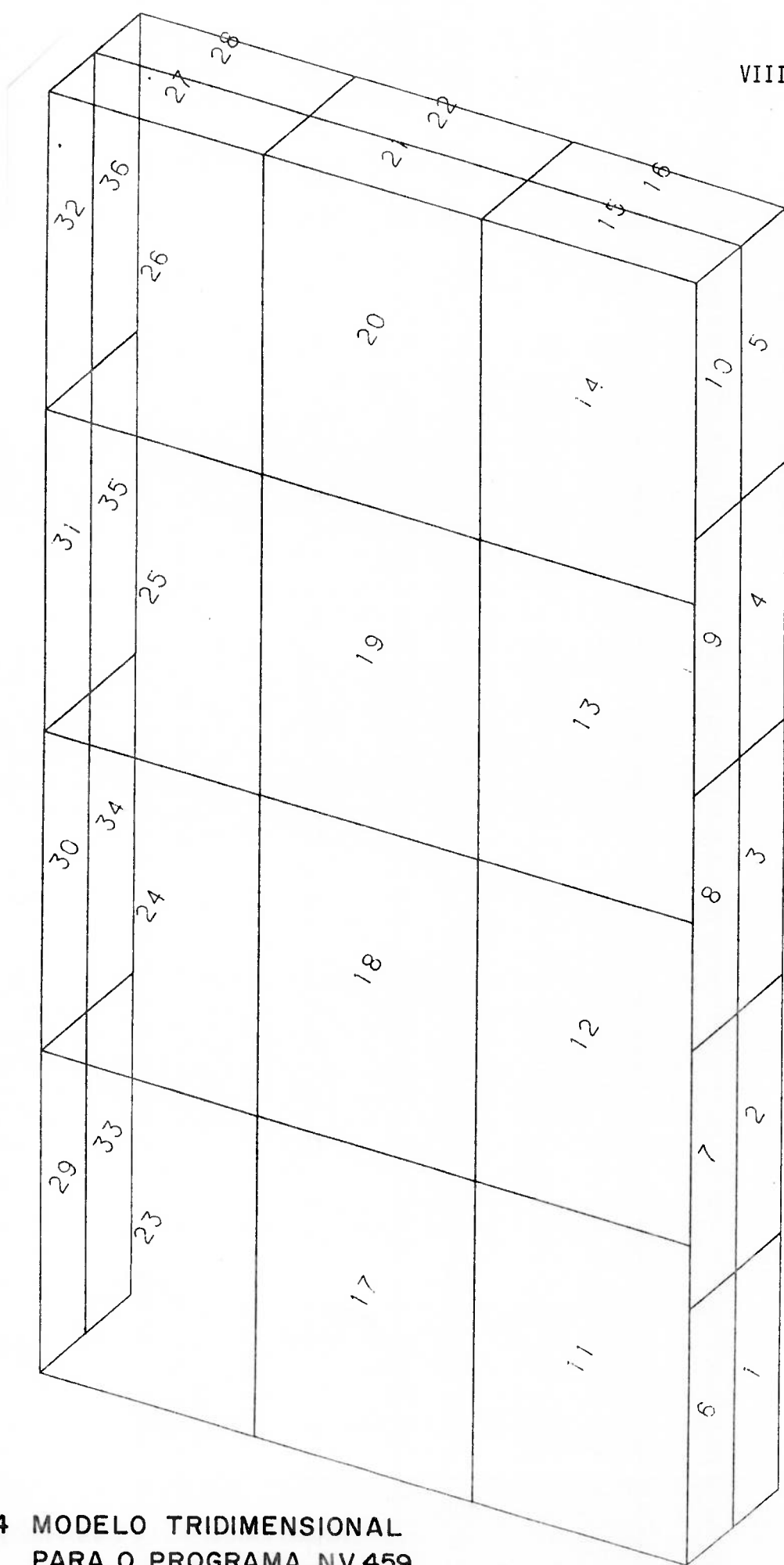


FIG. VIII.4 MODELO TRIDIMENSIONAL  
PARA O PROGRAMA NV 459  
DA CONFIGURAÇÃO C

## NV459 MODELO II (MSV)

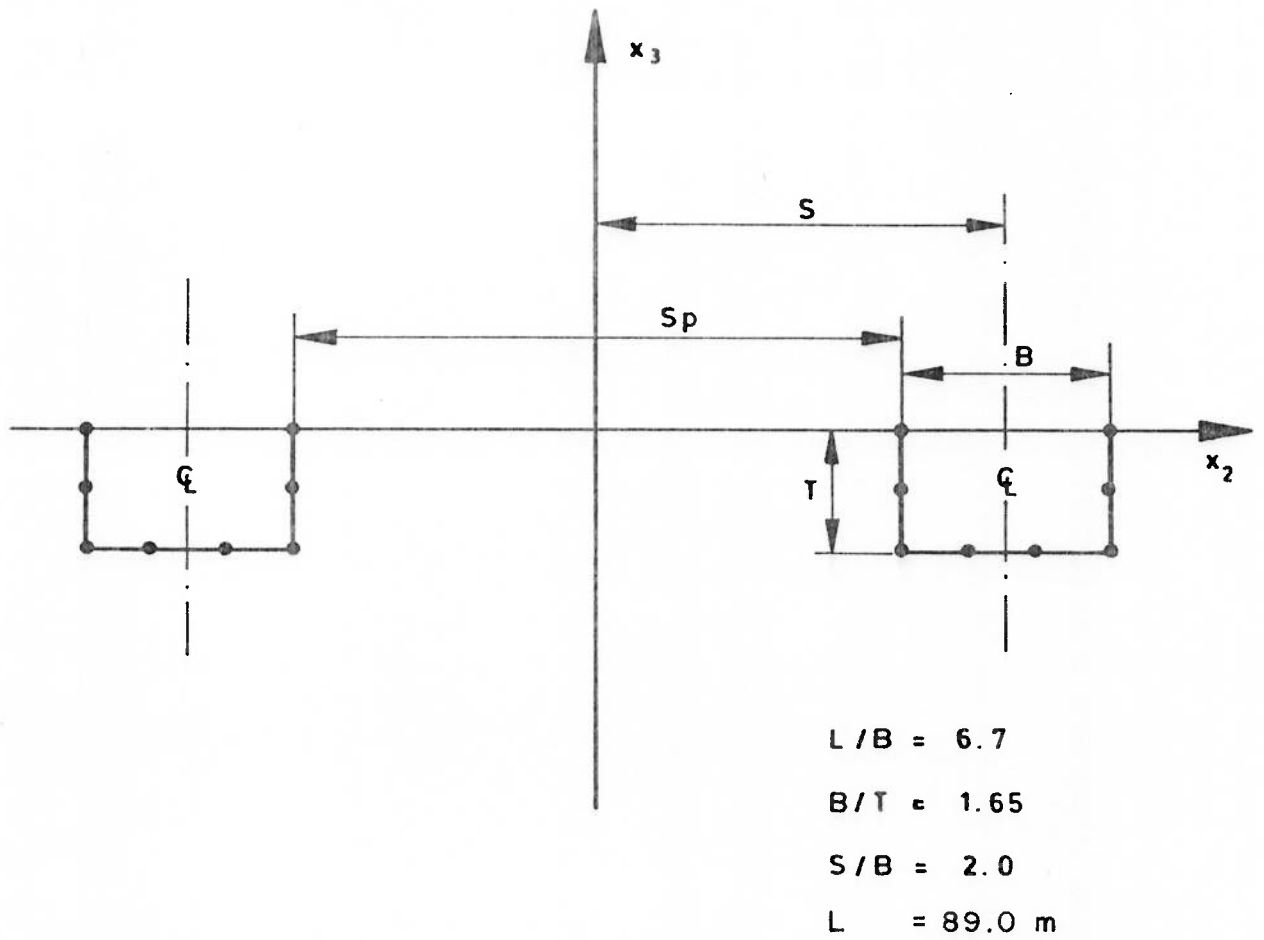


FIG. VIII.5 CONFIGURAÇÃO D

## CAPÍTULO IX

## CONSIDERAÇÕES FINAIS

## IX.1 CONCLUSÕES

No capítulo anterior foram apresentados alguns testes do programa NVPONT, que calcula as forças hidrodinâmicas seccionais em estruturas constituídas de dois pontões cilíndricos, de eixos paralelos, parcialmente submersos e sob a ação de ondas senoidais.

Os resultados foram comparados aos dos programas NV407 e NV459, da Det Norske Veritas (DNV), que empregam respectivamente as teorias bidimensional (2D) e tridimensional (3D). Estes dois últimos programas foram exaustivamente testados pela DNV, e comparações com dados experimentais podem ser verificadas nas referências mencionadas anteriormente.

Pretende-se destacar aqui as conclusões mais importantes obtidas com os testes efetuados, apresentando-se, em seguida, sugestões para o prosseguimento desta investigação:

1. Face a boa concordância entre os resultados dos programas NVPONT e NV407, a confiabilidade nas alterações e adaptações nos processos numéricos envolvidos no programa NVPONT está assegurada. Os resultados, entretanto, devem ser interpreta-

dos tendo em vista as limitações da teoria potencial linear.

2. Resultados computacionais e teóricos comprovam a equivalência dos métodos de Mathisen & Carlsen e o de Ogilvie, para obtenção das forças de difração em apenas um dos pontões. Verificou-se que a única diferença entre os potenciais adicionais, requeridos em ambos os métodos, advém das condições de contorno nos cascos de cada um dos cilindros. A linearidade do problema, entretanto, permite decompor-se o movimento em oposição de Ogilvie e recair-se no método de Mathisen & Carlsen. No programa NVPONT foi adotado o método de Ogilvie, considerando-se a simplificação deste de não exigir novo processamento e posterior combinação das forças, conforme explicitado na apresentação do método.
3. Comparados a valores da teoria tridimensional, os resultados obtidos revelaram boa concordância no domínio de baixa frequência, onde as forças de flutuação predominam. No intervalo médio,  $0.75 \leq \lambda/L \leq 2.0$ , as correlações foram, em geral, aceitáveis, apesar dos modelos simplificados utilizados nas comparações.
4. Na região de frequências altas ( $\lambda > 0.75L$ ), ocorre uma relativa dispersão dos resultados, decorrente de efeitos tridimensionais e simplificações excessivas na modelagem.
5. Próximo das frequências de ressonância, por outro lado, há uma grande dispersão, o que mostra a necessidade prática de prever-se essas frequências e escolher-se uma subdivisão fina nesta região. Os diversos fenômenos de ressonância podem ser de natureza física (ressonância do movimento de arfagem,

ondas estabelecidas entre os pontões) ou devidas ao método de cálculo (frequências irregulares). Para secções retangulares torna-se fácil calcular teoricamente essas frequências. O mesmo não ocorre, entretanto, com secções de formas especiais.

## IX.2 SUGESTÕES PARA TRABALHOS FUTUROS

Foram salientados no tópico precedente as conclusões decorrentes exclusivamente dos resultados computacionais obtidos, em face dos métodos de cálculo adotados.

Seria prudente, porém, proceder-se a investigações mais detalhadas de análise desses métodos.

Para tanto sugere-se os seguintes procedimentos:

1. Comparação sistemática dos métodos de Frank e Potash, para o cálculo dos potenciais bidimensionais de radiação;
2. Análise da ocorrência de frequências irregulares para diversas secções. Estudo do comportamento dessas frequências para diferentes valores de intensidades de fontes e vórtices na função modificada de Green;
3. Estudo teórico da reciprocidade verificada entre as frequências de ressonância das forças emparelhadas e de sentidos opostos.
4. Análise da influência sobre os resultados do número de segmentos de discretização do contorno da secção.
5. Comparação com resultados experimentais disponíveis, visando



do-se avaliar a teoria para aplicações práticas e determinar-se suas limitações.

Outras sugestões são apresentadas a seguir, tendo em vista o a profundamento da pesquisa em alguns tópicos:

6. O problema da distribuição da força de difração no contorno da secção não é justificado teoricamente, conforme verificou-se no capítulo IV. Sugere-se a introdução de um novo sub programa no programa NVPONT, para a solução direta do potencial de difração para mares de través. O procedimento teóri-co foi apresentado brevemente no capítulo IV. Para outros ângulos de incidência, entretanto, outros métodos devem ser utilizados;
7. Desenvolvimento dos recursos do programa NVPONT para o estudo do comportamento de dois pontões flutuando livremente, ou com um dos cilindros fixo. Tal estudo seria de interesse prático para a verificação de resultados, a partir do equaciona-mento apresentado nos capítulos II e III, para estruturas flutuantes próximas. O programa já se encontra parcialmente estruturado nesse sentido;
8. Introdução de modificações no programa NVPONT, necessárias para incluir-se efeitos de profundidade finita. Em princípio hã três diferentes modificações a serem feitas:
  - O potencial de onda incidente  $\phi_I$  deve ser modificado. A derivada normal deste potencial, calculada na sub-rotina NDWAVE, deve ser então recalculada;
  - A relação de dispersão da sub-rotina DISPRE deve ser alte-rada;

- Por último, haverá diferenças na parte dependente da frequência da função de Green, calculada na sub-rotina KERN3;
9. Estudo da influência da introdução da velocidade de avanço nas condições de contorno;
  10. Extensão do escopo do programa NVPONT, abrangendo a formulação de Potash para potenciais de segunda ordem. A contribuição desses potenciais para determinadas faixas de frequência e para movimentos de deriva e balanço revelou-se significativa em seu estudo original.

A análise do comportamento no mar de plataformas semi-submersíveis requer ainda, entre outros procedimentos, os seguintes:

- influência da ação das colunas verticais;
- avaliação dos esforços devidos à ação de amarras;
- cálculo de esforços em elementos pequenos;
- solução das equações do movimento;
- determinação dos esforços solicitantes;
- análise em mar irregular.

Com este trabalho introdutório espera-se ter contribuído para o entendimento deste complexo problema, atingindo assim os objetivos estabelecidos inicialmente para a pesquisa.

## APÊNDICE A. I

FUNDAMENTOS TEÓRICOS DE UM ESCOAMENTO POTENCIAL  
 - CORPO RÍGIDO SOB A AÇÃO DE ONDAS INFINITESIMAIS -

## A. I. 1 EQUAÇÕES BÁSICAS DO MOVIMENTO DO FLUIDO

Para desenvolver-se uma representação analítica do escoamento de um fluido é necessário primeiramente descrever-se as propriedades do escoamento, especialmente o campo de velocidades, as leis físicas que expressam a conservação da massa e da quantidade de movimento.

A água do mar será considerada como um fluido perfeito, ou seja, invíscido e além disso incompressível.

No sistema de coordenadas cartesianas  $Ox_1x_2x_3$ , as equações de Euler referem-se à conservação da quantidade de movimento. Em notação indicial tem-se:

$$\frac{\partial u_i}{\partial t} + u_j \frac{\partial u_i}{\partial x_j} = - \frac{1}{\rho} \frac{\partial p}{\partial x_i} + \frac{F_i}{\rho} \quad (\text{A. I. 1})$$

$i, j = 1, 2, 3.$

onde,

$u_i$  = componentes de velocidade da partícula que no instante  $t$  está em  $(x_1, x_2, x_3)$ .

$F_i$  = componentes das forças de campo referidas à unidade de volume.

$t$  = parâmetro tempo

$\rho$  = massa específica de fluido

$p$  = pressão efetiva no ponto  $(x_1, x_2, x_3)$

(diferença entre a pressão absoluta e a pressão atmosférica).

A equação da continuidade para fluido incompressível é, na forma indicial:

$$\frac{\partial u_i}{\partial x_i} = 0 \quad i = 1, 2, 3 \quad (\text{A.I.2})$$

ou  $\nabla \cdot \vec{V} = 0$

Com o emprego do teorema de Kelvin da conservação da circulação e do teorema de Stokes para um fluido ideal conclui-se que, se o escoamento de um fluido ideal é irrotacional em um instante  $t$  assim permanece, ou seja,

$$\nabla \times \vec{V} = 0 \quad (\text{A.I.3})$$

Dadas condições iniciais e condições de contorno compatíveis, é possível descrever-se o escoamento através das equações de Euler e da equação da continuidade.

#### A.I.2 ESCOAMENTO POTENCIAL. EQUAÇÕES DE BERNOULLI

O fato do escoamento ser irrotacional resulta em uma série de

simplificações, de grande interesse na teoria. A circulação nula assegura a existência de uma função *potencial de velocidade*  $\Phi(x_i; t)$ , unívoca, em uma *região simplesmente conexa*, da qual o campo de velocidades é obtido a través do gradiente:

$$\vec{V} = \text{grad } \Phi \quad (\text{A.I.4})$$

ou em termos das componentes de  $\vec{V}$ ,

$$u_i = \frac{\partial \Phi}{\partial x_i} \quad (\text{A.I.5})$$

O potencial de velocidade é reciprocamente definido pela integral de linha:

$$\Phi(x_i; t) = \int_C u_i dx_i \quad (\text{A.I.6})$$

Como o rotacional é zero, a expressão a ser integrada é uma diferencial exata. Introduzindo-se as componentes de velocidade dadas por (A.I.5) na equação da continuidade (A.I.2), chega-se à conclusão que a função potencial é solução de uma equação de Laplace:

$$\nabla^2 \Phi = 0 \quad (\text{A.I.7})$$

A função potencial é portanto harmônica, e isso é de grande utilidade pois o campo de velocidades deriva de uma função que satisfaz uma equação diferencial linear de 2ª ordem.

Outra consequência importante do caráter irrotacional do escoamento é a *equação de Bernoulli*, que advém da integração das equações de

Euler:

$$p + \rho g x_3 + \frac{\rho}{2} \nabla \Phi \cdot \nabla \Phi + \rho \frac{\partial \Phi}{\partial t} = C(t) \quad (\text{A.I.8})$$

onde  $C(t)$  pode depender de tempo, mas é constante em todo o domínio fluido.

A equação de Laplace juntamente com a equação de Bernoulli substituem as equações de Euler e a equação da continuidade, com o objetivo de determinar-se as componentes de velocidade  $u_i$  e a pressão  $p$ . De fato os valores de  $u_i$  são determinados pela equação de Laplace (A.I.7) e em seguida, da equação (A.I.8), obtêm-se as pressões. De início a pressão parece ser obtida adicionada de uma função que depende do tempo mas que, em cada instante, assume o mesmo valor em todo o domínio fluido. Do ponto de vista físico, é fácil notar que uma função do tempo adicionada à pressão  $p$  não tem nenhum efeito sobre o escoamento. Isso porque nenhum gradiente de pressão resulta da adição dessa parcela. Pode-se fazer então  $C(t) \equiv 0$  em (A.I.8) sem perda de generalidade.

### A.I.3 TEORIA DE ONDAS INFINITESIMAIS

A situação física que se apresenta é um domínio fluido, inicialmente em repouso, e que no instante  $t=0$  é submetido a uma perturbação na sua superfície. Deseja-se determinar matematicamente o movimento do fluido e em particular a forma da superfície livre.

Em sua forma exata, mesmo os mais simples problemas de ondas de superfície são difíceis de resolver. Desprezando-se os efeitos viscosos e sendo o escoamento irrotacional, o problema se reduz a encontrar-se soluções da equação de Laplace. Entretanto, o problema apresenta ainda condi

ções de contorno não lineares.

Com o objetivo de obter-se equações cuja utilização seja viável, será utilizado um procedimento de expansão das soluções em potências de um parâmetro  $\epsilon$ . Este método não está relacionado a hipóteses referentes à natureza do fluido, mas sim aos movimentos resultantes e as suas causas. O método será aplicado aqui de uma maneira formal, sem preocupações, por exemplo, quanto à convergência das séries de perturbação ou ao comportamento assintótico. Levi-Civita [60] e Struik [98] estudaram rigorosamente o problema de ondas infinitesimais e provaram a existência de uma solução periódica permanente.

Para aplicar este método uma solução particular deve ser conhecida e, além disso, é necessária a escolha de um parâmetro  $\epsilon$  que auxilie na solução do problema físico exato. Tal solução deve aproximar-se da solução exata, conhecida, quando  $\epsilon \rightarrow 0$ . Assume-se que todas as funções envolvidas no problema possam ser expandidas em séries de  $\epsilon$ , que são introduzidas nas equações e nas condições de contorno e, a seguir, agrupadas em potências de  $\epsilon$ . A solução inicial exata é usualmente o repouso ou o movimento uniforme.

Considere-se o potencial de velocidade  $\Phi$  e a função que define a elevação da superfície livre  $x_3 = \zeta(x_1, x_2; t)$ , expandidas em séries de potências de um parâmetro  $\epsilon$ :

$$\Phi = \epsilon \Phi^{(1)} + \epsilon^2 \Phi^{(2)} + \epsilon^3 \Phi^{(3)} + \dots \quad e \quad (A.I.9)$$

$$\begin{aligned} \zeta(x_1, x_2; t) = & \zeta^{(0)}(x_1, x_2; t) + \epsilon \zeta^{(1)}(x_1, x_2; t) + \\ & + \epsilon^2 \zeta^{(2)}(x_1, x_2; t) + \dots \end{aligned}$$

Verifica-se imediatamente que todas as funções  $\Phi^{(k)}(x_1, x_2, x_3; t)$

são soluções da equação de Laplace.

Seja  $F(x_1, x_2, x_3; t) = 0$  a equação de uma superfície  $S$  para cada instante  $t$  fixo. A condição cinemática que essa função deve satisfazer para que represente uma superfície de um sistema de partículas fluidas é que, em um dado instante  $t$ , estejam associadas a cada ponto da superfície partículas que tenham velocidade normal à superfície igual à velocidade normal da superfície a ela mesma. Isso implica necessariamente em:

$$\frac{DF}{Dt} = 0, \quad (\text{A.I.10})$$

conforme está demonstrado a seguir:

Seja  $U_n$  a componente de velocidade de um ponto  $P$  da superfície na direção normal a esta. Pela igualdade de velocidades,

$$U_n = \vec{V} \cdot \vec{n} = n_i u_i \quad i = 1, 2, 3 \quad (\text{A.I.11})$$

onde,

$\vec{V}$  é a velocidade de uma partícula da superfície que ocupa a mesma posição do ponto  $P$  no instante considerado.

$(n_1, n_2, n_3)$  são as componentes no vetor normal unitário.

O diferencial total da função  $F(x_1, x_2, x_3; t)$  pode ser escrito como:

$$dF = \frac{\partial F}{\partial x_1} dx_1 + \frac{\partial F}{\partial x_2} dx_2 + \frac{\partial F}{\partial x_3} dx_3 + \frac{\partial F}{\partial t} dt = 0 \quad (\text{A.I.12})$$

Na equação (A.I.12)  $dx_i$  são diferenciais em condições arbitrárias. Tomando-os na direção do arco elementar descrito pela partícula, têm-se:



$$dx_i = n_i U_n \delta t \quad i = 1,2,3 \quad (\text{A.I.13})$$

$$dt = \delta t$$

Substituindo-se em (A.I.12) resulta:

$$U_n \left( n_1 \frac{\partial F}{\partial x_1} + n_2 \frac{\partial F}{\partial x_2} + n_3 \frac{\partial F}{\partial x_3} \right) + \frac{\partial F}{\partial t} = 0 \quad (\text{A.I.14})$$

Os cossenos diretores da normal  $\tilde{n}$  superfície são expressos por:

$$n_i = \frac{1}{R} \frac{\partial F}{\partial x_i} \quad i = 1,2,3 \quad (\text{A.I.15})$$

onde

$$R = \left[ \left( \frac{\partial F}{\partial x_1} \right)^2 + \left( \frac{\partial F}{\partial x_2} \right)^2 + \left( \frac{\partial F}{\partial x_3} \right)^2 \right]^{1/2}$$

Introduzindo-se esses valores em (A.I.14) resulta:

$$U_n = \frac{-1}{R} \frac{\partial F}{\partial t} \quad (\text{A.I.16})$$

Com esse resultado e com os valores dos cossenos diretores em (A.I.11) têm-se finalmente:

$$\frac{\partial F}{\partial x_1} u_1 + \frac{\partial F}{\partial x_2} u_2 + \frac{\partial F}{\partial x_3} u_3 + \frac{\partial F}{\partial t} = 0 \quad (\text{A.I.17})$$

$$\text{ou simplesmente } \frac{DF}{Dt} = 0$$

Pode-se demonstrar que a recíproca é verdadeira.

Para um contorno fixo, isto é,  $\vec{V} \cdot \vec{n} = 0$ , têm-se as seguintes condições de contorno:

$$\frac{\partial \Phi}{\partial n} = V_n = 0 \quad \text{em } S \quad (\text{A. I. 18})$$

Um caso especial muito importante é quando  $S$  é a superfície livre de um líquido. Em tal superfície,

$$F(x_1, x_2, x_3; t) = x_3 - \zeta(x_1, x_2; t), \quad (\text{A. I. 19})$$

o que resulta na *condição de contorno cinemática*:

$$\Phi_{x_1} \zeta_{x_1} + \Phi_{x_2} \zeta_{x_2} - \Phi_{x_3} + \zeta_t = 0 \quad \text{em } S \quad (\text{A. I. 20})$$

onde

$$\Phi_{x_i} = \frac{\partial \Phi}{\partial x_i} \quad ; \quad \zeta_{x_i} = \frac{\partial \zeta}{\partial x_i} \quad \text{e} \quad \zeta_t = \frac{\partial \zeta}{\partial t}$$

Na superfície livre  $x_3 = \zeta(x_1, x_2; t)$ , na qual a pressão efetiva é zero, será feita a hipótese de igualdade de pressões em ambos os lados da superfície. A continuidade da pressão exclui a ocorrência de tensão superficial. Da equação de Bernoulli, segue a *condição de contorno dinâmica*:

$$gx_3 + \Phi_t + \frac{1}{2} (\Phi_{x_1}^2 + \Phi_{x_2}^2 + \Phi_{x_3}^2) = 0 \quad (\text{A. I. 21})$$

em  $x_3 = \zeta(x_1, x_2; t)$

onde

$$\Phi_t = \frac{\partial \Phi}{\partial t}$$

As condições de contorno cinemática e dinâmica serão agora rees-

critas, tendo-se em vista as séries de  $\Phi$  e  $\zeta$ , em potências de um parâmetro  $\epsilon$ .

$\epsilon = 0$  corresponde aqui ao líquido permanentemente em repouso. Neste caso, os contornos físicos devem também permanecer em repouso, isto é,  $\zeta^{(0)}$  não depende de  $t$ . Introduzindo-se (A.I.9) na condição acima e desenvolvendo-se  $\Phi_t$ ,  $\Phi_{x_1}$ , etc. sistematicamente em séries de potências de  $\epsilon$  resultam as seguintes condições dinâmicas:

$$\begin{aligned} \zeta^{(0)} &= 0 \\ g\zeta^{(1)} + \Phi_t^{(1)} &= 0 \\ &\text{(A. I. 22)} \\ g\zeta^{(2)} + \Phi_t^{(2)} + \frac{1}{2} [(\Phi_{x_1}^{(1)})^2 + (\Phi_{x_2}^{(1)})^2 + (\Phi_{x_3}^{(1)})^2] + \zeta^{(1)} \Phi_{tx_3}^{(1)} &= 0 \\ \dots \dots \dots \end{aligned}$$

a serem satisfeitas em  $x_3 = \zeta^{(0)}$ , desde que  $\zeta^{(0)} = 0$ , as condições (A. I. 22), coerentemente com as simplificações assumidas, devem ser aplicadas na posição média da superfície livre.

As condições cinemáticas derivam da aplicação da equação (A.I. 20) para a superfície livre.

$$\begin{aligned} \zeta_t^{(0)} &= 0 \\ \Phi_{x_1}^{(1)} \zeta_{x_1}^{(0)} + \Phi_{x_2}^{(1)} \zeta_{x_2}^{(0)} + \zeta_t^{(1)} &= \Phi_{x_3}^{(1)} \\ &\text{(A. I. 23)} \\ \Phi_{x_1}^{(2)} \zeta_{x_1}^{(0)} + \Phi_{x_2}^{(2)} \zeta_{x_2}^{(0)} + \zeta_t^{(2)} &= \Phi_{x_3}^{(2)} - \Phi_{x_1}^{(1)} \zeta_{x_1}^{(1)} - \Phi_{x_2}^{(1)} \zeta_{x_2}^{(1)} + \\ &\quad - \zeta^{(1)} (\Phi_{x_1 x_3}^{(1)} \zeta_{x_1}^{(0)} + \Phi_{x_2 x_3}^{(1)} \zeta_{x_2}^{(0)} - \Phi_{x_3 x_3}^{(1)}), \\ \dots \dots \dots \end{aligned}$$

que são também satisfeitas em  $x_3 = 0$ .

Sendo  $\zeta^{(0)} = 0$ , as condições dinâmicas podem ser colocadas na forma:

$$(a) \quad g\zeta^{(1)} + \Phi_t^{(1)} = 0$$

$$(b) \quad g\zeta^{(2)} + \Phi_t^{(2)} = -\frac{1}{2} [(\Phi_{x_1}^{(1)})^2 + (\Phi_{x_2}^{(1)})^2 + (\Phi_{x_3}^{(1)})^2] - \zeta^{(1)} \Phi_{tx_3}^{(1)},$$

(A.I.24)

.....

$$(c) \quad g\zeta^{(n)} + \Phi_t^{(n)} = H^{(n-1)},$$

onde o símbolo  $H^{(n-1)}$  se refere a uma certa combinação das funções  $\zeta^{(k)}$  e  $\Phi^{(k)}$ , com  $k \leq n-1$ , e todas as condições devem ser satisfeitas em  $x_3 = 0$ .

De maneira análoga, resultam as condições cinemáticas:

$$(a) \quad \zeta_t^{(1)} = \Phi_{x_3}^{(1)}$$

$$(b) \quad \zeta_t^{(2)} = \Phi_{x_3}^{(2)} - \Phi_{x_1}^{(1)} \zeta_{x_1}^{(1)} - \Phi_{x_2}^{(1)} \zeta_{x_2}^{(1)} + \Phi_{x_3}^{(1)} \zeta_{x_3}^{(1)},$$

(A.I.25)

.....

$$(c) \quad \zeta_t^{(n)} = \Phi_{x_3}^{(n)} + I^{(n-1)},$$

onde  $I^{(n-1)}$  depende das funções  $\zeta^{(k)}$  e  $\Phi^{(k)}$ , com  $k \leq n-1$ , e mais uma vez todas as condições devem ser satisfeitas em  $x_3 = 0$ .

As relações (A.I.24) e (A.I.25) fornecem, em princípio, meios para o cálculo sucessivo dos coeficientes das séries de  $\Phi^{(k)}$  e  $\zeta^{(k)}$ , tendo por hipótese que tais séries existem.

As condições (A.I.24.a) e (A.I.25.a), aplicadas na superfície livre, juntamente com apropriadas condições em outros contornos, e condições iniciais para  $t=0$ , permitem a determinação de soluções únicas,  $\zeta^{(1)}$  e  $\Phi^{(1)}$ , com o auxílio da equação de Laplace  $\nabla^2 \Phi^{(1)} = 0$ . Determinados  $\zeta^{(1)}$  e  $\Phi^{(1)}$ , estes podem ser introduzidos nas equações (A.I.24.b) e (A.I.25.b), para a determinação de  $\zeta^{(2)}$  e  $\Phi^{(2)}$ , e assim por diante.

Tendo em vista o grau de aproximação desejado, serão desprezados nas séries de perturbação os termos após  $\epsilon \Phi^{(1)}$  e  $\epsilon \zeta^{(1)}$ . Por razões de simplicidade será feito  $\Phi \equiv \epsilon \Phi^{(1)}$  e  $\zeta \equiv \epsilon \zeta^{(1)}$ .

As condições (A.I.24.a) e (A.I.25.a) podem ser reescritas então na forma:

$$g\zeta + \frac{\partial \Phi}{\partial t} = 0 \quad \text{em } x_3 = 0 \quad (\text{A.I.26})$$

$$\frac{\partial \zeta}{\partial t} - \frac{\partial \Phi}{\partial x_3} = 0$$

Eliminando-se  $\zeta$  das duas relações acima pode-se resumir as considerações anteriores em uma única expressão:

$$\frac{\partial^2 \Phi}{\partial t^2} + g \frac{\partial \Phi}{\partial x_3} = 0 \quad \text{em } x_3 = 0 \quad (\text{A.I.27})$$

Essa condição será utilizada para determinar-se  $\Phi$  a partir da equação de Laplace e, posteriormente, a elevação da superfície pode ser obtida por (A.I.26).

A hipótese básica adotada é de que a velocidade das partículas d'água e a elevação da superfície livre assim como suas derivadas são quantidades pequenas.

## A.I.4 CONDIÇÕES DE CONTORNO PARA UM CORPO RÍGIDO IMERSO

Considere-se um corpo rígido, com velocidade zero, flutuando em um fluido perfeito infinito, sob a ação de ondas infinitesimais. Atingidas as condições permanentes, assume-se que os movimentos resultantes são harmônicos e com a mesma frequência das ondas incidentes. Em águas calmas as coordenadas do centro de gravidade no sistema  $Ox_1x_2x_3$  são  $(x_{1c}^{(0)}, x_{2c}^{(0)}, x_{3c}^{(0)})$ . Quando o corpo se movimenta, a nova posição do centro de gravidade será, na forma expandida:

$$\begin{aligned}x_{1c}(t) &= x_{1c}^{(0)} + \epsilon x_{1c}^{(1)} + \epsilon^2 x_{1c}^{(2)} + \dots \\x_{2c}(t) &= x_{2c}^{(0)} + \epsilon x_{2c}^{(1)} + \epsilon^2 x_{2c}^{(2)} + \dots \\x_{3c}(t) &= x_{3c}^{(0)} + \epsilon x_{3c}^{(1)} + \epsilon^2 x_{3c}^{(2)} + \dots\end{aligned}\tag{A.I.28}$$

onde  $x_{1c}^{(0)}$ ,  $x_{2c}^{(0)}$  e  $x_{3c}^{(0)}$  são independentes do tempo.

As relações entre as coordenadas do sistema inercial e do sistema  $O'x_1x_2x_3$  podem ser facilmente obtidas através da formulação envolvendo ângulos de Euler, na seguinte forma:

$$\begin{aligned}x_1 &= x_{1c} - \epsilon [x_{1c}^{(1)} + \beta_2(x_{3c} - x_{3c}^{(0)}) - \beta_3(x_{2c} - x_{2c}^{(0)})] + \epsilon^2(\dots) + \dots \\x_2 &= x_{2c} - \epsilon [x_{2c}^{(1)} + \beta_3(x_{1c} - x_{1c}^{(0)}) - \beta_1(x_{3c} - x_{3c}^{(0)})] + \dots \\x_3 &= x_{3c} - \epsilon [x_{3c}^{(1)} + \beta_1(x_{2c} - x_{2c}^{(0)}) - \beta_2(x_{1c} - x_{1c}^{(0)})] + \dots\end{aligned}\tag{A.I.29}$$

A superfície  $S$  do corpo  $\bar{e}$  definida pela função:

$$F(x_1, x_2, x_3; t) = x_3 - \xi(x_1, x_2; t) \quad (\text{A.I.30})$$

ou ainda,

$$x_3 = \xi(x_1, x_2; t) = \xi^{(0)} + \epsilon \xi^{(1)} + \epsilon^2 \xi^{(2)} + \dots \quad (\text{A.I.31})$$

As coordenadas  $(X_1, X_2, X_3)$  de um ponto da superfície imersa  $S$  coincidem com as coordenadas de um ponto na posição de repouso e satisfazem portanto a equação:

$$X_3 = \zeta^{(0)}(X_1, X_2) \quad (\text{A.I.32})$$

Introduzindo-se as expressões (A.I.29) e comparando-se com (A.I.31), onde os termos de potência de ordem maior ou igual a 2 foram desprezados, chega-se ao desvio da superfície  $S$  da posição de repouso:

$$\begin{aligned} \xi^{(1)} = & [x_{3c}^{(1)} + \beta_1(x_2 - x_{2c}^{(0)}) - \beta_2(x_1 - x_{1c}^{(0)})] + \\ & - \xi_{x_1}^{(0)} [x_{1c}^{(1)} + \beta_2(x_3 - x_{3c}^{(0)}) - \beta_3(x_2 - x_{2c}^{(0)})] + \\ & - \xi_{x_2}^{(0)} [x_{2c}^{(1)} + \beta_3(x_1 - x_{1c}^{(0)}) - \beta_1(x_3 - x_{3c}^{(0)})] + \end{aligned} \quad (\text{A.I.33})$$

Essas expressões podem ser substituídas na condição de contorno cinemática (A.I.20), obtendo-se condições de contornos para  $\phi^{(1)}$  em  $S$ , no repouso.

Sejam  $n_1, n_2, n_3$  as componentes do vetor normal unitário interno à superfície  $S$ , no repouso. Os movimentos do vetor normal unitário em

relação ao centro de gravidade serão dados por:

$$\vec{q} = (\vec{r} - \vec{r}_0) \times \vec{n} \quad (\text{A.I.34})$$

ou,

$$n_4 = (x_2 - x_{2c}^{(0)}) n_3 - (x_3 - x_{3c}^{(0)}) n_2$$

$$n_5 = (x_3 - x_{3c}^{(0)}) n_1 - (x_1 - x_{1c}^{(0)}) n_3$$

$$n_6 = (x_1 - x_{1c}^{(0)}) n_2 - (x_2 - x_{2c}^{(0)}) n_1$$

Pode-se demonstrar que a condição cinemática se reduz a seguinte expressão:

$$\frac{\partial \Phi^{(1)}}{\partial \vec{n}} = \dot{x}_{1c} n_1 + \dot{x}_{2c} n_2 + \dot{x}_{3c} n_3 + \dot{\beta}_1 n_4 + \dot{\beta}_2 n_5 + \dot{\beta}_3 n_6$$

(A.I.35)

$(x_1, x_2, x_3)$  em S no repouso

No capítulo II verificou-se que, para pequenos movimentos angulares, os ângulos de Euler são aproximadamente iguais às componentes da rotação do corpo em relação a eixos fixos no espaço.

Introduzindo-se a notação anteriormente utilizada em (A.I.35) resulta:

$$\frac{\partial \Phi}{\partial \vec{n}} = n_i \frac{d\eta_i}{dt} \quad i = 1, 2, \dots, 6 \quad (\text{A.I.36})$$

em S no repouso

A condição cinemática traduz assim o fato de que a velocidade



do fluido normal a  $S$ , no repouso, é igual a velocidade da superfície do corpo devida aos movimentos.

#### A.I.5 CONDIÇÃO DE RADIAÇÃO PARA UM FLUIDO INFINITO

Um sistema completo de condições de contorno para a determinação de um potencial de onda deve incluir especificações sobre o seu comportamento no infinito. Do ponto de vista matemático parece ocorrer uma certa arbitrariedade quanto às condições a serem impostas, exceto pelo fato de que estas devem conduzir à existência e unicidade das funções potenciais. As integrais de energia correspondentes às energias cinética e potencial são fundamentais para a derivação de condições de contorno no infinito.

A função potencial para movimentos harmônicos de frequência  $\omega$  é:

$$\phi = \text{Re}\{\phi e^{-j\omega t}\} \quad (\text{A.I.37})$$

onde  $\phi = \phi_1 + j \phi_2$

Seja a função acima definida em um domínio  $D$ , limitado da superfície livre  $S_L$ , pela superfície imersa do corpo  $S_I$  e pelo fundo do mar  $S_F$ .

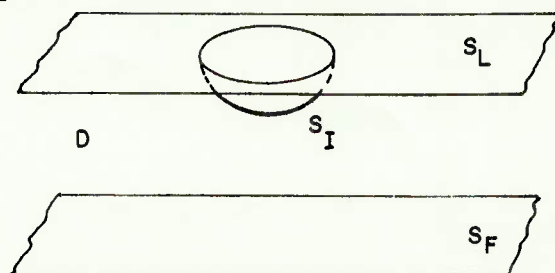


Fig. A.I.1 - Domínio  $D$  da função potencial

A energia cinética de um fluido contido em uma região  $D'$  de  $D$ , durante um período de tempo  $\bar{t}$  [42]:

$$E_c = \frac{\omega}{2\pi} \int_0^{2\pi/\omega} dt \frac{\rho}{2} \iiint_{D'} (\phi_{x_1}^2 + \phi_{x_2}^2 + \phi_{x_3}^2) dx_1 dx_2 dx_3 \quad (\text{A.I.38})$$

ou,

$$E_c = \frac{\rho}{4} \iiint_{D'} (|\phi_{x_1}|^2 + |\phi_{x_2}|^2 + |\phi_{x_3}|^2) dx_1 dx_2 dx_3 \quad (\text{A.I.39})$$

A elevação da superfície livre na teoria linear é obtida por:

$$x_3 = -\frac{1}{g} \frac{\partial \phi}{\partial t} \quad (\text{A.I.40})$$

A energia potencial média das ondas concentradas em uma porção  $S'_L$  de  $S_L$  será então:

$$E_p = \frac{\omega}{2\pi} \int_0^{2\pi/\omega} dt \iint_{S'_L} \frac{\rho}{2g} \phi_t^2 dx_1 dx_2 \quad (\text{A.I.41})$$

ou,

$$E_p = K \iint_{S'_L} |\phi|^2 dx_1 dx_2, \quad (\text{A.I.42})$$

onde  $K = \frac{\omega^2}{g}$

Na superfície livre a condição de contorno (A.I.27) estabelece que:

$$\frac{\partial \phi}{\partial n} = K\phi \quad \text{em } S_L \quad (\text{A.I.43})$$

É fácil então verificar que em  $S_L$ :

$$K|\phi|^2 = \phi_n \bar{\phi} \quad (\text{A.I.44})$$

onde  $\phi_n = \frac{\partial \phi}{\partial n}$ , sendo  $\vec{n}$  a normal externa a  $D'$

e

$$\bar{\phi} = \phi_1 - j\phi_2$$

A segunda identidade de Green aplicada em  $D'$  conduz ao seguinte resultado:

$$\iiint_{D'} (|\phi_{x_1}|^2 + |\phi_{x_2}|^2 + |\phi_{x_3}|^2) dx_1 dx_2 dx_3 = \iint_S \phi_n \bar{\phi} ds \quad (\text{A.I.45})$$

$S$  é a superfície que limita a região  $D'$ .

Considere-se em particular a região  $D'$  de contornos  $C_R$ ,  $S_I$ ,  $S_L$  e  $S_F$ , onde  $C$  é um cilindro vertical.

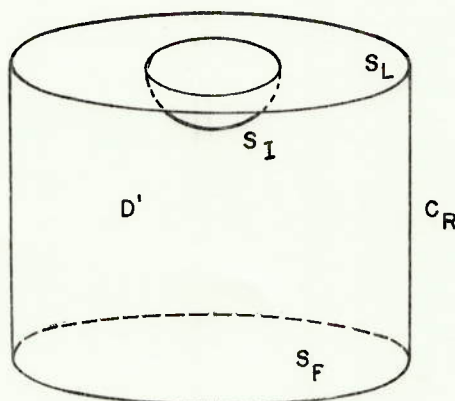


Fig. A.I.2 - Domínio  $D'$  de função potencial

O fluxo de energia média através da superfície  $S = C_R \cup S_I \cup S_L \cup S_F$  é dado por [42]:

$$F_S = -\rho \frac{\omega}{2\pi} \int_0^{2\pi/\omega} dt \int_S \dot{\phi}_t \phi_n ds = \frac{\rho\omega}{2} \text{Im} \left\{ \int_S \phi_n \bar{\phi} ds \right\} \quad (\text{A.I.46})$$

O fluxo de energia será positivo na direção da normal  $\vec{n}$  e nulo necessariamente em  $S$ . As condições de contorno em  $S_L$  e  $S_F$  garantem que não há fluxo através dessas superfícies. Ou seja,

$$F_C + F_{S_I} = 0 \quad (\text{A.I.47})$$

A equação (A.I.47) mostra que o fluxo médio através de  $C$  é independente do particular cilindro  $C$ . A condição de energia transportada ao infinito será portanto:

$$F_C = \frac{\rho\omega}{2} \text{Im} \left\{ \int_C \phi_n \bar{\phi} ds \right\} > 0 \quad (\text{A.I.48})$$

Essa é uma relação não linear e deve-se impor uma condição de radiação do tipo da apresentada por Sommerfeld. Esta última é a condição matemática que corresponde ao conceito intuitivo de ondas geradas em uma superfície  $S_I$  se propagando para o infinito. A grandes distâncias é de se supor que as ondas geradas pelo corpo tenham o caráter de ondas progressivas na direção radial, com velocidade de propagação constante.

Em coordenadas cilíndricas a condição de radiação de Sommerfeld é dada na forma:

$$\lim_{R \rightarrow \infty} R^{1/2} \left( \frac{\partial \phi}{\partial R} - j K \phi \right) = 0 \quad (\text{A.I.49})$$

onde  $R = \sqrt{x_1^2 + x_2^2}$

Uma condição equivalente é a apresentada por Rellich [90] :

$$\lim_{R \rightarrow \infty} \iint_{C_R} \left| \frac{\partial \phi}{\partial n} - j K \phi \right|^2 ds = 0 \quad (\text{A.I.50})$$

É fácil notar que a condição (A.I.49) implica na (A.I.50).

Será verificado agora que, se uma função potencial satisfaz a condição de radiação então o fluxo de energia para o infinito é positivo.

Sejam as seguintes identidades:

$$(1) \quad I_m\{\phi_n \bar{\phi}\} = \phi_n \bar{\phi} - \bar{\phi}_n \phi = (\phi_{2n} \phi_1 - \phi_{1n} \phi_2) \quad (\text{A.I.51})$$

$$(2) \quad (\phi_{2n} \phi_1 - \phi_{1n} \phi_2) = \frac{1}{2K} \{ |\phi_n|^2 + K^2 |\phi|^2 - |\phi_n - jK\phi|^2 \} \quad (\text{A.I.52})$$

O fluxo através do cilindro C será então:

$$F_C = \rho \frac{\omega}{2} I_m \left\{ \iint_C \phi_n \bar{\phi} ds \right\} = \rho \frac{\omega}{2} \iint_C \frac{|\phi_n|^2 + K^2 |\phi|^2}{2K} ds - \rho \frac{\omega}{2} \iint_C \frac{|\phi_n - jK\phi|^2}{2K} ds \quad (\text{A.I.53})$$

e passando-se ao limite:

$$\liminf_{R \rightarrow \infty} F_{C_R} \geq 0 \quad (\text{A.I.54})$$

Conclui-se portanto que  $F_C \geq 0$ , pois  $F_C$  independe do particular cilindro C.

## APÊNDICE A.II

## EQUAÇÕES INTEGRAIS PARA A DETERMINAÇÃO DO POTENCIAL DE RADIAÇÃO

## A.II.1 ESTABELECIMENTO DAS EQUAÇÕES

O objetivo deste apêndice é apresentar-se o processo de cálculo das integrais definidas como coeficientes do sistema de equações (V.24). Esse sistema, resolvido, fornecerá as componentes dos potenciais de radiação.

Para o estabelecimento das principais equações, considere-se a seguinte integral:

$$\int_{s_j} (\vec{n} \cdot \nabla) \operatorname{Re} \{F(z, \zeta)\} ds, \quad (\text{A.II.1})$$

onde  $F(z, \zeta)$  é uma função contínua complexa, e as partes real e imaginária são funções harmônicas conjugadas. No segmento  $s_j$  tem-se:

$$\begin{aligned} * \quad d\zeta &= d\xi + i d\eta = \\ &= ds(\cos \alpha_j + i \operatorname{sen} \alpha_j) \\ \therefore ds &= \operatorname{Re} \{e^{-i\alpha_j} d\zeta\} \end{aligned} \quad (\text{A.II.2})$$

---

\* No processo de avaliação das integrais,  $i$  como sub-escrito significa índice. Em qualquer outro caso representa a unidade imaginária.

O produto escalar da integral (A.II.1) é expresso por:

$$(\vec{n} \cdot \nabla) = (-\operatorname{sen} \alpha_j \frac{\partial}{\partial \xi} + \operatorname{cos} \alpha_j \frac{\partial}{\partial \eta}) \quad (\text{A.II.3})$$

Utilizando-se as equações de Cauchy-Riemann, obtêm-se:

$$(\vec{n} \cdot \nabla) \operatorname{Re} \{F(z, \zeta)\} = \operatorname{Re} \{ie^{i\alpha_j} \frac{\partial}{\partial \zeta} F(z, \zeta)\}, \quad (\text{A.II.4})$$

e a integral resulta em :

$$\int_{s_j} (\vec{n} \cdot \nabla) \operatorname{Re} \{F(z, \zeta)\} ds = \int_{s_j} \operatorname{Re} \{ie^{i\alpha_j} \frac{\partial}{\partial \zeta} F(z, \zeta) e^{-i\alpha_j} d\zeta\}, \quad (\text{A.II.5})$$

ou

$$\int_{s_j} (\vec{n} \cdot \nabla) \operatorname{Re} \{F(z, \zeta)\} ds = I_m \{F(z, \zeta_j)\} - I_m \{F(z, \zeta_{j+1})\} \quad (\text{A.II.6})$$

Analogamente, para  $F = F(z, \bar{\zeta})$ , tem-se:

$$\int_{s_j} (\vec{n} \cdot \nabla) \operatorname{Re} \{F(z, \bar{\zeta})\} ds = I_m \{F(z, \bar{\zeta}_{j+1})\} - I_m \{F(z, \bar{\zeta}_j)\} \quad (\text{A.II.7})$$

Para  $F = F(z, -\bar{\zeta})$  basta substituir  $\bar{\zeta}$  por  $-\bar{\zeta}$  em (A.II.7), enquanto que para  $F = F(z, -\zeta)$  deve-se fazer  $\zeta = -\zeta$  em (A.II.6).

Esses resultados conduzem a fórmulas úteis para as integrais definidas no capítulo V.

A primeira integral na definição de  $I_{ij}^{(m)}$  contém uma singularidade para  $i=j$ , e verifica-se que a contribuição da integral, neste caso, é i igual a  $\pi$ .

Relaciona-se a seguir as demais integrais de interesse:

$$\int_{S_j} (\vec{n} \cdot \nabla)_{\bar{\zeta}} \operatorname{Re} \operatorname{Ln}(z_i - \zeta) ds = \tan^{-1} \left( \frac{y_i - \eta_j}{x_i - \xi_j} \right) - \tan^{-1} \left( \frac{y_i - \eta_{j+1}}{x_i - \xi_{j+1}} \right), \quad i \neq j, \quad (\text{A. II.8})$$

$$\int_{S_j} (\vec{n} \cdot \nabla)_{\bar{\zeta}} \operatorname{Re} \operatorname{Ln}(z_i + \bar{\zeta}) ds = \tan^{-1} \left( \frac{y_i - \eta_{j+1}}{x_i + \xi_{j+1}} \right) - \tan^{-1} \left( \frac{y_i - \eta_j}{x_i + \xi_j} \right), \quad (\text{A. II.9})$$

$$\int_{S_j} (\vec{n} \cdot \nabla)_{\bar{\zeta}} \operatorname{Re} \operatorname{Ln}(z_i - \bar{\zeta}) ds = \tan^{-1} \left( \frac{y_i + \eta_{j+1}}{x_i - \xi_{j+1}} \right) - \tan^{-1} \left( \frac{y_i + \eta_j}{x_i - \xi_j} \right), \quad (\text{A. II.10})$$

$$\int_{S_j} (\vec{n} \cdot \nabla)_{-\zeta} \operatorname{Re} \operatorname{Ln}(z_i + \zeta) ds = \tan^{-1} \left( \frac{y_i + \eta_j}{x_i + \xi_j} \right) - \tan^{-1} \left( \frac{y_i + \eta_{j+1}}{x_i + \xi_{j+1}} \right), \quad (\text{A. II.11})$$

$$\int_{S_j} (\vec{n} \cdot \nabla) \operatorname{Re} \operatorname{P.V.} \int_0^{\infty} \frac{e^{-ik(z_i - \bar{\zeta})}}{K - k} dk ds = \operatorname{P.V.} \int_0^{\infty} \frac{e^{k(y_i + \eta_j)}}{K - k} \operatorname{sen} k(x_i - \xi_j) dk +$$

$$- \operatorname{P.V.} \int_0^{\infty} \frac{e^{k(y_i + \eta_{j+1})}}{K - k} \operatorname{sen} k(x_i - \xi_{j+1}) dk, \quad (\text{A. II.12})$$

$$\int_{S_j} (\vec{n} \cdot \nabla) \operatorname{Re} \operatorname{P.V.} \int_0^{\infty} \frac{e^{-ik(z_i + \zeta)}}{K - k} dk ds = - \operatorname{P.V.} \int_0^{\infty} \frac{e^{k(y_i + \eta_j)}}{K - k} \operatorname{sen} k(x_i + \xi_j) dk +$$

$$+ \operatorname{P.V.} \int_0^{\infty} \frac{e^{k(y_i + \eta_{j+1})}}{K - k} \operatorname{sen} k(x_i + \xi_{j+1}) dk, \quad (\text{A. II.13})$$

$$\int_{S_j} (\vec{n} \cdot \nabla) \operatorname{Re} e^{-iK(z_i - \bar{\zeta})} ds = e^{K(y_i + \eta_j)} \operatorname{sen} K(x_i - \xi_j) - e^{K(y_i + \eta_{j+1})} \operatorname{sen} K(x_i - \xi_{j+1}), \quad (\text{A. II.14})$$

$$\int_{S_j} (\vec{n} \cdot \nabla) \operatorname{Re} e^{-iK(z_i + \zeta)} ds = e^{K(y_i + \eta_{j+1})} \operatorname{sen} K(x_i + \xi_{j+1}) - e^{K(y_i + \eta_j)} \operatorname{sen} K(x_i + \xi_j). \quad (\text{A. II.15})$$



As integrais sobre os segmentos  $s_j$ , requeridas para os coeficientes  $K_{ij}^{(m)}$  e  $L_{ij}^{(m)}$ , são apresentadas em seguida:

$$\begin{aligned}
 \int_{s_j} \operatorname{Re} \operatorname{Log}(z_i - \zeta) ds &= \cos \alpha_j \{ \xi_i - \xi_{j+1} - \frac{1}{2}(x_i - \xi_{j+1}) \operatorname{Log} [(x_i - \xi_{j+1})^2 + (y_i - \eta_{j+1})^2] \\
 &\quad + \frac{1}{2}(x_i - \xi_j) \operatorname{Log} [(x_i - \xi_j)^2 + (y_i - \eta_j)^2] + (y_i - \eta_{j+1}) \tan^{-1} \left( \frac{y_i - \eta_{j+1}}{x_i - \xi_{j+1}} \right) + \\
 &\quad - (y_i - \eta_j) \tan^{-1} \left( \frac{y_i - \eta_j}{x_i - \xi_j} \right) \} + \\
 &\quad + \sin \alpha_j \{ \eta_j - \eta_{j+1} - (x_i - \xi_{j+1}) \tan^{-1} \left( \frac{y_i - \eta_{j+1}}{x_i - \xi_{j+1}} \right) + (x_i - \xi_j) \tan^{-1} \left( \frac{y_i - \eta_j}{x_i - \xi_j} \right) + \\
 &\quad - \frac{1}{2}(y_i - \eta_{j+1}) \operatorname{Log} [(x_i - \xi_{j+1})^2 + (y_i - \eta_{j+1})^2] + \frac{1}{2}(y_i - \eta_j) \operatorname{Log} [(x_i - \xi_j)^2 + \\
 &\quad + (y_i - \eta_j)^2] \} , \tag{A. II. 16}
 \end{aligned}$$

$$\begin{aligned}
 \int_{s_j} \operatorname{Re} \operatorname{Log}(z_i + \bar{\zeta}) ds &= \cos \alpha_j \{ \xi_i - \xi_{j+1} + \frac{1}{2}(x_i + \xi_{j+1}) \operatorname{Log} [(x_i + \xi_{j+1})^2 + (y_i - \eta_{j+1})^2] + \\
 &\quad - \frac{1}{2}(x_i + \xi_j) \operatorname{Log} [(x_i + \xi_j)^2 + (y_i - \eta_j)^2] - (y_i - \eta_{j+1}) \tan^{-1} \left( \frac{y_i - \eta_{j+1}}{x_i + \xi_{j+1}} \right) + \\
 &\quad + (y_i - \eta_j) \tan^{-1} \left( \frac{y_i - \eta_j}{x_i + \xi_j} \right) \} + \\
 &\quad + \sin \alpha_j \{ \eta_j - \eta_{j+1} - \frac{1}{2}(y_i - \eta_{j+1}) \operatorname{Log} [(x_i + \xi_{j+1})^2 + (y_i - \eta_{j+1})^2] + \\
 &\quad + \frac{1}{2}(y_i - \eta_j) \operatorname{Log} [(x_i + \xi_j)^2 + (y_i - \eta_j)^2] - (x_i + \xi_{j+1}) \tan^{-1} \left( \frac{y_i - \eta_{j+1}}{x_i + \xi_{j+1}} \right) + \\
 &\quad + (x_i + \xi_j) \tan^{-1} \left( \frac{y_i - \eta_j}{x_i + \xi_j} \right) \} , \tag{A. II. 17}
 \end{aligned}$$

$$\begin{aligned}
\int_{s_j} \operatorname{Re} \operatorname{Log}(z_i - \bar{\zeta}) ds &= \cos \alpha_j \{ \xi_j - \xi_{j+1} - (x_i - \xi_{j+1}) \frac{1}{2} \operatorname{Log}[(x_i - \xi_{j+1})^2 + (y_i + \eta_{j+1})^2] + \\
&+ (y_i + \eta_{j+1}) \tan^{-1} \left( \frac{y_i + \eta_{j+1}}{x_i - \xi_{j+1}} \right) + \frac{1}{2} (x_i - \xi_j) \operatorname{Log}[(x_i - \xi_j)^2 + (y_i + \eta_j)^2] + \\
&- (y_i + \eta_j) \tan^{-1} \left( \frac{y_i + \eta_j}{x_i - \xi_j} \right) \} + \\
&+ \sin \alpha_j \{ \eta_j - \eta_{j+1} + \frac{1}{2} (y_i + \eta_{j+1}) \operatorname{Log}[(x_i - \xi_{j+1})^2 + (y_i + \eta_{j+1})^2] \\
&+ (x_i - \xi_{j+1}) \tan^{-1} \left( \frac{y_i + \eta_{j+1}}{x_i - \xi_{j+1}} \right) - \frac{1}{2} (y_i + \eta_j) \operatorname{Log}[(x_i - \xi_j)^2 + (y_i + \eta_j)^2] + \\
&- (x_i - \xi_j) \tan^{-1} \left( \frac{y_i + \eta_j}{x_i - \xi_j} \right) \} , \tag{A. II. 18}
\end{aligned}$$

$$\begin{aligned}
\int_{s_j} \operatorname{Re} \operatorname{Log}(z_i + \zeta) ds &= \cos \alpha_j \{ \xi_j - \xi_{j+1} + \frac{1}{2} (x_i + \xi_{j+1}) \operatorname{Log}[(x_i + \xi_{j+1})^2 + (y_i + \eta_{j+1})^2] + \\
&- \frac{1}{2} (x_i + \xi_j) \operatorname{Log}[(x_i + \xi_j)^2 + (y_i + \eta_j)^2] - (y_i + \eta_{j+1}) \tan^{-1} \left( \frac{y_i + \eta_{j+1}}{x_i + \xi_{j+1}} \right) + \\
&+ (y_i + \eta_j) \tan^{-1} \left( \frac{y_i + \eta_j}{x_i + \xi_j} \right) \} + \\
&+ \sin \alpha_j \{ \eta_j - \eta_{j+1} + \frac{1}{2} (y_i + \eta_{j+1}) \operatorname{Log}[(x_i + \xi_{j+1})^2 + (y_i + \eta_{j+1})^2] + \\
&- \frac{1}{2} (y_i + \eta_j) \operatorname{Log}[(x_i + \xi_j)^2 + (y_i + \eta_j)^2] + (x_i + \xi_{j+1}) \tan^{-1} \left( \frac{y_i + \eta_{j+1}}{x_i + \xi_{j+1}} \right) + \\
&- (x_i + \xi_j) \tan^{-1} \left( \frac{y_i + \eta_j}{x_i + \xi_j} \right) \} , \tag{A. II. 19}
\end{aligned}$$

$$\int_{s_j} \operatorname{Re} e^{-iK(z_i - \bar{\zeta})} ds = e^{K(y_i + \eta_j)} \operatorname{sen}[K(x_i - \xi_j) - \alpha_j] - e^{K(y_i + \eta_{j+1})} \operatorname{sen}[K(x_i - \xi_{j+1}) - \alpha_j] , \tag{A. II. 20}$$

$$K \int_{S_j} \operatorname{Re} e^{-iK(z_i + \zeta)} ds = -e^{K(y_i + \eta_j)} \operatorname{sen}[K(x_i + \xi_j) + \alpha_j] + e^{K(y_i + \eta_{j+1})} \operatorname{sen}[K(x_i + \xi_{j+1}) + \alpha_j],$$

(A.II.21)

$$\begin{aligned} K \int_{S_j} \operatorname{Re P.V.} \int_0^\infty \frac{e^{-ik(z_i - \bar{\zeta})}}{K-k} dk ds &= \operatorname{sen} \alpha_j \left\{ \frac{1}{2} \operatorname{Log} \frac{(x_i - \xi_j)^2 + (y_i + \eta_j)^2}{(x_i - \xi_{j+1})^2 + (y_i + \eta_{j+1})^2} + \right. \\ &+ \operatorname{P.V.} \int_0^\infty \frac{e^{k(y_i + \eta_{j+1})}}{K-k} \cos k(x_i - \xi_{j+1}) dk - \operatorname{P.V.} \int_0^\infty \frac{e^{k(y_i + \eta_j)}}{K-k} \cos k(x_i - \xi_j) dk \Big\} + \\ &+ \cos \alpha_j \left\{ \tan^{-1} \left( \frac{y_i + \eta_j}{x_i - \xi_j} \right) - \tan^{-1} \left( \frac{y_i + \eta_{j+1}}{x_i - \xi_{j+1}} \right) + \right. \\ &+ \operatorname{P.V.} \int_0^\infty \frac{e^{k(y_i + \eta_j)}}{K-k} \operatorname{sen} k(x_i - \xi_j) dk + \\ &\left. - \operatorname{P.V.} \int_0^\infty \frac{e^{k(y_i + \eta_{j+1})}}{K-k} \operatorname{sen} k(x_i - \xi_{j+1}) dk \right\}, \end{aligned}$$

(A.II.22)

$$\begin{aligned} K \int_{S_j} \operatorname{Re P.V.} \int_0^\infty \frac{e^{-ik(z_i + \zeta)}}{K-k} dk ds &= \operatorname{sen} \alpha_j \left\{ \frac{1}{2} \operatorname{Log} \frac{(x_i + \xi_j)^2 + (y_i + \eta_j)^2}{(x_i + \xi_{j+1})^2 + (y_i + \eta_{j+1})^2} + \right. \\ &+ \operatorname{P.V.} \int_0^\infty \frac{e^{k(y_i + \eta_{j+1})}}{K-k} \cos k(x_i + \xi_{j+1}) dk - \operatorname{P.V.} \int_0^\infty \frac{e^{k(y_i + \eta_j)}}{K-k} \cos k(x_i + \xi_j) dk \Big\} + \\ &+ \cos \alpha_j \left\{ -\tan^{-1} \left( \frac{y_i + \eta_j}{x_i + \xi_j} \right) + \tan^{-1} \left( \frac{y_i + \eta_{j+1}}{x_i + \xi_{j+1}} \right) + \right. \\ &+ \operatorname{P.V.} \int_0^\infty \frac{e^{k(y_i + \eta_{j+1})}}{K-k} \operatorname{sen} k(x_i + \xi_{j+1}) dk + \\ &\left. - \operatorname{P.V.} \int_0^\infty \frac{e^{k(y_i + \eta_j)}}{K-k} \operatorname{sen} k(x_i + \xi_j) dk \right\}. \end{aligned}$$

(A.II.23)

O valor principal das últimas integrais são expressos em termos das funções de Euler "E<sub>i</sub>":

$$\text{P.V.} \int_0^{\infty} \frac{e^{k(y+\eta)}}{K-k} \cos k(x-\xi) dk = e^{K(y+\eta)} \{C(r,\theta) \cos K(x-\xi) + S(r,\theta) \operatorname{sen} K(x-\xi)\}, \quad (\text{A.II.24})$$

$$\text{P.V.} \int_0^{\infty} \frac{e^{k(y+\eta)}}{K-k} \operatorname{sen} k(x-\xi) dk = e^{K(y+\eta)} \{C(r,\theta) \operatorname{sen} K(x-\xi) - S(r,\theta) \cos K(x-\xi)\}, \quad (\text{A.II.25})$$

$$\text{onde, } C = \gamma + \log Kr + \sum_{n=1}^{\infty} \frac{(Kr)^n \cos n \theta}{n! \cdot n},$$

$$S = \theta + \sum_{n=1}^{\infty} \frac{(kr)^n \operatorname{sen} n \theta}{n! \cdot n},$$

$\gamma = 0,5772 \dots$  constante de Euler-Mascheroni,

$$Kr = K\sqrt{(x-\xi)^2 + (y+\eta)^2},$$

$$\theta = \frac{\pi}{2} + \tan^{-1} \left( \frac{y+\eta}{x-\xi} \right), \quad \begin{array}{l} x - \xi > 0 \\ y + \eta \leq 0. \end{array}$$

Para  $x-\xi < 0$  acrescenta-se  $-2\pi$  ao valor de S.

No cálculo numérico dessas integrais atenção especial deve ser dada aos termos que envolvam a função  $\tan^{-1}$ . Tome-se por exemplo o segundo membro da equação (A.II.8):

$$\begin{aligned} \tan^{-1} \left( \frac{y_i - \eta_j}{x_i - \xi_j} \right) - \tan^{-1} \left( \frac{y_i - \eta_{j+1}}{x_i - \xi_{j+1}} \right) = \\ = \{ \arg(z_i - \zeta_j) - \arg(z_i - \zeta_{j+1}) \} \end{aligned}$$

De acordo com a definição |1| :

$$-\pi < \arg(z_i - \zeta_j) \leq \pi$$

e

$$-\pi < \arg(z_i - \zeta_{j+1}) \leq \pi$$

Além disso, a diferença entre os dois argumentos deve ser:

$$-\pi < \arg(z_i - \zeta_j) - \arg(z_i - \zeta_{j+1}) \leq \pi$$

Calculando-se separadamente os argumentos, entretanto, e depois subtraindo-se um do outro, o resultado pode ser maior que  $\pi$  ou menor que  $-\pi$ .

Para contornar-se o problema, foi desenvolvida a sub-rotina ANGVEC, que redefine os argumentos acima em função da situação considerada.

Podem acontecer um dos três casos:

Seja:

$$\theta_1 = \arg(z_i - \zeta_j) = \arg(z_1)$$

$$\theta_2 = \arg(z_i - \zeta_{j+1}) = \arg(z_2)$$

$$\theta_3 = \arg \left( \frac{z_1}{z_2} \right)$$

$$(i) \quad \theta_1 - \theta_2 = -\pi \quad \rightarrow \quad \begin{aligned} \theta_1 &= \theta_1 + \pi \\ \theta_2 &= \theta_2 - \pi \end{aligned}$$

$$(ii) \quad \pi < \theta_1 - \theta_2 < 2\pi \quad \rightarrow \quad \theta_1 = \theta_1 - \pi \\ \theta_2 = \theta_2 - \pi$$

$$(iii) \quad -2\pi < \theta_1 - \theta_2 < -\pi \quad \rightarrow \quad \theta_1 = \theta_1 + \pi \\ \theta_2 = \theta_2 - \pi$$

Na equação (A.II.8) os casos (i) e (ii) ocorrem quando o contorno do cilindro é apenas convexo, e o caso (iii) quando o cilindro é côncavo. Na equação (A.II.10), o caso (i) somente ocorre quando a distância entre os cascos é zero, o que significa um único casco.

APÊNDICE A.III- LISTAGEM DO PROGRAMA NVPONT

B6700 FORTRAN COMPILATION MARK 2.9.004 WFD

NVPONT / NOVO / OBJ  
 = = = = =

```

FILE 8 (KIND=DISK, TITLE="DATRAN8.", MAXRECSIZE=70, BLOCKSIZE=2100, 00000100
* AREASIZE=10) 00000200
FILE 12 (KIND=DISK, TITLE="DATRAN12.", MAXRECSIZE=400, BLOCKSIZE=12000, 00000300
* AREASIZE=10) 00000400
C 00000500
C 00000600
C *** ** ** ** ***** ***** ** ** ***** 00000700
C **** ** ** ** ***** ***** **** ** ***** 00000800
C ** ** ** ** ** ** ** ** ** ** ** ** ** ** ** ** ** ** ** ** ** ** ** ** ** ** ** ** ** ** ** ** ** ** ** ** ** ** **   ** ** **   ** 00000900
C ** ** ** ** ** ** ** ** **   ***** ** ** ** ** **   ** 00001000
C ** ** **   ** ** ***** ** ** ** **   ** **   ** 00001100
C **   ****   ** **   **   **   **   **   ****   ** 00001200
C **   ****   ****   **   **   ***** **   **   ** 00001300
C **   **   **   **   **   ***** **   **   **   ** 00001400
C 00001500
C 00001600
C ***** 00001700
C * 00001800
C * 00001900
C * PROGRAMA PARA CALCULO DE COEFICIENTES DE MASSA ADICIONADA E * 00002000
C * DE AMORTECIMENTO F FORCAS DE EXCITACAO (FROUDE=KRILOFF + * 00002100
C * + DIFRACAO) PARA PONTOS CILINDRICOS TOTAL OU PARCIALMENTE * 00002200
C * IMERSOS, SOB A Acao DE ONDAS REGULARES SENOIDAIS. * 00002300
C * 00002400
C * 00002500
C * 00002600
C * 00002700
C * 00002800
C * - RICARDO PEREIRA - * 00002900
C * 00003000
C * 00003100
C * ABRIL 1982. * 00003200
C * 00003300
C * 00003400
C ***** 00003500
C 00003600
C 00003700
C 00003800
C
C REAL LNBAM 00003900
C 00004000
C DIMENSION OMEN(20) ,BAM(20),LNBAM(20), 00004100
&HDG(5),HDR(5),SDG(5),CDG(5) 00004200
C 00004300
C COMMON/DMP/IDUMP 00004400
C 00004500
C COMMON/LOADSW/MLOAD 00004600
C 00004700
C COMMON/CONST/G,PI,TOPI,RHO,CL,TVOL 00004800
C 00004900
C COMMON/HULLGEO/NHULL(20),ISYM(20),NP(20,2),YC(20,2),ZC(20,2) 00005000
& ,YP(20,2,20),ZP(20,2,20),AKSI(40),ETA(40),YI(40),ZI(40) 00005100
& ,DL(40),EN(6,40),T(20,2) 00005200
C 00005300
C NHULL(K) = NO DE CASCOS NO STRIP K (USUALMENTE=2) 00005400
  
```



C	ISYM(K) = PARAMETRO DE SIMETRIA PARA O STRIP K	00005500
C	NP(K,J) = NO DE PONTOS NO STRIP NO K, LADO J	00005600
C	J = 1 : BOMBORDO	00005700
C	J = 2 : BORESTE	00005800
C	YC(K,J) = POSICAO-Y DA ORIGEM LOCAL (STRIP K, LADO J)	00005900
C	ZC(K,J) = POSICAO-Z DA ORIGEM LOCAL (STRIP K, LADO J)	00006000
C	YP(K,J,M) = COORDENADAS Y DOS PONTOS M DO STRIP NO K,	00006100
C	LADO J.	00006200
C	ZP(K,J,M) = COORDENADAS Z DOS PONTOS M DO STRIP NO K,	00006300
C	LADO J.	00006400
C	COMMON/XHULL/ST(20),DS(20),NOSTR,NOSS,ISTREF(20),XCB	00006500
C		00006600
C	ST(K) = POSICAO DO STRIP REL. AU C.G.	00006700
C	DS(K) = COMPRIMENTO DO STRIP	00006800
C	NOSTR = NO DO STRIP SENDO PROCESSADO.	00006900
C	NOSS = NO TOTAL DE STRIPS.	00007000
C	ISTREF(K)= K : STRIP NO K E UNICO	00007100
C	ISTREF(K)=J: STRIP NO K E IGUAL AO STRIP NO J.	00007200
C	XCB = POSICAO DO CENTRO DE FLUTUACAO NO SISTEMA GLOBAL	00007300
C		00007400
C	COMMON/EXFCOF/FFKRE(2,6),FFKIE(2,6),FFKRO(2,6),FFKIO(2,6)	00007500
C	& ,FDRE(2,6),FDIE(2,6),FDRO(2,6),FDIO(2,6)	00007600
C		00007700
C	COMMON/DYNPRE/PDR(6,40),PDI(6,40),PDRH(6,40),PDIH(6,40)	00007800
C		00007900
C	COMMON/CYLMOV/CYLCOD(2),ISUBM,METH	00008000
C		00008100
C	COMMON/FREQIN/BLOG(72,72),YLOG(72,72),CSE(40),SNE(40)	00008200
C		00008300
C	COMMON/HYDCOF/A11(6,6),A12(6,6),A21(6,6),A22(6,6)	00008400
C	& ,B11(6,6),B12(6,6),B21(6,6),B22(6,6)	00008500
C		00008600
C		00008700
C		00008800
C		00008900
C	LEITURA DOS CARTOES DE ENTRADA	00009000
C		00009100
C	CARTAO A	00009200
C		00009300
C	READ(5,100) NOSS,CL,XCB,TVOL	00009400
C		
100	FORMAT(I2,3X,3F10.0)	00009500
C		00009600
C	CARTAO B	00009700
C		00009800
C	READ(5,200) LUCK,MLOAD,IDUMP,ISUBM,IDEPTH,H	00009900
200	FORMAT(5(I2,3X),F10.0)	00010000
C		00010100
C	CARTAO C	00010200
C		00010300
C	READ(5,300) NLAM,NBETA,(HDG(I),I=1,NBETA)	00010400
300	FORMAT(3X,I2,3X,I2,5(F10.0))	00010500
C		00010600
C	CARTAO D	00010700
C		00010800
C	READ(5,400) OMIN,OMAX,NFR	00010900
400	FORMAT(2F10.0,3X,I2)	00011000
C		00011100
C		00011200
C	CARTAO TIPO E	00011300

C		00011400
500	READ(5,500) (BAM(M),M=1,NLAM)	00011500
C	FORMAT(8F10.0)	00011600
C	CARTAO TIPO F	00011700
C		00011800
600	READ(5,600) ((ISTREF(K),DS(K),ST(K)),K=1,NOSS)	00011900
C	FORMAT(3X,I2,2F10.0)	00012000
C	CARTAO TIPO G	00012100
C		00012200
700	READ(5,700) (NHULL(K), NP(K,1),NP(K,2),K=1,NOSS)	00012300
C	FORMAT(3(3X,I2))	00012400
C		00012500
C	CARTAO TIPO H	00012600
C		00012700
C	READ(5,800) (YC(K,1),YC(K,2),ZC(K,1),ZC(K,2),T(K,1),T(K,2),	00012800
800	&K=1,NOSS)	00012900
C	FORMAT(6F10.0)	00013000
C		00013100
C	DO 900 K=1,NOSS	00013200
C		00013300
C	NP1=NP(K,1)	00013400
C	NP2=NP(K,2)	00013500
C		00013600
C	CARTAO TIPO Y	00013700
C		00013800
C	READ(5,500) (YP(K,1,N),N=1,NP1)	00013900
C		00014000
C	CARTAO TIPO Z	00014100
C		00014200
C	READ(5,500) (ZP(K,1,N),N=1,NP1)	00014300
C		00014400
C	OS CARTOES Y E Z DEVEM SER REPETIDOS QUANDO NHULL(K)=2	00014500
C		00014600
C	IF(NHULL(K)-2)900,1000,900	00014700
C		00014800
1000	READ(5,500) (YP(K,2,N),N=1,NP2)	00014900
C	READ(5,500) (ZP(K,2,N),N=1,NP2)	00015000
C		00015100
900	CONTINUE	00015200
C		00015300
C		00015400
C		00015500
C		00015600
C	DEFINE CONSTANTES DOS BLOCOS COMMON	00015700
C		00015800
C	G=9.8062	00015900
C	PI=ARCOS(-1.)	00016000
C	TOPI = 2.*PI	00016100
C	RHO = 104.61	00016200
C		00016300
C	ADIMENSIONALIZACAO	00016400
C		00016500
C	EL=CL/2.	00016600
C	XCB=XCB/EL	00016700
C	TVOL=TVOL/(EL**3)	00016800
C	OMAX=OMAX*SQRT(0.5)	00016900
C	OMIN=OMIN*SQRT(0.5)	00017000
C		00017100
C	DO 1100 K=1,NOSS	00017200
C		00017300

```

1100 DS(K)=OS(K)/EL          00017400
      ST(K)=ST(K)/EL      00017500
C                                     00017600
C   SENOS E COSENOS DOS ANGULOS DE INCIDENCIA 00017700
C                                     00017800
      NOH=NBETA           00017900
C                                     00018000
      DO 1200 JJ=1,NOH    00018100
      HDR(JJ)=0.017453293*HDG(JJ) 00018200
      SDG(JJ)=SIN(HDR(JJ)) 00018300
1200 CDG(JJ)=COS(HDR(JJ)) 00018400
C                                     00018500
C   CALCULO DAS FREQUENCIAS 00018600
C                                     00018700
      DOME=(OMAX-OMIN)/(NFR-1) 00018800
      OMEN(1)=OMIN        00018900
C                                     00019000
      DO 1300 N=2,NFR    00019100
      OMEN(N)=OMEN(N-1)+DOME 00019200
1300 CONTINUE             00019300
C                                     00019400
      IF(LUCK)1500,140,1500 00019500
C                                     00019600
1500 NOK=NLAM             00019700
      BAMI=BAM(1)         00019800
      BAMA=BAM(2)         00019900
C                                     00020000
      LNBAM(1)=ALOG(BAM(1)) 00020100
      IF(NOK-1)151,151,137 00020200
137 DELTA=ALOG(BAMA/BAMI)/(NOK-1) 00020300
      DO 139 I=2,NOK     00020400
      LNBAM(I)=LNBAM(I-1)+DELTA 00020500
139 BAM(I)=EXP(LNBAM(I)) 00020600
      GO TO 151           00020700
C                                     00020800
140 NLAM=NFR             00020900
      NOK=NLAM            00021000
      DO 151 I=1,NOK     00021100
      BAM(I)=(PI/(OMEN(I)**2)) 00021200
151 CONTINUE             00021300
C                                     00021400
      IF(IDUMP .EQ. 0) GO TO 9600 00021500
C                                     00021600
      WRITE(6,9902) (ST(K),K=1,NOSS) 00021700
C                                     00021800
      WRITE(6,9903) (DS(K),K=1,NOSS) 00021900
      WRITE(6,9904) (ISTREF(K),K=1,NOSS) 00022000
      WRITE(6,9905) (NHULL(K),K=1,NOSS) 00022100
      WRITE(6,9906) (ISYM(K),K=1,NOSS) 00022200
      WRITE(6,9907) ((NP(K,1),NP(K,2)),K=1,NOSS) 00022300
      WRITE(6,9908) ((YC(K,1),YC(K,2)),K=1,NOSS) 00022400
      WRITE(6,9909) ((ZC(K,1),ZC(K,2)),K=1,NOSS) 00022500
C                                     00022600
      DO 9550 K=1,NOSS   00022700
      WRITE(6,9911) K    00022800
      NP1=NP(K,1)       00022900
      NP2=NP(K,2)       00023000
C                                     00023100
      WRITE(6,9912) (YP(K,1,J),J=1,NP1) 00023200
      WRITE(6,9913) (ZP(K,1,J),J=1,NP1)

```

```

C
C
WRITE(6,9914) (YP(K,2,J),J=1,NP2)
WRITE(6,9915) (ZP(K,2,J),J=1,NP2)
C
9550 CONTINUE
9600 CONTINUE
C
C
CALCULA MASSA ADICIONADA E AMORTECIMENTO
CALL SPT407 (NFR,OMIN,OMAX)
C
C
LOOPS PRINCIPAIS:
C
C
ANGULOS DE INCIDENCIA      CONTADOR : MM
CUMPRIMENTOS DE ONDA      CONTADOR : LL
C
DO 4000 MM=1,NOH
DO 4000 LL=1,NOK
C
C
HDIG=HDR(MM)
HDGD=HDG(MM)
GXI=SQRT(TOPI/BAM(LL))
C
C
FREQUENCIAS PROXIMAS DE ZERO E NEGATIVAS SAO EVITADAS
C
IF(GXI.GT.0.05) GO TO 3000
GXI = 0.05
3000 CONTINUE
C
DEFINE A FREQUENCIA MAIS PROXIMA PARA A QUAL OS VALORES DE MASSA
ADICIONADA E DE AMORTECIMENTO SAO DISPONIVEIS
C
DO 3300 NG=2,NFR
DIFF = OMEN(NG)-GXI*SQRT(0.5)
IF(DIFF.GE.0.) GO TO 3400
3300 CONTINUE
3400 CONTINUE
C
KAT407 FORNECE AS FORÇAS DE EXCITACAO
C
CALL KAT407(NG,GXI,OMEN,NFR,NOK,HDR(MM),BAM(LL),MM,LL)
C
4000 CONTINUE
C
C
FORMATS:
C
9902 FORMAT(1X,'ST = ',10F10.4)
9903 FORMAT(1X,'DS = ',10E10.4)
9904 FORMAT(1X,'ISTREF = ',10I2)
9905 FORMAT(1X,'NHULL = ',10I2)
9906 FORMAT(1X,'ISYM = ',10I2)
9907 FORMAT(1X,'NP = ',10I4)
9908 FORMAT(1X,'YC = ',10E10.4)
9909 FORMAT(1X,'ZC = ',10E10.4)
9911 FORMAT(1X,'NO STRIP = ',I2)
9912 FORMAT(1X,'YP(1) = ',10E10.4)
9913 FORMAT(1X,'ZP(1) = ',10E10.4)
9914 FORMAT(1X,'YP(2) = ',10E10.4)

```

```

9915 FORMAT(1X,'ZP(2)      = ',10E10.4)
      RETURN
      END

```

```

00029300
00029400
00029500
SE

```

```

=====
      SUBROUTINE ANGVEC (X2,Y2,X1,Y1,AR2,AR1,ARG2,ARG1,DNR)
C
C
      PI = ARCOS(-1.)
      TOPI = 2.*PI
C
      IF(X2)3,1,2
1  IF(Y2.GT.0.)AR2= 0.5*PI
   IF(Y2.LT.0.)AR2=-0.5*PI
   GO TO 4
C
2  AR2=ATAN2(Y2,X2)
   GO TO 4
C
3  AR2=ATAN2(Y2,X2)
   IF(Y2.GE.0.)AR2=AR2+PI
   IF(Y2.LT.0.)AR2=AR2-PI
C
4  IF(X1)7,5,6
5  IF(Y1.GT.0.)AR1= 0.5*PI
   IF(Y1.LT.0.)AR1=-0.5*PI
   GO TO 8
C
6  AR1=ATAN2(Y1,X1)
   GO TO 8
C
7  AR1=ATAN2(Y1,X1)
   IF(Y1.GE.0.)AR1=AR1+PI
   IF(Y1.LT.0.)AR1=AR1-PI
8  DNR = AR2-AR1
   IF(DNR .GT. PI .AND. DNR .LE. TOPI)GO TO 10
   IF(DNR .GE. -TOPI .AND. DNR .LE. -PI) GO TO 9
   ARG2=AR2
   ARG1=AR1
   GO TO 11
C
9  ARG2=AR2+PI
   ARG1=AR1-PI
   GO TO 11
10 ARG2=AR2-PI
   ARG1=AR1+PI
C
11 DNR=ARG2-ARG1
C
      RETURN
      END

```

```

00029501
00029502
00029503
00029504
00029505
00029506
00029507
00029508
00029509
00029510
00029511
00029512
00029513
00029514
00029515
00029516
00029517
00029518
00029519
00029520
00029521
00029522
00029523
00029524
00029525
00029526
00029527
00029528
00029529
00029530
00029531
00029532
00029533
00029534
00029535
00029536
00029537
00029538
00029539
00029540
00029541
00029542
00029543
00029544
00029545
00029546
00029547
SE

```

```

=====
      SUBROUTINE CHARPN(A,B,N,M,KS)

```

```

00029600

```

	DIMENSION A(72,72),B(1),X(72,72)	00029700
	TOL=1.E-11	00029800
	IF(M.EQ.0) GO TO 2	00029900
	DO 1 I=1,N	00030000
	DO 1 J=1,N	00030100
1	X(I,J)=A(I,J)	00030200
2	KS=0	00030300
	DO 10 J=1,N	00030400
	BIGA=0.	00030500
C	MAXIMO DE UMA COLUNA	00030600
	DO 11 I=J,N	00030700
	IF(ABS(BIGA)-ABS(A(I,J)))12,11,11	00030800
12	BIGA=A(I,J)	00030900
	IMAX=I	00031000
11	CONTINUE	00031100
	IF(ABS(BIGA)-TOL)13,13,14	00031200
13	KS=1	00031300
	RETURN	00031400
14	CONTINUE	00031500
	DO 15 KK=J,N	00031600
	SAVE=A(J,KK)	00031700
	A(J,KK)=A(IMAX,KK)	00031800
	A(IMAX,KK)=SAVE	00031900
15	A(J,KK)=A(J,KK)/BIGA	00032000
	SAVE=B(IMAX)	00032100
	B(IMAX)=B(J)	00032200
	B(J)=SAVE/BIGA	00032300
	IF(J=N)16,17,16	00032400
16	J1=J+1	00032500
	DO 27 I=J1,N	00032600
	DO 18 KP=J1,N	00032700
18	A(I,KP)=A(I,KP)-A(I,J)*A(J,KP)	00032800
27	B(I)=B(I)-B(J)*A(I,J)	00032900
10	CONTINUE	00033000
C	SOLUCAO PRECEDENTE	00033100
17	N1=N-1	00033200
	DO 28 J=1,N1	00033300
	JN=N-J	00033400
	DO 29 KT=1,J	00033500
	KN=N-KT+1	00033600
29	B(JN)=B(JN)-B(KN)*A(JN,KN)	00033700
28	CONTINUE	00033800
	IF(M.EQ.0) GO TO 4	00033900
	DO 3 I=1,N	00034000
	DO 3 J=1,N	00034100
3	A(I,J)=X(I,J)	00034200
4	RETURN	00034300
	END	00034400

SE

```

=====
C      SUBROUTINE DAVID(X,Y,E,C,S,RA,RB,CIN,SON)      00034500
C      00034600
C      00034700
C      DAVID - CALCULO DA PARTE DEPENDENTE DA FREQUENCIA 00034800
C      DOS POTENCIAIS BIDIMENSIONAIS                00034900
C      00035000
C      00035100

```

```

C
C
AT=ATAN2(X,Y)
IF(X.LT.0) GO TO 2
ARG=AT-1.5707963
2 F=EXP(-Y)
C=COS(X)
S=SIN(X)
R=X**2+Y**2
TEST=0.00001
IF(R-1.0) 5,10,10
10 TEST=0.1*TEST
IF(R-2.0) 5,20,20
20 TEST=0.1*TEST
IF(R-4.0) 5,30,30
30 TEST=0.1*TEST
C
C
METODO DAS QUADRATURAS DE LAGUERRE. NAO SERA UTILIZADO
NESTA VERSAO. SERA NECESSARIO POSTERIORMENTE COMPATI-
BILIZA-LO COM AS EXPRESSOES DESENVOLVIDAS POR PAULLING.
C
IF(R=200.0) 5,31,31
C
31 TEST=0.0001
AL=0.5*ALOG(R)
Y=-Y
C
SUMC=Y/SQRT(R)
SUMS=X/SQRT(R)
TC=SUMC
TS=SUMS
C
DO 33 K=1,15
C
T0=TC
C
TC=-(TC*Y-X*TS)*K/R
C
TS=-(TS*Y+X*T0)*K/R
C
SUMC=SUMC+TC
C
SUMS=SUMS+TS
C
IF(K=15) 34,35,35
C
34 IF((ABS(TC)+ABS(TS))-TEST) 35,35,33
C
35 SUMC=SUMC/SQRT(R)*(-1.)
SUMS=SUMS/SQRT(R)*(-1.)
SON=SUMS+3.141593*E*C
C
SON=-SON
CIN=SUMC+3.141593*E*S
C
RA=AL-CIN
C
RB=ARG+SON
C
GO TO 4
C
33 CONTINUE
5 AL=0.5*ALOG(R)
SUMC=0.57721566+AL+Y
SUMS=AT+X
TC=Y
TS=X
DO 1 K=1,500
C
T0=TC
COX=K
CAY=K+1
FACT=COX/CAY**2
TC=FACT*(Y*TC-X*TS)
TS=FACT*(Y*TS+X*T0)
SUMC=SUMC+TC
SUMS=SUMS+TS

```

```

00035200
00035300
00035400
00035500
00035600
00035700
00035800
00035900
00036000
00036100
00036200
00036300
00036400
00036500
00036600
00036700
00036800
00036900
00037000
00037100
00037200
00037300
00037400
00037500
00037600
00037700
00037800
00037900
00038000
00038100
00038200
00038300
00038400
00038500
00038600
00038700
00038800
00038900
00039000
00039100
00039200
00039300
00039400
00039500
00039600
00039700
00039800
00039900
00040000
00040100
00040200
00040300
00040400
00040500
00040600
00040700
00040800
00040900
00041000
00041100

```

IF(K=500) 40,3,3	00041200
40 IF((ABS(TC)+ABS(TS))-TEST) 3,3,1	00041300
3 CIN=E*(C*SUMC+S*SUMS)	00041400
SON=E*(S*SUMC-C*SUMS)	00041500
RA=AL-CIN	00041600
RB=ARG+SON	00041700
GO TO 4	00041800
1 CONTINUE	00041900
4 RETURN	00042000
END	00042100

SE

=====

	SUBROUTINE DIFFRA (DIP,I,WNM,OM,IDEPTH,H,BETA,FN)	00042200
C		00042300
C	DIFFRA CALCULA AS COMPONENTES EMPARELHADAS E DE SENTIDOS	00042400
C	OPOSTOS DAS FORÇAS DE DIFRAÇÃO NA DIREÇÃO I BASEADAS NA	00042500
C	RELAÇÃO DE HASKIND-NEWMAN.	00042600
C		00042700
C	DIMENSION NS(2)	00042800
C		00042900
C	COMMON/DMP/IDUMP	00043000
C		00043100
C	COMMON/CONST/G,PI,TOPI,RHO,CL,TVOL	00043200
C		00043300
C	COMMON/HULGEO/NHULL(20),ISYM(20),NP(20,2),YC(20,2),ZC(20,2)	00043400
8	,YP(20,2,20),ZP(20,2,20),AKSI(40),ETA(40),YI(40),ZI(40)	00043500
8	,Ds(40),FN(6,40),T(20,2)	00043600
C		00043700
C	COMMON/EXFCOF/FFKRE(2,6),FFKIE(2,6),FFKRO(2,6),FFKIO(2,6)	00043800
8	,FDRE(2,6),FDIE(2,6),FDRO(2,6),FDIO(2,6)	00043900
C		00044000
C	COMMON/XHULL/XS(20),DX(20),NOSTR,NOSS,ISTREF(20),XCB	00044100
C		00044200
C	COMMON/DYNPRE/PDR(6,40),PDI(6,40),PDRH(6,40),PDIH(6,40)	00044300
C		00044400
C	COMMON/CYLMOV/CYLCOD(2),ISUBM,METH	00044500
C		00044600
C	NS(1)=NP(NOSTR,1)-1	00044700
C	NS(2)=NP(NOSTR,2)-1	00044800
C		00044900
C	A RELAÇÃO DE HASKIND-NEWMAN APLICADA AOS POTENCIAIS DO MO	00045000
C	VIMENTO FORÇADO DE UM CORPO RÍGIDO FORNECE APENAS AS FORÇAS	00045100
C	EMPARELHADAS NA ESTRUTURA COMO UM TODO. AS FORÇAS EMPARELHA	00045200
C	DAS EM CADA CASCO SÃO IGUAIS POR DEFINIÇÃO. AS FORÇAS DE	00045300
C	SENTIDOS OPOSTOS SÃO IGUAIS EM MAGNITUDE, MAS ATUAM EM SENTI	00045400
C	DOS OPOSTOS.	00045500
C	DEFINE-SE O FATOR "FACR" PARA A DISTRIBUIÇÃO DAS FORÇAS EM	00045600
C	EMPARELHADAS E "FACH" PARA AS FORÇAS DE SENTIDOS OPOSTOS EM	00045700
C	CADA CASCO.	00045800
C	NO MÉTODO DE OGILVIE DEFINE-SE UM FATOR APROPRIADO FAC=-0.5	00045900
C	DEVIDO A DEFINIÇÃO DO VALOR MÉDIO SOBRE AMBOS OS CASCOS.	00046000
C		00046100
C	FACR=0.5	00046200
C	FACH=-0.5	00046300
C	IF(NHULL(NOSTR) .EQ. 1) FACR=1.	00046400
C		00046500
C		00046600





```

WRITE(6,170) GDIR,GDII,HDIR,HDII,DS(M)
170 FORMAT(19X,5E10.4)
180 CONTINUE
C
C   GDI = (GDIR,GDII) E EMPARELHADA PARA I=3,5 E DE SENTIDOS OPOSTOS
C           PARA I=2,4,6.
C   HDI = (HDIR,HDII) E EMPARELHADA PARA I=2,4,6 E DE SENTIDOS OPOSTOS
C           PARA I=3,5.
C
C   DEFINE AS COMPONENTES EMPARELHADAS E DE SENTIDOS OPOSTOS
C   DAS FORÇAS REAIS E IMAGINARIAS:
C
C   GO TO (200,300,200,300,200,300),I
C
C   I=1,3,5:
C
200  FDRE(1,I)=FDRE(1,I)+GDIR*DS(M)*FACR
    FDRO(1,I)=FDRO(1,I)+HDIR*DS(M)*FACH
    FDIE(1,I)=FDIE(1,I)+GDII*DS(M)*FACR
    FDIO(1,I)=FDIO(1,I)+HDII*DS(M)*FACH
    GO TO 500
C
C   I=2,4,6:
C
300  FDRE(1,I)=FDRE(1,I)+HDIR*DS(M)*FACR
    FDRO(1,I)=FDRO(1,I)+GDIR*DS(M)*FACH
    FDIE(1,I)=FDIE(1,I)+HDII*DS(M)*FACR
    FDIO(1,I)=FDIO(1,I)+GDII*DS(M)*FACH
C
C   500 CONTINUE
C
C   600 CONTINUE
C
C   SEGUNDO CASO:
C
C   IF(NHL .EQ. 1) GO TO 900
C   DO 700 I=1,6
C   FDRE(2,I)=FDRE(1,I)
C   FDIE(2,I)=FDIE(1,I)
C   FDRO(2,I)=-FDRO(1,I)
C   FDIO(2,I)=-FDIO(1,I)
700  CONTINUE
C
C   900 CONTINUE
    RETURN
    END

```

SE

```

=====
SUBROUTINE DISPRE (ICODE,IDEPTH,H,OM,WN)
C
C   ICODE = 1: DISPRE CALCULA O NUMERO DE ONDA(WN) QUANDO A
C           FREQUENCIA(OM) E DADA.
C   ICODE = 2: DISPRE CALCULA A FREQUENCIA (WN) QUANDO OM E
C           DADO.
C   AS QUANTIDADES SAO ADIMENSIONALISADAS COM O COMPRIMENTO CL:
C   NUMERO DE ONDA : WN=K*CL

```

```

C      FREQUENCIA: OM = OMEGA*SQRT(CL/G)                00058200
C      IDEPTH = 0: PROFUNDIDADE INFINITA.              00058300
C      IDEPTH = 1: PROFUNDIDADE FINITA(NAO UTILIZADA) 00058400
C      H      : ALTURA DA COLUNA D'AGUA(NAO UTILIZADA) 00058500
C      :                                               00058600
C      IF(ICODE .EQ. 2) GO TO 200                      00058700
C      :                                               00058800
C      :                                               00058900
C      WN = OM**2                                       00059000
C      GO TO 900                                        00059100
C      :                                               00059200
200    OM = SQRT(WN)                                    00059300
C      :                                               00059400
900    CONTINUE                                        00059500
      RETURN                                          00059600
      END                                            00059700

```

SE

```

=====
C      SUBROUTINE EXCFOR(WNML,OME,DIP)                00059800
C      SUBROTINA PRINCIPAL PARA O CALCULO DAS FORCAS DE EXCITACAO 00059900
C      :                                               00060000
C      COMMON/CONST/G,PI,TOPI,RHO,CL,TVOL          00060100
C      :                                               00060200
C      COMMON/HULGEO/NHULL(20),ISYM(20),NP(20,2),YC(20,2),ZC(20,2) 00060300
C      & ,YP(20,2,20),ZP(20,2,20),AKSI(40),ETA(40),YI(40),ZI(40) 00060400
C      & ,DL(40),EN(6,40),T(20,2)                  00060500
C      :                                               00060600
C      COMMON/XHULL/ST(20),DS(20),NOSTR,NOSS,ISTREF(20),XCB 00060700
C      :                                               00060800
C      COMMON/EXFCOF/FFKRE(2,6),FFKIE(2,6),FFKRO(2,6),FFKID(2,6) 00060900
C      & ,FDRE(2,6),FDIE(2,6),FDRO(2,6),FDIO(2,6) 00061000
C      :                                               00061100
C      COMMON/CYLMOV/CYLCOD(2),ISUBM,METH          00061200
C      :                                               00061300
C      COMMON/WAVDAT/NWN,WN,IDEPTH,H,BETA,FN       00061400
C      :                                               00061500
C      :                                               00061600
C      :                                               00061700
C      WNM=WNML*0.5                                   00061800
C      OM=OME/SQRT(2.)                                00061900
C      NHL=NHULL(NOSTR)                              00062000
C      :                                               00062100
C      DEFINE FATORES PARA FORCAS E MOMENTOS      00062200
C      :                                               00062300
C      EL=CL*0.5                                     00062400
C      TVOLD=TVOL*(EL**3.)                          00062500
C      FACF=EL**3./TVOLD                            00062600
C      FACF=FACF*2.                                  00062700
C      FACM=FACF/2.                                  00062800
C      :                                               00062900
C      LOOP SOBRE OS CASCOS:                        00063000
C      :                                               00063100
C      DO 100 K=1,NHL                               00063200
C      :                                               00063300
C      LOOP SOBRE OS MODOS DE MOVIMENTO:          00063400
C      :                                               00063500
C      DO 100 I=1,6                                 00063600

```

C		00063700
C	CALCULA AS FORCAS DE FROUDE-KRILOFF	00063800
C		00063900
	CALL FRUKRI (K,DIP,I,WNM,OM,IDEPTH,H,BETA, FN)	00064000
C		00064100
100	CONTINUE	00064200
C		00064300
C	CALCULA AS FORCAS DE DIFRACAO:	00064400
C		00064500
	DO 120 I=1,6	00064600
C		00064700
	CALL DIFFRA (DIP,I,WNM,OM,IDEPTH,H,BETA, FN)	00064800
C		00064900
120	CONTINUE	00065000
C		00065100
C		00065200
	FACF=FACF*DS(NOSTR)	00065300
	FACM=FACM*DS(NOSTR)	00065400
C		00065500
	DO 200 K=1,NHL	00065600
C		00065700
	DO 200 I=1,6	00065800
C		00065900
C	DEFINE FORCAS ADIMENSIONAIS:	00066000
C	COEFICIENTE PARA FORCA = FORCA/(MASSA*G*A/L)	00066100
C	COEFICIENTE PARA MOMENTO = MOMENTO/(MASSA*G*A)	00066200
C		00066300
	IF(I .GT. 3) GO TO 50	00066400
C		00066500
	FFKRE(K,I)=FFKRE(K,I)*FACF	00066600
	FFKRO(K,I)=FFKRO(K,I)*FACF	00066700
	FFKIE(K,I)=FFKIE(K,I)*FACF	00066800
	FFKIO(K,I)=FFKIO(K,I)*FACF	00066900
	FDRE(K,I)=FDRE(K,I)*FACF	00067000
	FDRO(K,I)=FDRO(K,I)*FACF	00067100
	FDIE(K,I)=FDIE(K,I)*FACF	00067200
	FDIO(K,I)=FDIO(K,I)*FACF	00067300
	GO TO 200	00067400
C		00067500
50	FFKRE(K,I)=FFKRE(K,I)*FACM	00067600
	FFKRO(K,I)=FFKRO(K,I)*FACM	00067700
	FFKIE(K,I)=FFKIE(K,I)*FACM	00067800
	FFKIO(K,I)=FFKIO(K,I)*FACM	00067900
	FDRE(K,I)=FDRE(K,I)*FACM	00068000
	FDRO(K,I)=FDRO(K,I)*FACM	00068100
	FDIE(K,I)=FDIE(K,I)*FACM	00068200
	FDIO(K,I)=FDIO(K,I)*FACM	00068300
C		00068400
C	FIM DO LOOP SOBRE OS CASCOS E GRAUS DE LIBERDADE	00068500
C		00068600
200	CONTINUE	00068700
C		00068800
	RETURN	00068900
	END	00069000

SE

=====

SUBROUTINE FINV4

00069100

C	DIMENSION NS(2)	00069200
C		00069300
C	COMMON/DMP/IDUMP	00069400
C		00069500
C	COMMON/CONST/G,PI,TOPI,RHO,CL,TVOL	00069600
C		00069700
C	COMMON/HULGEO/NHULL(20),ISYM(20),NP(20,2),YC(20,2),ZC(20,2)	00069800
C	& ,YP(20,2,20),ZP(20,2,20),X(40),Y(40),XX(40),YY(40),DS(40)	00069900
C	& ,EN(6,40),T(20,2)	00070000
C		00070100
C	COMMON/XHULL/ST(20),DX(20),NOSTR,NOSS,ISTFEF(20),XCB	00070200
C		00070300
C	COMMON/FREQIN/BLOG(72,72),YLOG(72,72),CSE(40),SNE(40)	00070400
C		00070500
C	CALCULA AS PARTES INDEPENDENTES DA FREQUENCIA DOS POTENCIAIS	00070600
C	PELO METODO DE POTASH	00070700
C		00070800
C	NS(1)=NP(NOSTR,1)-1	00070900
C	NS(2)=NP(NOSTR,2)-1	00071000
C	N1=NS(1)	00071100
C	N2=NS(2)	00071200
C	NON=N1+N2	00071300
C	PI2=TOPI	00071400
C		00071500
C	DPNL=0.	00071600
C	DCNL=0.	00071700
C	PPL=0.	00071800
C	PCL=0.	00071900
C		00072000
C	LOOP SOBRE OS SEGMENTOS	00072100
C		00072200
C	DO 10 I=1,NON	00072300
C		00072400
C	XM2=XX(I)-X(1)	00072500
C	YM2=YY(I)-Y(1)	00072600
C	YP2=YY(I)+Y(1)	00072700
C	FPR2=0.5*ALOG(XM2*XM2+YM2*YM2)	00072800
C	FPR2=0.5*ALOG(XM2*XM2+YP2*YP2)	00072900
C		00073000
C	LOOP SOBRE OS SEGMENTOS:	00073100
C		00073200
C	DO 10 J=1,NON	00073300
C		00073400
C	IF(J .GT. N1) GO TO 100	00073500
C		00073600
C	J .LE. N1 :	00073700
C		00073800
C	NN=1	00073900
C	GO TO 200	00074000
C		00074100
C	J .GT. N1 :	00074200
C		00074300
C	100 NN=2	00074400
C	NJ1=N1+1	00074500
C	IF(J .NE. NJ1) GO TO 200	00074600
C		00074700
C	J = N1+1 : SALTO NOS INDICES(PASSANDO DO CASCO 1 PARA O 2)	00074800
C		00074900
C	XM2=XX(I)-X(J+1)	00075000
C		00075100

```

      YM2=YY(I)-Y(J+1)
      YP2=YY(I)+Y(J+1)
      FPR2=0.5*ALOG(XM2*XM2+YM2*YM2)
      FCR2=0.5*ALOG(XM2*XM2+YP2*YP2)
C
200 CONTINUE
C
      XM1=XX(I)-X(J+NN)
      YM1=YY(I)-Y(J+NN)
      YP1=YY(I)+Y(J+NN)
C
      IF(IDUMP .LT. 3) GO TO 220
      WRITE(6,211) I,J,NJ1,NN,XX(I),YY(I),XM2,YM2,XM1,YM1,YP2,YP1
211 FORMAT(1X,'FINV4: ',4I3,2X,8E10.4)
220 CONTINUE
C
      FPR1=0.5*ALOG(XM1*XM1+YM1*YM1)
      FCR1=0.5*ALOG(XM1*XM1+YP1*YP1)
C
C
      CALCULO DO ANGULO ENTRE OS VETORES DAS EXTREMIDADES DO
      SEGMENTO NO J AO PONTO MEDIO DO SEGMENTO NO I:
C
C
      CALL ANGVEC (XM2,YM2,XM1,YM1,APR2,APR1,APGM2,ARGM1,DPNR)
C
      SE I = J DEFINE CONTRIBUICAO SINGULAR IGUAL A PI
C
      IF(I .EQ. J) DPNR=PI
C
      CALL ANGVEC (XM1,YP1,XM2,YP2,ACR1,ACR2,ARGP1,ARGP2,DCNR)
C
C
      I = J : TERMO DIAGONAL E AVALIADO ANALITICAMENTE
C
      IF(I .NE. J) GO TO 230
C
      PPR=-CSE(J)*(-XM1+XM2+XM1*FPR1-XM2*FPR2-YM1*APR1+YM2*APR2)
      1 -SNE(J)*(-YM1+YM2+XM1*APR1-XM2*APR2+YM1*FPR1-YM2*FPR2)
C
      PCR=-CSE(J)*(-XM1+XM2+XM1*FCR1-XM2*FCR2-YP1*ACR1+YP2*ACR2)
      1 -SNE(J)*(-YP1+YP2+XM1*ACR1+XM2*ACR2-YP1*FCR1+YP2*FCR2)
C
      GO TO 250
230 CONTINUE
C
      INTEGRACAO NUMERICA DE TERMOS LOGARITMICOS :
      (REGRA TRAPEZOICAL UTILIZADA NOS EXTREMOS E
      NO PONTO MEDIO DO SEGMENTO).
C
      HJX=DS(J)*CSE(J)*0.5
      HJX=ABS(HJX)
C
      XM3=XX(I)-XX(J)
      YM3=YY(I)-YY(J)
      YP3=YY(I)+YY(J)
C
      TESTE NO ANGULO DE INCLINACAO
C
      IF(CSE(J) .LT. 0.01) GO TO 240

```

C		00081200
C		00081300
	FPRX3=0.5*ALOG(XM3*XM3+YM3*YM3)	00081400
	FPRX1=FPR1	00081500
	FPRX2=FPR2	00081600
C		00081700
	TGA=SNE(J)/CSE(J)	00081800
	FAC=SQRT(1.+TGA**2)	00081900
C		00082000
	PPR = FAC*0.5*HJX*(FPRX2 + 2.*FPRX3 + FPRX1)	00082100
C		00082200
C		00082300
	FCRX3=0.5*ALOG(XM3*XM3+YP3*YP3)	00082400
	FCRX1=FCR1	00082500
	FCRX2=FCR2	00082600
C		00082700
C		00082800
	PCR = FAC*0.5*HJX*(FCRX2 + 2.*FCRX3 + FCRX1)	00082900
C		00083000
	GO TO 250	00083100
C		00083200
C	SEGMENTO VERTICAL:	00083300
C		00083400
240	HJY=DS(J)*0.5	00083500
	FPRY2=FPR2	00083600
	FPRY3=0.5*ALOG(XM3*XM3+YM3*YM3)	00083700
	FPRY1=FPR1	00083800
C		00083900
	PPR = 0.5*HJY*(FPRY2 + 2.*FPRY3 + FPRY1)	00084000
C		00084100
	FCRY2=FCR2	00084200
	FCRY3=0.5*ALOG(XM3*XM3+YP3*YP3)	00084300
	FCRY1=FCR1	00084400
C		00084500
	PCR = 0.5*HJY*(FCRY2 + 2.*FCRY3 + FCRY1)	00084600
C		00084700
250	CONTINUE	00084800
C		00084900
C	ARMAZENA TERMOS INDEPENDENTES DA FREQUENCIA:	00085000
C		00085100
	BLOG(I,J)=OPNR-DCNR	00085200
C		00085300
	YLOG(I,J)=PPR-PCR	00085400
C		00085500
C	PARAMETROS PARA TESTE (SE ESPECIFICADO):	00085600
C		00085700
	IF(IDUMP .LT. 3) GO TO 470	00085800
	WRITE(6,211) I,J,NJ1,NN,CSE(J),SNE(J),XM3,YM3,YP3,HJX,HJY	00085900
	WRITE(6,471) FPR2,FPR1,FCR2,FCR1,FPRX3,FPRX1,FPRY3,FPRY1	00086000
	&,PPR,PCR	00086100
471	FORMAT(1X,10E10,4)	00086200
470	CONTINUE	00086300
C		00086400
475	IF(J=NON)475,10,10	00086500
	XM2=XM1	00086600
	YM2=YM1	00086700
	YP2=YP1	00086800
	FPR2=FPR1	00086900
	FCR2=FCR1	00087000
	ACR2=ACR1	00087100

```

APR2=APR1
10 CONTINUE
IF(IDUMP .LT. 2) GO TO 999
DO 990 I=1,NON
WRITE(6,891) I
891 FORMAT(1X,'FINV4: I=',I3)
WRITE(6,991) (BLOG(I,J),J=1,NON)
991 FORMAT(1X,'FINV4: BLOG(I,J)= ',10E10.4)
990 CONTINUE
WRITE(6,996)
996 FORMAT(/)
DO 995 I=1,NON
WRITE(6,891) I
WRITE(6,992) (YLOG(I,J),J=1,NON)
992 FORMAT(1X,'FINV4: YLOG(I,J)= ',10E10.4)
995 CONTINUE
C
999 CONTINUE
C
RETURN
END

```

```

00087200
00087300
00087400
00087500
00087600
00087700
00087800
00087900
00088000
00088100
00088200
00088300
00088400
00088500
00088600
00088700
00088800
00088900
00089000
00089100
00089200

```

SE

```

=====
SUBROUTINE FRUKRI (K,DIP,I,WNM,OM,IDEPTH,H,BETA,FN)
C
C FRUKRI CALCULA A FORCA DE FROUDE-KRILOFF NO CASCO K,
C NA DIRECAO I.
C
C PARAMETROS DE ENTRADA: DIP = DISTANCIA DO PONTO MEDIO DA FAIXA
C AD L.C.H.
C WNM = NUMERO DE ONDA (FATOR DE ADIMENSIO-
C NALIZACAO-CL)
C OM = FREQUENCIA DA ONDA (FATOR DE ADIMEN-
C SIONALIZACAO-SQRT(CL/G))
C IDEPTH=0 : AGUAS PROFUNDAS
C =1 : AGUAS RASAS
C H = PROFUNDIDADE DA AGUA
C BETA = ANGULO DE INCIDENCIA
C FN = NUMERO DE FROUDE
C
C PARAMETROS DE SAIDA :FFKRI= PARTE REAL DA FORCA DE FROUDE-KRILOFF
C FFKI= PARTE IMAG DA FORCA DE FROUDE-KRILOFF
C
C COMMON/DMP/IDUMP
C
C COMMON/HULGEO/NHULL(20),ISYM(20),NP(20,2),YC(20,2),ZC(20,2)
C & ,YP(20,2,20),ZP(20,2,20),AKSI(40),ETA(40),YI(40),ZI(40)
C & ,DS(40),EN(6,40),T(20,2)
C
C COMMON/XHULL/XS(20),DX(20),NOSTR,NOSS,ISTRFF(20),XCB
C
C COMMON/EXFCOF/FFKRE(2,6),FFKIE(2,6),FFKRO(2,6),FFKIO(2,6)
C & ,FDRE(2,6),FDIE(2,6),FDRO(2,6),FDIO(2,6)
C
C CALCULO DA INTEGRAL SOBRE O CONTORNO DO CASCO:
C
C CBETA=cos(BETA)

```

```

00089300
00089400
00089500
00089600
00089700
00089800
00089900
00090000
00090100
00090200
00090300
00090400
00090500
00090600
00090700
00090800
00090900
00091000
00091100
00091200
00091300
00091400
00091500
00091600
00091700
00091800
00091900
00092000
00092100
00092200
00092300
00092400
00092500
00092600

```



```

C      SBETA=SIN(BETA)                                00092700
C      X=DIP                                          00092800
C      U=WNM*X*CBETA                                  00092900
C                                                    00093000
C      CALL INTEKZ (K,I,WNM,SBETA,CINT,SINT)         00093100
C                                                    00093200
C      COMPONENTES PROPORCIONAIS A CINT :            00093300
C      GIICC=COS(U)*CINT                              00093400
C      GIISC=SIN(U)*CINT                              00093500
C                                                    00093600
C      COMPONENTES PROPORCIONAIS A SINT :            00093700
C      HIICS= COS(U)*SINT                             00093800
C      HIISS=-SIN(U)*SINT                            00093900
C                                                    00094000
C      IF(IDUMP .LT. 1) GO TO 50                     00094100
C      WRITE(6,40) K,I,WNM,CBETA,SBETA,CINT,SINT,GIICC,GIISC,HIICS 00094200
C      & ,HIISS                                       00094300
C      40 FORMAT(/IX,'FRUKRI : ',2I3,9E10.4)         00094400
C      50 CONTINUE                                    00094500
C                                                    00094600
C      GII E EMPARELHADA PARA I=1,3,5 E DE SENTIDOS OPOSTOS PARA I=2,4,6 00094700
C      HII E EMPARELHADA PARA I=2,4,6 E DE SENTIDOS OPOSTOS PARA I=1,3,5 00094800
C      DEFINE AS COMPONENTES EMPARELHADAS E DE SENTIDOS OPOSTOS 00094900
C      DAS FORÇAS REAIS E IMAGINARIAS:              00095000
C      GO TO(100,200,100,200,100,200),I            00095100
C                                                    00095200
C      I = 1,3,5                                     00095300
C                                                    00095400
C      I = 1,3,5                                     00095500
C      100 FFKRE(K,I)=GIICC                            00095600
C      FFKRO(K,I)=HIISS                                00095700
C      FFKIE(K,I)=GIISC                               00095800
C      FFKIO(K,I)=HIICS                               00095900
C      GO TO 900                                      00096000
C      I = 2,4,6                                      00096100
C      200 FFKRE(K,I)=HIISS                            00096200
C      FFKRO(K,I)=GIICC                                00096300
C      FFKIE(K,I)=HIICS                               00096400
C      FFKIO(K,I)=GIISC                               00096500
C      900 CONTINUE                                    00096600
C      RETURN                                          00096700
C      END                                             00096800
C                                                    00096900
C                                                    00097000
C                                                    00097100
C                                                    00097200
C                                                    00097300
C                                                    00097400
C                                                    SE
=====
C      SUBROUTINE HLG407 (DIP)                          00097500
C      HLG407 DEFINE AS EXTREMIDADES E OS PONTOS MEDIOS DOS SEGMENTOS E 00097600
C      CALCULA OS SEUS COMPRIMENTOS E AS COMPONENTES DO VETOR NORMAL UNI- 00097700
C      TARIO (5 GRAUS DE LIBERDADE) PARA UM SUBELEMENTO TIPO CATAMARA. 00097800
C      OS COMPRIMENTOS SAO ADIMENSIONALIZADOS EM RELAÇAO A CL/2. 00097900
C      00098000
C      00098100

```

```

C      PARAMETROS DE ENTRADA: DIP = DISTANCIA DO SUBELEMENTO AO L.C.B. 00098200
C      00098300
C      00098400
C      00098500
COMMON/CONST/G,PI,TOPI,RHO,CL,TVOL 00098600
C      00098700
COMMON/HULLGEO/NHULL(20),ISYM(20),NP(20,2),YC(20,2),ZC(20,2) 00098800
& ,YP(20,2,20),ZP(20,2,20),AKSI(40),ETA(40),YI(40) 00098900
& ,ZI(40),DL(40),EN(6,40),T(20,2) 00099000
C      00099100
C      AKSI = ABSCISSAS DOS PONTOS DEFINIDORES (DO CASCO 1 AO CASCO 2) 00099200
C      ETA = ORDENADAS DOS PONTOS DEFINIDORES (DO CASCO 1 AO CASCO 2) 00099300
C      YI = ABSCISSAS DAS EXTREMIDADES DOS SEGMENTOS 00099400
C      ZI = ORDENADAS DAS EXTREMIDADES DOS SEGMENTOS 00099500
C      DL = COMPRIMENTO DOS SEGMENTOS 00099600
C      EN(6,N)=COMPONENTES DO VETOR NORMAL UNITARIO (5 GL). (POSITIVAS 00099700
C      PARA DENTRO DO CASCO) 00099800
C      T(2) = CALADO DOS CASCOS 00099900
C      00100000
COMMON/XHULL/ST(20),DS(20),K,NOSS,ISTREF(20),XCB 00100100
C      00100200
C      ST = POSICAO DAS FAIXAS 00100300
C      DS = COMPRIMENTO DAS FAIXAS 00100400
C      K = 'STRIP' EM PROCESSAMENTO (DEFINIDO EM SPT407) 00100500
C      NOSS = NUMERO TOTAL DE FAIXAS 00100600
C      ISTREF= VETOR QUE DEFINE FAIXAS IGUAIS 00100700
C      XCB = L.C.B. 00100800
C      00100900
DIMENSION NS(2) 00101000
C      00101100
C      00101200
COMMON/FREQIN/BLOG(72,72),YLOG(72,72),CSE(40),SNE(40) 00101300
C      00101400
C      DEFINE AS COORDENADAS NO SISTEMA GLOBAL E DIVIDE POR CL/2 : 00101500
C      00101600
NP1=NP(K,1) 00101700
NP2=NP(K,2) 00101800
EL=0.5*CL 00101900
C      00102000
DO 50 N=1,NP1 00102100
AKSI(N)=(YP(K,1,N)-YC(K,1))/EL 00102200
ETA(N) = ZP(K,1,N)/EL 00102300
CONTINUE 00102400
50 00102500
C      00102600
DO 100 N=1,NP2 00102700
M=NP1+N 00102800
AKSI(M)=(YP(K,2,N)+YC(K,2))/EL 00102900
ETA(M) = ZP(K,2,N)/EL 00103000
CONTINUE 00103100
C      00103200
C      DEFINE OS PONTOS MEDIOS DOS SEGMENTOS, COMPRIMENTOS E COMPONENTES 00103300
C      DO VETOR NORMAL UNITARIO: 00103400
C      00103500
NS(1)=NP(K,1)-1 00103600
NS(2)=NP(K,2)-1 00103700
NSEG=NS(1)+NS(2) 00103800
NS1=NS(1) 00103900
ZMAX1=0. 00104000
C      ZMAX2=0. 00104100

```

C	DO 200 N=1,NSEG	00104200
C	IF(N .GT. NS1) GO TO 150	00104300
C		00104400
C	CASCO NO. 1:	00104500
C		00104600
	YI(N)=0.5*(AKSI(N)+AKSI(N+1))	00104700
	ZI(N)=0.5*(ETA(N)+ETA(N+1))	00104800
	YM=AKSI(N+1)-AKSI(N)	00104900
	ZM=ETA(N+1)-ETA(N)	00105000
C		00105100
	ZABS=ABS(ZI(N))*EL	00105200
	ZMAX1=AMAX1(ZMAX1,ZABS)	00105300
C		00105400
	GO TO 160	00105500
C		00105600
C	CASCO NO. 2:	00105700
C		00105800
C	CONTINUE	00105900
150		00106000
	YI(N)=0.5*(AKSI(N+1)+AKSI(N+2))	00106100
	ZI(N)=0.5*(ETA(N+1)+ETA(N+2))	00106200
	YM=AKSI(N+2)-AKSI(N+1)	00106300
	ZM=ETA(N+2)-ETA(N+1)	00106400
C		00106500
	ZABS=ABS(ZI(N))*EL	00106600
	ZMAX2=AMAX1(ZMAX2,ZABS)	00106700
C		00106800
C	CONTINUE	00106900
160		00107000
C		00107100
C	MAXIMO CALADO:	00107200
C		00107300
	T(K,1)=ZMAX1	00107400
	T(K,2)=ZMAX2	00107500
C		00107600
C	COMPRIMENTO DO SEGMENTO:	00107700
C		00107800
	DL(N)=SQRT(YM*YM+ZM*ZM)	00107900
C		00108000
C	ANGULO DA TANGENTE EM (YI,ZI) = V:	00108100
C		00108200
	COSV=YM/DL(N)	00108300
	SINV=ZM/DL(N)	00108400
C		00108500
C	COMPONENTES DO VETOR NORMAL UNITARIO:	00108600
C		00108700
	EN(1,N)=0.	00108800
	EN(2,N)=-SINV	00108900
	EN(3,N)=COSV	00109000
	EN(4,N)=YI(N)*EN(3,N) - ZI(N)*EN(2,N)	00109100
	EN(5,N)=-DIP*EN(3,N)	00109200
	EN(6,N)=DIP*EN(2,N)	00109300
C		00109400
C	ANGULO DE INCLINACAO:	00109500
C		00109600
	SNE(N)=-EN(2,N)	00109700
	CSE(N)=EN(3,N)	00109800
C		00109900
200	CONTINUE	00110000
C		00110100

RETURN  
END

00110200  
00110300  
SE

```

=====
SUBROUTINE INTEKZ (K,I,WNM,SBETA,CINT,SINT)                                00110400
C                                                                           00110500
C   INTEKZ CALCULA UMA INTEGRAL DE LINHA NO CONTORNO DO CASCO NO. K      00110600
C                                                                           00110700
C   DIMENSION NS(2)                                                       00110800
C                                                                           00110900
C   COMMON/HULGEO/NHULL(20),ISYM(20),NP(20,2),YC(20,2),ZC(20,2)         00111000
&   ,Yp(20,2,20),Zp(20,2,20),AKSI(40),ETA(40),YI(40),ZI(40)           00111100
&   ,DS(40),EN(6,40),T(20,2)                                           00111200
C                                                                           00111300
C   COMMON/XHULL/ST(20),DX(20),NOSTR,NOSS,ISTREF(20),XCB                00111400
C                                                                           00111500
C   NS(1)=NP(NOSTR,1)-1                                                  00111600
C   NS(2)=NP(NOSTR,2)-1                                                  00111700
C   CINT=0.                                                                00111800
C   SINT=0.                                                                00111900
C                                                                           00112000
C   NSK=NS(K)                                                             00112100
C                                                                           00112200
C   DO 200 N=1,NSK                                                        00112300
C                                                                           00112400
C   IF(K.EQ.2) GO TO 120                                                  00112500
C                                                                           00112600
C   K = 1 :                                                                00112700
C                                                                           00112800
C   M=N                                                                    00112900
C   GO TO 150                                                             00113000
C                                                                           00113100
C   K = 2 :                                                                00113200
C                                                                           00113300
C   120 M=NS(1)+N                                                         00113400
C   150 CONTINUE                                                         00113500
C   EKZ=WNM*ZI(M)                                                         00113600
C   ARG=WNM*YI(M)*SBETA                                                  00113700
C   CINTEG=EXP(EKZ)*COS(ARG)*EN(I,M)*DS(M)                              00113800
C   SINTEG=EXP(EKZ)*SIN(ARG)*EN(I,M)*DS(M)                              00113900
C                                                                           00114000
C   CINT=CINT+CINTEG                                                     00114100
C   SINT=SINT+SINTEG                                                     00114200
C                                                                           00114300
C   200 CONTINUE                                                         00114400
C                                                                           00114500
C   RETURN                                                                00114600
C   END                                                                    00114700
=====

```

SE

```

=====
SUBROUTINE KAT407(NG,GXI,OMEN,NFR,NOK,HDR,BAM,MM,LL)
C

```

FO  
FO  
00114800  
00114900

```

C OBJETIVO: 00115000
C CALCULO DAS FORÇAS EXCITANTES EM ELEMENTOS 00115100
C DA ESTRUTURA TIPO CATAMARA PARA UMA FREQUENCIA. 00115200
C METODO: 00115300
C O CALCULO DAS FORÇAS EXCITANTES EMPARELHADAS E EM SENTIDOS 00115400
C OPOSTOS E AQUI EFETUADO PARA OS DOIS CASCOS RIGIDAMENTE 00115500
C CONECTADOS OU EM MOVIMENTOS EM OPOSICAO (T.F.OGILVIE). 00115600
C ARGUMENTOS - ENTRADA: 00115700
C NG NUMERO DA FREQUENCIA IMEDIATAMENTE ACIMA DE GXI 00115800
C GXI FREQUENCIA PARA O CALCULO DAS FORÇAS 00115900
C (OMEGA*SQRT(L/G)) 00116000
C OMEN(I) VETOR DE FREQUENCIAS PARA AS QUAIS AS PRESSOES 00116100
C SAO DISPONIVEIS 00116200
C (OMEGA*SQRT(L/2*G)) 00116300
C NFR NUMERO DE FREQUENCIAS PARA AS QUAIS AS PRESSOES SAO 00116400
C DISPONIVEIS 00116500
C NOK NUMERO TOTAL DE COMPRIMENTOS DE ONDA CONSIDERADOS 00116600
C HOR ANGULO DE INCLINACAO PRESENTE (RADIANOS) 00116700
C BAM COMPRIMENTO DE ONDA (LAMBDA/L) CORRESPONDENTE A GXI 00116800
C MM NUMERO DE SEQUENCIA DOS ANGULOS DE INCIDENCIA 00116900
C LL NUMERO DE SEQUENCIA DOS COMPRIMENTOS DE ONDA 00117000
C PERIFERICOS : 00117100
C LEITURA DOS ARQUIVOS DATRAN8 E DATRAN12 00117200
C ARGUMENTOS SAIDA : 00117300
C CEDE(I,K,J) COMPONENTE EMPARELHADA DA FORÇA DE DIFRACAO NA 00117400
C SECCAO I, CASCO K, DIRECAO J. 00117500
C CEDO(I,K,J) COMPONENTE OPOSTA DA FORÇA DE DIFRACAO NA 00117600
C SECCAO I, CASCO K, DIRECAO J. 00117700
C CEFE(I,K,J) COMPONENTE EMPARELHADA DA FORÇA DE FROUDE-KRILOFF 00117800
C NA SECCAO I, CASCO K, DIRECAO J. 00117900
C CEFO(I,K,J) COMPONENTE OPOSTA DA FORÇA DE FROUDE-KRILOFF NA 00118000
C SECCAO I, CASCO K, DIRECAO J. 00118100
C LIMITES: 00118200
C NUMERO MAXIMO DE SECCOES E 20. UMA FAIXA E COMPOSTA DE DOIS 00118300
C SUBELEMENTOS TIPO CATAMARA, UM DE BOMBORDO E OUTRO DE BORESTE. 00118400
C O NUMERO MAXIMO DE SUBELEMENTOS TIPO CATAMARA E PORTANTO 40. 00118500
C 00118600
C 00118700
C COMPLEX CEDE(20,2,6),CFDO(20,2,6) 00118800
C COMPLEX CEFE(20,2,6),CEFO(20,2,6) 00118900
C 00119000
C DIMENSION AR1(240),AR2(240),AT1(240),AT2(240) 00119100
C DIMENSION CSE(20,40),CSE1(40) 00119200
C DIMENSION AR3(240),AR4(240),AT3(240),AT4(240) 00119300
C DIMENSION DEL(20,40),DEL1(40) 00119400
C DIMENSION OMEN(1) 00119500
C DIMENSION SNE(20,40),SNE1(40) 00119600
C DIMENSION XX(20,40),XX1(40),YY(20,40),YY1(40) 00119700
C DIMENSION A11S(20,6,6),A22S(20,6,6),B11S(20,6,6),B22S(20,6,6) 00119800
C 00119900
C 00120000
C DATA ILP/6/ 00120100
C 00120200
C 00120300
C COMMON/DMP/IDUMP 00120400
C 00120500
C COMMON/CONST/G,PI,TOPI,RHO,CL,TVOL 00120600
C 00120700
C COMMON/HULGEO/NHULL(20),ISYM(20),NP(20,2),YC(20,2),ZC(20,2) 00120800
C B ,YP(20,2,20),ZP(20,2,20),AKSI(40),ETA(40),YI(40),ZI(40) 00120900

```

```

C      & ,DL(40),EN(6,40),T(20,2)                                00121000
C      COMMON/DYNPRE/PDR(6,40),PDI(6,40),PDRH(6,40),PDIH(6,40) 00121100
C      COMMON/HYDCOF/A11(6,6),A12(6,6),A21(6,6),A22(6,6)        00121200
C      & ,B11(6,6),B12(6,6),B21(6,6),B22(6,6)                  00121300
C      COMMON/EXFCOF/FFKRE(2,6),FFKIE(2,6),FFKRO(2,6),FFKID(2,6) 00121400
C      & ,FDRE(2,6),FDIE(2,6),FDRO(2,6),FDIO(2,6)              00121500
C      COMMON/HAVDAT/NWN,WN,IDEPTH,H,BETA,FN                    00121600
C      COMMON/CYLMOV/CYLCOD(2),ISUBM,METH                       00121700
C      COMMON/XHULL/ST(20),DS(20),NOSTR,NOSS,ISTREF(20),XCB     00121800
C      IMPRIME ENTRADA NA SUBROTINA KAT407                       00121900
C      IF(IDUMP.GT.0) WRITE(ILP,9900)                            00122000
C      IMPRIME PARAMETROS DE ENTRADA                             00122100
C      IF(IDUMP.GT.0) WRITE(ILP,9920)NG,GXI,NFR,NOK,HDR,        00122200
C      & BAM,MM,LL                                               00122300
C      PARAMETROS GERAIS                                        00122400
C      NOSHAL = NOSS                                           00122500
C      TPST = XCB                                              00122600
C      DEFINE DADOS DOS SEGMENTOS PARA CADA SECCAO            00122700
C      IPXX1 = 41                                               00122800
C      IPYY1 = 61                                               00122900
C      IPDEL1 = 81                                              00123000
C      IPSNE1 = 101                                             00123100
C      IPCSE1 = 121                                             00123200
C      DO 2100 K=1,NOSHAL                                       00123300
C      NON=NP(K,1)+NP(K,2)                                     00123400
C      LE DADOS DOS SEGMENTOS DO FILE 8                        00123500
C      READ(8=IPXX1 ,1113)(XX1 (II),II=1,40)                  00123600
C      READ(8=IPYY1 ,1113)(YY1 (II),II=1,40)                  00123700
C      READ(8=IPDEL1,1113)(DEL1(II),II=1,40)                  00123800
C      READ(8=IPSNE1,1113)(SNE1(II),II=1,40)                  00123900
C      READ(8=IPCSE1,1113)(CSE1(II),II=1,40)                  00124000
C      1113 FORMAT(40E10.4)                                     00124100
C      IPXX1 = IPXX1+1                                         00124200
C      IPYY1 = IPYY1+1                                         00124300
C      IPDEL1 = IPDEL1+1                                       00124400
C      IPXX1 = IPXX1+1                                         00124500
C      IPYY1 = IPYY1+1                                         00124600
C      IPDEL1 = IPDEL1+1                                       00124700
C      IPXX1 = IPXX1+1                                         00124800
C      IPYY1 = IPYY1+1                                         00124900
C      IPDEL1 = IPDEL1+1                                       00125000
C      IPXX1 = IPXX1+1                                         00125100
C      IPYY1 = IPYY1+1                                         00125200
C      IPDEL1 = IPDEL1+1                                       00125300
C      IPXX1 = IPXX1+1                                         00125400
C      IPYY1 = IPYY1+1                                         00125500
C      IPDEL1 = IPDEL1+1                                       00125600
C      IPXX1 = IPXX1+1                                         00125700
C      IPYY1 = IPYY1+1                                         00125800
C      IPDEL1 = IPDEL1+1                                       00125900
C      IPXX1 = IPXX1+1                                         00126000
C      IPYY1 = IPYY1+1                                         00126100
C      IPDEL1 = IPDEL1+1                                       00126200
C      IPXX1 = IPXX1+1                                         00126300
C      IPYY1 = IPYY1+1                                         00126400
C      IPDEL1 = IPDEL1+1                                       00126500
C      IPXX1 = IPXX1+1                                         00126600
C      IPYY1 = IPYY1+1                                         00126700
C      IPDEL1 = IPDEL1+1                                       00126800
C      IPXX1 = IPXX1+1                                         00126900

```

	IPSNE1= IPSNE1+1	00127000
	IPCSE1= IPCSE1+1	00127100
C		00127200
	DO 2100 J=1,NON	00127300
C		00127400
	XX(K,J)=XX1(J)	00127500
	YY(K,J)=YY1(J)	00127600
	DEL(K,J)=DEL1(J)	00127700
	SNE(K,J)=SNE1(J)	00127800
	CSE(K,J)=CSE1(J)	00127900
2100	CONTINUE	00128000
C		00128100
C	IMPRIME PARAMETROS GEOMETRICOS PARA CADA FAIXA	00128200
C		00128300
	IF(IDUMP.LT.2) GOTO 2900	00128400
	WRITE(ILP,9101)	00128500
	DO 2800 K=1,NOSHAL	00128600
	WRITE(ILP,9100)K,ST(K),DS(K)	00128700
2800	CONTINUE	00128800
C		00128900
	DO 2850 K=1,NOSHAL	00129000
	WRITE(ILP,9102) K	00129100
	NON=NP(K,1)+NP(K,2)-2	00129200
	DO 2850 J=1,NON	00129300
	WRITE(ILP,9103)J,XX(K,J),YY(K,J),DEL(K,J),SNE(K,J),CSE(K,J)	00129400
2850	CONTINUE	00129500
2900	CONTINUE	00129600
C		00129700
C		00129800
C		00129900
C	*****FORCAS DE EXCITACAO*****	00130000
C		00130100
	UN = 0.5 * GXI ** 2	00130200
	OGXI = GXI * SQRT(0.5)	00130300
	WN = TOPI / BAM / 2.	00130400
	WNL=WN*2.	00130500
	CDG = COS(HDR)	00130600
	SDG = SIN(HDR)	00130700
	DEL1=OMEN(NG)-OMEN(NG-1)	00130800
	DEL4 = UN * (OGXI - OMEN(NG-1)) / (OMEN(NG)**2 * DEL1)	00130900
	DEL5 = UN * (OMEN(NG) - OGXI) / (OMEN(NG-1)**2 * DEL1)	00131000
	DEL6 = OGXI * (OGXI - OMEN(NG-1)) / (OMEN(NG) * DEL1)	00131100
	DEL7 = OGXI * (OMEN(NG) - OGXI) / (OMEN(NG-1) * DEL1)	00131200
C		00131300
C	ARMAZENA DADOS NO COMMON 'WAVDAT'	00131400
C		00131500
	BETA=HDR	00131600
	FN=0.	00131700
C		00131800
C		00131900
C	LOOP SOBRE AS FAIXAS:	00132000
C		00132100
C	LE PRESSOES DO FILE 12:	00132200
C		00132300
C		00132400
C		00132500
	DO 4000 K=1,NOSHAL	00132600
C		00132700
	NS1=NP(K,1)-1	00132800
		00132900

```

NS2=NP(K,2)-1
NSEG=NS1+NS2
NON=NSEG
C
C
READ(12=(NG-2)*4+80*(K-1)+1,1114)(AR1(II),II=1,240)
READ(12=(NG-2)*4+80*(K-1)+2,1114)(AR2(II),II=1,240)
READ(12=(NG-2)*4+80*(K-1)+3,1114)(AR3(II),II=1,240)
READ(12=(NG-2)*4+80*(K-1)+4,1114)(AR4(II),II=1,240)
READ(12=(NG-1)*4+80*(K-1)+1,1114)(AT1(II),II=1,240)
READ(12=(NG-1)*4+80*(K-1)+2,1114)(AT2(II),II=1,240)
READ(12=(NG-1)*4+80*(K-1)+3,1114)(AT3(II),II=1,240)
READ(12=(NG-1)*4+80*(K-1)+4,1114)(AT4(II),II=1,240)
1114 FORMAT(240E10.4)
C
C
C
C
INTERPOLACAO NAU LINEAR APLICADA AS PRESSOES DE MODO A
CORRESPONDER A INTERPOLACAO LINEAR NOS COEFICIENTES DE
MASSA ADICIONADA E DE AMORTECIMENTO
C
DO 3100 I=1,6
C
C
CASCO DE BOMBORDO :
C
DO 3050 M=1,NS1
KM=(I-1)*NON+M
PDR(I,M) = AR1(KM) * DELT5 + AT1(KM) * DELT4
PDI(I,M) = AR2(KM) * DELT7 + AT2(KM) * DELT6
PDRH(I,M) = AR3(KM) * DELT5 + AT3(KM) * DELT4
PDIH(I,M) = AR4(KM) * DELT7 + AT4(KM) * DELT6
3050 CONTINUE
C
CASCO DE BORESTE :
C
DO 3060 M=1,NS2
MS1=NS1+M
KM=(I-1)*NON+MS1
PDR(I,MS1) = AR1(KM) * DELT5 + AT1(KM) * DELT4
PDI(I,MS1) = AR2(KM) * DELT7 + AT2(KM) * DELT6
PDRH(I,MS1) = AR3(KM) * DELT5 + AT3(KM) * DELT4
PDIH(I,MS1) = AR4(KM) * DELT7 + AT4(KM) * DELT6
3060 CONTINUE
3100 CONTINUE
C
C
IMPRIME PRESSOES
C
C
C
C
WRITE(ILP,9104) K
C
JJ=0
DO 3150 I = 1,2
NSI=NP(K,I)-1
DO 3150 J=1,NSI
JJ=JJ+1
WRITE(ILP,9105) J, (PDR(L, JJ),L=1,6), (PDI(L, JJ),L=1,6)
3150 CONTINUE
C
WRITE(ILP,9154) K
C

```

```

00133000
00133100
00133200
00133300
00133400
00133500
00133600
00133700
00133800
00133900
00134000
00134100
00134200
00134300
00134400
00134500
00134600
00134700
00134800
00134900
00135000
00135100
00135200
00135300
00135400
00135500
00135600
00135700
00135800
00135900
00136000
00136100
00136200
00136300
00136400
00136500
00136600
00136700
00136800
00136900
00137000
00137100
00137200
00137300
00137400
00137500
00137600
00137700
00137800
00137900
00138000
00138100
00138200
00138300
00138400
00138500
00138600
00138700
00138800
00138900

```



	JJ=0		
	DO 3155 I=1,2		00139000
	NSI=NP(K,I)-1		00139100
	DO 3155 J=1,NSI		00139200
	JJ=JJ+1		00139300
	WRITE(ILP,9105) J,(PDRH(L,JJ),L=1,6),(PDIH(L,JJ),L=1,6)		00139400
3155	CONTINUE		00139500
C			00139600
C			00139700
C	DIP = POSICAO LONGITUDINAL DA FAIXA EM RELACAO AO L.C.B.		00139800
C			00139900
	DIP=ST(K)-TPST		00140000
C			00140100
C			00140200
C	ARMAZENA DADOS GEOMETRICOS NOS BLOCOS COMMON		00140300
C			00140400
	DO 3350 J=1,NSEG		00140500
C			00140600
	YI(J) = XX(K,J)		00140700
	ZI(J) = YY(K,J)		00140800
	DL(J) = DEL(K,J)		00140900
	EN(1,J) = 0.		00141000
	EN(2,J) = -SNE(K,J)		00141100
	EN(3,J) = CSE(K,J)		00141200
	EN(4,J) = YI(J)*EN(3,J) - ZI(J)*EN(2,J)		00141300
	EN(5,J) = -DIP*EN(3,J)		00141400
	EN(6,J) = DIP*EN(2,J)		00141500
C			00141600
3350	CONTINUE		00141700
C			00141800
C	CALCULA OS COEFICIENTES DE MASSA ADICIONADA E DE AMORTECIMENTO:		00141900
C			00142000
	IF(IDUMP .GT. 0) GO TO 3356		00142100
	WRITE(ILP,9102) K		00142200
	DO 3355 J=1,NSEG		00142300
	WRITE(ILP,9103) J,YI(J),ZI(J),DL(J),SNE(K,J),CSE(K,J)		00142400
3355	CONTINUE		00142500
3356	CONTINUE		00142600
C			00142700
	NOSTR=K		00142800
	NOSS=NOSHAL		00142900
C			00143000
	CALL RADFO2 (WNL,GXI)		00143100
C			00143200
C	ARMAZENA COEFICIENTES PARA CADA SECCAO:		00143300
C			00143400
	DO 3320 I=1,6		00143500
	DO 3320 J=1,6		00143600
C			00143700
	A11S(K,I,J)=A11(I,J)		00143800
	A22S(K,I,J)=A22(I,J)		00143900
	B11S(K,I,J)=B11(I,J)		00144000
	B22S(K,I,J)=B22(I,J)		00144100
C			00144200
3320	CONTINUE		00144300
C			00144400
C			00144500
C			00144600
	WRITE(ILP,9922) K		00144700
	WRITE(ILP,9111)		00144800
			00144900



```

C
9100 FORMAT(3X,I2,8F10.4)
9101 FORMAT(3X,2H K,8X,2HST,8X,2HDS)
9102 FORMAT(3X,6HSTRIP ,I3/3X,2H J,8X,2HXX,8X,2HYY,7X,3HDEL,
& 7X,3HSNE,7X,3HCSE,7X)
9103 FORMAT(3X,I2,5F10.4)
9104 FORMAT(6H STRIP,I3/3H J ,3HPRR,6X,1H1,9X,1H2,9X,1H3,9X,1H4,
& 9X,1H5,9X,1H6,5H PRI,4X,1H1,9X,1H2,9X,1H3,9X,1H4,
& 9X,1H5,9X,1H6)
9105 FORMAT(6H STRIP,I3/3H J ,3HPRR,6X,1H1,9X,1H2,9X,1H3,9X,1H4,
& 9X,1H5,9X,1H6,5H PHI,4X,1H1,9X,1H2,9X,1H3,9X,1H4,
& 9X,1H5,9X,1H6)
9105 FORMAT(I3,12E10.3)
9107 FORMAT(I3,4(2E10.3,2X))
9106 FORMAT(9H STRIP I=,I3/3H J,5H CEDE,17X,4HCEDO,18X,4HCEFF,18X,
& 4HCEFO)
9111 FORMAT(6H I J,6X,1H1,9X,1H2,9X,1H3,9X,1H4,9X,1H5,9X,1H6,
& 12X,1H1,9X,1H2,9X,1H3,9X,1H4,9X,1H5,9X,1H6)
9112 FORMAT(I3,6F10.6,I3,6F10.6)
9900 FORMAT(/24H ENTRA SUBROTINA KAT407 )
9910 FORMAT ('DEIXA SUBROTINA KAT407')
9920 FORMAT(31H COM PARAMETROS DE ENTRADA: ,6H NG =,I3,
& 7H GXI =,F10.4,7H NFR =,I3,7H NOK =,I3,7H HDR =,F6.4,
& 7H BAM =,F7.4/7H MM =,I3,6H LL =,I3)
9922 FORMAT(7H FAIXA ,I3/9H DA(I,J),54X,9H DB(I,J))
C
RETURN
END

```

```

00151000
00151100
00151200
00151300
00151400
00151500
00151600
00151700
00151800
00151900
00152000
00152100
00152200
00152300
00152400
00152500
00152600
00152700
00152800
00152900
00153000
00153100
00153200
00153300
00153400
00153500
00153600
00153700

```

SE

=====

```

SUBROUTINE KERN3 (WNM,OM)
C
C
COMMON/DMP/IDUMP
C
COMMON/CONST/G,PI,TOPI,RHO,CL,TVOL
C
COMMON/HULGED/NHULL(20),ISYM(20),NP(20,2),YC(20,2),ZC(20,2)
& ,YP(20,2,20),ZP(20,2,20),X(40),Y(40),XX(40),YY(40),DL(40)
& ,EN(6,40),T(20,2)
C
COMMON/DYNPRE/PDR(6,40),PDI(6,40),PDRH(6,40),PDIH(6,40)
C
COMMON/CYLMOV/CYLCOD(2),ISUBM,METH
C
COMMON/XHULL/ST(20),DS(20),NOSTR,NOSS,ISTREF(20),XCB
C
COMMON/FREQIN/BLOG(72,72),YLOG(72,72),CSE(40),SNE(40)
C
DIMENSION CT1(72,72)
C
DIMENSION FR(2,40,6),D1(40),D2(40),B1(40),B2(40)
& ,PIL(2,80),FMR(2,80),ROU(2,80),CAV(2,80)
& ,X1(80),X2(80),X3(80),X4(80)
& ,B3(40),B4(40),D3(40),D4(40),NS(2)
C

```

```

FO
00153800
00153900
00154000
00154100
00154200
00154300
00154400
00154500
00154600
00154700
00154800
00154900
00155000
00155100
00155200
00155300
00155400
00155500
00155600
00155700
00155800
00155900
00156000
00156100
00156200
00156300

```

C	KERN3 AVALIA AS PRESSOES BIDIMENSIONAIS DE ACORDO COM O METODO	00156400
C	DE POTASH. SERA UTILIZADA POSTERIORMENTE PARA A AVALIACAO DA	00156500
C	MASSA ADICIONADA E DO AMORTECIMENTO	00156600
C		00156700
C		00156800
C		00156900
	IMP=6	00157000
	NS(1)=NP(NOSTR,1)-1	00157100
	NS(2)=NP(NOSTR,2)-1	00157200
	N1=NS(1)	00157300
	N2=NS(2)	00157400
	NON=N1+N2	00157500
C		00157600
C	DIP=ST(NOSTR) - XCB	00157700
		00157800
	NIK=2*NON	00157900
	PI2=TOPI	00158000
	EL=CL*0.5	00158100
C		00158200
C	UN = NUMERO DE ONDA K*(CL/2)	00158300
C		00158400
C	UN = WNM	00158500
		00158600
	UNMAX=99.	00158700
	WNCRIT=100.	00158800
C		00158900
C		00159000
	DPL=0.	00159100
	DWL=0.	00159200
	PPL=0.	00159300
	PWL=0.	00159400
C		00159500
C	GERA FATORES PARA OS CASCOS DE BOMBORDO E BORESTE DEPENDENDO	00159600
C	DO CODIGO DO MOVIMENTO DOS CILINDROS:	00159700
C		00159800
	FACYL1=0.	00159900
	IF(CYLCOD(1) .GT. 0.) FACYL1=1.	00160000
	FACYL2=0.	00160100
	IF(CYLCOD(2) .GT.0.) FACYL2=1.	00160200
C		00160300
C	SE METH .NE. 0, ENTAO UTILIZA O METODO DE OGILVIE DE MOVIMENTOS	00160400
C	EM OPOSICAO	00160500
C		00160600
	IF(METH .NE. 1) GO TO 1020	00160700
	FACYL1=-1.	00160800
1020	CONTINUE	00160900
C		00161000
C	TESTE DO NUMERO DE ONDA CRITICO PARA FREQUENCIAS IRREGULARES	00161100
C		00161200
	IF(UN - UNMAX)101,101,102	00161300
101	CONTINUE	00161400
C		00161500
C	SE O NUMERO DE ONDA ADIMENSIONAL (EM RELACAO AO CALADO) < 1 ,USA-	00161600
C	-SE O METODO DE POTASH ORIGINAL (SEM FREQUENCIAS IRREGULARES).	00161700
C		00161800
C	(Q1,Q2) = INTENSIDADE COMPLEXA DE FONTE NO CASCO NO. 1	00161900
C	(Q3,Q4) = INTENSIDADE COMPLEXA DE FONTE NO CASCO NO. 2	00162000
C	(GAM1,GAM2) = INTENSIDADE COMPLEXA DE VORTICE NO CASCO NO. 1	00162100
C	(GAM3,GAM4) = INTENSIDADE COMPLEXA DE VORTICE NO CASCO NO. 2	00162200
C		00162300

C	TMAX = MAXIMO CALADO	00162400
C	WNT = NUMERO DE ONDA ADIMENSIONALIZADO EM RELACAO AO CALADO MAX.	00162500
C	WNT < WNCRIT NAO HA A OCORRENCIA DE FREQUENCIAS IRREGULARES	00162600
C		00162700
	T1=T(NOSTR,1)	00162800
	T2=T(NOSTR,2)	00162900
	TMAX=AMAX1(T1,T2)	00163000
	WNT = UN*(TMAX/EL)	00163100
C		00163200
	IF(IDUMP .GE. 1) WRITE(6,2011) WNT	00163300
2011	FORMAT(/,1X,'NUMERO DE ONDA * CALADO MAXIMO = ',E10.4,/)	00163400
C		00163500
C		00163600
	IF(WNT .LE. WNCRIT) GO TO 20	00163700
C		00163800
C	CILINDROS TOTALMENTE SUBMERSOS: NAO HA FREQUENCIAS IRREGULARES	00163900
C		00164000
	IF(ISUBM .GT.0.) GO TO 20	00164100
C		00164200
	Q1=0.	00164300
	Q2=1.	00164400
	Q3=0.	00164500
	Q4=1.	00164600
	GAM1=0.	00164700
	GAM2=1.	00164800
	GAM3=0.	00164900
	GAM4=1.	00165000
	GO TO 25	00165100
C		00165200
20	Q1=0.	00165300
	Q2=0.	00165400
	Q3=0.	00165500
	Q4=0.	00165600
	GAM1=0.	00165700
	GAM2=0.	00165800
	GAM3=0.	00165900
	GAM4=0.	00166000
	GO TO 102	00166100
C		00166200
25	CONTINUE	00166300
C		00166400
C	CALCULO DA INTEGRAL=B (INDEPENDENTE DE I):	00166500
C		00166600
	AKSL02 = UN*(-YC(NOSTR,1)-X(1))	00166700
	AKSR02 = UN*( YC(NOSTR,2)-X(1))	00166800
	ETA02 = UN*Y(1)	00166900
	ETA02 = -ETA02	00167000
	CALL DAVID (AKSL02,ETA02,EJ02,CXL02,SXL02,RAL02,RBL02,CL02,SL02)	00167100
	CALL DAVID (AKSR02,ETA02,EJ02,CXR02,SXR02,RAR02,RBR02,CRO2,SR02)	00167200
C		00167300
C	LOOP SOBRE OS SEGMENTOS	00167400
C		00167500
	DO 99 J = 1,NON	00167600
C		00167700
	IF(J .GT. N1) GO TO 30	00167800
	NN=1	00167900
	GO TO 35	00168000
C		00168100
30	NN=2	00168200
	NJ1=N1+1	00168300

C	IF(J .GT. NJ1) GO TO 35	00168400
C	J = NI + 1 : SALTO NOS INDICES (PASSANDO DO CASCO 1 PARA 0 2)	00168500
C		00168600
	AKSL02= UN*(-YC(NOSTR,1)-X(J+1))	00168700
	AKSR02= UN*( YC(NOSTR,2)-X(J+1))	00168800
	ETA02=-UN*Y(J+1)	00168900
C		00169000
	CALL DAVID (AKSL02,ETA02,EJ02,CXL02,SXL02,RAL02,RBL02,CL02,SL02)	00169100
C	CALL DAVID (AKSR02,ETA02,EJ02,CXR02,SXR02,RAR02,RBR02,CR02,SR02)	00169200
		00169300
		00169400
35	CONTINUE	00169500
	AKSL01 = UN*(-YC(NOSTR,1)-X(J+NN))	00169600
	AKSR01 = UN*( YC(NOSTR,2)-X(J+NN))	00169700
	ETA01 = UN*Y(J+NN)	00169800
C		00169900
	ETA01 = -ETA01	00170000
C		00170100
	CALL DAVID (AKSL01,ETA01,EJ01,CXL01,SXL01,RAL01,RBL01,CL01,SL01)	00170200
C	CALL DAVID (AKSR01,ETA01,EJ01,CXR01,SXR01,RAR01,RBR01,CR01,SR01)	00170300
		00170400
	B1L = 2.*(SL02-SL01)	00170500
C	B1R = 2.*(SR02-SR01)	00170600
		00170700
	B2L = PI2*(EJ02*SXL02-EJ01*SXL01)	00170800
C	B2R = PI2*(EJ02*SXR02-EJ01*SXR01)	00170900
		00171000
	C1L = 2./UN*(SNE(J)*(RAL02-RAL01)+CSE(J)*(RBL02-RBL01))	00171100
C	C1R = 2./UN*(SNE(J)*(RAR02-RAR01)+CSE(J)*(RBR02-RBR01))	00171200
		00171300
	C2L = PI2*(EJ02*(SXL02*CSE(J)-CXL02*SNE(J))	00171400
	* -EJ01*(SXL01*CSE(J)-CXL01*SNE(J)))	00171500
	C2L = C2L/UN	00171600
	C2R = PI2*(EJ02*(SXR02*CSE(J)-CXR02*SNE(J))	00171700
	* -EJ01*(SXR01*CSE(J)-CXR01*SNE(J)))	00171800
C	C2R = C2R/UN	00171900
		00172000
	D1(J) = 2.*B1L	00172100
	D2(J) = 2.*B2L	00172200
	B1(J) = 2.*C1L	00172300
	B2(J) = 2.*C2L	00172400
	D3(J) = 2.*B1R	00172500
	D4(J) = 2.*B2R	00172600
	B3(J) = 2.*C1R	00172700
C	B4(J) = 2.*C2R	00172800
		00172900
	IF(IDUMP .LT. 3) GO TO 92	00173000
	WRITE(6,91) J,D1(J),D2(J),B1(J),B2(J)	00173100
91	FORMAT(IX,4HJ = ,I3,2X,8HD1,D2 = ,2E10.4,2X,8HB1,B2 = ,2E10.4)	00173200
92	CONTINUE	00173300
	IF(J = NON)95,99,99	00173400
95	EJ02 = EJ01	00173500
	CXR02 = CXR01	00173600
	SXR02 = SXR01	00173700
	RAR02 = RAR01	00173800
	RBR02 = RBR01	00173900
	CR02 = CR01	00174000
	SR02 = SR01	00174100
	CXL02 = CXL01	00174200
	SXL02 = SXL01	00174300

	RAL02 = RAL01	00174400
	RBL02 = RBL01	00174500
	CL02 = CL01	00174600
	SL02 = SL01	00174700
C		00174800
	99 CONTINUE	00174900
	102 CONTINUE	00175000
C		00175100
	NJ1=N1+1	00175200
C		00175300
C	LOOP EM I	00175400
C		00175500
	DO 1 I=1, NON	00175600
C		00175700
	IF (IDUMP .LT. 3) GO TO 993	00175800
	WRITE(6,991) I	00175900
	991 FORMAT(/1X, 'KERN3 : I = ', I2)	00176000
	993 CONTINUE	00176100
C		00176200
	NI=NON+I	00176300
C		00176400
	DO 1005 K=1,2	00176500
	PIL(K,I)=0.	00176600
	EMB(K,I)=0.	00176700
	ROU(K,I)=0.	00176800
	CAV(K,I)=0.	00176900
	PIL(K,NI)=0.	00177000
	EMB(K,NI)=0.	00177100
	ROU(K,NI)=0.	00177200
	CAV(K,NI)=0.	00177300
	1005 CONTINUE	00177400
C		00177500
	IF (UN - UNMAX) 1001, 105, 105	00177600
	1001 CONTINUE	00177700
C		00177800
C	FREQUENCIA ASSINTOTICA SE UN > UNMAX :	00177900
C		00178000
C		00178100
	XR2=UN*(XX(I)-X(1))	00178200
	YR2=UN*(YY(I)+Y(1))	00178300
	YR2 = -YR2	00178400
	CALL DAVID (XR2,YR2,EJ2,CXR2,SXR2,RAR2,RBR2,CR2,SR2)	00178500
C		00178600
	IF (WNT .LE. WNCRIT) GO TO 105	00178700
	IF (ISUBM .GT. 0.) GO TO 105	00178800
C		00178900
C	CALCULA A PARTE DEPENDENTE-I DA FUNCAO MODIFICADA DE GREEN:	00179000
C		00179100
	XI0 = UN*(XX(I)+YC(NOSTR,1))	00179200
	XI0 = UN*(XX(I)-YC(NOSTR,2))	00179300
	YI0 = UN*YY(I)	00179400
	YI0 = -YI0	00179500
C		00179600
	CALL DAVID (XI0,YI0,EJIO,CXLI0,SXLI0,RALIO,RBLIO,CLIO,SLIO)	00179700
	CALL DAVID (XI0,YI0,EJIO,CXRI0, SXRI0, RARIO, RBRI0, CRI0, SRI0)	00179800
C		00179900
C	PARTE SIMETRICA (FONTE) :	00180000
C		00180100
	G1I = 2.*CRI0	00180200
	G2I = PI2*EJIO*CXRI0	00180300

C	G2I = -G2I	00180400
		00180500
	G3I = 2.*CLIO	00180600
	G4I = PI2*EJIO*CXLIO	00180700
	G4I = -G4I	00180800
C		00180900
C	PARTE ANTISIMETRICA (VORTICE) :	00181000
C		00181100
	H1I = 2.*SRIO	00181200
	H2I = PI2*EJIO*SXRIO	00181300
	H2I = -H2I	00181400
C		00181500
	H3I = 2.*SLIO	00181600
	H4I = PI2*EJIO*SXLIO	00181700
	H4I = -H4I	00181800
C		00181900
C	TERMOS DEVIDOS A FONTE:	00182000
C		00182100
	C1I = Q1*G1I - Q2*G2I	00182200
	C2I = Q1*G2I + Q2*G1I	00182300
	C3I = Q3*G3I - Q4*G4I	00182400
	C4I = Q3*G4I + Q4*G3I	00182500
C		00182600
C	TERMOS DEVIDOS AO VORTICE:	00182700
C		00182800
	D1I = GAM1*H1I - GAM2*H2I	00182900
	D2I = GAM1*H2I + GAM2*H1I	00183000
	D3I = GAM3*H3I - GAM4*H4I	00183100
	D4I = GAM3*H4I + GAM4*H3I	00183200
C		00183300
	IF(IDUMP .LT. 3) GO TO 105	00183400
	WRITE(6,104) I,G1I,G2I,C1I,C2I	00183500
	104 FORMAT(/1X,4H1 = ,I4,2X,2X,6HG1I = ,E10.4,2X,6HG2I = ,E10.4	00183600
	* ,2X,6HC1I = ,E10.4,2X,6HC2I = ,E10.4)	00183700
	105 CONTINUE	00183800
C		00183900
C	LOOP EM J	00184000
C		00184100
	DO 1 J=1,NON	00184200
C		00184300
	IF(IDUMP .LT. 3) GO TO 3023	00184400
	WRITE(6,3021) J	00184500
	3021 FORMAT(1X,'KERN3 : J = ',I2)	00184600
	3023 CONTINUE	00184700
C		00184800
	IF(J .GT. N1) GO TO 3030	00184900
C		00185000
C	J .LE. N1 (INTEGRACAO NO CILINDRO 1)	00185100
C		00185200
	NN=1	00185300
C		00185400
C	CILINDRO 1 ESTA EM MOVIMENTO. O OUTRO ESTA FIXO.	00185500
C		00185600
	DO 3025 L=1,6	00185700
	FR(1,J,L)=EN(L,J)*OM*FACYL1	00185800
	FR(2,J,L)=0.	00185900
C	TESTE SE OS DOIS CILINDROS SAO RIGIDAMENTE CONECTADOS	00186000
	IF(CYLCOD(1) .GT. 1.) FR(2,J,L)=FR(1,J,L)	00186100
	3025 CONTINUE	00186200
	GO TO 3035	00186300



C		00186400
C	3030 CONTINUE	00186500
C		00186600
C	J > N1 (INTEGRACAO NO CILINDRO 2)	00186700
C		00186800
C	NN=2	00186900
C		00187000
C	CILINDRO 2 ESTA EM MOVIMENTO. O OUTRO ESTA FIXO.	00187100
C		00187200
C	DO 3032 L=1,6	00187300
C	FR(1,J,L)=0.	00187400
C	FR(2,J,L)=FN(L,J)*OM*FACYL2	00187500
C	TESTE SE OS DOIS CILINDROS SAO RIGIDAMENTE CONECTADOS	00187600
C	IF(CYLCOD(1) .GT. 1.) FR(1,J,L)=FR(2,J,L)	00187700
C	3032 CONTINUE	00187800
C		00187900
C	3033 CONTINUE	00188000
C	IF(J .GT. NJ1) GO TO 3035	00188100
C		00188200
C	J = N1 + 1 ; SALTO NOS INDICES (PASSANDO DO CASCO 1 PARA O 2)	00188300
C	CALCULA DADOS PARA O PUNTO INICIAL DO SEGMENTO ATUAL.	00188400
C		00188500
C	XR2=UN*(XX(I)-X(J+1))	00188600
C	YR2=-UN*(YY(I)+Y(J+1))	00188700
C		00188800
C	CALL DAVID (XR2,YR2,EJ2,CXR2,SXR2,RAR2,RBR2,CR2,SR2)	00188900
C		00189000
C	3035 CONTINUE	00189100
C		00189200
C	IF(IDUMP .LT. 3) GO TO 3036	00189300
C		00189400
C		00189500
C	DO 3037 K=1,2	00189600
C	WRITE(6,3038) K,J,(FR(K,J,L),L=1,6)	00189700
C	3038 FORMAT(1X,'KERN3 ; FR(',I2,',',I2,',',1-6)=' ,6E10.4)	00189800
C	3037 CONTINUE	00189900
C	3036 CONTINUE	00190000
C		00190100
C	NJ = NON+J	00190200
C		00190300
C	TESTE DA FREQUENCIA ASSINTOTICA	00190400
C		00190500
C	IF(UN - UNMAX)1004,1004,1003	00190600
C	1003 CONTINUE	00190700
C		00190800
C	CT1(I,J)=BLOG(I,J)	00190900
C		00191000
C	CONTRIBUICAO SINGULAR DOS TERMOS LOGARITMICOS QUANDO I = J:	00191100
C		00191200
C	IF(I .NE. J) GO TO 103	00191300
C	CT1(I,J) = CT1(I,J) - P12	00191400
C	103 CONTINUE	00191500
C		00191600
C	CT1(NI,NJ)=CT1(I,J)	00191700
C	CT1(I,NJ) = 0.	00191800
C	CT1(NI,J) = 0.	00191900
C	PIL(1,I) = PIL(1,I)+FR(1,J,3)*YLOG(I,J)	00192000
C	PIL(1,NI) = 0.	00192100
C	PIL(2,I)=PIL(2,I)+FR(2,J,3)*YLOG(I,J)	00192200
C	PIL(2,NI)=0.	00192300

	CAV(1,I) = CAV(1,I)+FR(1,J,1)*YLOG(I,J)	00192400
	CAV(1,NI) = 0.	00192500
	CAV(2,I) = CAV(2,I)+FR(2,J,1)*YLOG(I,J)	00192600
	CAV(2,NI) = 0.	00192700
	EMB(1,I)=EMB(1,I)+FR(1,J,2)*YLOG(I,J)	00192800
	EMB(1,NI)=0.	00192900
	EMB(2,I)=EMB(2,I)+FR(2,J,2)*YLOG(I,J)	00193000
	EMB(2,NI)=0.	00193100
	ROU(1,I)=ROU(1,I)+FR(1,J,4)*YLOG(I,J)	00193200
	ROU(1,NI)=0.	00193300
	ROU(2,I)=ROU(2,I)+FR(2,J,4)*YLOG(I,J)	00193400
	ROU(2,NI)=0.	00193500
C		00193600
	GO TO 1	00193700
C		00193800
	1004 CONTINUE	00193900
C		00194000
	IF(WNT .GT. WNCRIT) GO TO 1006	00194100
C		00194200
	NUMERO DE ONDA < WNCRIT USA-SE A FUNCAO DE GREEN ORIGINAL:	00194300
C		00194400
	109 CONTINUE	00194500
	DPCR=0.	00194600
	DWCR=0.	00194700
	PPCR=0.	00194800
	PWCR=0.	00194900
	DPDR=0.	00195000
	DWDR=0.	00195100
	PPDR=0.	00195200
	PWDR=0.	00195300
	DPCL=0.	00195400
	DWCL=0.	00195500
	PPCL=0.	00195600
	PWCL=0.	00195700
	DPDL=0.	00195800
	DWDL=0.	00195900
	PPDL=0.	00196000
	PWDL=0.	00196100
C		00196200
	GO TO 110	00196300
C		00196400
	NUMERO DE ONDA > WNCRIT USA-SE A FUNCAO DE GREEN MODIFICADA:	00196500
C		00196600
	1006 CONTINUE	00196700
C		00196800
	TOTALMENTE SUBMERSO ?	00196900
C		00197000
	IF(ISUBM .GT. 0.) GO TO 109	00197100
C		00197200
	DPC <sub>L</sub> = C1I*D1(J) - C2I*D2(J)	00197300
	DWCL = C1I*D2(J) + C2I*D1(J)	00197400
	PPCL = C1I*B1(J) - C2I*B2(J)	00197500
	PWCL = C1I*B2(J) + C2I*B1(J)	00197600
C		00197700
	DPD <sub>L</sub> = D1I*D1(J) - D2I*D2(J)	00197800
	DWDL = D1I*D2(J) + D2I*D1(J)	00197900
	PPDL = D1I*B1(J) - D2I*B2(J)	00198000
	PWDL = D1I*B2(J) + D2I*B1(J)	00198100
C		00198200
	DPCR = C3I*D3(J) - C4I*D4(J)	00198300

	DWCR = C3I*D4(J) + C4I*D3(J)	00198400
	PPCR = C3I*B3(J) - C4I*B4(J)	00198500
	PWCR = C3I*B4(J) + C4I*B3(J)	00198600
C		00198700
	DPDR = D3I*D3(J) - D4I*D4(J)	00198800
	DWDR = D3I*D4(J) + D4I*D3(J)	00198900
	PPDR = D3I*B3(J) - D4I*B4(J)	00199000
	PWDR = D3I*B4(J) + D4I*B3(J)	00199100
C		00199200
110	CONTINUE	00199300
	XR1=UN*(XX(I)-X(J+NN))	00199400
	YR1 =UN*(YY(I)+Y(J+NN))	00199500
	YR1 = -YR1	00199600
	CALL DAVID (XR1,YR1,EJ1,CXR1, SXR1, RAR1, RBR1, CR1, SR1)	00199700
C		00199800
	IF(IDUMP .LT. 3) GO TO 3050	00199900
	WRITE(6,3041) N1,NN,NJ1,XX(I),YY(I),XR2,YR2,XR1,YR1	00200000
3041	FORMAT(1X,'KERN3 : ',3I3,1X,6E10.4)	00200100
3050	CONTINUE	00200200
C		00200300
C		00200400
C	CALCULO DA INTEGRAL-I	00200500
C		00200600
	DPR=2.*(SR2-SR1)	00200700
	CT1(I,J)=BLOG(I,J)+DPR+DPL+DPCR+DPCL	00200800
C		00200900
C		00201000
	IF(I.NE.J) GO TO 3	00201100
	CT1(I,J)=CT1(I,J)-PI2	00201200
3	CT1(NI,NJ)=CT1(I,J)	00201300
C		00201400
C		00201500
C	CALCULO DA INTEGRAL-J	00201600
C		00201700
	DWR=PI2*(EJ2*SXR2-EJ1*SXR1)	00201800
C		00201900
	CT1(I,NJ)=DWR+DWL+DWCR+DWDL	00202000
C		00202100
C		00202200
	CT1(NI,J)=-CT1(I,NJ)	00202300
C		00202400
C	CALCULO DA INTEGRAL-K (SEGUNDO MEMBRO)	00202500
C		00202600
	PPR=2./UN*(SNE(J)*(RAR2-RAR1)+CSE(J)*(RBR2-RBR1))	00202700
C		00202800
	NHL=NHULL(NOSTR)	00202900
C		00203000
	DO 1008 K=1,NHL	00203100
C		00203200
	EMB(K,I)=EMB(K,I)+FR(K,J,2)*(YLOG(I,J)+PPR-PPL+PPDR+PPDL)	00203300
	PIL(K,I)=PIL(K,I)+FR(K,J,3)*(YLOG(I,J)+PPR+PPL+PPCR+PPCL)	00203400
	ROU(K,I)=ROU(K,I)+FR(K,J,4)*(YLOG(I,J)+PPR-PPL+PPDR+PPDL)	00203500
	CAV(K,I)=CAV(K,I)+FR(K,J,1)*(YLOG(I,J)+PPR+PPL+PPCR+PPCL)	00203600
C		00203700
1008	CONTINUE	00203800
C		00203900
C		00204000
C		00204100
C	CALCULO DA INTEGRAL-L (SEGUNDO MEMBRO)	00204200
C		00204300
	PWR=PI2*(EJ2*(SXR2*CSE(J)-CXR2*SNE(J))	

	1	- EJ1*(SXR1*CSE(J)-CXRI*SNE(J))	00204400
		PWR=PWR/UN	00204500
C			00204600
	DO	1009 K=1,NHL	00204700
C			00204800
		EMB(K,NI)=EMB(K,NI)-FR(K,J,2)*(PWR-PWL+PWDR+PWL)	00204900
		PIL(K,NI)=PIL(K,NI)-FR(K,J,3)*(PWR+PWL+PWCR+PWCL)	00205000
		ROU(K,NI)=ROU(K,NI)-FR(K,J,4)*(PWR-PWL+PWDR+PWL)	00205100
		CAV(K,NI)=CAV(K,NI)-FR(K,J,1)*(PWR+PWL+PWCR+PWCL)	00205200
C			00205300
	1009	CONTINUE	00205400
C			00205500
C			00205600
		IF(J-NON)2,1,1	00205700
	2	XR2=XR1	00205800
		YR2=YR1	00205900
		CXR2=CXR1	00206000
		SXR2=SXR1	00206100
		RAR2=RAR1	00206200
		RBR2=RBR1	00206300
		CR2=CR1	00206400
		SR2=SR1	00206500
		EJ2=EJ1	00206600
C			00206700
	1	CONTINUE	00206800
C			00206900
C			00207000
		K=1	00207100
C			00207200
		IF(IDUMP .LT. 2) GO TO 215	00207300
		DO 210 I = 1,NIK	00207400
		WRITE(6,203) I	00207500
	203	FORMAT(1X,4HI = ,I4)	00207600
		WRITE(6,206) (CT1(I,J),J=1,NIK)	00207700
	206	FORMAT(1X,5HCT1= ,10E10.4)	00207800
	210	CONTINUE	00207900
		WRITE(6,207) (PIL(1,I),I=1,NIK)	00208000
		WRITE(6,207) (PIL(2,I),I=1,NIK)	00208100
	207	FORMAT(1X,6HPIL = ,9X,10E10.4)	00208200
		WRITE(6,2070) (EMB(1,I),I=1,NIK)	00208300
		WRITE(6,2070) (EMB(2,I),I=1,NIK)	00208400
	2070	FORMAT(1X,6HEMB = ,9X,10E10.4)	00208500
		WRITE(6,2071) (ROU(1,I),I=1,NIK)	00208600
		WRITE(6,2071) (ROU(2,I),I=1,NIK)	00208700
	2071	FORMAT(1X,6HROU = ,9X,10E10.4)	00208800
	215	CONTINUE	00208900
C			00209000
C			00209100
	DO	1011 J=1,NIK	00209200
C			00209300
		X1(J)=CAV(K,J)	00209400
		X2(J)=EMB(K,J)	00209500
		X3(J)=PIL(K,J)	00209600
		X4(J)=ROU(K,J)	00209700
C			00209800
	1011	CONTINUE	00209900
C			00210000
C		SOLUCAO DOS SISTEMAS LINEARES:	00210100
C		HEAVE (PIL)	00210200
		CALL CHARPN(CT1,X3,NIK,1,KS)	00210300

	IF(KS.EQ.1) GO TO 100	00210400
C	SURGE (CAV)	00210500
	CALL CHARPN(CT1,X1,NIK,1,KS)	00210600
	IF(KS.EQ.1) GO TO 100	00210700
C	SWAY (EMB)	00210800
	CALL CHARPN(CT1,X2,NIK,1,KS)	00210900
	IF(KS.EQ.1) GO TO 100	00211000
C	ROLL (ROU)	00211100
	CALL CHARPN(CT1,X4,NIK,1,KS)	00211200
	IF(KS.EQ.1) GO TO 100	00211300
C		00211400
	IF(IDUMP .EQ. 0) GO TO 625	00211500
	WRITE(6,208) (X3(I),I=1,NIK)	00211600
	WRITE(6,209) (X2(I),I=1,NIK)	00211700
208	FORMAT(/,1X,'POTENCIAL DE ARFAGEM=',10E10.4)	00211800
209	FORMAT(/,1X,'POTENCIAL DE GUINADA=',10E10.4)	00211900
625	CONTINUE	00212000
C		00212100
C	GERA PRESSOES DINAMICAS	00212200
C		00212300
	DO 8 N=1,NON	00212400
C		00212500
	NI=NON+N	00212600
C		00212700
C	ARMAZENA POTENCIAIS PARA CILINDROS CONECTADOS RIGIDAMENTE OU	00212800
C	NAO, SEPARADAMENTE:	00212900
C		00213000
	IF(METH .EQ. 1) GO TO 7010	00213100
C		00213200
	PDR(1,N)=X1(N)	00213300
	PDI(1,N)=X1(NI)	00213400
	PDR(2,N)=X2(N)	00213500
	PDI(2,N)=X2(NI)	00213600
	PDR(3,N)=X3(N)	00213700
	PDI(3,N)=X3(NI)	00213800
	PDR(4,N)=X4(N)	00213900
	PDI(4,N)=X4(NI)	00214000
	PDR(5,N)=-DIP*PDR(3,N)	00214100
	PDR(6,N)=DIP*PDR(2,N)	00214200
	PDI(5,N)=-DIP*PDI(3,N)	00214300
	PDI(6,N)=DIP*PDI(2,N)	00214400
	GO TO 8	00214500
C		00214600
7010	PDRH(1,N)=X1(N)	00214700
	PDIH(1,N)=X1(NI)	00214800
	PDRH(2,N)=X2(N)	00214900
	PDIH(2,N)=X2(NI)	00215000
	PDRH(3,N)=X3(N)	00215100
	PDIH(3,N)=X3(NI)	00215200
	PDRH(4,N)=X4(N)	00215300
	PDIH(4,N)=X4(NI)	00215400
	PDRH(5,N)=-DIP*PDRH(3,N)	00215500
	PDRH(6,N)=DIP*PDRH(2,N)	00215600
	PDIH(5,N)=-DIP*PDIH(3,N)	00215700
	PDIH(6,N)=DIP*PDIH(2,N)	00215800
C		00215900
8	CONTINUE	00216000
C		00216100
	DO 7 N=1,NON	00216200
	DO 7 I=1,6	00216300

C	IF(METH.EQ.1) GO TO 7020	00216400
	PDR(I,N)=PDR(I,N)*OM	00216500
	POI(I,N)=POI(I,N)*OM	00216600
	GO TO 7	00216700
C		00216800
7020	PDRH(I,N)=PDRH(I,N)*OM	00216900
	POIH(I,N)=POIH(I,N)*OM	00217000
7	CONTINUE	00217100
	GO TO 9	00217200
C		00217300
100	WRITE(IMP,6000)	00217400
6000	FORMAT(1X,'DETERMINANTE DO SISTEMA E IGUAL A ZERO',/)	00217500
9	CONTINUE	00217600
C		00217700
C		00217800
C		00217900
C		00218000
	RETURN	00218100
	END	00218200

SE

```
=====
```

	SUBROUTINE NDWAVE(DIP,WNM,OM,IDEPTH,H,BETA,M,YM,ZM,GDIR,GDII	00218300
	& ,HDIR,HDII)	00218400
C		00218500
C	NDWAVE CALCULA A DERIVADA NORMAL DO POTENCIAL DE ONDA INCIDENTE	00218600
C	NOS PONTOS M DO CASCO. ESSA DERIVADA E SUBDIVIDIDA EM DUAS PARTES,	00218700
C	GDI E HDI, CORRESPONDENTES AS EXPRESSOES DO PAPER DE J. MATHISEN &	00218800
C	C.A.CARLSEN (1980). AS EXPRESSOES COMPLEXAS PARA GDI E HDI SAO	00218900
C	EXPLICITADAS AINDA NAS COMPONENTES REAIS (GDIR,HDIR) E IMAGI-	00219000
C	NARIAS (GDII,HDII).	00219100
C		00219200
C	COMMON/CONST/G,PI,TOPI,RHO,CL,TVOL	00219300
C		00219400
C	COMMON/HULGEO/NHULL(20),ISYM(20),NP(20,2),YC(20,2),ZC(20,2)	00219500
C	& ,YP(20,2,20),ZP(20,2,20),AKSI(40),ETA(40),YI(40),ZI(40)	00219600
C	& ,DS(40),EN(6,40),T(20,2)	00219700
C		00219800
C	COMMON/XHULL/XS(20),DX(20),NOSTR,NOSS,ISTREF(20),XCB	00219900
C		00220000
C	DEFINE O POTENCIAL DE ONDA INCIDENTE;	00220100
C		00220200
C		00220300
C	CBETA=COS(BETA)	00220400
C	SBETA=SIN(BETA)	00220500
C	ZMK=WNM*ZM	00220600
C	EKZ=EXP(ZMK)	00220700
C		00220800
C	X=DIP	00220900
C		00221000
C	U=WNM*X*CBETA	00221100
C	V=WNM*YM*SBETA	00221200
C		00221300
C	FAC=(G/OM)*EKZ	00221400
C		00221500
C	ULTIMA LETRA 'C' = TERMOS PROPORCIONAIS A COS(V)	00221600
C	ULTIMA LETRA 'S' = TERMOS PROPORCIONAIS A SIN(V)	00221700
C		00221800

```

FHISC= FAC*SIN(U)*COS(V)      00221900
FHICS= FAC*COS(U)*SIN(V)     00222000
FHICC=-FAC*COS(U)*COS(V)    00222100
FHISS= FAC*SIN(U)*SIN(V)    00222200
C      00222300
C      00222400
C      00222500
CALCULA A COMPONENTE NORMAL DA VELOCIDADE DAS PARTICULAS D'AGUA
GDIR =WNM*(EN(3,M)*FHISC-EN(2,M)*SBETA*FHISS) 00222600
HDIR =WNM*(EN(3,M)*FHICS-EN(2,M)*SBETA*FHICC) 00222700
GDII =WNM*(EN(2,M)*SBETA*FHICS+EN(3,M)*FHICC) 00222800
HDII =WNM*(EN(2,M)*SBETA*FHISC+EN(3,M)*FHISS) 00222900
C      00223000
RETURN      00223100
END      00223200

```

SE

```

=====
SUBROUTINE RADFOR (WNML,OME,NF,IPRES)      00223300
C      00223400
C      00223500
RADFOR CALCULA AS FORÇAS DE RADIAÇÃO (COEFICIENTES DE MASSA ADI-
C      00223600
C      00223700
C      00223800
C      00223900
C      00224000
C      00224100
C      00224200
C      00224300
C      00224400
C      00224500
C      00224600
C      00224700
C      00224800
COMMON/DMP/IDUMP
COMMON/CONST/G,PI,TOPI,RHO,CL,TVOL
C      00224900
C      00225000
COMMON/HULGEO/NHULL(20),ISYM(20),NP(20,2),YC(20,2),ZC(20,2)
& ,YP(20,2,20),ZP(20,2,20),AKSI(40),ETA(40),YI(40),ZI(40),DL(40)
& ,EN(6,40),T(20,2)      00225100
C      00225200
C      00225300
COMMON/XHULL/ST(20),DS(20),NOSTR,NOSS,ISTREF(20),XCB
C      00225400
C      00225500
COMMON/HYDCOF/A11(6,6),A12(6,6),A21(6,6),A22(6,6)
& ,B11(6,6),B12(6,6),B21(6,6),B22(6,6)      00225600
C      00225700
COMMON/DYNPRE/PDR(6,40),PDI(6,40),PDRH(6,40),PDIH(6,40)
C      00225800
C      00225900
COMMON/CYLMOV/CYLCOD(2),ISUBM,METH
C      00226000
C      00226100
C      00226200
C      00226300
C      00226400
C      00226500
C      00226600
C      00226700
C      00226800
C      00226900
C      00227000
C      00227100
C      00227200
C      00227300
REDEFINE FREQUENCIA E NUMERO DE ONDA COM O COMPRIMENTO CL/2
OM=OME/SQRT(2.)
WNM=WNML*0.5
IF(IPRES .EQ. 1) GO TO 50
CALCULO DAS PRESSOES DE RADIAÇÃO
CALL UOPOT (WNM,OM,NF)
50 CONTINUE

```





C			00233400
	IF(I .LT. 4 .AND. J .GE. 4) GO TO 160		00233500
	IF(I .GE. 4 .AND. J .LT. 4) GO TO 160		00233600
C	(I,J) = 1,2,3 OU (I,J) = 4,5,6 :		00233700
	IF(I .GE. 4 .AND. J .GE. 4) GO TO 155		00233800
C	(I,J) = 1,2,3 :		00233900
C			00234000
	A11(I,J) = A11(I,J)*FACA12		00234100
	B11(I,J) = B11(I,J)*FACB12		00234200
C			00234300
	GO TO 200		00234400
C	(I,J) = 4,5,6 :		00234500
C			00234600
155	A11(I,J) = A11(I,J)*FACA14		00234700
	B11(I,J) = B11(I,J)*FACB14		00234800
C			00234900
	GO TO 200		00235000
C	I = 1,2,3 E J = 4,5,6 OU I = 4,5,6 E J = 1,2,3 :		00235100
160	A11(I,J) = A11(I,J)*FACA13		00235200
	B11(I,J) = B11(I,J)*FACB13		00235300
C			00235400
200	CONTINUE		00235500
C			00235600
C	CASCO NO 2 : K = L = 2		00235700
C			00235800
C			00235900
C	LOOP SOBRE OS MODOS DE MOVIMENTO		00236000
C			00236100
	DO 400 I = 1,6		00236200
	DO 400 J = 1,6		00236300
C			00236400
C	LOOP NOS SEGMENTOS		00236500
C			00236600
	DO 350 N = NS1,NS2		00236700
C			00236800
	A22(I,J) = A22(I,J) + PDR(I,N)*EN(J,N)*DL(N)/OM**2		00236900
C			00237000
	B22(I,J) = B22(I,J) + PDI(I,N)*EN(J,N)*DL(N)/OM		00237100
C			00237200
350	CONTINUE		00237300
C			00237400
	A22(I,J) = A22(I,J)*DS(NOSTR)		00237500
	B22(I,J) = B22(I,J)*DS(NOSTR)		00237600
C			00237700
	IF(I .LT. 4 .AND. J .GE. 4) GO TO 360		00237800
	IF(I .GE. 4 .AND. J .LT. 4) GO TO 360		00237900
C	(I,J) = 1,2,3 OU (I,J) = 4,5,6 :		00238000
	IF(I .GE. 4 .AND. J .GE. 4) GO TO 355		00238100
C	(I,J) = 1,2,3 :		00238200
C			00238300
	A22(I,J) = A22(I,J)*FACA22		00238400
	B22(I,J) = B22(I,J)*FACB22		00238500
C			00238600
	GO TO 400		00238700
C	(I,J) = 4,5,6 :		00238800
C			00238900
355	A22(I,J) = A22(I,J)*FACA24		00239000
	B22(I,J) = B22(I,J)*FACB24		00239100
C			00239200
	GO TO 400		00239300

```

C      I = 1,2,3 E J = 4,5,6 OU I = 4,5,6 E J = 1,2,3      00239400
360  A22(I,J) = A22(I,J)*FACA23      00239500
      B22(I,J) = B22(I,J)*FACB23      00239600
C                                          00239700
C      400 CONTINUE      00239800
C                                          00239900
C                                          00240000
C      FIM DOS CALCULOS. RETORNA A SPT407.      00240100
C                                          00240200
C      RETURN      00240300
C      END      00240400

```

SE

```

=====
C      SUBROUTINE RADFO2 (WNML,OME)      00240500
C                                          00240600
C      RADFOR CALCULA AS FORÇAS DE RADIAÇÃO (COEFICIENTES DE MASSA ADI-      00240700
C      CIONADA E DE AMORTECIMENTO) PARA UMA DADA SECCAO.      00240800
C      AS PRESSOES DEVEM TER SIDO CALCULADAS PREVIAMENTE. RADFO2 SOMENTE      00240900
C      EFETUA A INTEGRAÇÃO DAS MESMAS.      00241000
C                                          00241100
C      VARIÁVEIS DE ENTRADA: OME = FREQUENCIA DE OSCILAÇÃO*SQRT(CL/G)      00241200
C      WNML = NUMERO DE ONDA*CL      00241300
C                                          00241400
C                                          00241500
C      COMMON/DMP/IDUMP      00241600
C                                          00241700
C      COMMON/CONST/G,PI,TOPI,RHO,CL,TVOL      00241800
C                                          00241900
C      COMMON/HULGED/NHULL(20),ISYM(20),NP(20,2),YC(20,2),ZC(20,2)      00242000
C      &,YP(20,2,20),ZP(20,2,20),AKSI(40),ETA(40),YI(40),ZI(40),DL(40)      00242100
C      &,EN(6,40),T(20,2)      00242200
C                                          00242300
C      COMMON/XHULL/ST(20),DS(20),NOSTR,NOSS,ISTREF(20),XCB      00242400
C                                          00242500
C      COMMON/HYDCOF/A11(6,6),A12(6,6),A21(6,6),A22(6,6)      00242600
C      &,B11(6,6),B12(6,6),B21(6,6),B22(6,6)      00242700
C                                          00242800
C      COMMON/DYNPRE/PDR(6,40),PDI(6,40),PDRH(6,40),PDIH(6,40)      00242900
C                                          00243000
C      COMMON/CYLMOV/CYLCOD(2),ISUBM,METH      00243100
C                                          00243200
C      REDEFINE FREQUENCIA E NUMERO DE ONDA COM O COMPRIMENTO CL/2      00243300
C                                          00243400
C      OM=OME/SQRT(2.)      00243500
C      WNM=WNML*0.5      00243600
C                                          00243700
C                                          00243800
C      CALCULO DAS FORÇAS HIDRODINAMICAS (PARTES REAL E IMAGINARIA) E      00243900
C      MASSA ADICIONADA E AMORTECIMENTO.      00244000
C      CASCO NO. 1 :      00244100
C                                          00244200
C      K = 1,L = 1      00244300
C                                          00244400
C      DO 100 I=1,6      00244500
C      DO 100 J=1,6      00244600
C      A11(I,J)=0.      00244700
C      A12(I,J)=0.      00244800

```

```

A21(I,J)=0.          00244900
A22(I,J)=0.          00245000
B11(I,J)=0.          00245100
B12(I,J)=0.          00245200
B21(I,J)=0.          00245300
B22(I,J)=0.          00245400
100 CONTINUE          00245500
C                      00245600
C                      00245700
C  DEFINE FATORES UTILIZADOS NA ADIMENSIONALIZACAO DOS COEFICIENTES
C  DE MASSA ADICIONADA E DE AMORTECIMENTO.          00245800
C                      00245900
EL=CL*0.5            00246000
TVOLD = TVOL*(EL**3.) 00246100
FACA12 = EL**3/TVOLD  00246200
FACA13 = FACA12/2.    00246300
FACA14 = FACA12/4.    00246400
FACA22 = FACA12        00246500
FACA23 = FACA13        00246600
FACA24 = FACA14        00246700
C                      00246800
FACB12 = FACA12*SQRT(2.) 00246900
FACB13 = FACB12/2.    00247000
FACB14 = FACB12/4.    00247100
FACB22 = FACB12        00247200
FACB23 = FACB13        00247300
FACB24 = FACB14        00247400
C                      00247500
NSEG1 = NP(NOSTR,1)-1 00247600
NSEG2 = NP(NOSTR,2)-1 00247700
NS1=NSEG1+1           00247800
NS2=NSEG1+NSEG2       00247900
C                      00248000
IF(IDUMP .EQ. 0) GO TO 120
WRITE(6,111) EL,TVOLD,NSEG1,NSEG2,NS1,NS2,OM
111 FORMAT(/,1X,'RADFO2: EL,TVOLD,NSEG1,NSEG2,NS1,NS2,OM=',
& 2E10.4,4I4,F7.3) 00248100
DO 115 I=1,6           00248200
C                      00248300
WRITE(6,112) I         00248400
112 FORMAT(1X,'I=',I3) 00248500
WRITE(6,113) (PDR(I,N),N=1,NS2) 00248600
113 FORMAT(1X,'PDR=',10E10.4) 00248700
WRITE(6,114) (PDI(I,N),N=1,NS2) 00248800
114 FORMAT(1X,'PDI=',10E10.4) 00248900
115 CONTINUE           00249000
C                      00249100
DO 118 I=2,4           00249200
WRITE(6,112) I         00249300
WRITE(6,116) (EN(I,N),N=1,NS2) 00249400
116 FORMAT(1X,'EN=',10E10.4) 00249500
118 CONTINUE           00249600
WRITE(6,119) (DL(N),N=1,NS2) 00249700
119 FORMAT(1X,'DL=',10E10.4) 00249800
120 CONTINUE           00249900
C                      00250000
C                      00250100
C                      00250200
C                      00250300
C  LOOP SOBRE OS MODOS DE MOVIMENTO          00250400
C                      00250500
C                      00250600
DO 200 I = 1,6        00250700
DO 200 J = 1,6        00250800

```

C		00250900
C	LOOP NOS SEGMENTOS	00251000
C		00251100
C	DO 150 N = 1,NSEG1	00251200
C		00251300
C	A11(I,J) = A11(I,J) + PDR(I,N)*EN(J,N)*DL(N)/OM**2	00251400
C		00251500
C	B11(I,J) = B11(I,J) + PDI(I,N)*EN(J,N)*DL(N)/OM	00251600
C		00251700
C	150 CONTINUE	00251800
C		00251900
C	A11(I,J) = A11(I,J)*DS(NOSTR)	00252000
C	B11(I,J) = B11(I,J)*DS(NOSTR)	00252100
C		00252200
C	IF(I .LT. 4 .AND. J .GE. 4) GO TO 100	00252300
C	IF(I .GE. 4 .AND. J .LT. 4) GO TO 100	00252400
C	(I,J) = 1,2,3 OU (I,J) = 4,5,6 :	00252500
C	IF(I .GE. 4 .AND. J .GE. 4) GO TO 155	00252600
C	(I,J) = 1,2,3 :	00252700
C		00252800
C	A11(I,J) = A11(I,J)*FACA12	00252900
C	B11(I,J) = B11(I,J)*FACB12	00253000
C		00253100
C	GO TO 200	00253200
C	(I,J) = 4,5,6 :	00253300
C		00253400
C	155 A11(I,J) = A11(I,J)*FACA14	00253500
C	B11(I,J) = B11(I,J)*FACB14	00253600
C		00253700
C	GO TO 200	00253800
C	I = 1,2,3 E J = 4,5,6 OU I = 4,5,6 E J = 1,2,3 :	00253900
C	160 A11(I,J) = A11(I,J)*FACA13	00254000
C	B11(I,J) = B11(I,J)*FACB13	00254100
C		00254200
C	200 CONTINUE	00254300
C		00254400
C	CASCO NO 2 : K = L = 2	00254500
C		00254600
C		00254700
C	LOOP SOBRE OS MODOS DE MOVIMENTO	00254800
C		00254900
C	DO 400 I = 1,6	00255000
C	DO 400 J = 1,6	00255100
C		00255200
C	LOOP NOS SEGMENTOS	00255300
C		00255400
C	DO 350 N = NS1,NS2	00255500
C		00255600
C	A22(I,J) = A22(I,J) + PDR(I,N)*EN(J,N)*DL(N)/OM**2	00255700
C		00255800
C	B22(I,J) = B22(I,J) + PDI(I,N)*EN(J,N)*DL(N)/OM	00255900
C		00256000
C	350 CONTINUE	00256100
C		00256200
C	A22(I,J) = A22(I,J)*DS(NOSTR)	00256300
C	B22(I,J) = B22(I,J)*DS(NOSTR)	00256400
C		00256500
C	IF(I .LT. 4 .AND. J .GE. 4) GO TO 360	00256600
C	IF(I .GE. 4 .AND. J .LT. 4) GO TO 360	00256700
C	(I,J) = 1,2,3 OU (I,J) = 4,5,6 :	00256800

```

C      IF(I .GE. 4 .AND. J .GE. 4)GO TO 355          00256900
C      (I,J) = 1,2,3 :                               00257000
C      A22(I,J) = A22(I,J)*FACA22                   00257100
C      B22(I,J) = B22(I,J)*FACB22                   00257200
C      GO TO 400                                     00257300
C      (I,J) = 4,5,6 :                               00257400
C      GO TO 400                                     00257500
C      (I,J) = 4,5,6 :                               00257600
C      355 A22(I,J) = A22(I,J)*FACA24                00257700
C      B22(I,J) = B22(I,J)*FACB24                   00257800
C      GO TO 400                                     00257900
C      GO TO 400                                     00258000
C      I = 1,2,3 E J = 4,5,6 OU I = 4,5,6 E J = 1,2,3 00258100
C      360 A22(I,J) = A22(I,J)*FACA23                00258200
C      B22(I,J) = B22(I,J)*FACB23                   00258300
C      400 CONTINUE                                  00258400
C      400 CONTINUE                                  00258500
C      400 CONTINUE                                  00258600
C      400 CONTINUE                                  00258700
C      400 CONTINUE                                  00258800
C      400 CONTINUE                                  00258900
C      400 CONTINUE                                  00259000
C      IF(IDUMP .EQ. 0) GO TO 900                    00259100
C      WRITE(6,401)                                   00259200
C      401 FORMAT(/,1X,'I   A11(I,J),J=1,6   B11(I,J),J=1,6 ') 00259300
C      DO 500 I=1,6                                   00259400
C      WRITE(6,411) I,(A11(I,J),J=1,6),I,(B11(I,J),J=1,6) 00259500
C      411 FORMAT(1X,I2,6F10.6,I2,6F10.6)            00259600
C      500 CONTINUE                                  00259700
C      500 CONTINUE                                  00259800
C      500 CONTINUE                                  00259900
C      FIM DOS CALCULOS. RETORNA A SPT407.           00260000
C      900 CONTINUE                                  00260100
C      RETURN                                         00260200
C      END                                             00260300

```

SE

=====

```

C      SUBROUTINE SPT407(NFR,OMIN,OMAX)                FO
C      FO                                             00260400
C      00260500
C      00260600
C      00260700
C      00260800
C      00260900
C      00261000
C      00261100
C      00261200
C      00261300
C      DIMENSION AR1(240),AR2(240),AR3(240),AR4(240),A(200),B(200) 00261400
C      DIMENSION ALFA(20,10),BETA(20,10),OMEN(20),NS(2) 00261500
C      00261600
C      00261700
C      COMMON/DMP/IDUMP                                00261800
C      00261900
C      COMMON/CONST/G,PI,TOPI,RHO,CL,TVOL            00262000
C      00262100

```

	COMMON/HULGEO/NHULL(20),ISYM(20),NP(20,2),YC(20,2)	00262200
	& ,ZC(20,2),YP(20,2,20),ZP(20,2,20),AKSI(40),ETA(40)	00262300
	& ,YI(40),ZI(40),DL(40),EN(6,40),T(20,2)	00262400
C		00262500
	COMMON/XHULL/ST(20),DS(20),K,NOSS,ISTREF(20),XCB	00262600
C		00262700
	COMMON/FREQIN/BLOG(72,72),YLOG(72,72),CSE(40),SNE(40)	00262800
C		00262900
	COMMON/DYNPRE/PDRR(6,40),PDIR(6,40),PDRH(6,40),PDIH(6,40)	00263000
C		00263100
	COMMON/CYLMOV/CYLCOD(2),ISUBM,METH	00263200
C		00263300
	COMMON/HYDCOF/A11(6,6),A12(6,6),A21(6,6),A22(6,6)	00263400
C	& ,B11(6,6),B12(6,6),B21(6,6),B22(6,6)	00263500
C		00263600
	IF(IDUMP.GT.0) WRITE(6,9900)	00263700
C	EL=0.5*CL	00263800
		00263900
C		00264000
	IF(IDUMP.GT.0) WRITE(6,9920)TVOL,NFR,NOSS,XCB,OMIN,OMAX,EL,RHO,G	00264100
C		00264200
	TPST=XCB	00264300
C		00264400
	ZERA MATRIZES DE MASSA ADICIONADA E DE AMORTECIMENTO:	00264500
C		00264600
	DO 25 N=1,NFR	00264700
	DO 25 J=1,10	00264800
	ALFA(N,I)=0.	00264900
	BETA(N,I)=0.	00265000
25	CONTINUE	00265100
C		00265200
	GERA VETOR DAS FREQUENCIAS:	00265300
C		00265400
	DOME=(OMAX-OMIN)/(NFR-1)	00265500
	OMEN(1)=OMIN	00265600
	DO 27 N=2,NFR	00265700
27	OMEN(N)=OMEN(N-1) + DOME	00265800
	MOM=NOSS	00265900
C		00266000
	IPOS1=1	00266100
	IPOS2=21	00266200
	IPOS3=41	00266300
	IPOS4=61	00266400
	IPOS5=81	00266500
	IPOS6=101	00266600
	IPOS7=121	00266700
	IPAR=1	00266800
C		00266900
	LOOP SOBRE OS SUBELEMENTOS ('STRIPS')	00267000
C		00267100
	DO 32 K=1,MOM	00267200
C		00267300
		00267400
	WRITE(6,51) K	00267500
51	FORMAT(//,1X,'FAIXA NO : K=',I3)	00267600
55	CONTINUE	00267700
C		00267800
	GERA PONTOS COORDENADOS, COMPRIMENTOS DOS SEGMENTOS, COMPONENTES	00267900
C	DO VETOR NORMAL UNITARIO E ARMAZENA NO BLOCO COMMON 'HULGEO':	00268000
C		00268100



C	1113	FORMAT(40E10.4)	00274200
C			00274300
C	205	IPOS1=IPOS1+1	00274400
		IPOS2=IPOS2+1	00274500
		IPOS3=IPOS3+1	00274600
		IPOS4=IPOS4+1	00274700
		IPOS5=IPOS5+1	00274800
		IPOS7=IPOS7+1	00274900
C		KREF=ISTREF(K)	00275000
		IPRES=0	00275100
C			00275200
C		FAIXAS IGUAIS ?	00275300
C			00275400
C		IF(KREF .EQ. K) GO TO 207	00275500
		IPRES=1	00275600
		IF(IDUMP .LT. 3) GO TO 207	00275700
		WRITE(6,206) K,KREF	00275800
	206	FORMAT(/,1X,'FAIXA NO ',I3,' E IGUAL A NO ',I3)	00275900
	207	CONTINUE	00276000
C			00276100
C		LOOP NAS FREQUENCIAS	00276200
C			00276300
C		DO 53 N = 1,NFR	00276400
			00276500
C		OMEGA=OMFN(N)	00276600
		OML=OMEGA*SORT(2.)	00276700
C			00276800
C		CALCULA O NUMERO DE ONDA UN (ADIMENSIONALIZADO EM RELACAO A L) DA	00276900
C		FORMULA DE DISPERSAO:	00277000
C			00277100
		ICODE=1.	00277200
		CALL DISPRE (ICODE,IDEPTH,H,OML,WNL)	00277300
C			00277400
		WRITE(6,211) N,OML,WNL	00277500
	211	FORMAT(/,1X,'SPT407: N = ',I3,' OML= ',F7.3,' WNL= ',F7.3)	00277600
C			00277700
C			00277800
C		SE K .NE. KREF LE AS PRESSOES PARA O STRIP K DO FILE 12:	00277900
C			00278000
C		IF(KREF .EQ. K) GO TO 260	00278100
			00278200
C			00278300
C			00278400
		READ(12=(N-1)*4+80*(KREF-1)+1,1114)(AR1(II),II=1,240)	00278500
		READ(12=(N-1)*4+80*(KREF-1)+2,1114)(AR2(II),II=1,240)	00278600
		READ(12=(N-1)*4+80*(KREF-1)+3,1114)(AR3(II),II=1,240)	00278700
		READ(12=(N-1)*4+80*(KREF-1)+4,1114)(AR4(II),II=1,240)	00278800
C			00278900
		DO 255 I=1,6	00279000
		DO 255 M=1,NSEG	00279100
		IM=(I-1)*NSEG+M	00279200
		PDRR(I,M)=AR1(IM)	00279300
		PDIR(I,M)=AR2(IM)	00279400
		PDRH(I,M)=AR3(IM)	00279500
		PDIH(I,M)=AR4(IM)	00279600
	255	CONTINUE	00279700
C			00279800
C		ATUALIZA PRESSOES PARA BALANCO E GUINADA COM O NOVO BRACO (DIP):	00279900
C			00280000
C			00280100



	DO 256 M=1,NSEG	00280200
	PDRR(5,M)=-DIP*PDRR(3,M)	00280300
	PDIR(5,M)=-DIP*PDIR(3,M)	00280400
	PDRR(6,M)= DIP*PDRR(2,M)	00280500
	PDIR(6,M)= DIP*PDIR(2,M)	00280600
	PDRH(5,M)=-DIP*PDRH(3,M)	00280700
	PDIH(5,M)=-DIP*PDIH(3,M)	00280800
	PDRH(6,M)= DIP*PDRH(2,M)	00280900
	PDIH(6,M)= DIP*PDIH(2,M)	00281000
256	CONTINUE	00281100
C		00281200
260	CONTINUE	00281300
C		00281400
C	CALCULA PRESSOES DE RADIAÇÃO, MASSA ADICIONADA E AMORTECIMENTO:	00281500
C	PARA STRIPS IGUAIS NAO CALCULA PRESSOES (IPRES=1)	00281600
C		00281700
	CALL RADFOR (WNL,OML,N,IPRES)	00281800
C		00281900
C		00282000
C	ARMAZENA PRESSOES NO FILE 12:	00282100
C		00282200
C		00282300
	DO 270 I=1,6	00282400
	WRITE(6,262) I	00282500
262	FORMAT(1X,'SPT407: I= ',I2)	00282600
	WRITE(6,266) (PDRR(I,M),M=1,NSFG)	00282700
	WRITE(6,266) (PDIR(I,M),M=1,NSFG)	00282800
	WRITE(6,266) (PDRH(I,M),M=1,NSFG)	00282900
	WRITE(6,266) (PDIH(I,M),M=1,NSFG)	00283000
266	FORMAT(1X,'PRESSOES=',10E10.4)	00283100
270	CONTINUE	00283200
C		00283300
	DO 400 I=1,6	00283400
	DO 400 M=1,NSEG	00283500
	IM=(I-1)*NSEG + M	00283600
	AR1(IM)=PDRR(I,M)	00283700
	AR2(IM)=PDIR(I,M)	00283800
	AR3(IM)=PDRH(I,M)	00283900
	AR4(IM)=PDIH(I,M)	00284000
400	CONTINUE	00284100
		00284200
	WRITE(12=IPAR ,1114)(AR1(II),II=1,240)	00284300
	WRITE(12=IPAR+1,1114)(AR2(II),II=1,240)	00284400
	WRITE(12=IPAR+2,1114)(AR3(II),II=1,240)	00284500
	WRITE(12=IPAR+3,1114)(AR4(II),II=1,240)	00284600
1114	FORMAT(240E10.4)	00284700
	IPAR=IPAR+4	00284800
C		00284900
C	COEFICIENTES TOTAIS DE MASSA ADICIONADA E DE AMORTECIMENTO:	00285000
C		00285100
	DO 500 I=1,6	00285200
C		00285300
	ALFA(N,I)=ALFA(N,I)+A11(I,I)+A22(I,I)	00285400
	BETA(N,I)=BETA(N,I)+B11(I,I)+B22(I,I)	00285500
500	CONTINUE	00285600
C		00285700
	ALFA(N,7)=ALFA(N,7)+A11(3,5)+A22(3,5)	00285800
	ALFA(N,8)=ALFA(N,8)+A11(2,6)+A22(2,6)	00285900
	ALFA(N,9)=ALFA(N,9)+A11(2,4)+A22(2,4)	00286000
	ALFA(N,10)=ALFA(N,10)+A11(4,6)+A22(4,6)	00286100

```

C      BETA(N,7)=BETA(N,7)+B11(3,5)+B22(3,5)      00286200
      BETA(N,8)=BETA(N,8)+B11(2,6)+B22(2,6)      00286300
      BETA(N,9)=BETA(N,9)+B11(2,4)+B22(2,4)      00286400
      BETA(N,10)=BETA(N,10)+B11(4,6)+B22(4,6)    00286500
C      FIM DO LOOP SOBRE AS FREQUENCIAS          00286600
C      CONTINUE                                  00286700
C      IF(IDUMP .EQ. 0) GO TO 32                 00286800
      DO 3300 N=1,NFR                             00286900
      OML=OMEN(N)*SQRT(2.)                         00287000
      WRITE(6,3211) N,OML                          00287100
3211  FORMAT(/,1X,'N=',I3,2X,'OML=',F10.4)      00287200
C      WRITE(6,3212) (ALFA(N,I),I=1,10)         00287300
3212  FORMAT(1X,'ALFA=',10F10.4)                00287400
      WRITE(6,3213) (BETA(N,I),I=1,10)           00287500
3213  FORMAT(1X,'BETA=',10E10.4)                00287600
3300  CONTINUE                                    00287700
C      FIM DO LOOP SOBRE OS SUBELEMENTOS ('STRIPS')
C      CONTINUE                                  00287800
C      IMPRIME COEFICIENTES DE MASSA ADICIONADA E DE AMORTECIMENTO;
C      CONTINUE                                  00287900
C      CONTINUE                                  00288000
C      CONTINUE                                  00288100
C      CONTINUE                                  00288200
C      CONTINUE                                  00288300
C      CONTINUE                                  00288400
C      CONTINUE                                  00288500
C      CONTINUE                                  00288600
C      CONTINUE                                  00288700
C      CONTINUE                                  00288800
C      CONTINUE                                  00288900
C      CONTINUE                                  00289000
C      CONTINUE                                  00289100
47  FORMAT('PARA ELEMENTOS TIPO CATAMARA TEM-SE OS SEGUINTE VALORES',
&///)      00289200
48  FORMAT(1H1)      00289300
C      WRITE(6,48)      00289400
      WRITE(6,47)      00289500
C      WRITE(6,2235)      00289600
2235  FORMAT(1X,'COEFICIENTES DE MASSA ADICIONADA ADIMENSIONAIS:') 00289700
      WRITE(6,2224)      00289800
2224  FORMAT(7H OMEGA,7X,7H A(1,1),3X,7H A(2,2),3X,7H A(3,3),3X,7H A(4,
*4),3X,7H A(5,5),3X,7H A(6,6),3X,7H A(3,5),3X,7H A(2,6),3X,7H A(2,4
*),3X,7H A(4,6)) 00289900
C      DO 2225 N=1,NFR      00290000
      GXI=OMEN(N)*SQRT(2.) 00290100
C      WRITE(6,2226) GXI,(ALFA(N,M),M=1,10)      00290200
      WRITE(6,2227)      00290300
2225  CONTINUE      00290400
2226  FORMAT(12F10.4)      00290500
C      WRITE(6,2227)      00290600
2227  FORMAT('COEFICIENTES DE AMORTECIMENTO ADIMENSIONAIS:') 00290700
      WRITE(6,2228)      00290800
2228  FORMAT(6H OMEGA,8X,7H D(1,1),3X,7H D(2,2),3X,7H D(3,3),3X,7H D(4,4
*),3X,7H D(5,5),3X,7H D(6,6),3X,7H D(3,5),3X,7H D(2,6),3X,7H D(2,4
*),3X,7H D(4,6)) 00290900
C      DO 2229 N=1,NFR      00291000
      00291100
      00291200
      00291300
      00291400
      00291500
      00291600
      00291700
      00291800
      00291900
      00292000
      00292100

```



C			00297700
C	PARAMÉTROS DE ENTRADA:	WNM = NUMERO. DE ONDA*CL/2	00297800
C		OM = FREQUENCIA DE OSCILACAO*SQRT(CL/2*G)	00297900
C		NF = NUMERO DA FREQUENCIA	00298000
C	DIMENSION NS(2)		00298100
C	COMMON/DMP/IDUMP		00298200
C			00298300
C	COMMON/LOADSW/MLOAD		00298400
C			00298500
C	COMMON/HULGEO/NHULL(20), ISYM(20), NP(20,2), YC(20,2), ZC(20,2)		00298600
C	& , YP(20,2,20), ZP(20,2,20), AKSI(40), ETA(40), YI(40), ZI(40), DL(40)		00298700
C	& , EN(6,40), T(20,2)		00298800
C			00298900
C	COMMON/XHULL/ST(20), OS(20), NOSTR, NOSS, ISTRF(20), XCB		00299000
C			00299100
C	COMMON/DYNPRE/PDR(6,40), PDI(6,40), PDRH(6,40), PDIH(6,40)		00299200
C			00299300
C	COMMON/CYLMOV/CYLCOD(2), ISUBM, METH		00299400
C			00299500
C	COMMON/FREQIN/BLOG(72,72), YLOG(72,72), CSE(40), SNE(40)		00299600
C			00299700
C	IF(NF .GT. 1) GO TO 300		00299800
C			00299900
C			00300000
C			00300100
C	CALCULA OS TERMOS INDEPENDENTES DA FREQUENCIA		00300200
C			00300300
C	CALL FINV4		00300400
C			00300500
C	300 CONTINUE		00300600
C			00300700
C	CALCULA OS TERMOS DEPENDENTES DA FREQUENCIA E RESOLVE O SISTEMA		00300800
C	LINEAR DE EQUACOES ALGEBRICAS PARA OS POTENCIAIS DE VELOCIDADE		00300900
C	E AVALIA AS PRESSOES DINAMICAS.		00301000
C			00301100
C	1. MOVIMENTO DE CORPO RIGIDO:		00301200
C			00301300
C	CYLCOD(1)=2.		00301400
C	CYLCOD(2)=2.		00301500
C	METH=0		00301600
C			00301700
C	CALL KERN3 (WNM,OM)		00301800
C			00301900
C			00302000
C	IF(MLOAD .EQ. 1) GO TO 400		00302100
C			00302200
C	2. MOVIMENTO EM OPOSICAO (OGILVIE) :		00302300
C			00302400
C	METH=1		00302500
C			00302600
C	CALL KERN3 (WNM,OM)		00302700
C			00302800
C	GO TO 900		00302900
C			00303000
C	400 CONTINUE		00303100
C	NS(1)=NP(NOSTR,1)-1		00303200
C	NS(2)=NP(NOSTR,2)-1		00303300
C	NSEG=NS(1)+NS(2)		00303400
C			00303500
C			00303600

C	DO 500 I=1,6	00303700
		00303800
	DO 500 M=1,NSEG	00303900
C		00304000
	PDRH(I,M)=0.	00304100
	PDIH(I,M)=0.	00304200
500	CONTINUE	00304300
C		00304400
900	CONTINUE	00304500
	RETURN	00304600
	END	00304700

SE

=====

NO ERRORS DETECTED. NUMBER OF CARDS = 3095.  
COMPILATION TIME = 204 SECONDS ELAPSED, 34.18 SECONDS PROCESSING(5433 CPM).  
D2 STACK SIZE = 121 WORDS. FILESIZE = 28340 WORDS. ESTIMATED CORE-STORAGE  
TOTAL PROGRAM CODE = 6117 WORDS. ARRAY STORAGE = 27691 WORDS.  
NUMBER OF PROGRAM SEGMENTS = 34. NUMBER OF DISK SEGMENTS = 500.  
PROGRAM CODE FILE = (117PNV)NVPONT/NOVO/DRJ ON PACK.  
COMPILER COMPILED ON 09/07/79 (FORTRAN ON PACK).

SE

APÊNDICE A.IV

RESULTADOS COMPUTACIONAIS - COMPARAÇÃO GRÁFICA

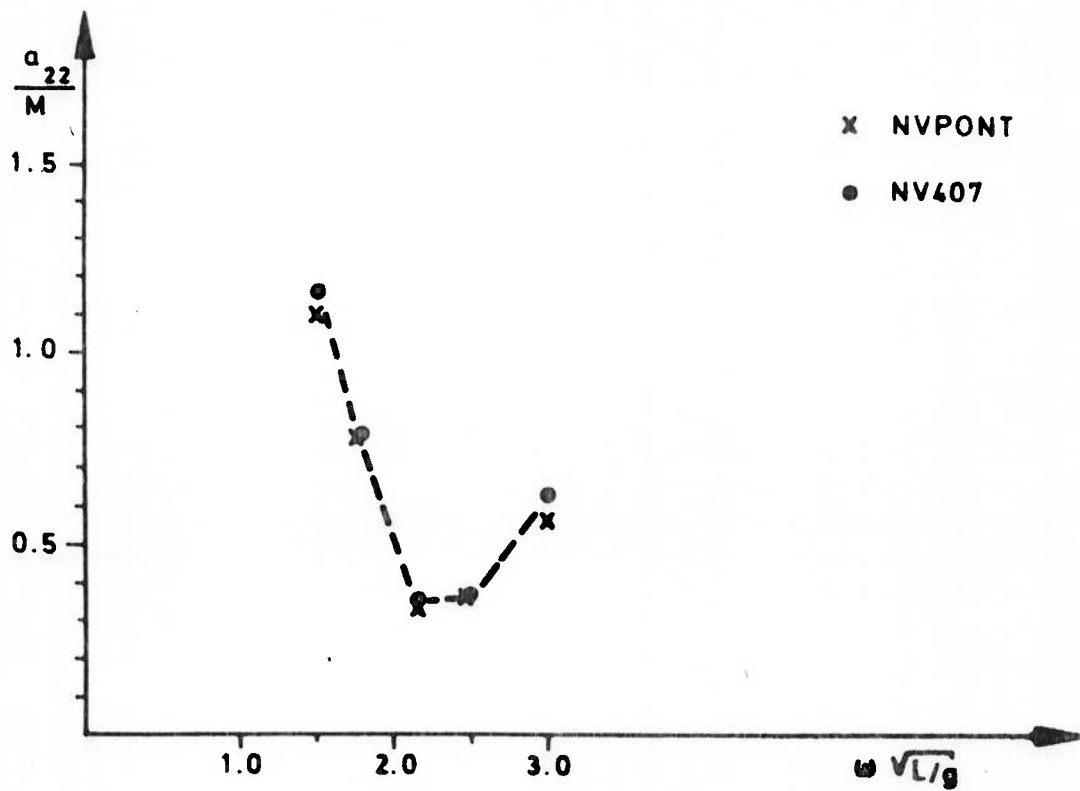


FIG. A. 1

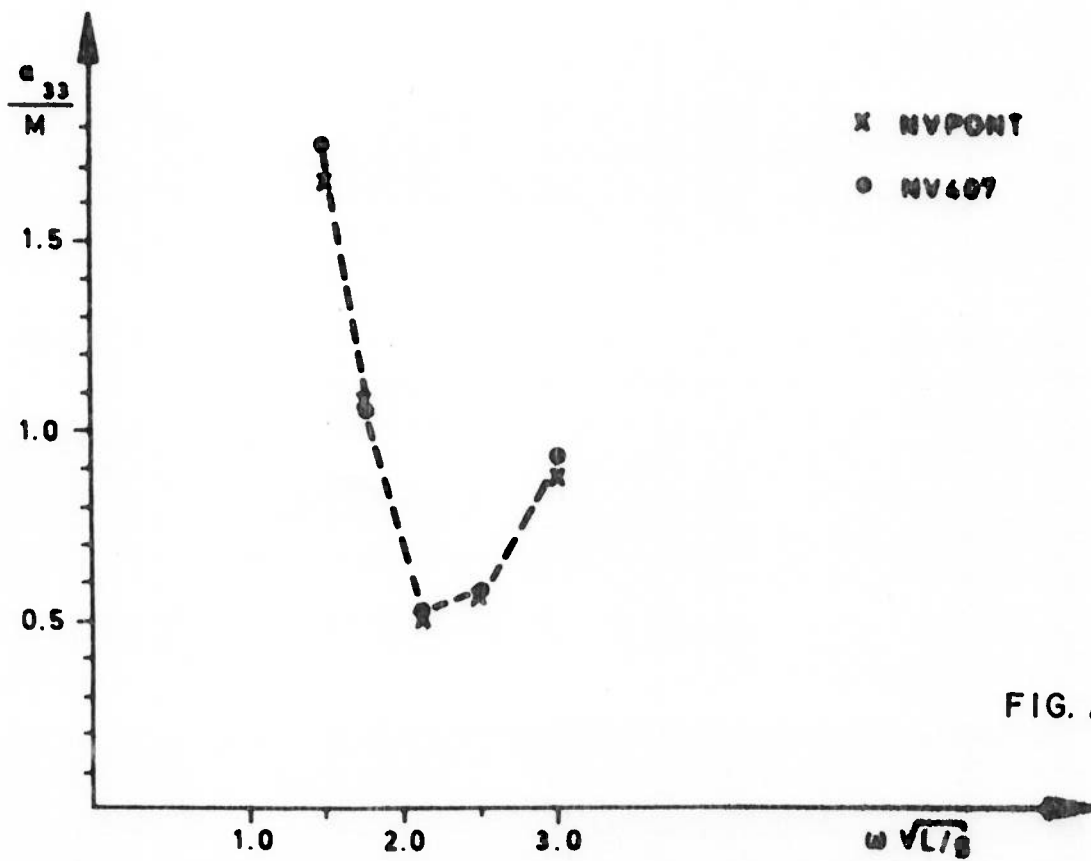


FIG. A. 2

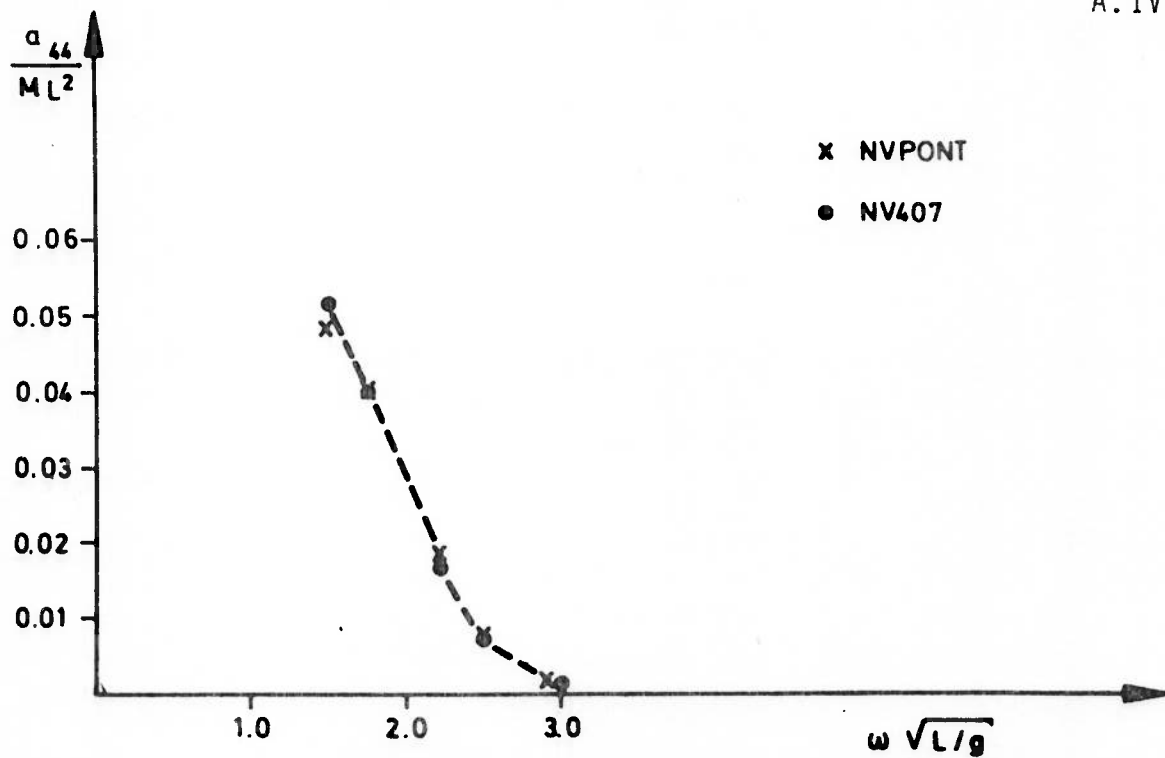


FIG. A.3

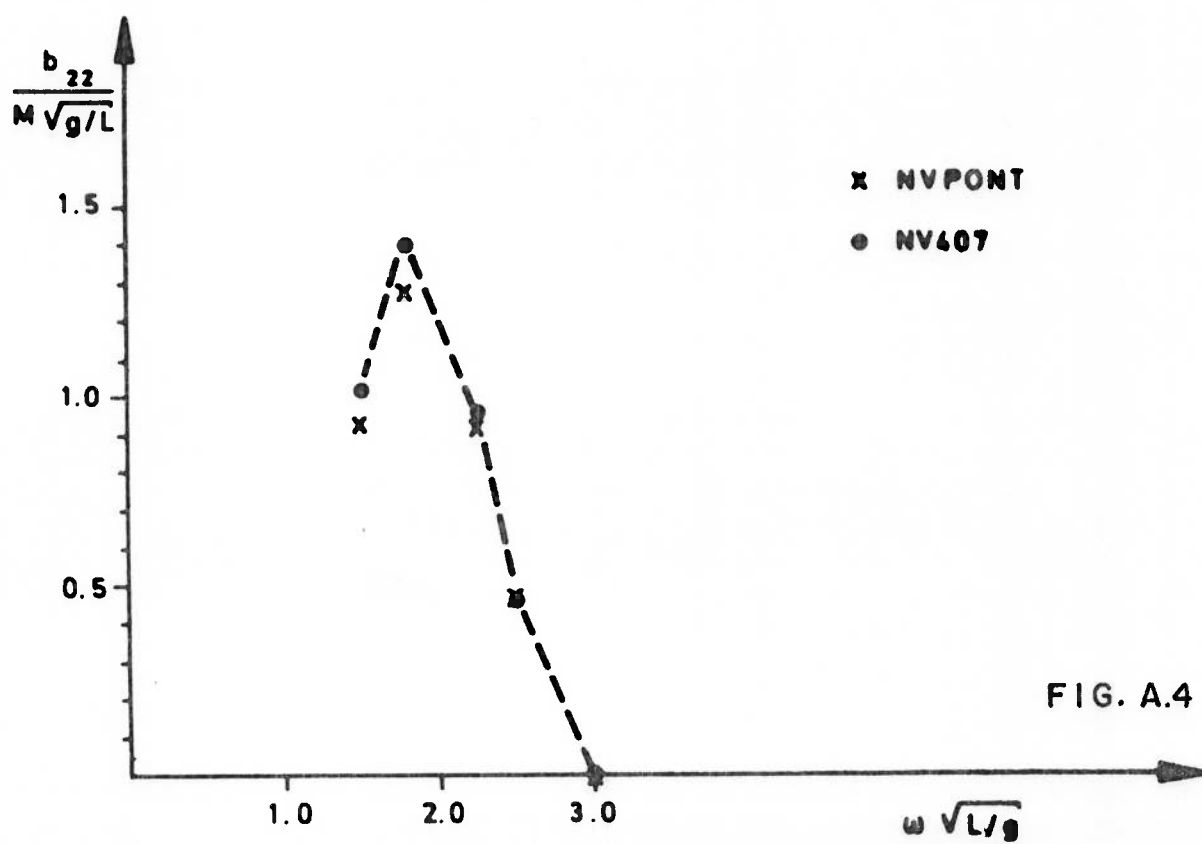


FIG. A.4



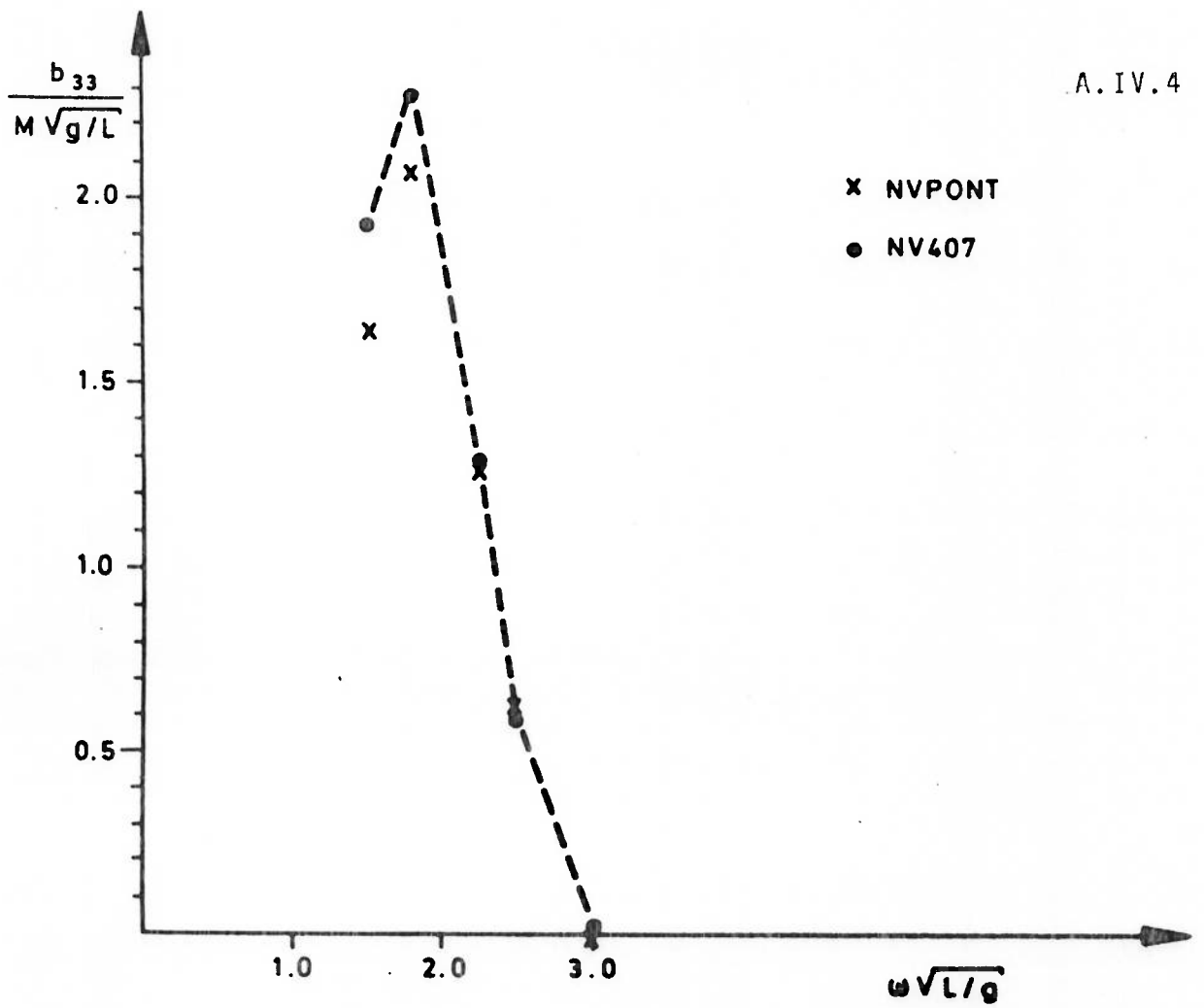


FIG. A.5

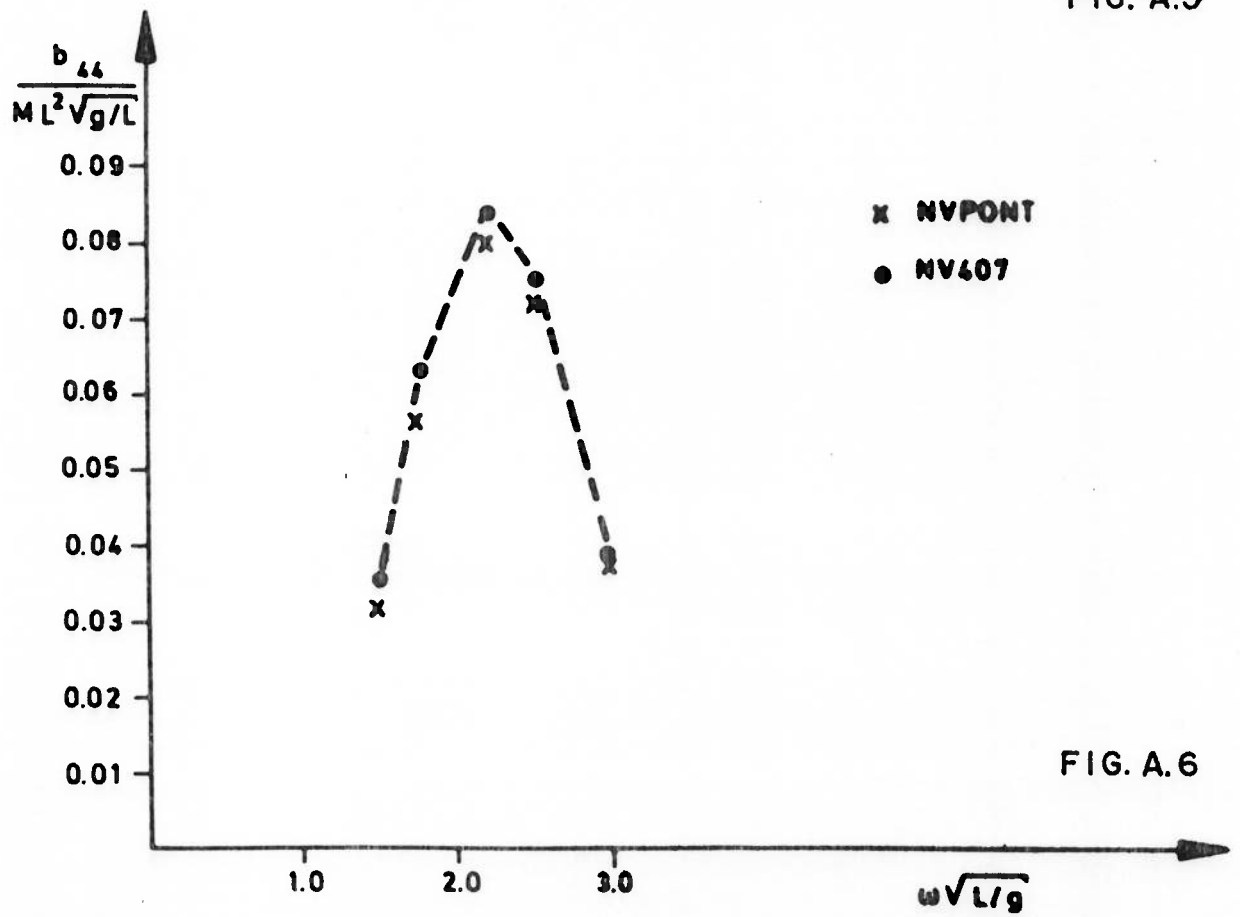


FIG. A.6

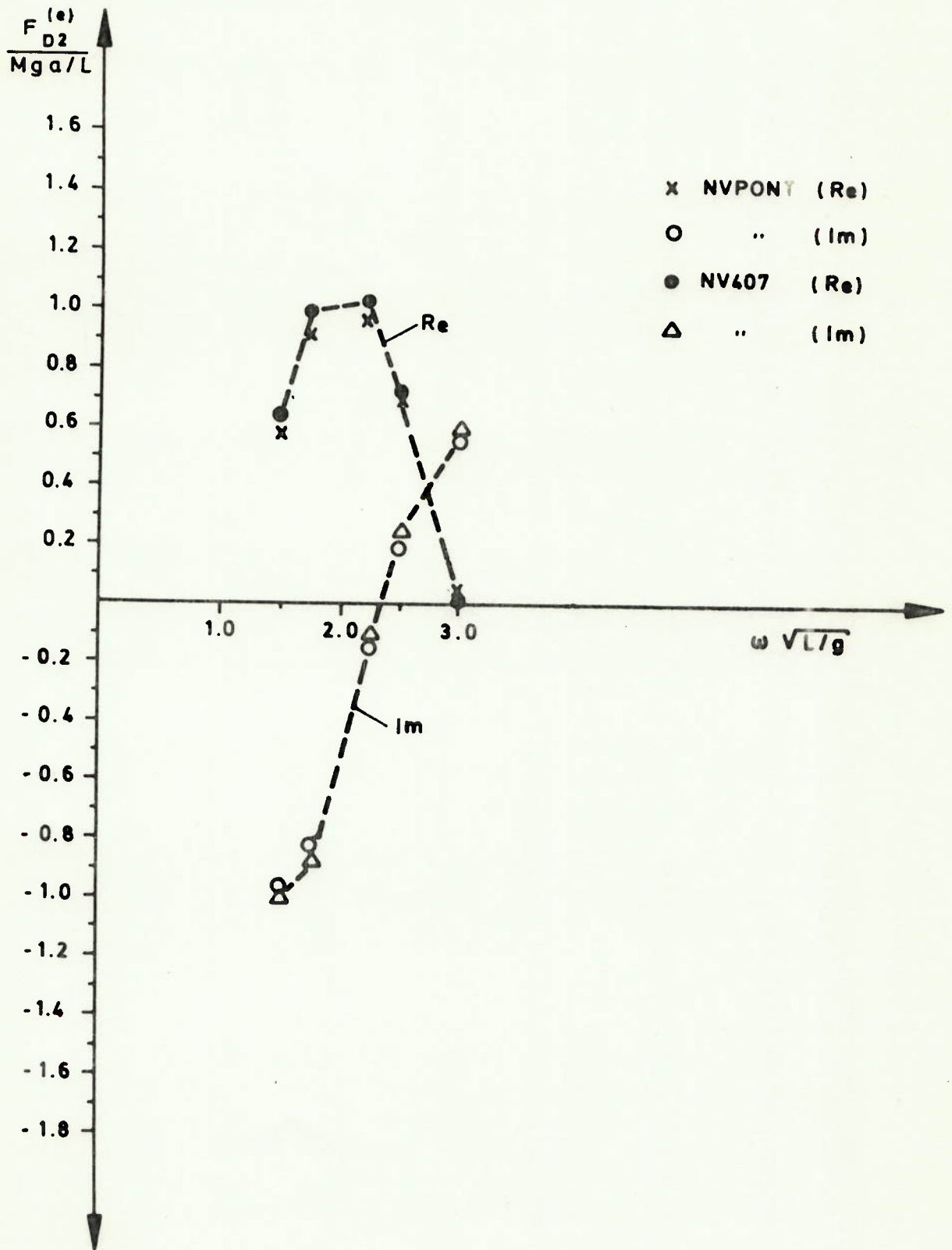


FIG. A.7

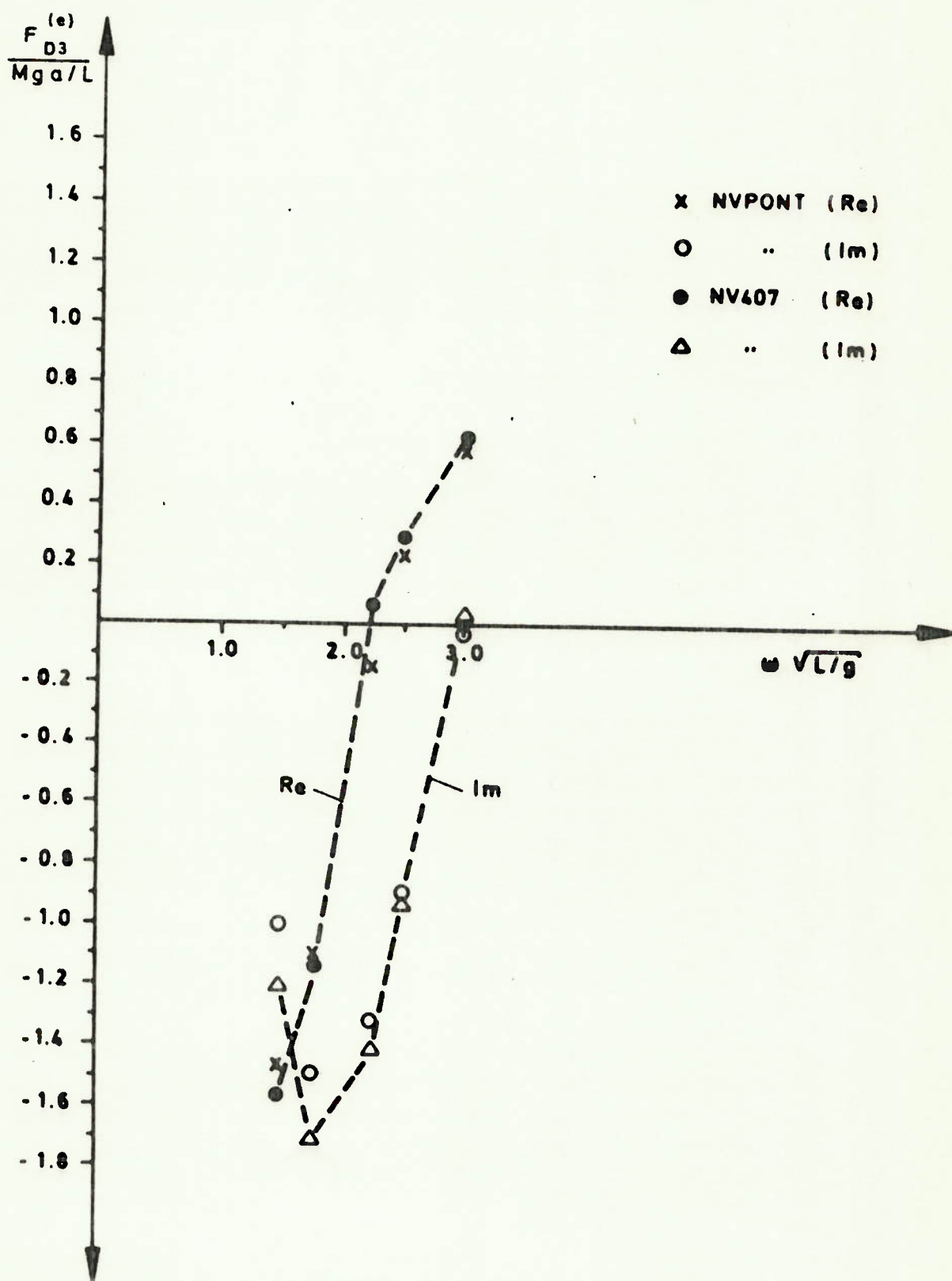


FIG. A.8

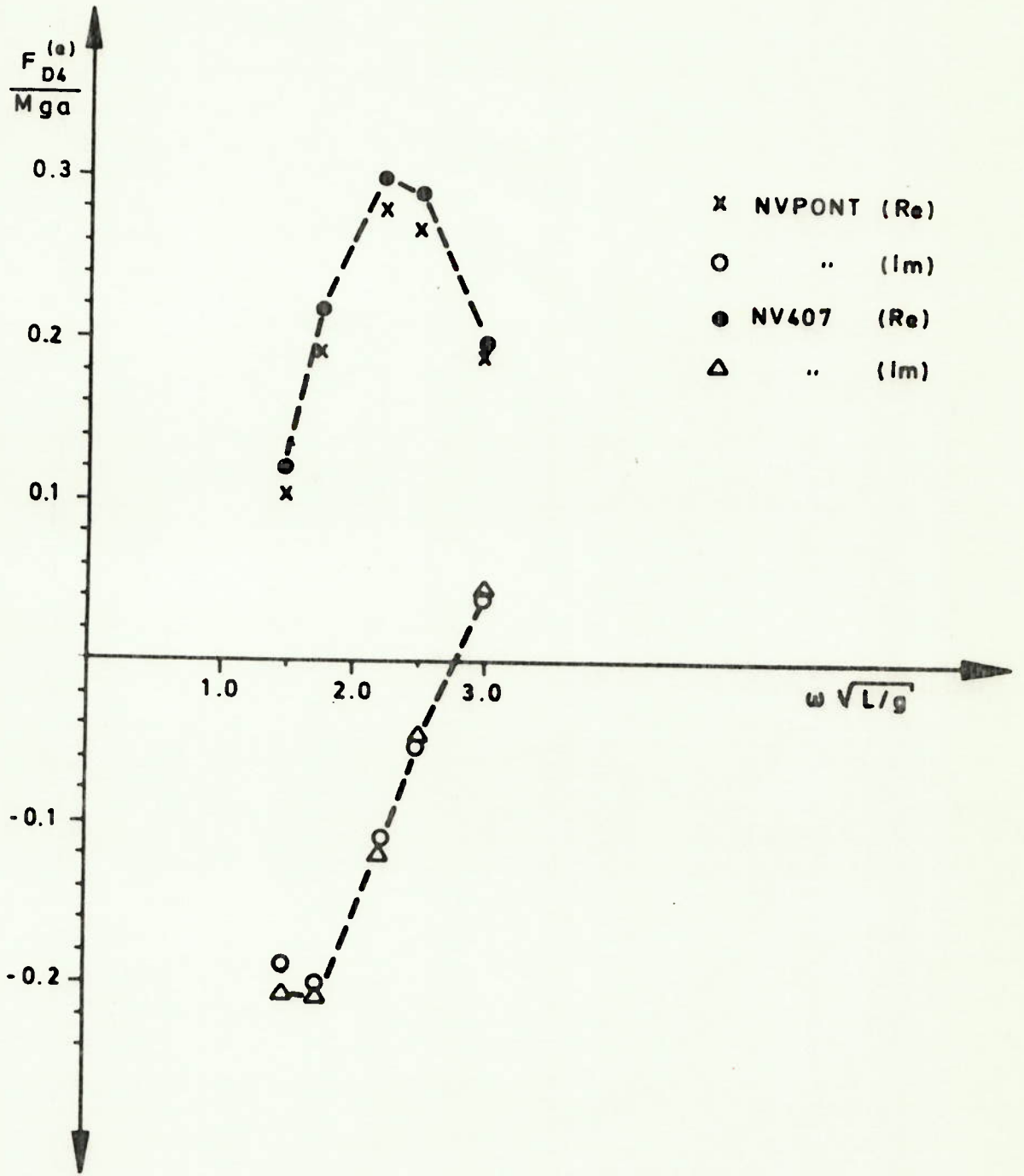
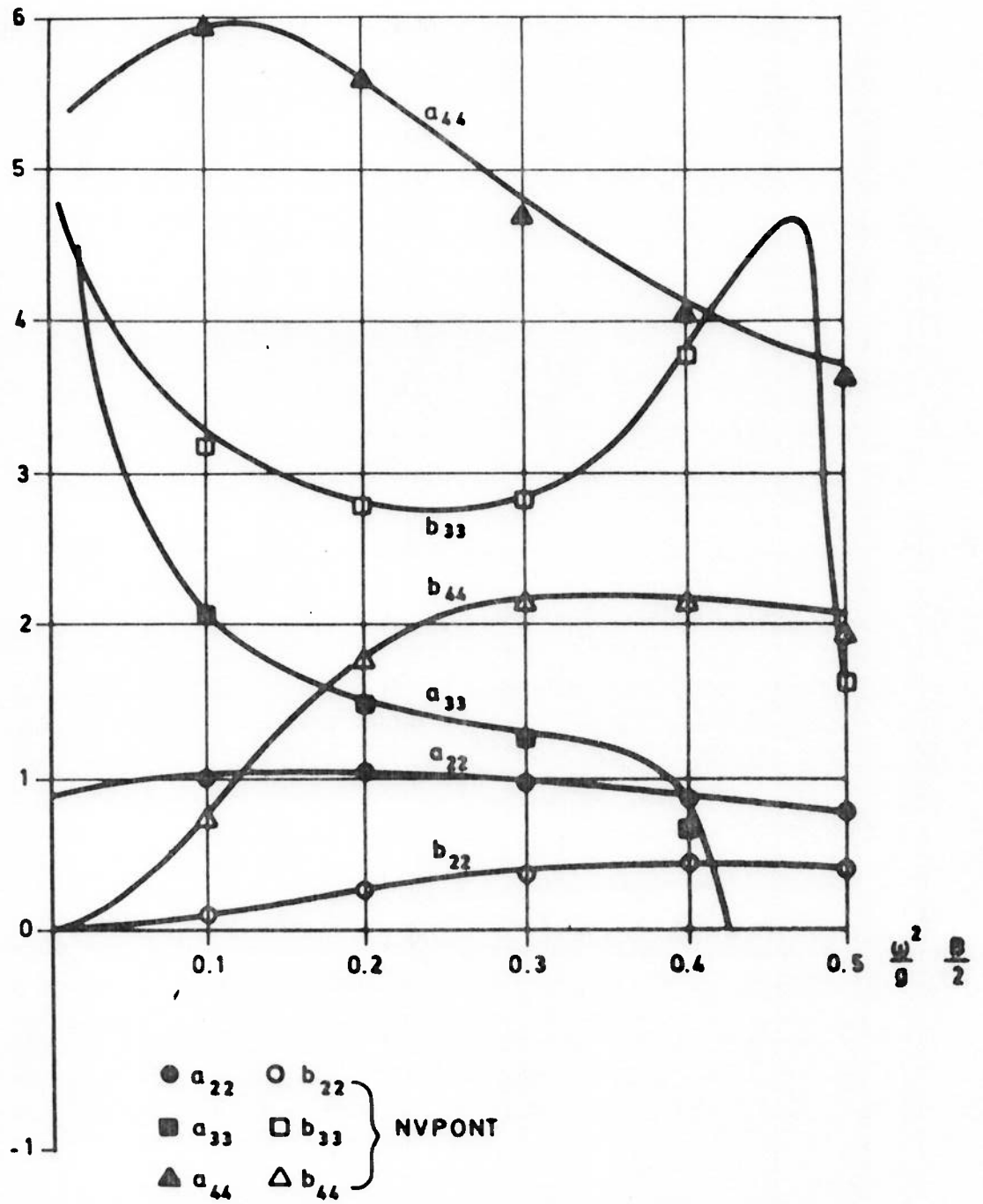


FIG. A.9

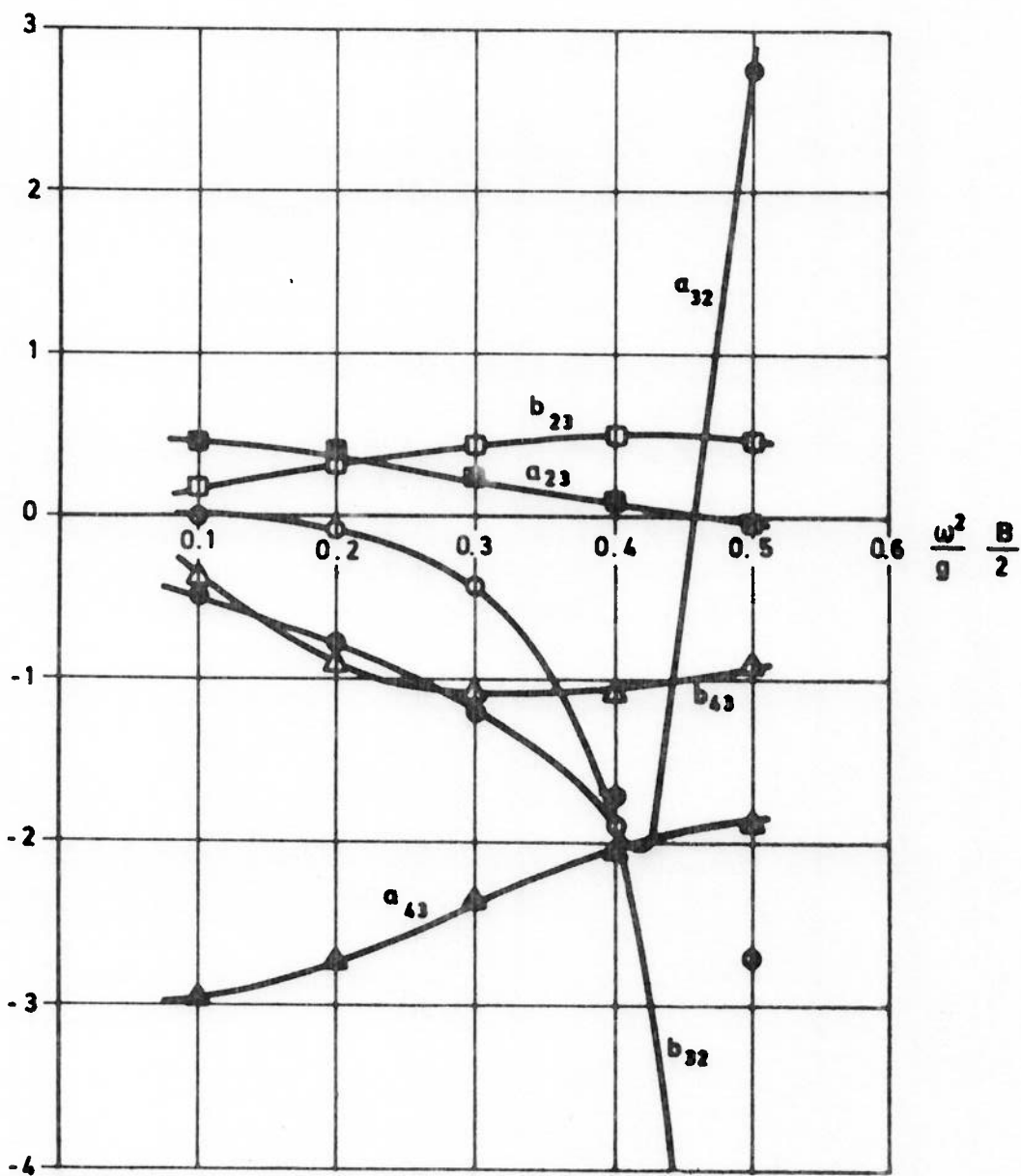


COEFICIENTES DE MASSA ADICIONADA E DE AMORTECIMENTO PARA MOVIMENTOS DE ARFAGEM, DERIVA E BALANÇO DE UM CILINDRO EM ONDAS DE TRAVÉS.

FIG. B.1

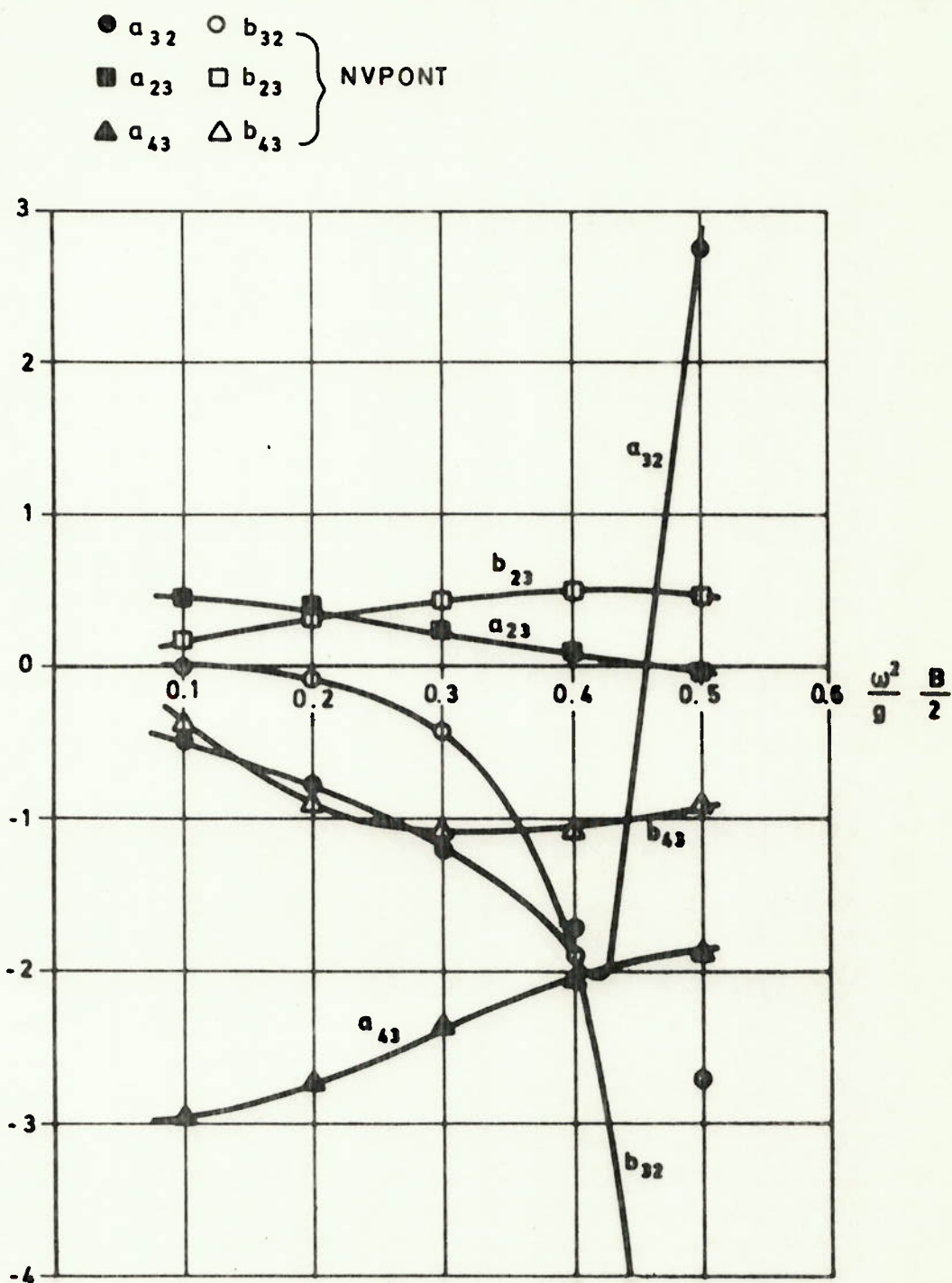
●  $a_{32}$     ○  $b_{32}$   
 ■  $a_{23}$     □  $b_{23}$   
 ▲  $a_{43}$     △  $b_{43}$

} NVPONT



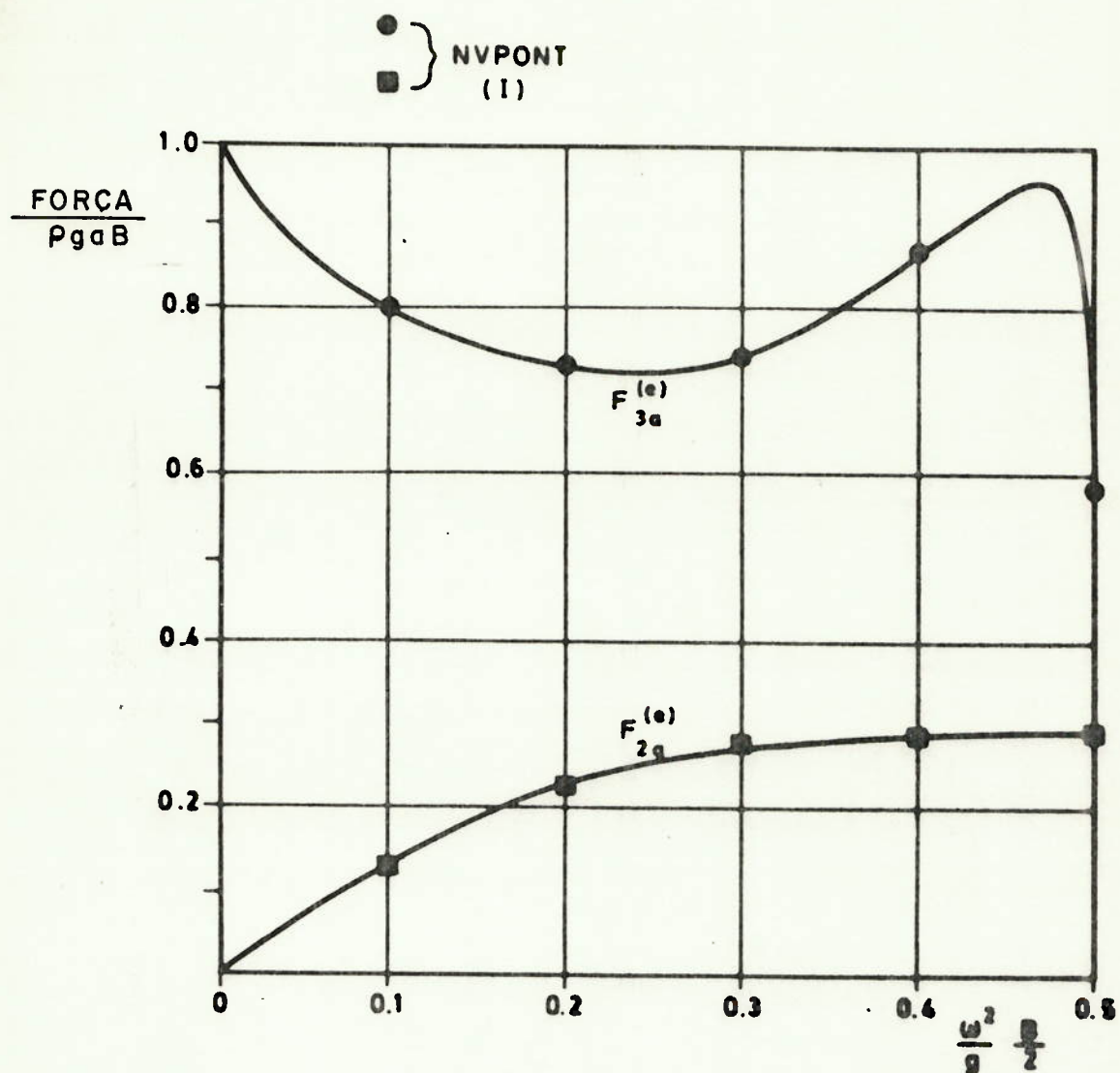
FORÇAS EM ARFAGEM INDUZIDAS POR MOVIMENTOS DE DERIVA, DERIVA INDUZIDAS POR ARFAGEM E FORÇAS DE BALANÇO INDUZIDAS POR ARFAGEM EM UM CILINDRO SOB ONDAS DE TRAVÉS.

FIG. B.2



FORÇAS EM ARFAGEM INDUZIDAS POR MOVIMENTOS DE DERIVA, DERIVA INDUZIDAS POR ARFAGEM E FORÇAS DE BALANÇO INDUZIDAS POR ARFAGEM EM UM CILINDRO SOB ONDAS DE TRAVÉS.

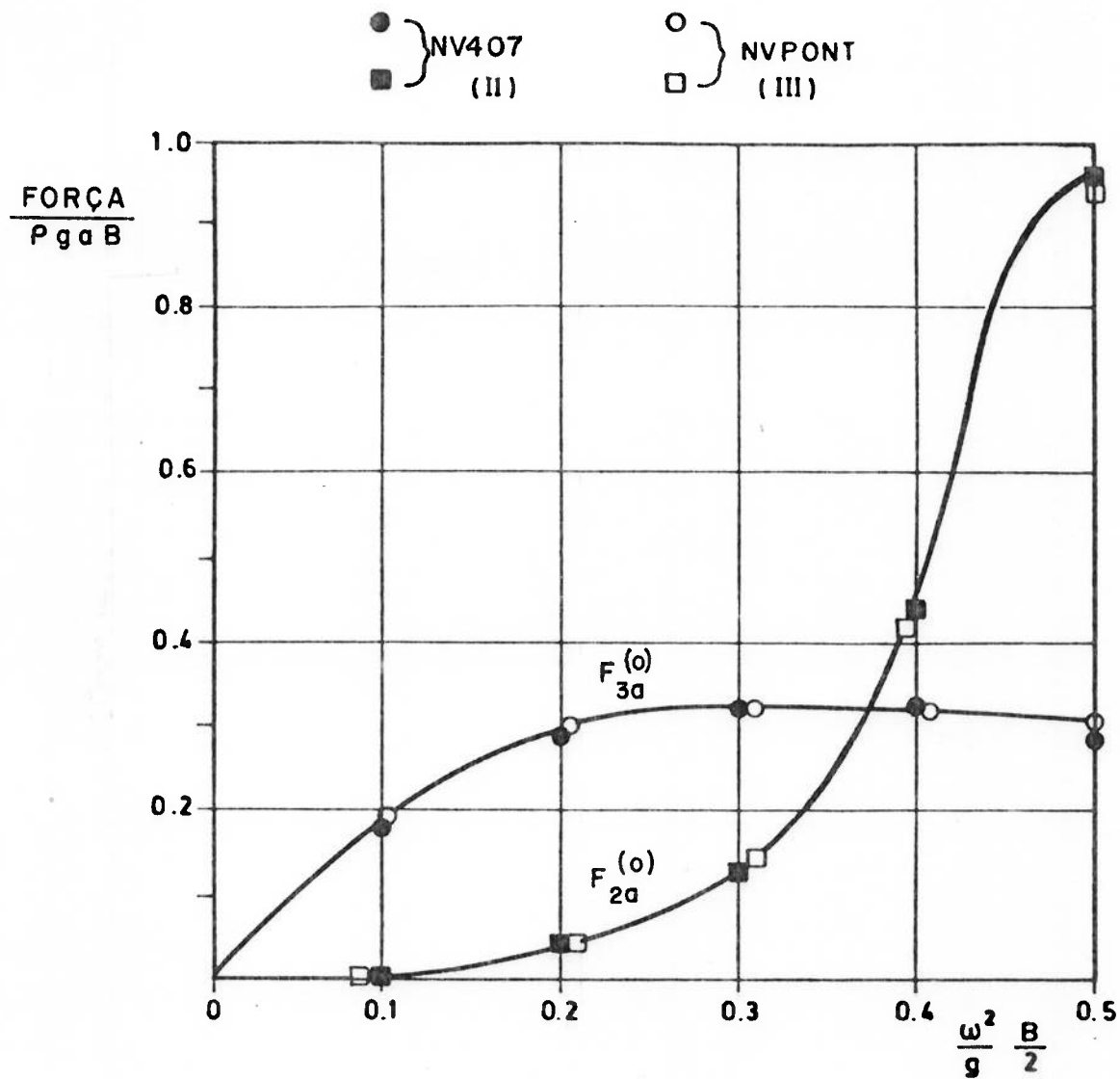
FIG. B.2



FORÇAS EXCITANTES EMPARELHADAS EM MOVIMENTOS DE DERIVA E ARFAGEM.  
(I): OBTIDAS DE POTENCIAIS DE CORPOS RÍGIDOS.

FIG. B.3





FORÇAS EXCITANTES OPOSTAS EM  
 MOVIMENTOS DE DERIVA E ARFAGEM.  
 (II): MÉTODO DE MATHISEN & CARLSEN.  
 (III): MÉTODO DE OGILVIE.

FIG. B.4

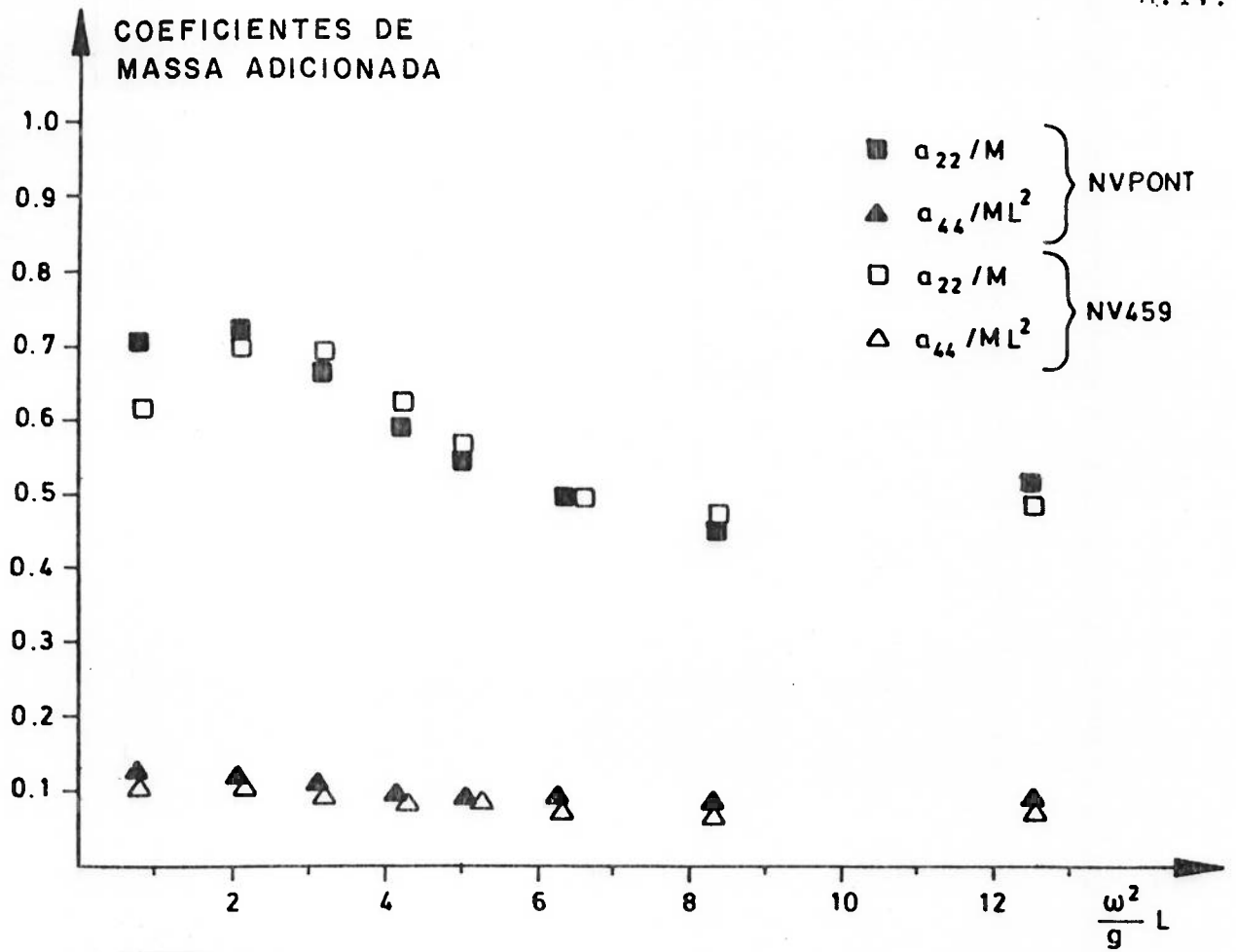


FIG. C.1

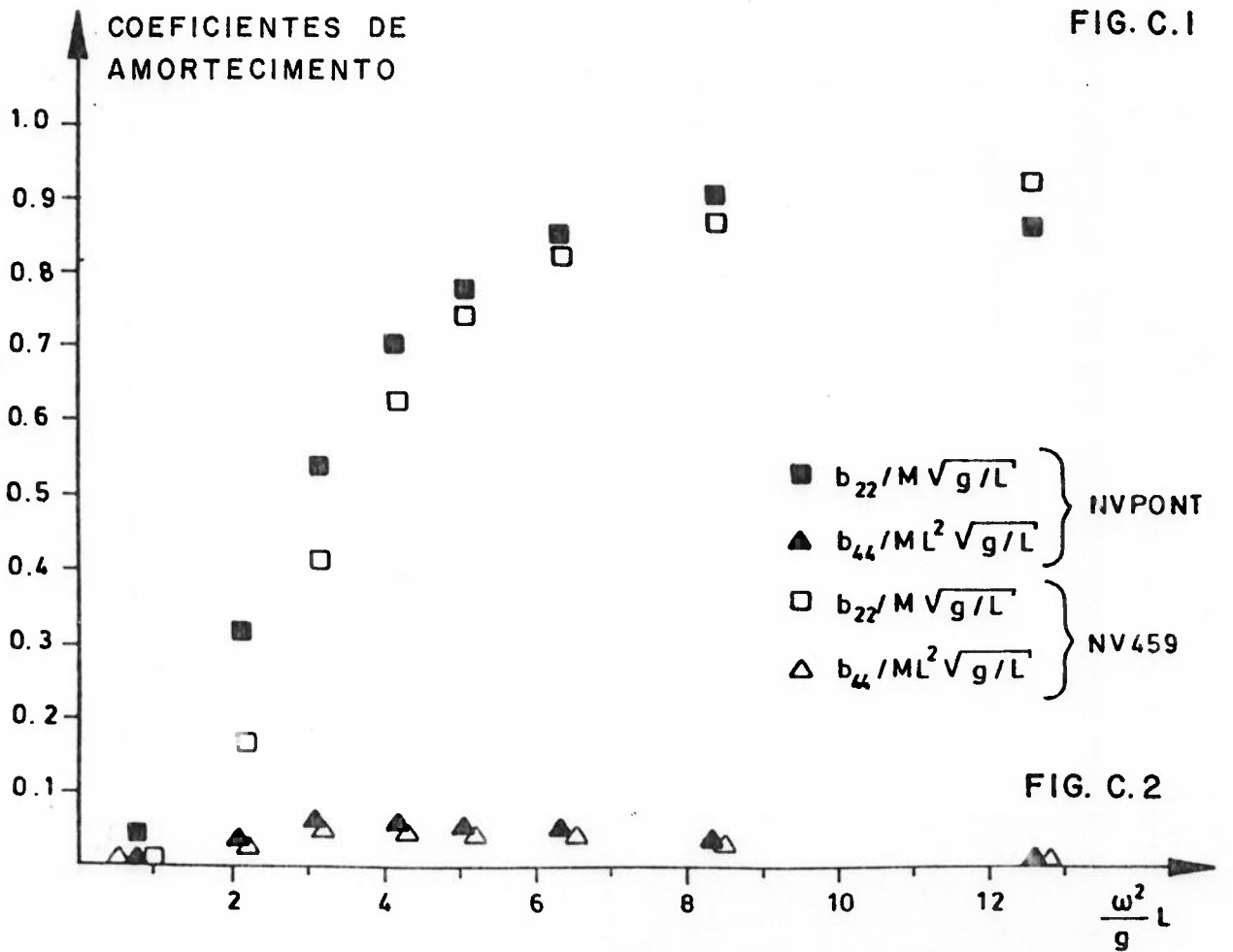


FIG. C.2

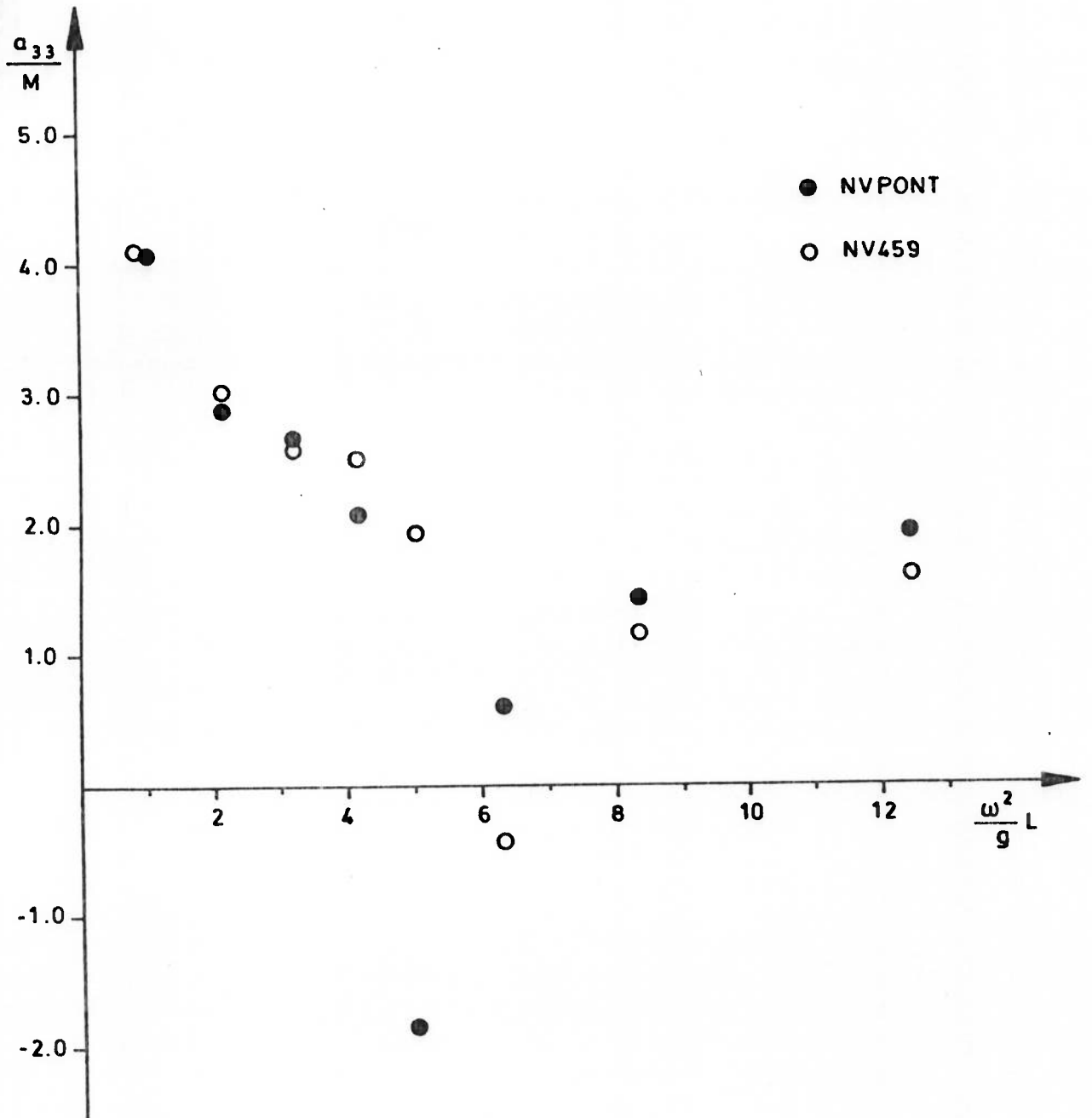


FIG.C.3

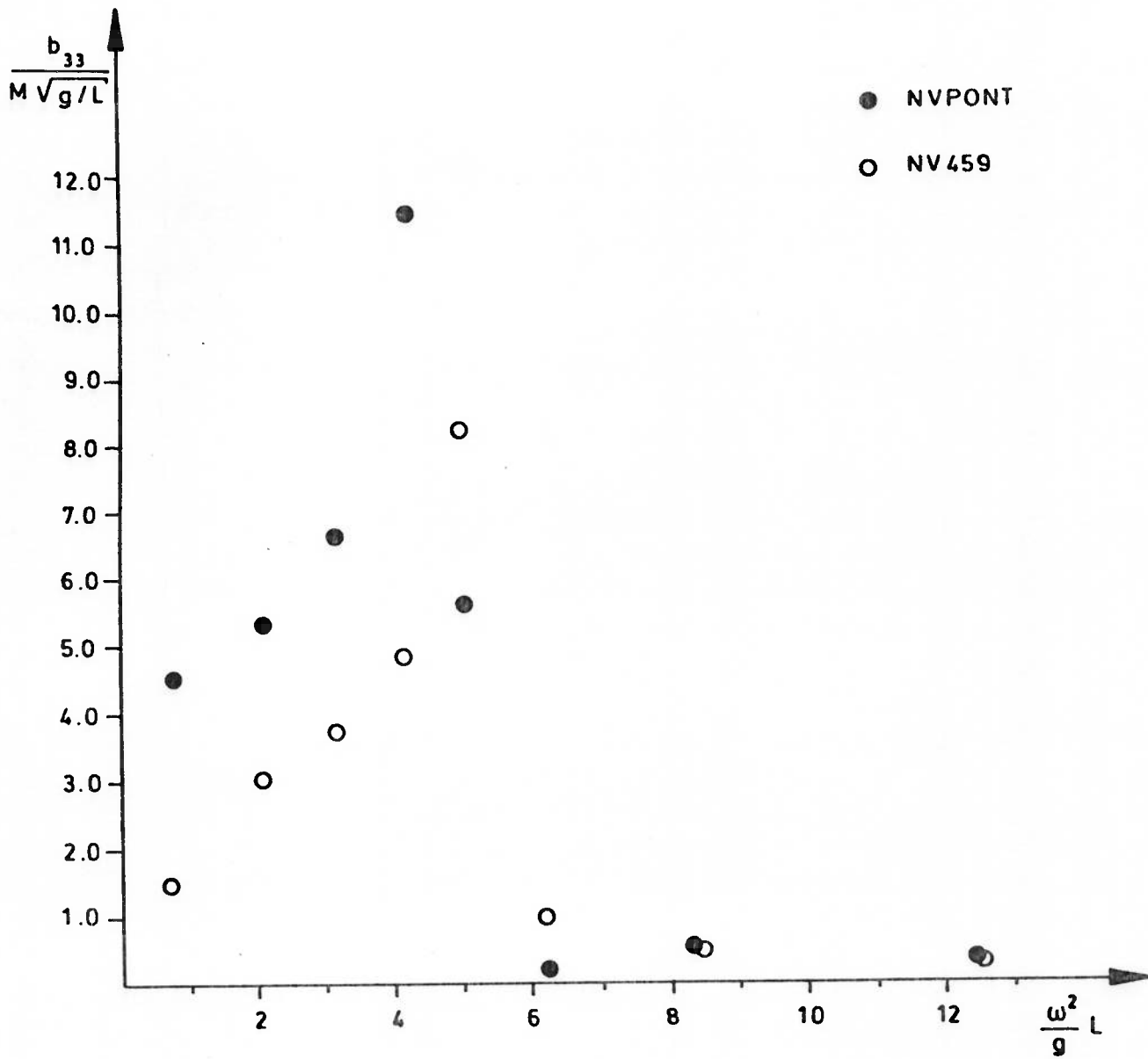


FIG.C.4

$\beta = 90^\circ$

● NVPONT (HASKIND)

○ NV459

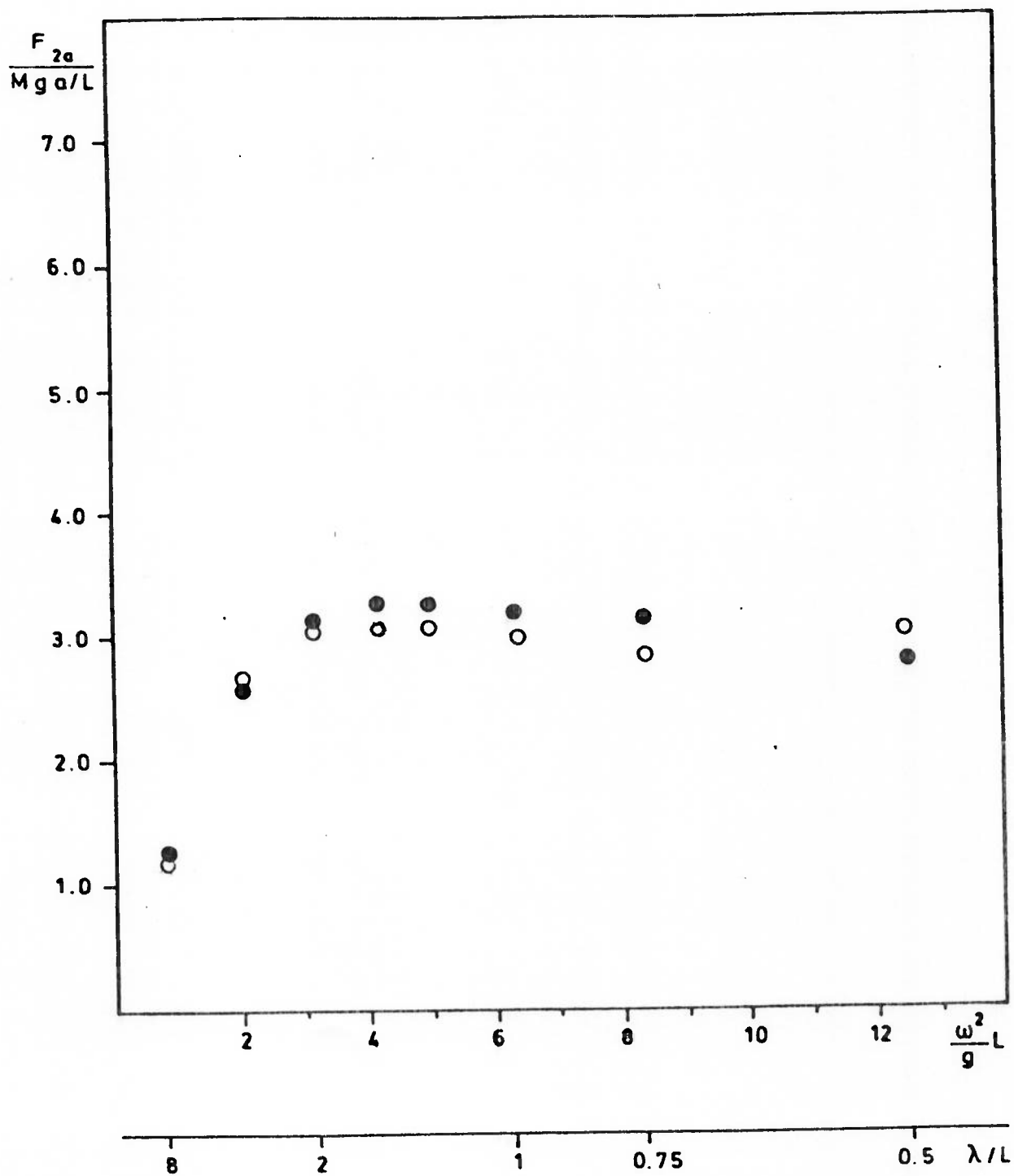


FIG. C.5

$\beta = 90^\circ$

● NVPONT (HASKIND)

○ NV459

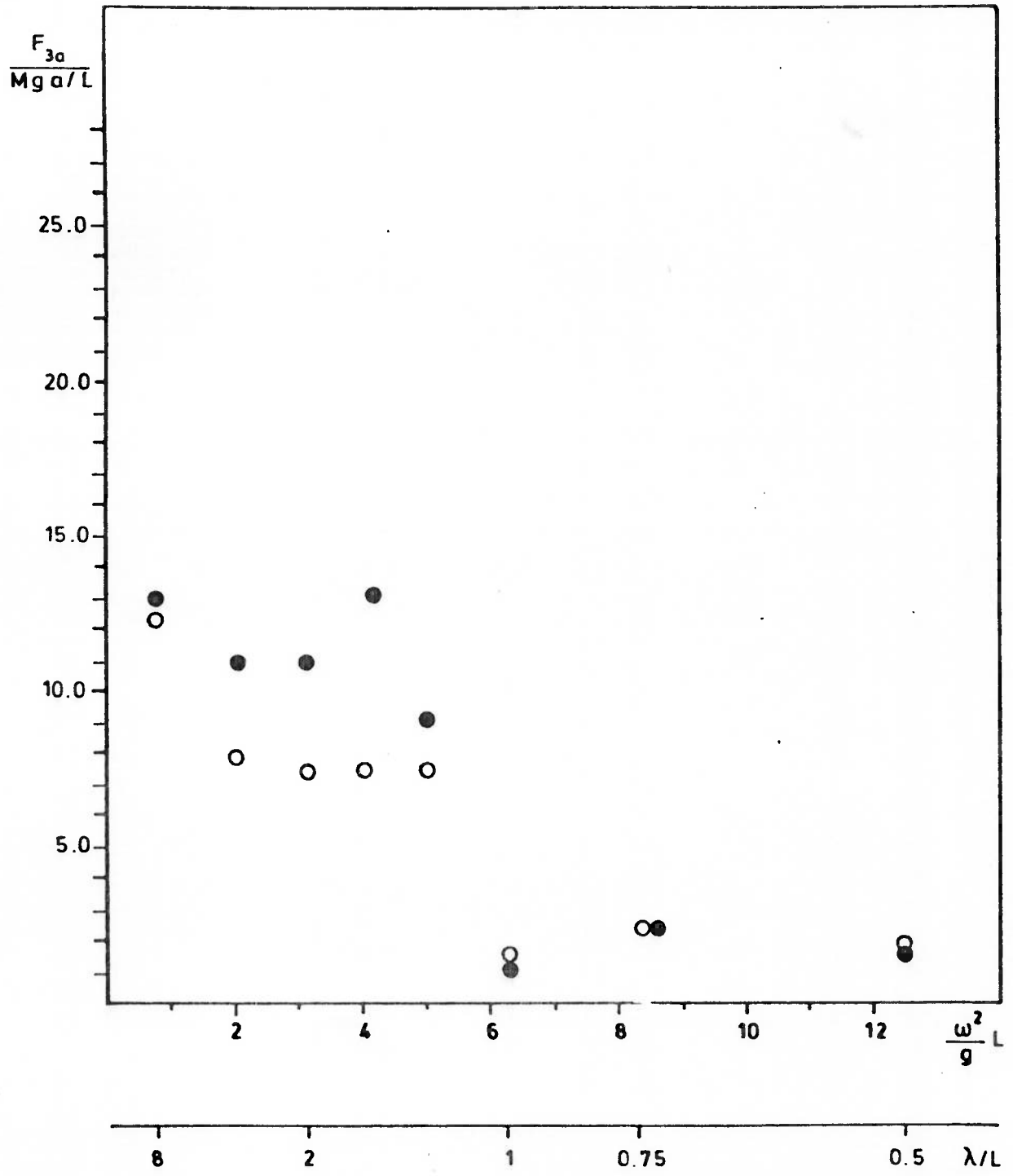


FIG. C.6

$\beta = 90^\circ$

A.IV.17

● NVPONT (HASKIND)

○ NV459

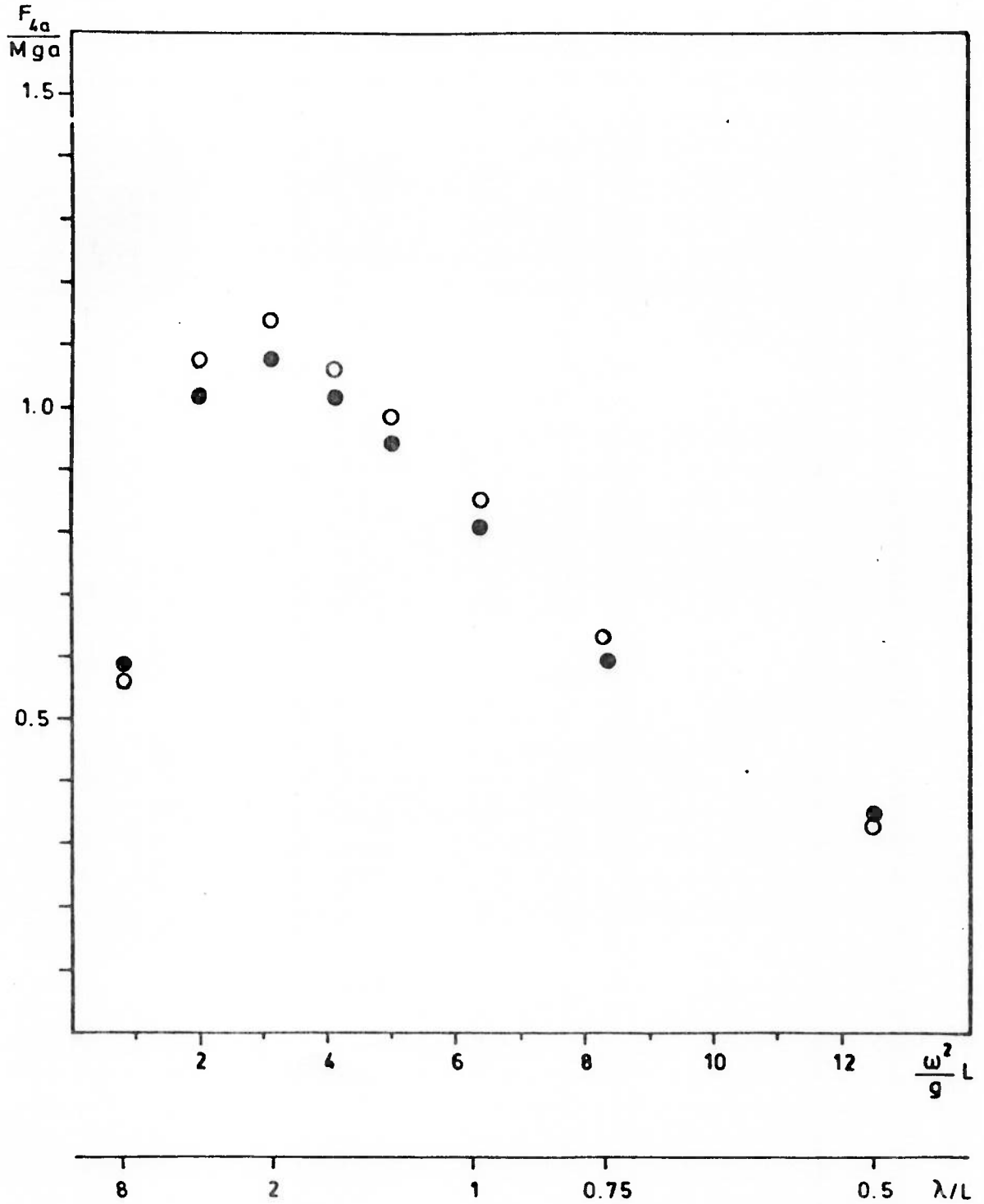


FIG. C.7

$\beta = 90^\circ$

A.IV.18

● NVPONT (OGILVIE)

○ NV459

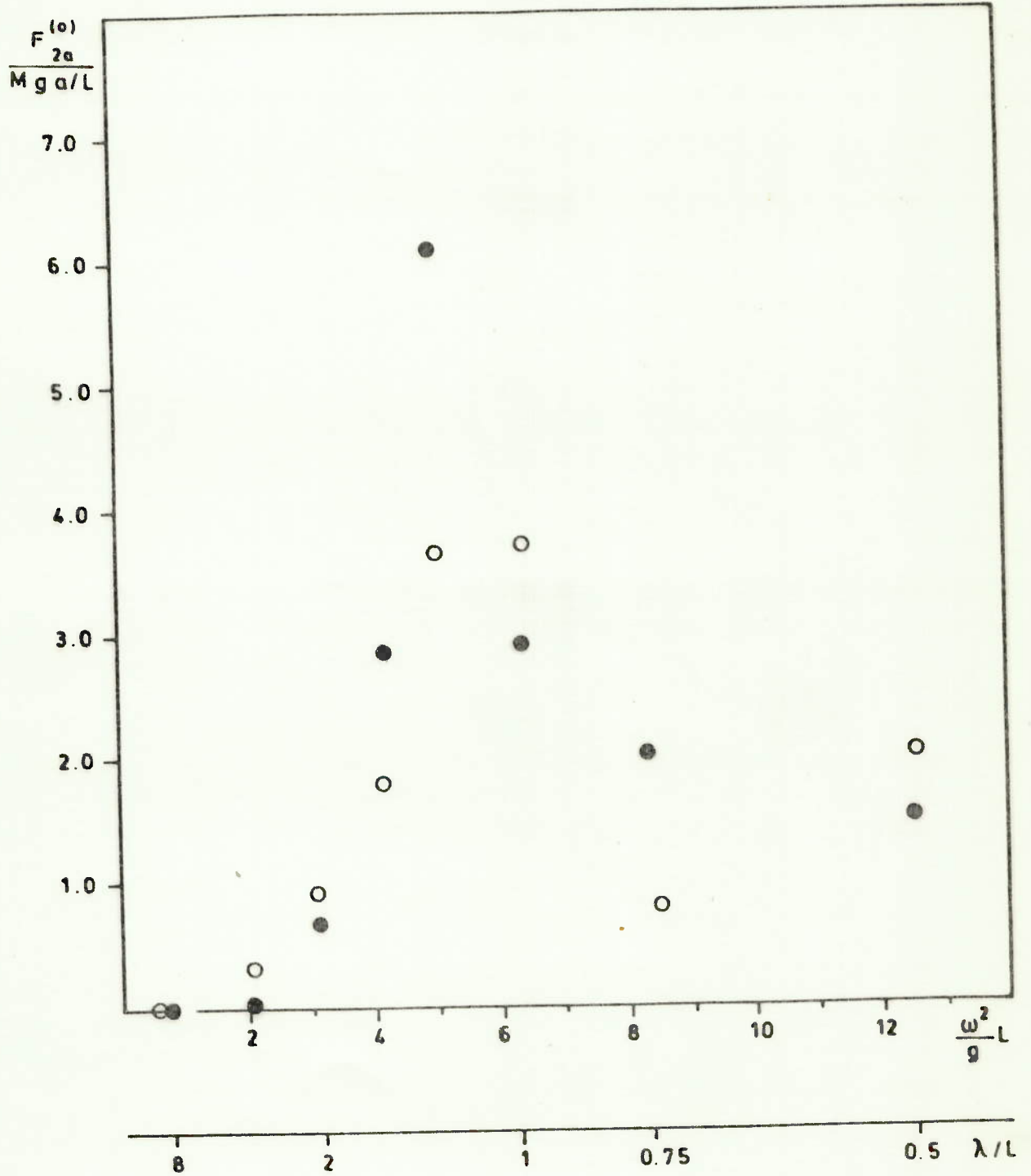


FIG. C.8



$\beta = 90^\circ$

● NVPONT (OGILVIE)

○ NV459

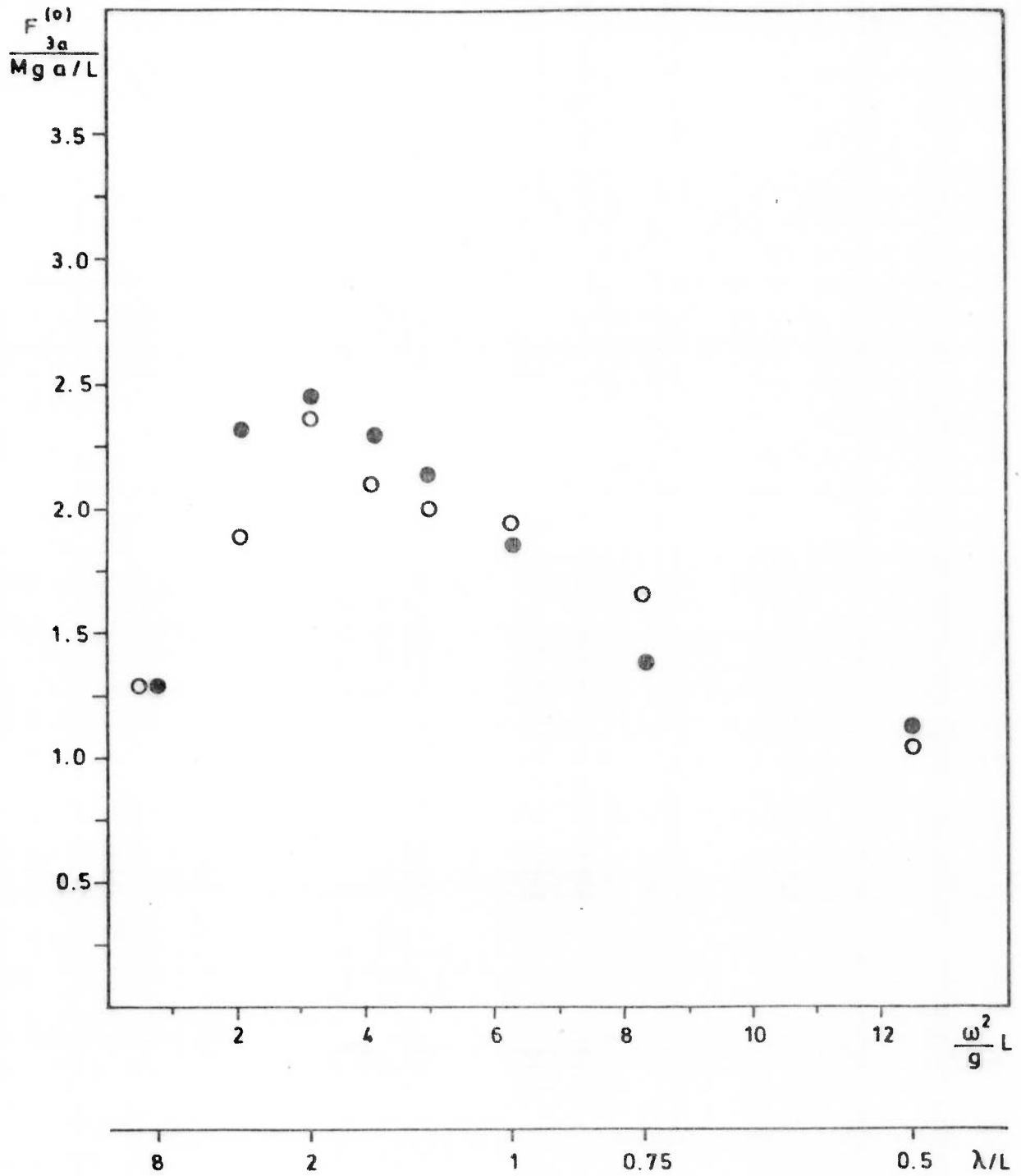


FIG. C.9

$\beta = 60^\circ$

● NVPONT (HASKIND)

○ NV459

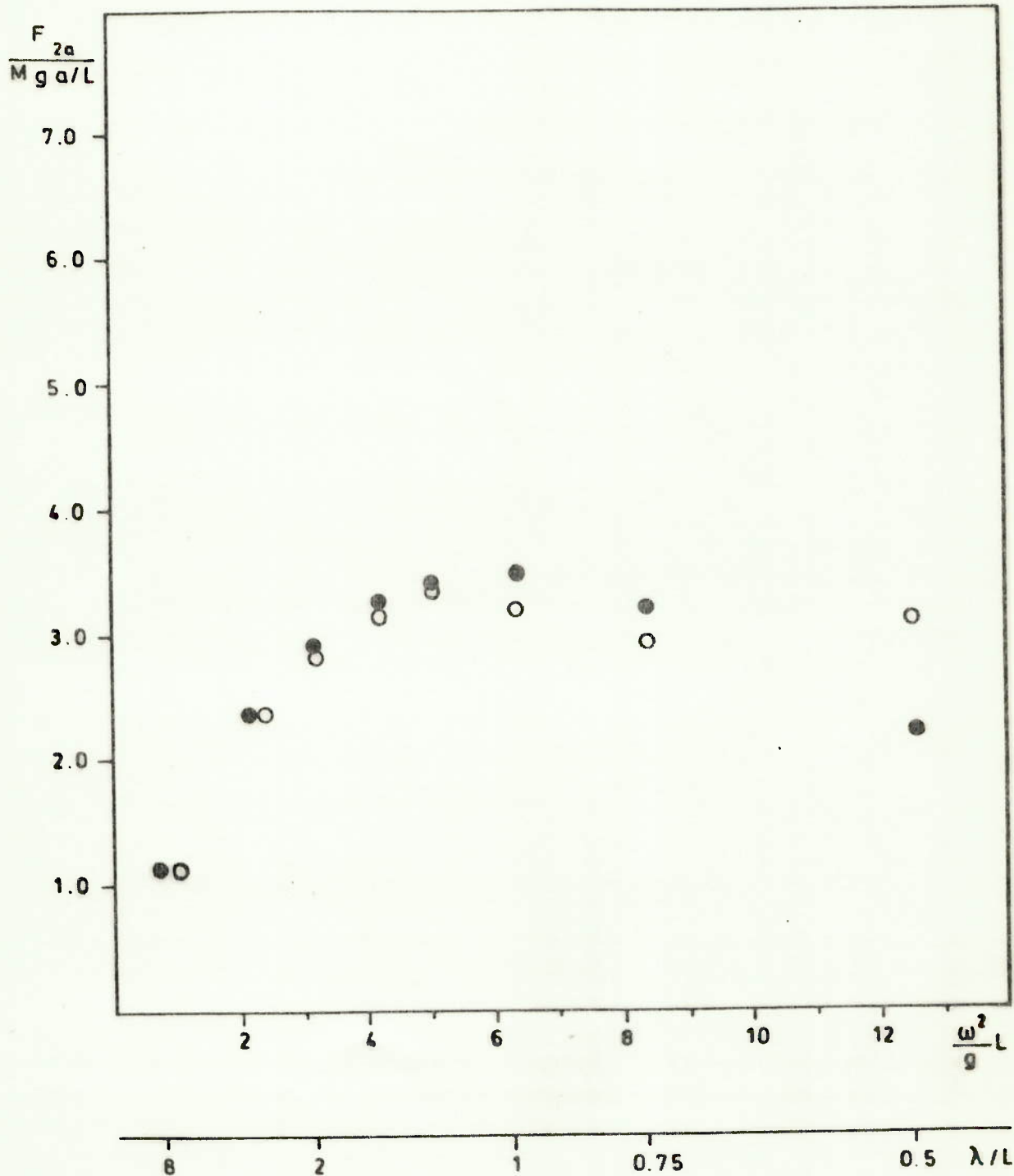


FIG. C.10

$\beta = 60^\circ$

A. IV. 21

● NVPONT (HASKIND)

○ NV459

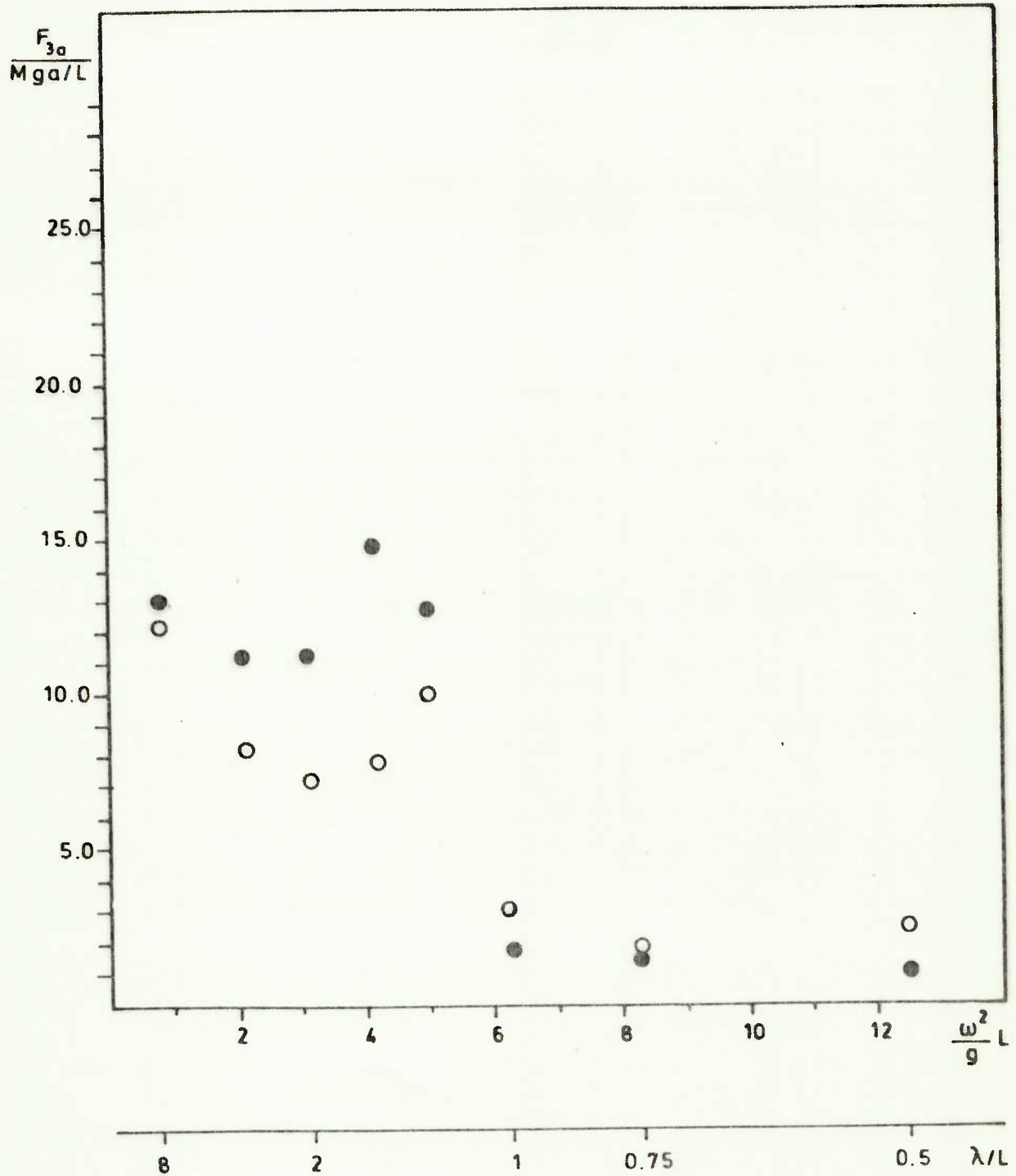


FIG. C. II

$\beta = 60^\circ$

● NVPONT (OGILVIE)

○ NV459

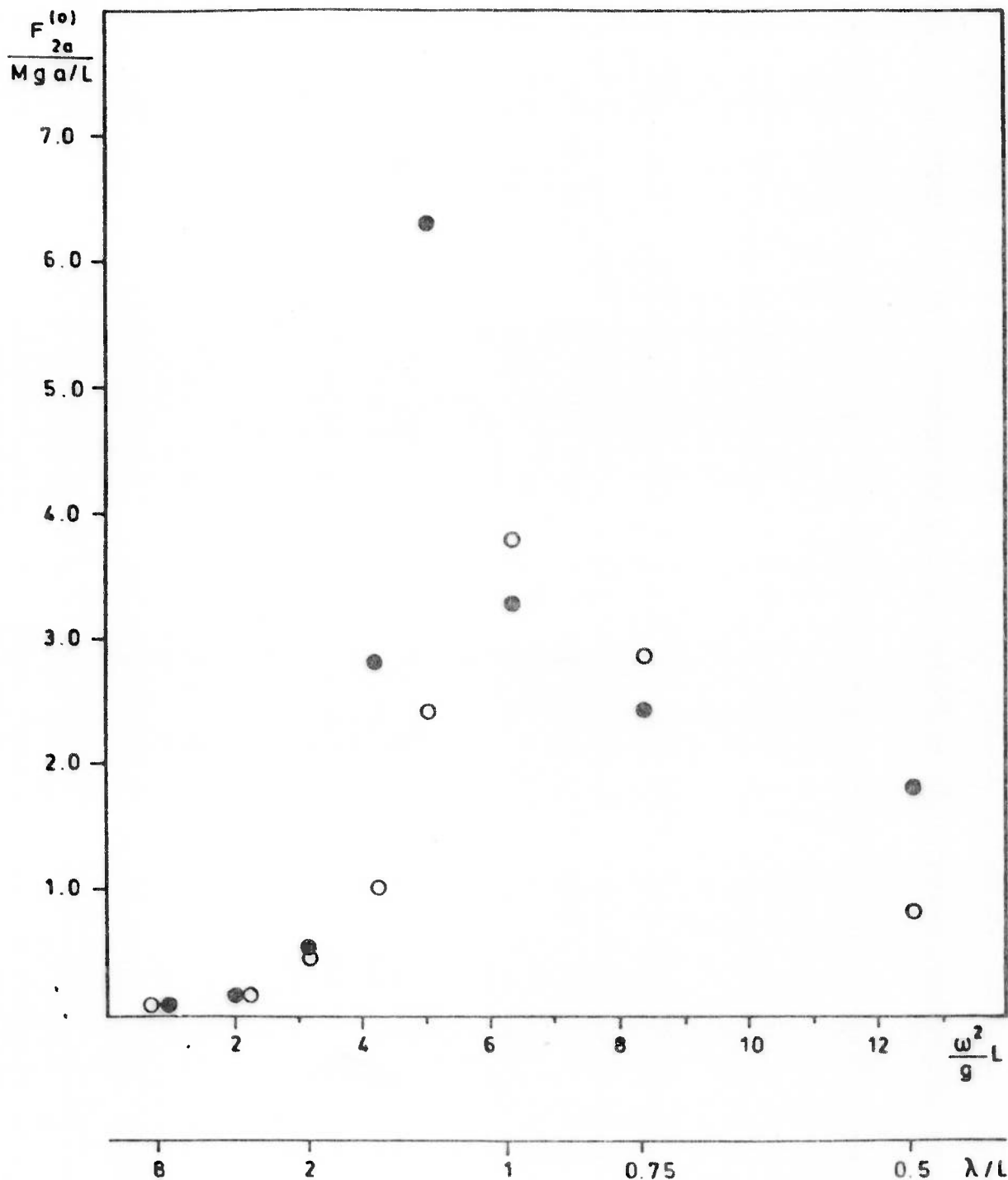


FIG. C.12

$\beta = 60^\circ$

● NVPONT (OGILVIE)

○ NV459

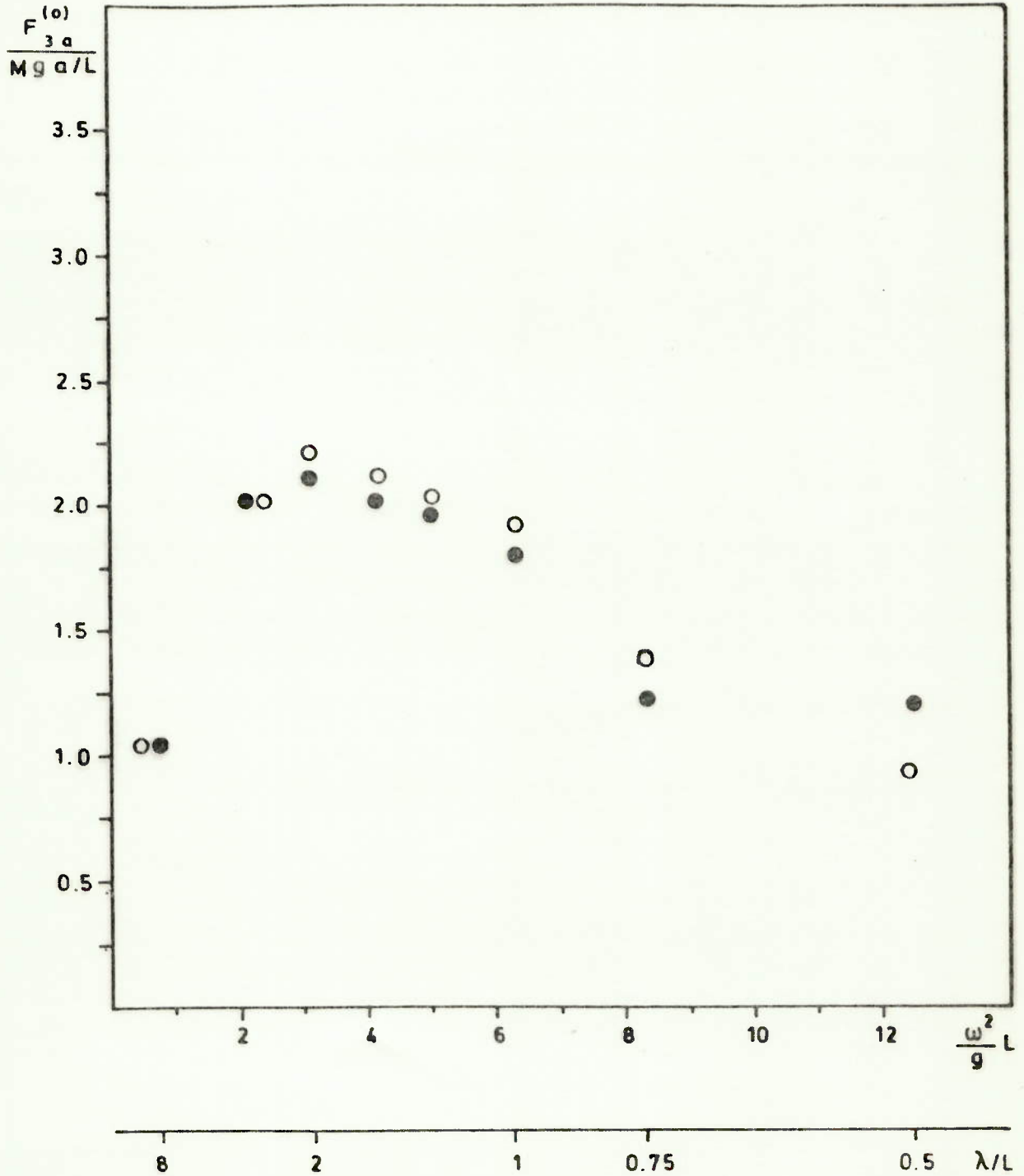


FIG.C.13

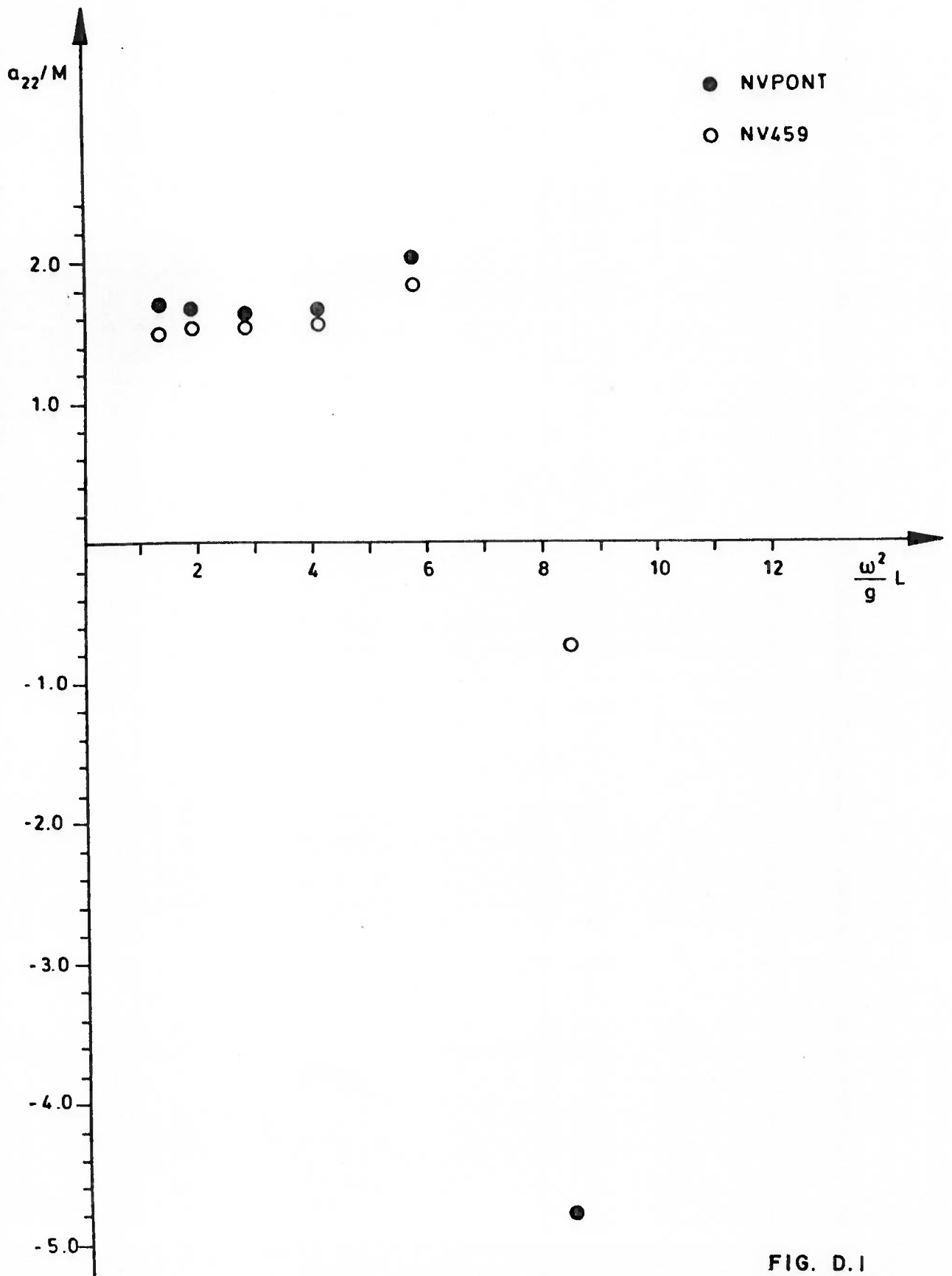


FIG. D.1

- NVPONT
- NV459

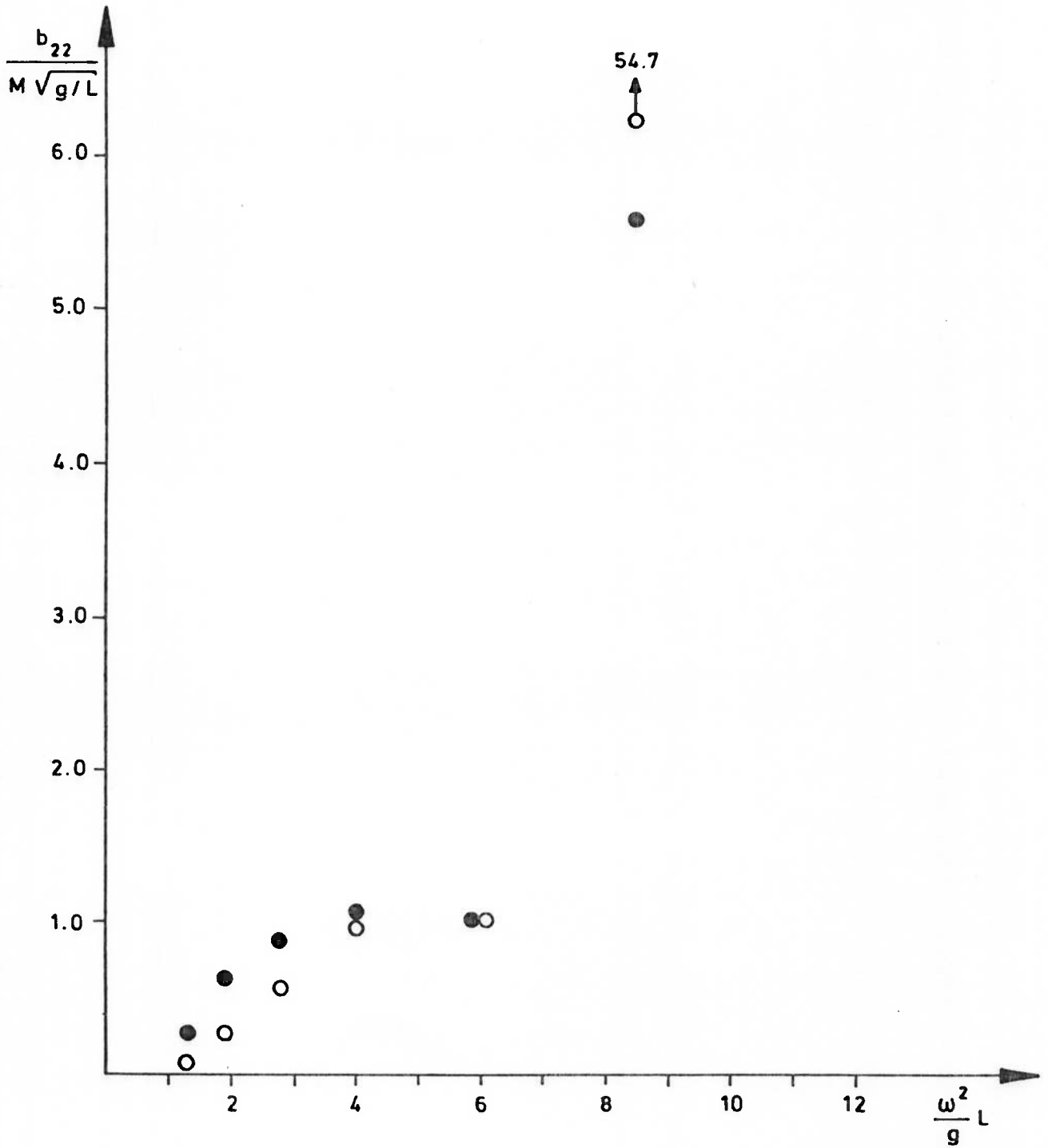


FIG. D.2

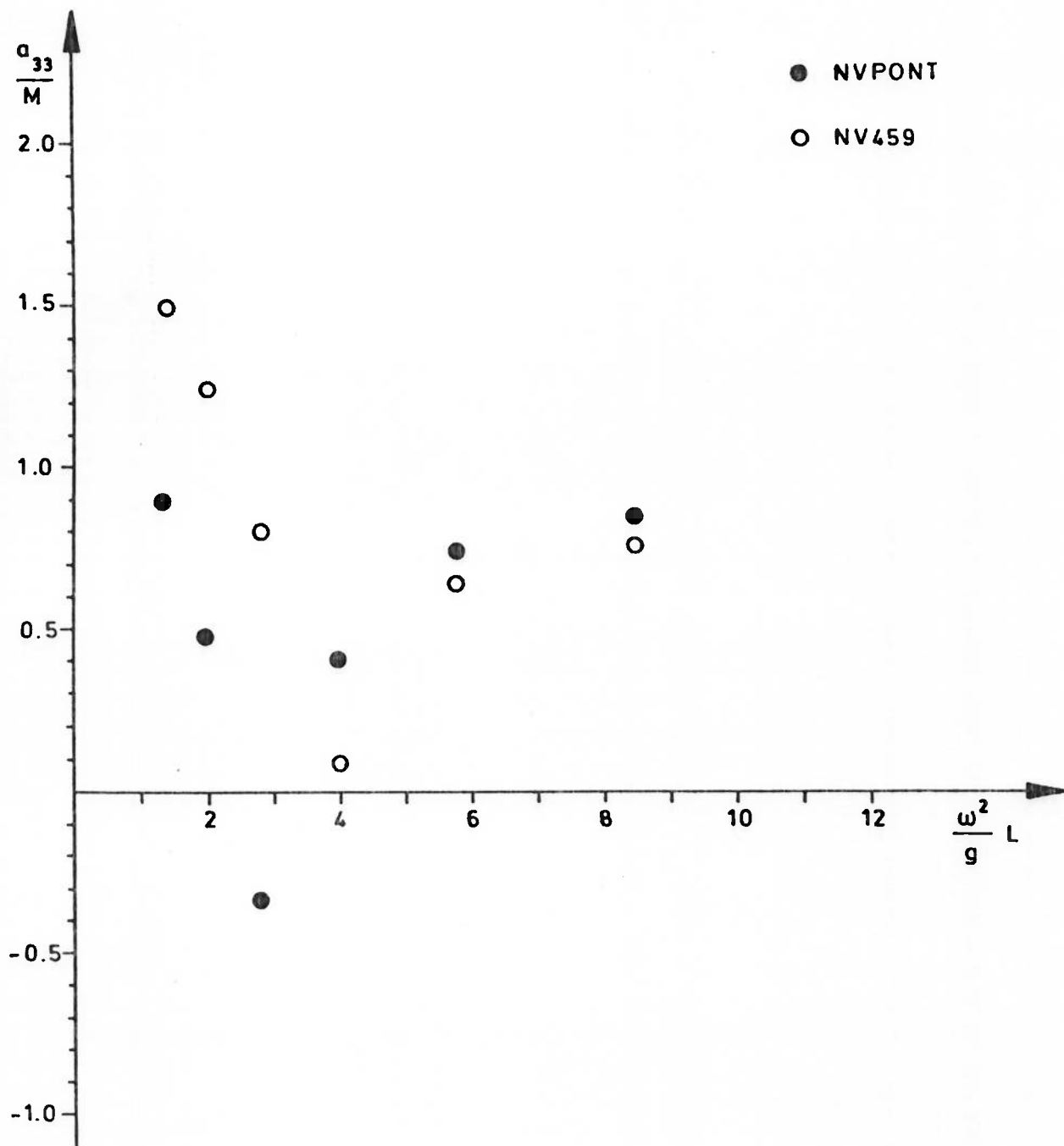


FIG. D.3



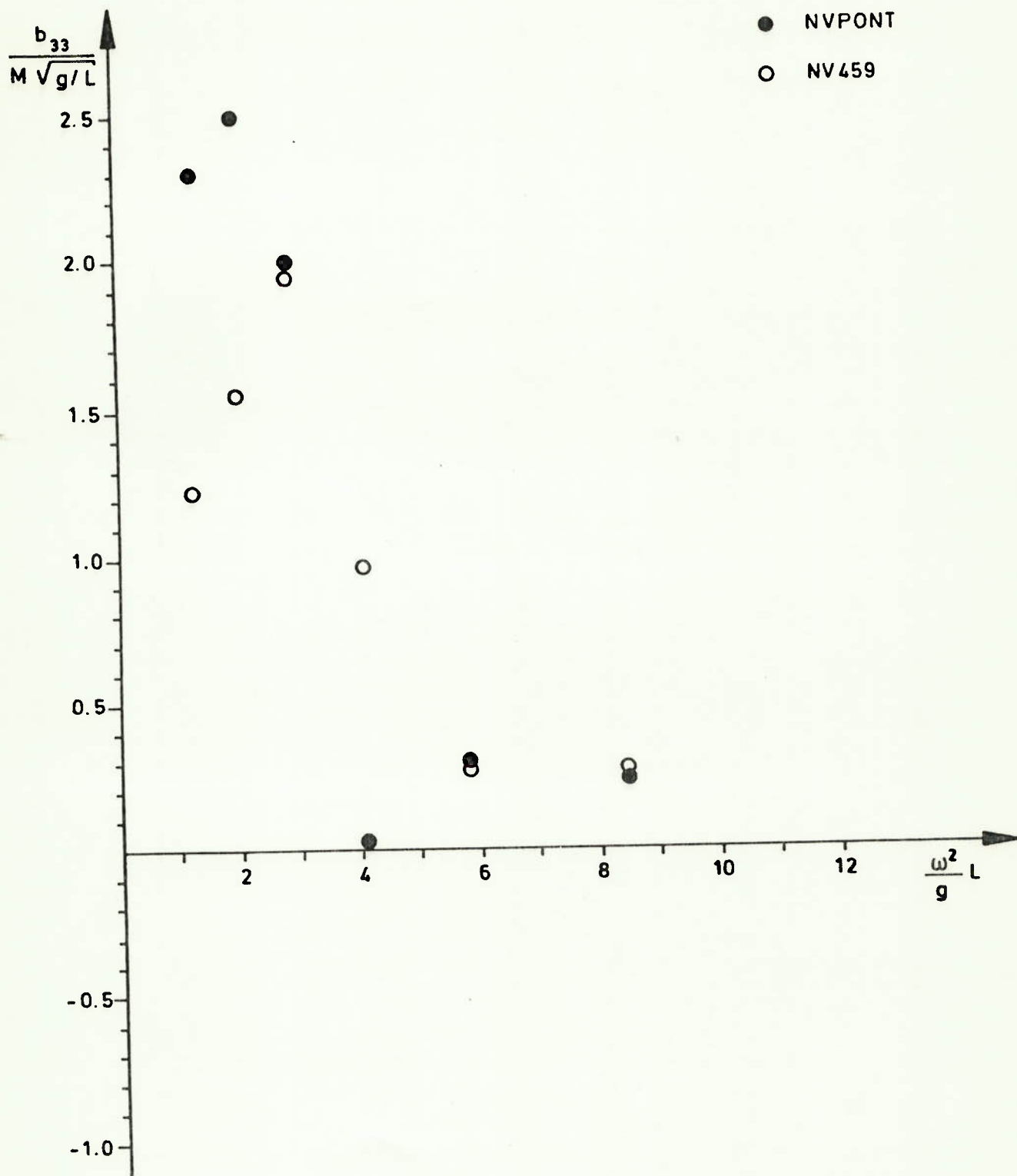


FIG. D.4

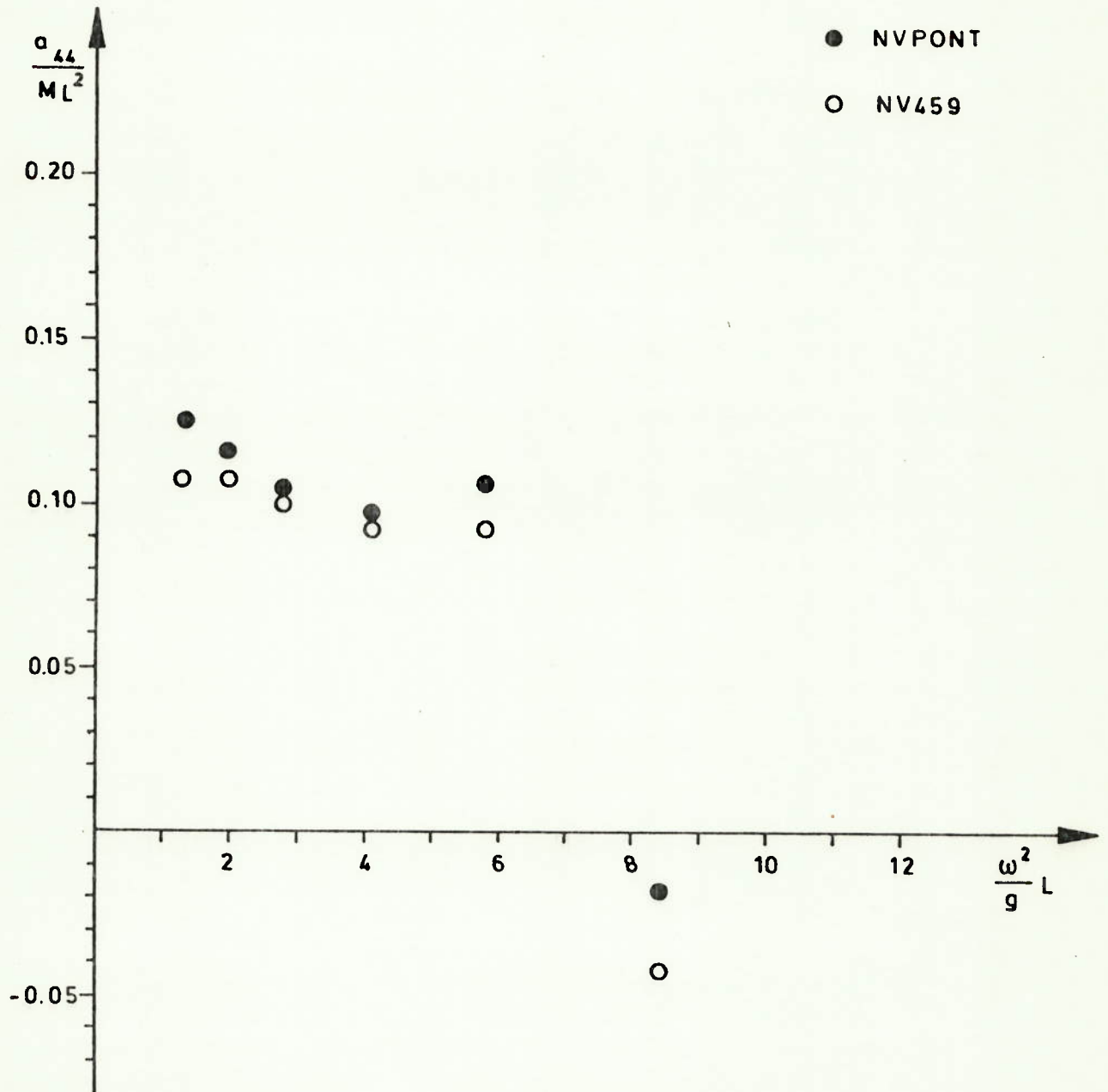


FIG. D.5

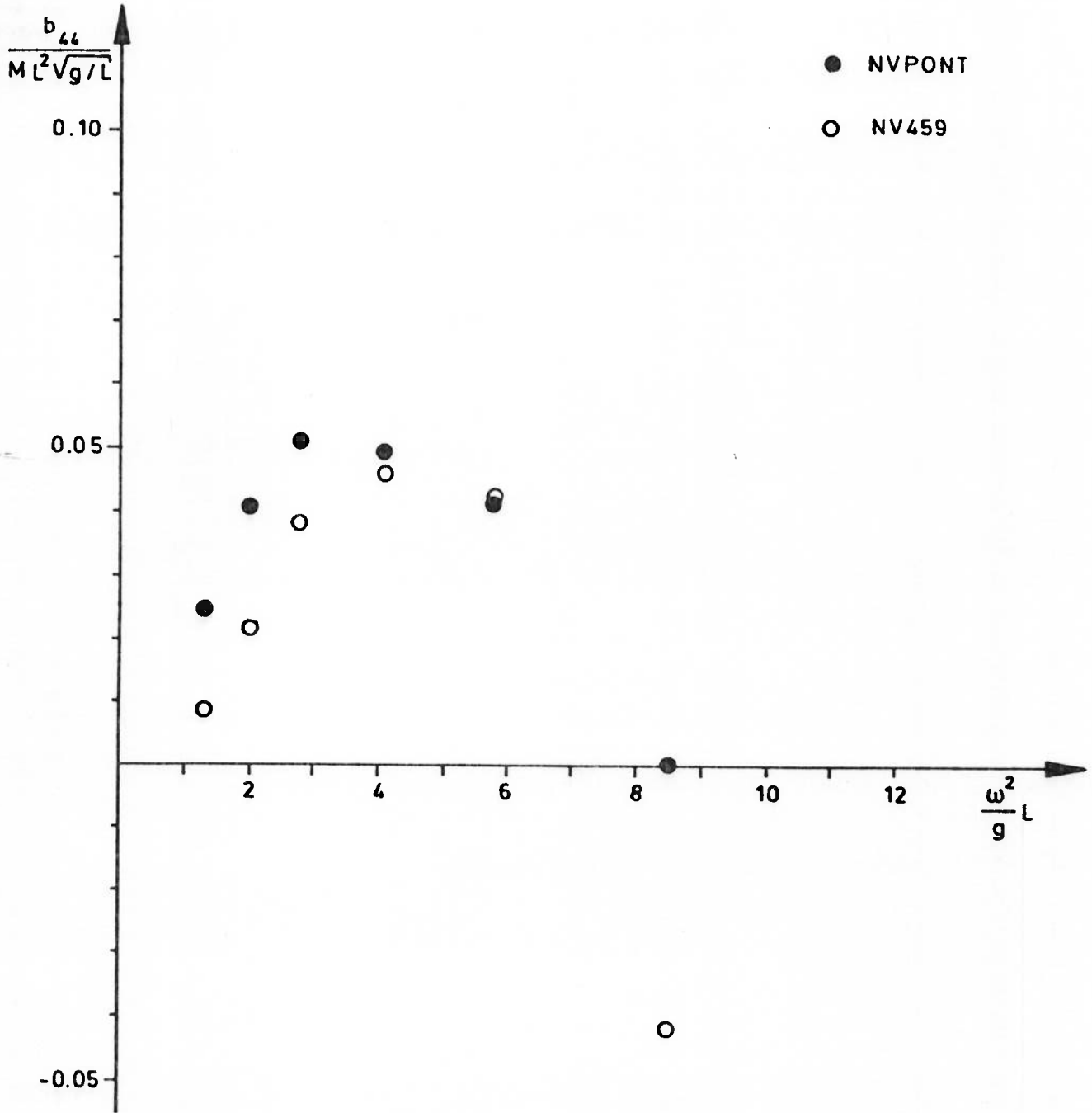


FIG. D.6

$\beta = 90^\circ$

A. IV. 30

● NVPONT (HASKIND)

○ NV459

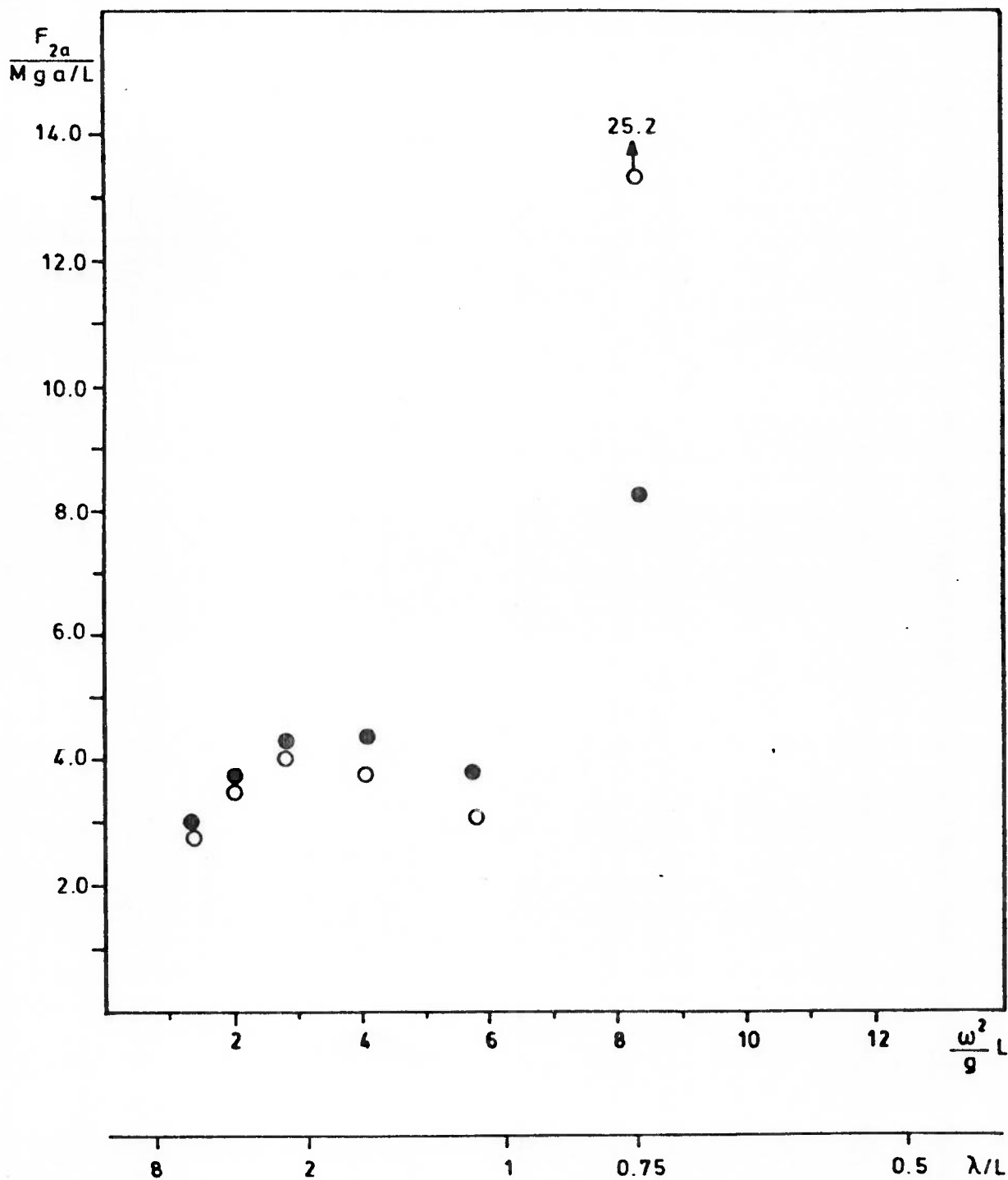


FIG. D.7

$\beta = 90^\circ$

● NVPONT

○ NV459

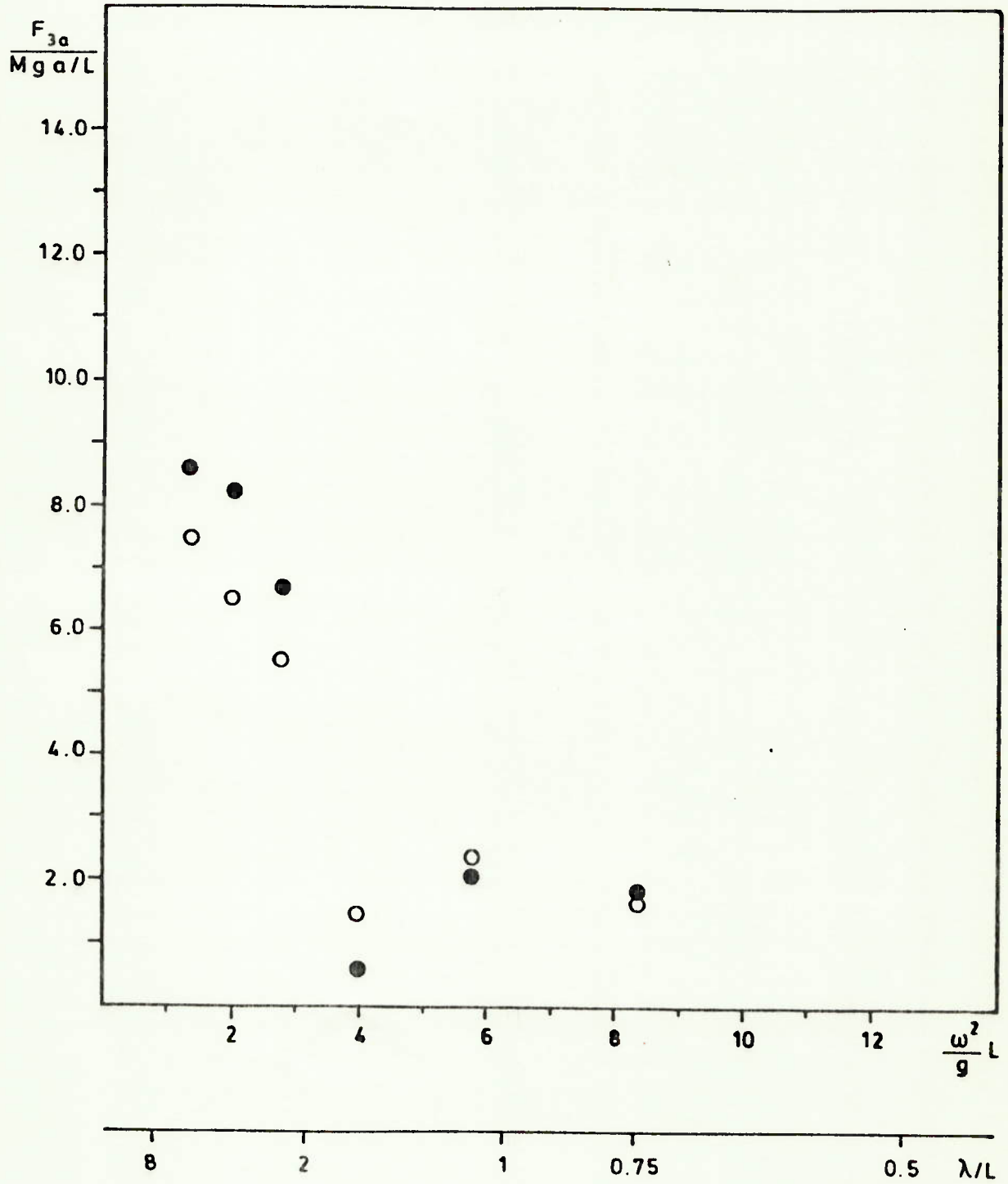


FIG. D.8

$\beta = 90^\circ$

● NVPONT

○ NV459

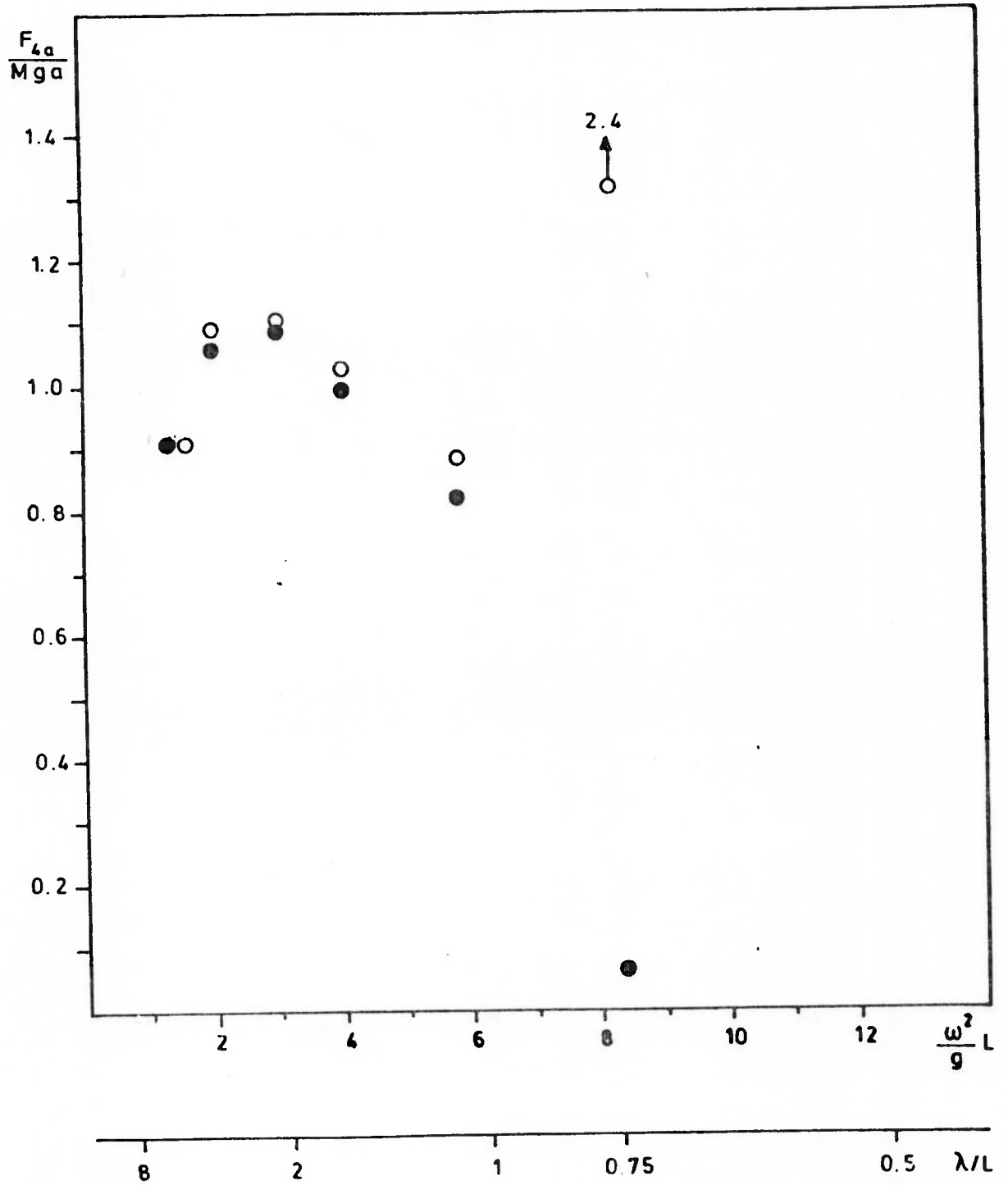


FIG. D.9

$\beta = 90^\circ$

● NVPONT (OGILVIE)

○ NV459

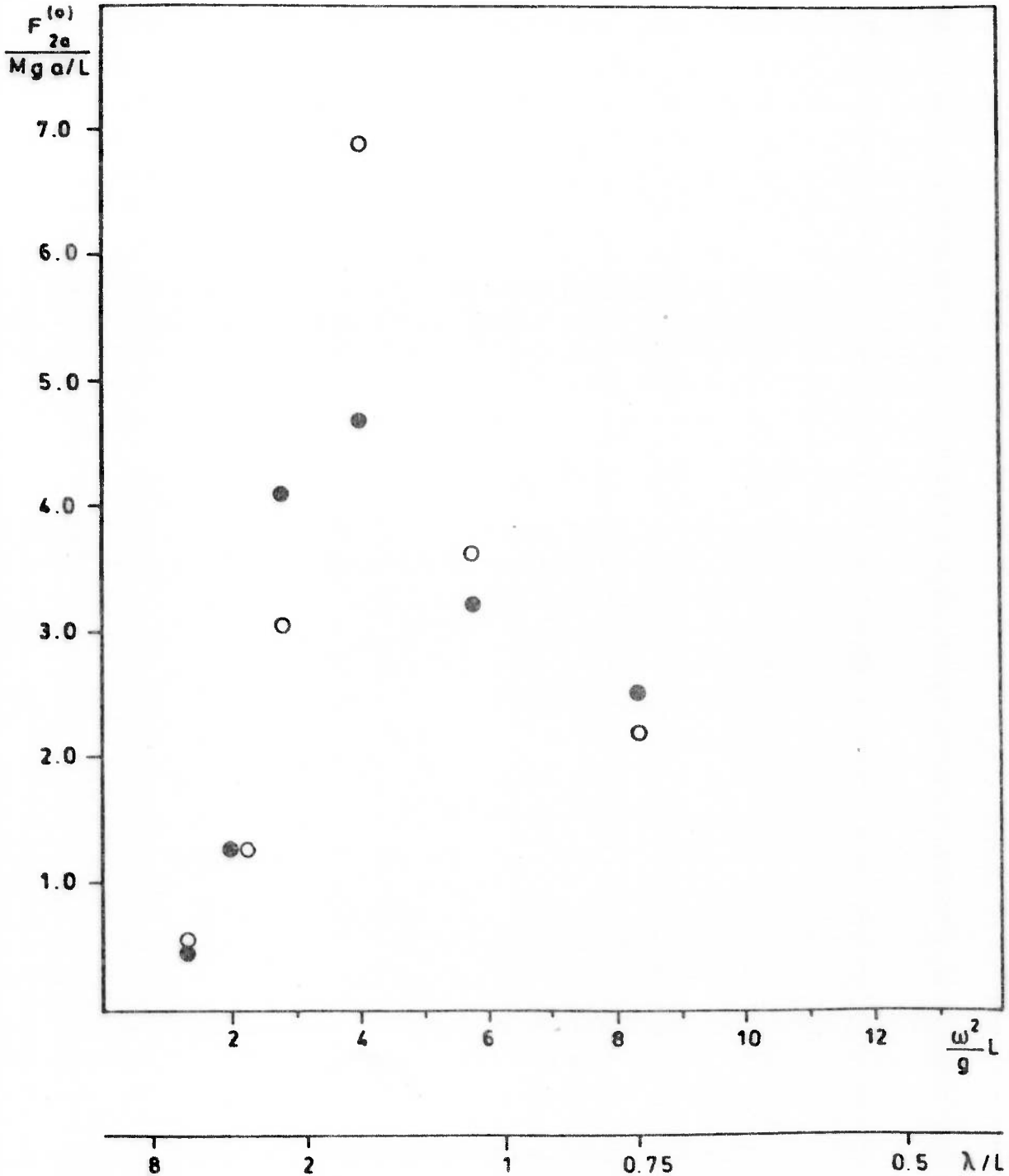


FIG. D.10

$\beta = 90^\circ$

● NVPONT (OGILVIE)

○ NV459

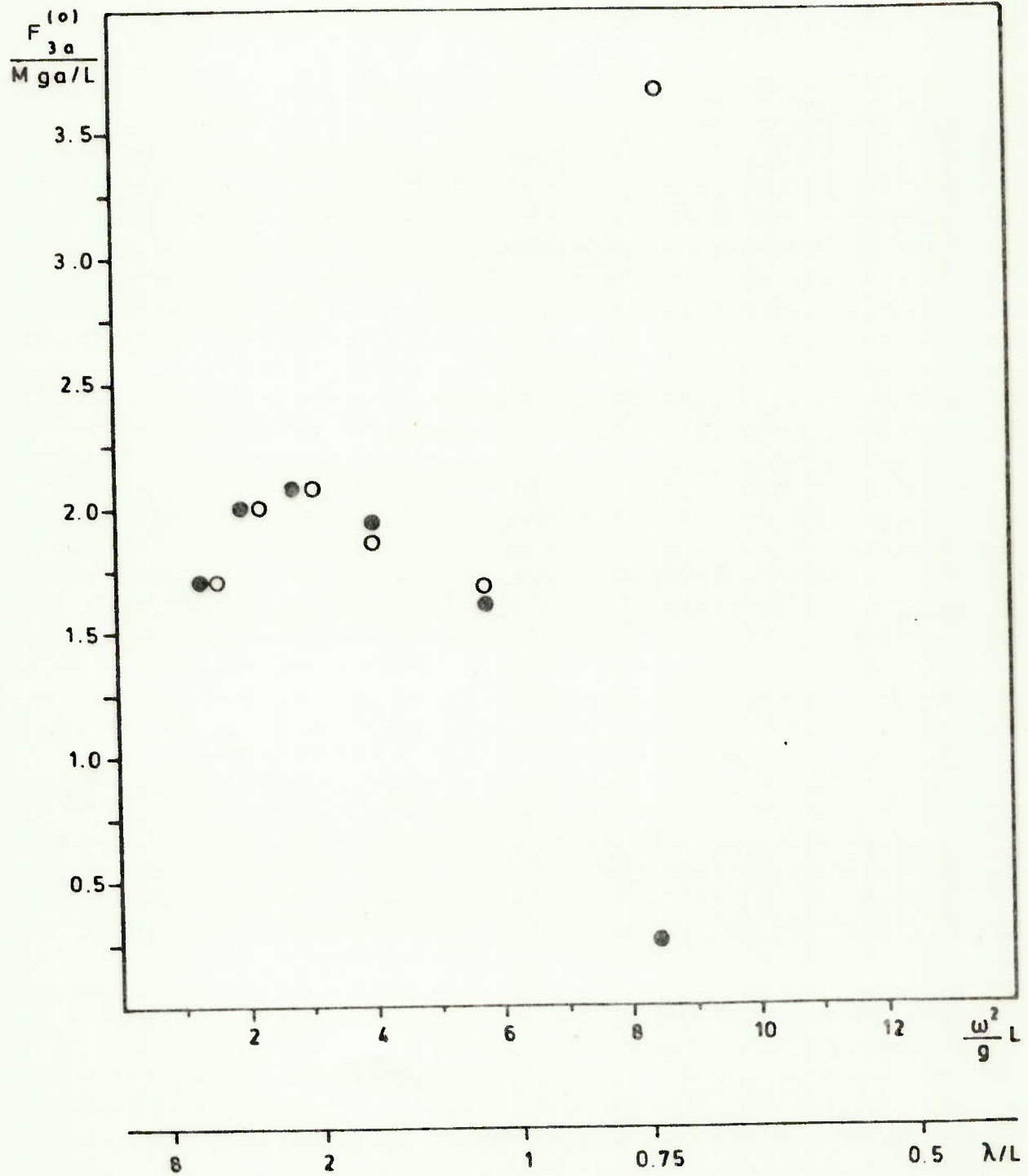


FIG. D.II



## APÊNDICE A.IV - ÍNDICE DE FIGURAS

	Página
Fig. A.1 Coeficientes de massa adicionada em deriva para a configuração A .....	A.IV.2
Fig. A.2 Coeficientes de massa adicionada em arfagem para a configuração A .....	A.IV.2
Fig. A.3 Coeficientes de massa adicionada em balanço para a configuração A .....	A.IV.3
Fig. A.4 Coeficientes de amortecimento em deriva para a configuração A .....	A.IV.3
Fig. A.5 Coeficientes de amortecimento em arfagem para a configuração A .....	A.IV.4
Fig. A.6 Coeficientes de amortecimento em balanço para a configuração A .....	A.IV.4
Fig. A.7 Coeficientes de forças de difração emparelhadas (deriva) , parte real e imaginária, para a configuração A .....	A.IV.5
Fig. A.8 Coeficientes de forças de difração emparelhadas (arfagem), parte real e imaginária, para a configuração A .....	A.IV.6
Fig. A.9 Coeficientes de forças de difração emparelhadas (balanço), parte real e imaginária, para a configuração A .....	A.IV.7
Fig. B.1 Coeficientes de massa adicionada e de	

- amortecimento em movimentos de arfagem,  
 deriva e balanço para o cilindro nº 1 ..... A.IV.8
- Fig. B.2 Coeficientes de massa adicionada e de  
 amortecimento de arfagem, induzidos por  
 movimentos de deriva, deriva induzidos  
 por arfagem e balanço induzidos por  
 arfagem para o cilindro nº 1 .....A.IV.9
- Fig. B.3 Forças excitantes emparelhadas, em  
 movimentos de deriva e arfagem, para  
 o cilindro nº 1  
 (I) Obtidos de potenciais de corpos rígidos . A.IV.10
- Fig. B.4 Forças excitantes opostas, em movimentos  
 de deriva e arfagem, para o cilindro nº 1.  
 (II) Método de Mathisen & Carlsen (NV407)  
 (III) Método de Ogilvie ..... A.IV.11
- Fig. C.1 Coeficientes de massa adicionada,  
 em deriva e balanço, para a configuração C .. A.IV.12
- Fig. C.2 Coeficientes de amortecimento, em deriva  
 e balanço, para a configuração C ..... A.IV.12
- Fig. C.3 Coeficientes de massa adicionada, em arfa  
 gem, para a configuração C ..... A.IV.13
- Fig. C.4 Coeficientes de amortecimento, em arfagem,  
 para a configuração C ..... A.IV.14
- Fig. C.5 Força excitante total em deriva, para a  
 configuração C. Ondas de travês ..... A.IV.15
- Fig. C.6 Força excitante, total em arfagem,

- para a configuração C. Ondas de travês ..... A.IV.16
- Fig. C.7 Momento excitante total em balanço,  
para a configuração C. Ondas de travês ..... A.IV.17
- Fig. C.8 Forças de excitação de sentidos opostos  
(deriva), para a configuração C. Ondas  
de travês ..... A.IV.18
- Fig. C.9 Forças de excitação de sentidos opostos  
(arfagem), para a configuração C. Ondas  
de travês ..... A.IV.18
- Fig. C.10 Força excitante total em deriva,  
para a configuração C.  $\beta = 60^\circ$  ..... A.IV.20
- Fig. C.11 Força excitante total em arfagem,  
para a configuração C.  $\beta = 60^\circ$  ..... A.IV.21
- Fig. C.12 Forças de excitação de sentidos opostos  
(deriva) para a configuração C.  $\beta = 60^\circ$  ..... A.IV.22
- Fig. C.13 Forças de excitação de sentidos opostos  
(arfagem), para a configuração C.  $\beta = 60^\circ$  ..... A.IV.23
- Fig. D.1 Coeficientes de massa adicionada, em  
deriva, para a configuração D ..... A.IV.24
- Fig. D.2 Coeficientes de amortecimento, em deri  
va, para a configuração D ..... A.IV.25
- Fig. D.3 Coeficientes de massa adicionada, em  
arfagem, para a configuração D ..... A.IV.26
- Fig. D.4 Coeficientes de amortecimento, em arfa  
gem, para a configuração D ..... A.IV.27
- Fig. D.5 Coeficientes de massa adicionada, em  
balanço, para a configuração D ..... A.IV.28

- Fig. D.6 Coeficientes de amortecimento, em  
balanço, para a configuração D ..... A.IV.29
- Fig. D.7 Força excitante total, em deriva,  
para a configuração D. Ondas de travês ..... A.IV.30
- Fig. D.8 Força excitante total, em arfagem,  
para a configuração D. Ondas de travês ..... A.IV.31
- Fig. D.9 Momento excitante total, em balanço,  
para a configuração D. Ondas de travês ..... A.IV.32
- Fig. D.10 Forças de excitação de sentidos  
opostos (deriva), para a configuração D.  
Ondas de travês ..... A.IV.33
- Fig. D.11 Forças de excitação de sentidos opostos  
(arfagem), para a configuração D.  
Ondas de travês ..... A.IV.34

## BIBLIOGRAFIA

- \* | 1 | APOSTOL, Tom M. Análisis matemático. Segunda edición. Barcelona, Editorial Reverté S.A., 1977.
- \* | 2 | ASHLEY, Holt Aerodynamics of wings and bodies. Reading, Mass., Addison-Wesley, 1965.
- | 3 | BAIN, J. Mohole platform equations of motion for Dynasar program. New York, Advanced Technology Laboratories, Report nº 63GL122, Aug. 1963.
- | 4 | BISHOP, R.E.D. & PRICE, W.G. The dynamics of marine vehicles and structures in waves. London, IME, 1974.
- | 5 | BORODAI, I.K. & NETSVETAYEV, Y.A. Ship motions in ocean waves. Sudostorenie, Leningrad, 1969.
- \* | 6 | BØRRESEN, R. On the irregular frequency problem in the theory of ship motions. Oslo, Det Norske Veritas, Report nº 80-06-74, 1974.
- | 7 | BURKE, B.G. The analysis of motions of semi-submersible drilling vessels in waves. SPE Journal, p.311-320, 1970.
- \* | 8 | CAPANOGLU, Cuneyt Tension leg platform: interaction of naval architectural and structural design considerations. Marine Technology, New York, 16(4): 343-352, Oct., 1979.
- \* | 9 | CARLSEN, C.A. & MATHISEN, J. Hydrodynamics loading for structural analysis of twin hull semisubmersibles. Chicago, ASME Winter Meeting, Nov. 1980.
- \* | 10 | CHATAIGNIER, Pascal & PRYTZ, Knud Added mass and damping calculation method issued from Potash for oscillating cylinders. Chantiers Navals de la Ciotat, 1976.
- \* | 11 | CHOO, Kwan Yup Exciting forces and pressure distribution on a ship in oblique waves. Massachusetts Institute of Technology, 1975. (Submitted in partial fulfillment of the requirements for the Degree of Doctor of Science).

- | 12 | CHUNG, Jin S. Motion of a floating structure in water of uniform depth. J. Hydraulics, 10(3): 65-73, July 1976.
- \* | 13 | ST. DENIS, Manley On the motions of oceanic platforms. International Symposium on the Dynamics of Marine Vehicles and Structures in Waves; London, IME, 1974. Paper 13.
- | 14 | ST. DENIS & ALMENDIGER, E. Problems of ocean platforms. Spring Meeting SNAME, Honolulu, Hawaii, May 25-28.
- \* | 15 | VAN DYKE, Milton Perturbation methods in fluid mechanics. Stanford, California, The Parabolic Press, 1975.
- \* | 16 | EGELAND, O. & LANGFELDT, J.N. NV407 : Motions and loads for drilling platforms. Maintenance manual. Oslo, Det Norske Veritas, Report n<sup>o</sup> 74-61-S, Nov. 1974.
- | 17 | EVEREST, J.T. Some research on the hydrodynamics of catamarans and multi-hulled vessels in calm water. Transactions, NECIES., London, 84(5): 129-148, May, 1968.
- \* | 18 | FALTINSEN, Odd M. A study of the two-dimensional added-mass and damping coefficients by the Frank Close-Fit Method. Oslo, Det Norske Veritas, Report n<sup>o</sup> 69-10-S, 1969.
- \* | 19 | ——— A comparison of Frank Close-Fit method with some other methods used to find two-dimensional hydrodynamical forces and moments for bodies which are oscillating harmonically in an ideal fluid. Oslo, Det Norske Veritas, Report n<sup>o</sup> 69-43-S, Nov. 1969.
- \* | 20 | ——— A rational strip theory of ship motions. Part II. Ann Arbor, Michigan, The University of Michigan, Dec. 1971.
- \* | 21 | ——— Wave forces on a restrained ship in head-sea waves. Ninth Symp. on Naval Hydrodynamics, Paris, Aug. 1972.
- \* | 22 | FALTINSEN, Odd M. & LOKEN, A.E. NV459: Wave forces on large objects of arbitrary form. User's Manual. Oslo, Det Norske Veritas, Report n<sup>o</sup> 74-13-S, 1974.
- \* | 23 | FALTINSEN, Odd M. & MICHELSEN, F.C. Motions of large structures in

waves at zero Froude numbers. Oslo, Det Norske Veritas, Publ.nº 90, Sept. 1975.

- |24| FISH, P. & RAINEY,R. The importance of structural motion in the calculation of wave loads on an offshore structure. Second International Conference on Behaviour of Offshore Structures, London , 28-31 Aug, 1979.
- \* |25| FRANK, W. Oscillation of cylinders in or below of the free surface of deep fluids. Washington, NSRDC Report 2375, Oct.1967.
- \* |26| FRANK, W. & SALVESEN,N. The Frank Close-Fit motion computer program (2D). Washington, NSRDC Report 3289, June 1970.
- |27| GARRISON, C.J. Hydrodynamic loading of large offshore structures. International Symposium on Numerical Method Offshore Engineering, SWANSSA ,Jan 15<sup>th</sup> 1977.
- |28| GOREN, Y. A new approach to derrick barge design. OTC 1079 Offshore Tech. Conf.,Houston,1969.
- \* |29| GREENBERG, Michael D.Application of Green's functions in science and engineering. Englewood Cliffs, N.J. Prentice-Hall, 1971.
- |30| HADLER, J.B. et alii. Ocean catamaran seakeeping design, based on the experiences of USNS HAYES. New York, Transactions, SNAME,1974.
- \* |31| HALLAM, M.G., HEAF,N.J. & WOOTTON, L.R. Dynamics of marine structures. London, Ciria Underwater Engineering Group, Oct. 1978,Report UR8.
- |32| HASKIND, M.D. The exciting forces and wetting of ships in waves. Izvetia Akademii Nauk SSSR, Otdelenie Tekhnicheskikh Nauk, nº 7., 1957, p.65-79.
- |33| HEARN, Grant E. & DONATI, Edilio Seakeeping theories-applying some choice. Transactions, NECIES, London, 97(2): 53-68, March 1981.
- \*|34| HILDEBRAND, Francis B. Advanced calculus for applications. Englewood Cliffs,N.J., Prentice-Hall, 1976.

- |35| HOOFT, Jan P. Designing platforms for minimum motion. Ocean Industry, Texas 5(12): 27-30, Dec.1170.
- |36| ——— A mathematical method of determining hydrodynamically induced forces on a semisubmersible. Annual Meeting, SNAME, New York, Nov.11-12, 1971.
- |37| ——— Motions of stationary structures. International Symposium on the Dynamics of Marine Vehicles and Structures in Waves, London, IME, 1974. Paper 9.
- |38| ——— Distribution of wave forces on structural parts of ocean structures. Symposium on Offshore Hydrodynamics, Wageningen, The Netherlands, Publ. n<sup>o</sup> 375, Aug.25-26, 1971.
- |39| ——— Oscillatory wave forces on small bodies. Netherlands Ship Model Basin, Publ. n<sup>o</sup> 331.
- |40| JACOBS, W.R. The analytical calculations of ship bending moments in regular waves. Journal of Ship Research, New York,2(1) 1958.
- |41| JOHANNESSEN, Kolbjørn A study of two-dimensional added mass and damping. Oslo, Det Norske Veritas. Report n<sup>o</sup> 74-14-S, March 1974.
- \* |42| JOHN, F. On the motions of floating bodies. Comm. Pure Appl.Math., 2:13-57, 1949; 3:45-101, 1950.
- |43| JONES,H.D. Catamaran motion predictions in regular waves. Washington NSRDC Report 3700, Jan.1972.
- \* |44| JONG, B. de Computation of the hydrodynamics coefficients of oscillating cylinders. Netherlands Ship Research Centre TNO,Report n<sup>o</sup> 145S, June 1973.
- \*|45| KARPPINEN, Tuomo Wave induced motions of semisubmersible drilling rigs. Helsinki, Helsinki University of Technology.
- \* |46| KIM, C.H. The hydrodynamic interaction between two cylindrical bodies floating in beam seas. Hoboken , Stevens Institute of Technology , Report SIT-0E-72-10. Oct. 1972.



- | 47| KIM,C.H. Calculation of motion and load of a ship uniformly advancing in oblique regular waves. Davidson Lab., Stevens Institute of Technology, Hoboken, N.J. DT TM-66, March, 1974.
- \*| 48| ——— Motions and loads of a catamaran ship of arbitrary shape in a seaway. Journal Hydronautics, New York, 10(1):8-17, Jan.1976.
- \*| 49| KIM,C.H. & CHOU,F. Motions of a semisubmersible drilling platform in head seas. Marine Technology, New York, 10(2):112-123, April, 1973.
- | 50| KIM,C.H.; CHOU, Frank S. & TIEN, David Motions and hydrodynamic loads of a ship advancing in oblique waves. Transactions, SNAME, New York, 88:225-256, 1980.
- | 51| KIM,C.H. & MERCIER, J.A. Analysis of multiple-float supported platforms in waves. 9th Symposium on Naval Hydrodynamics, Paris, Aug.1972.
- | 52| KORVIN-KROUKOVSKY, B.V. & JACOBS, W.R. Pitching and heaving motions of a ship in regular waves. Transactions, SNAME, New York, v.65, 1957.
- \*| 53| LAMB, Horace Hydrodynamics. New York, Dover, 1945.
- \*| 54| LANGFELDT, O. E. & GRAN, S. NV407 B: Motions and loads for drilling platforms. User's manual. Oslo, Det Norske Veritas, Report n<sup>o</sup> 76-63-S, 1974.
- \*| 55| LEE, Chung M. Theoretical prediction of motion of small-waterplane-area, twin-hull (SWATH) ships in waves. Maryland, DTNSRDC Report 76-0046, 1976.
- | 56| LEE, Chung M.; JONES, H. & BEDEL, J.M. Added mass and damping coefficients of heaving twin cylinders in a free surface. Washington, NSRDC Report 3695, 1971.
- | 57| LEE, Chung M.; JONES, H.D. & CURPHEY, R.M. Prediction of motion and hydrodynamic loads of catamarans. Marine Technology, New York, 10(4): 392-405, Oct.1973.

- [58] LEE, Choung M. & KIM, Yoon-Ho Prediction of drift forces on twin hull bodies in waves. International Symposium on Hydrodynamics in Ocean Engineering, Trondheim, The Norwegian Institute of Technology, 1981.
- \* [59] LENOIR, M. & MARTIN, D. Etude theorique et numerique du probleme linearise du mouvement sur la houle tridimensionnel. Paris, ENSTA, Centre de l'Yvette, 1980.
- [60] LEVI-CIVITA, T. La détermination rigoureuse des ondes permanentes d'ampleur finie. Proc. 1st Internat. Congr. Appl. Mech.; Delft, p.129-145, 1924.
- [61] LEWIS, F.M. The inertia of the water surrounding a vibrating ship Transactions, SNAME, vol.37, 1929.
- \* [62] LØKEN, Edvin Hydrodynamic interaction between several floating bodies of arbitrary form in waves. International Symposium on Hydrodynamics in Ocean Engineering. Trondheim, The Norwegian Institute of Technology, 1981.
- \* [63] MARION, Jerry B. Dinâmica clásica de las partículas y sistemas. Barcelona, Editorial Reverté S.A., 1975.
- \* [64] MATHISEN, Jan & CARLSEN, Carl Arne. A comparison of calculation methods for wave loads on twin pontoon semisubmersibles. SSPA International Ocean Engineering Ship Handling Symposium, Gothenburg, Sept. 17-19, 1980.
- \* [65] LE MÉHAUTE, Bernard An introduction to hydrodynamics and water waves. New York, Springer-Verlag, 1976.
- \* [66] MERIAN, James L. Dinâmica. Rio de Janeiro, Livros Técnicos e Científicos, 1976.
- [67] MEYERS, W.G. et alii Manual- NSRDC ship-motion and sea-load computer program. Bethesda, Maryland, Naval Ship Research and Development Center, Feb. 1975.
- [68] MORISON et alii The forces exerted by surface waves on piles. Transactions AIME 189, 1950, p.149-154.

- \*|69| NEWMAN, J.N. Marine hydrodynamics. Cambridge, The MIT Press, 1977.
- \*|70| NORDENSTRØM, Nils, FALTINSEN, Odd & PEDERSEN, Bjørn Prediction of wave-induced motions and loads for catamarans. OTC 1418, Offshore Tech. Conf. Texas, 1971.
- \*|71| NUMATA, Edward Predicting hydrodynamic behavior of small-waterplane area twin-hull ships. Marine Technology, New York, 18(1): 69-75, Jan. 1981.
- |72| OCHI, M.K. & VUOLO, R.M. Seakeeping characteristics of a multi-unit ocean platform. New York, SNAME, Spring Meeting, Honolulu, Hawaii, May 25-28, 1971.
- \*|73| OGILVIE, T. Francis On the computation of wave-induced bending and torsion moments. Journal of Ship Research, New York, 15(3): 217-220, Sept., 1971.
- |74| ——— Transfer functions for predicting ship motions. In.: SEA-KEEPING 1953-1973. Technical & Research Symposium S-3, New York, SNAME, June 1974.
- |75| ——— Wave-length scales in slender-ship theory. International Seminar on Ship Technology, Seoul, Korea, 13 Feb., 1976.
- \*|76| OGILVIE, T. Francis & SHIN, Young Sup Integral equations solutions for time-dependent free-surface problems. Transactions, The Society of Naval Architects in Japan, June 1978.
- \*|77| OGILVIE T. Francis & TUCK, E.O. A rational strip theory of ship motions: part I. The Department of Naval Architecture and Marine Engineering, The University of Michigan, March 1969.
- |78| OHKUSU, M. On the heaving motion of two circular cylinders on the surface of a fluid. Reports of Research Institute of Applied Mechanics, Kyushu University, Japan, 17(58) 1969.
- |79| OHKUSU, M. & TAKAKI, M. On the motion of multihull ships in waves. Reports of Research Institute for Applied Mechanics, Kyushu University Japan, 19(62) July, 1971.

- [80] OHMATSU, Shigeo On the irregular frequencies in the theory of oscillating bodies in a free surface. Tokyo, Papers of Ship Research Institute, n<sup>o</sup> 48, 1975.
- \* [81] VAN OORTMERSSEN, G. Hydrodynamic interaction between two structures floating in waves. Second International Conference on Behavior of Offshore Structures. Imperial College, London, 28-31 Aug.1979, v.1, p.339.
- \* [82] ——— Some hydrodynamic aspects of multi-body systems. International Symposium on Hydrodynamics in Ocean Engineering. Trondheim, The Norwegian Institute of Technology, 1981.
- [83] PAULLING, J.R. Elastic response of stable platform structures to wave loading. International Symposium on the Dynamics of Marine Vehicles and Structures in Waves, London, IME, 1974. Paper 25.
- [84] ——— Stability and ship motion in a seaway. Summary Report 1 July 69-30, U.S. Coast Guard, June 1970.
- [85] ——— Time domain simulation of semisubmersible platform motion with application to the tension-leg platform. New York, SNAME, Paper to be presented at the Spring Meeting/STAR Symposium, San Francisco, Cal, May 25-27, 1977.
- \* [86] ——— Wave induced forces and motions of tubular structures. 8th Symposium on Naval Hydrodynamics, Pasadena, Aug., 1970.
- \* [87] PAULLING, J.R. & HONG, Y.S. Analysis of semisubmersible catamaran-type platform. OTC 2975, Offshore Tech. Conf. Houston, p.135-141, 1977.
- \* [88] PIEN, P.C. & LEE, C.M. Motion and resistance of a low-waterplane-area catamaran. The Ninth Symposium on Naval Hydrodynamics, Paris, 21-25, Aug., 1972.
- \* [89] POTASH, Roger L. Second-order theory of oscillating cylinders. Berkeley, California, College of Engineering, Report n<sup>o</sup> NA 70-3, June 1970.
- [90] RELICH, F. Über das asymptotische Verhalten der Lösungen von  $\Delta u + Ku=0$  in unendlichen gebieten. Jahresbericht d. Deutschen Math. Vereinigung, 53: 57-65, 1943.

- \* |91| SALVESEN ,N. TUCK, E.O. & FALTINSEN, O. Ship motions and sea loads. New York, Transactions. SNAME, 1970, v.78.
- |92| SARPKEYA, Turgut A critical assessment of Morison's equation. International Symposium on Hydrodynamics in Ocean Engineering, Norway, The Norwegian Institute of Technology, 1981.
- |93| SAYER, P. & SPENCER,R. The wave-induced motions of adjacent floating vessels. International Symposium on Hydrodynamics in Ocean Engineering.Trondheim,The Norwegian Institute of Technology, 1981.
- \* |94| SAYER, P. & URSELL,F. Integral-equation methods for calculating the virtual mass in water of finite depth. 2nd. Conference on Numerical Ship Hydrodynamics, Sept. 1977.
- \* |95| VAN SLUIJS, M.F. & MINKENBERG,H.L. A review of studies of ocean platform motions, Ocean Engineering, New York, 4:75-90,1977.
- |96| SÖDING,H. Eine modifikation der streifenmethode. Schiffstechnik,16 Band, 80 Heft, Februar. 1969.
- \* |97| STOKER, J.J. Water waves. New York, Interscience Publishers,1957.
- |98| STRUIK, D.J. Détermination rigoureuse des ondes irrotationnelles permanentes dans un canal à profondeur finie. Math. Ann., 95: 595-634, 1926.
- \* |99| THORNE, R.C. Multipole expansions in the theory of surface waves. Proceedings Cambridge Philosophy Society, 49: 707-716, 1953.
- |100| URSELL, F. On the heaving motion of a circular cylinder on the surface of a fluid.Quarterly Journal of Mechanics and Applied Mathematics 2: 218-231, 1949.
- |101| ——— Short surface waves due to an oscillating immersed body. Proceedings RINA, London, 1953, p.90-103.
- |102| WAHAB,R. & HUBBLE,E.N. Simplified theoretical methods of predicting the motion of a Catamaran in waves. Washington,NSRDC Report 3836, Jan.1972.

- | 103| WAHAB, Rama; PRITCHETT, Clark & RUTH, L.C. On the behavior of the ASR Catamaran in waves. Marine Technology, New York, 8(3): 334-360, July 1971.
- | 104| WANG, S. & WAHAB, R. Heaving oscillations of twin cylinders in a free surface. Journal of Ship Research, New York, 15(2): 33-48, March 1971.
- \* | 105| WEHAUSEN, John V. & LAITONE, Edmund V. Surface waves. Encyclopedia of physics. Berlin, Spring-Verlag, 1960, p.446-749.
- | 106| WOOD, P. State-of-the-art report on seakeeping. 16th. American Towing Tank Conference, 1972.
- \* | 107| WU, T.Y. Catamaran and semi-submersible ships - a literature survey. 14th International Towing Tank Conference, 1975.

---

Nota: As publicações não assinaladas com (\*) ou constituem uma extensão da bibliografia utilizada, ou foram simplesmente citadas como referências ao longo do texto, sem terem sido entretanto consultadas.